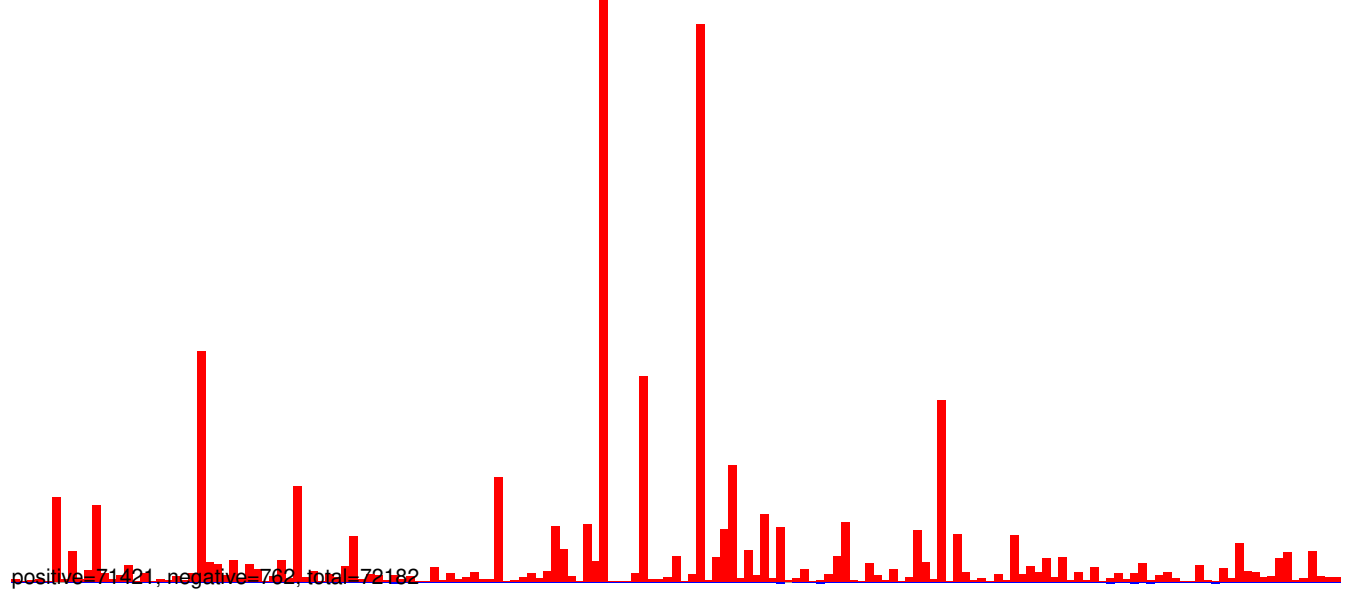
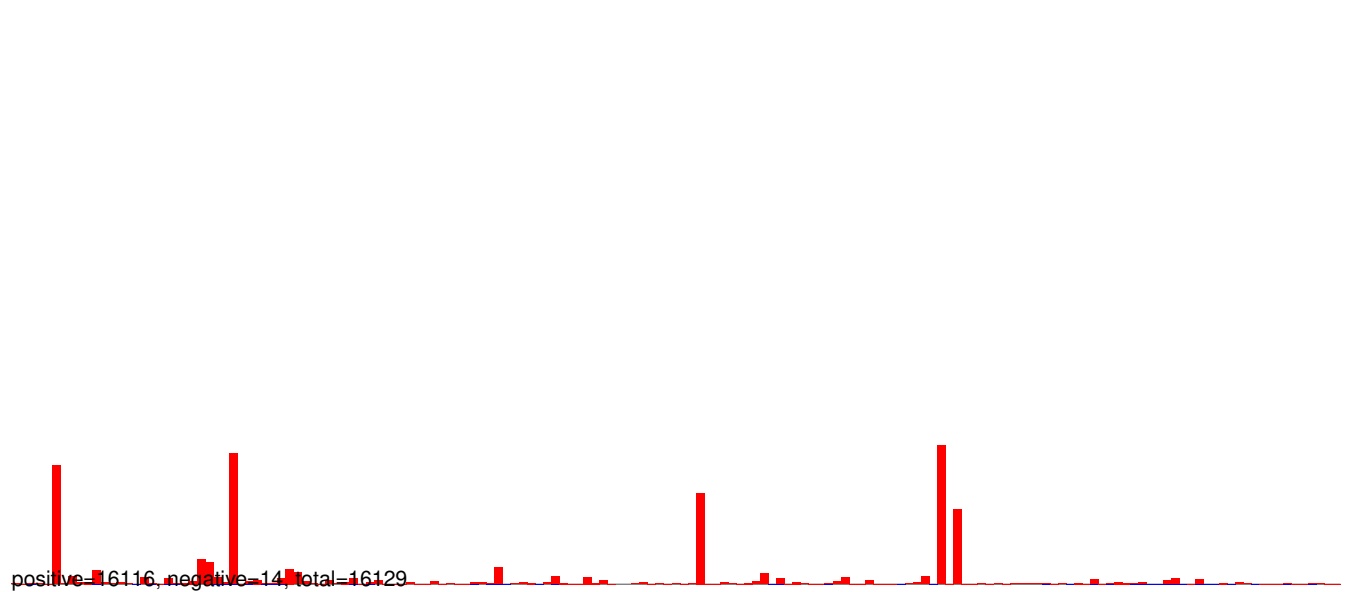


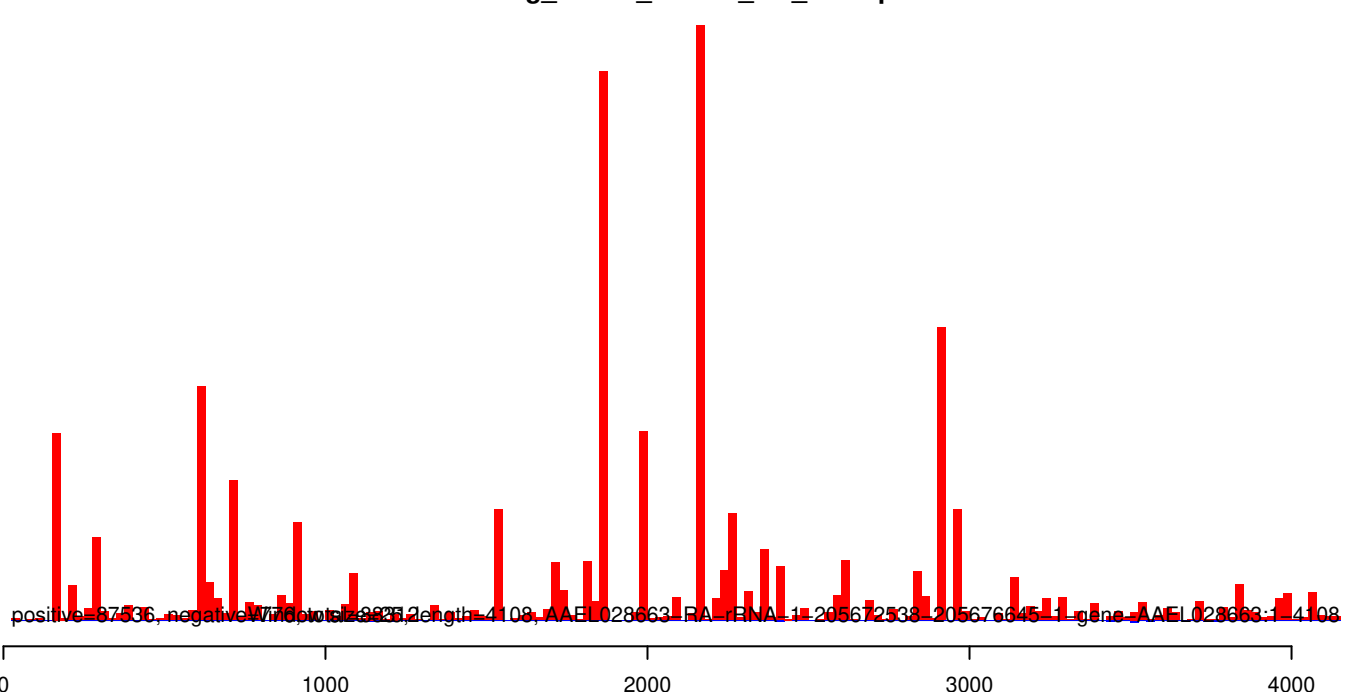
AeAeg_Whole_ZIKVdr_In3_GP.18_23.rep



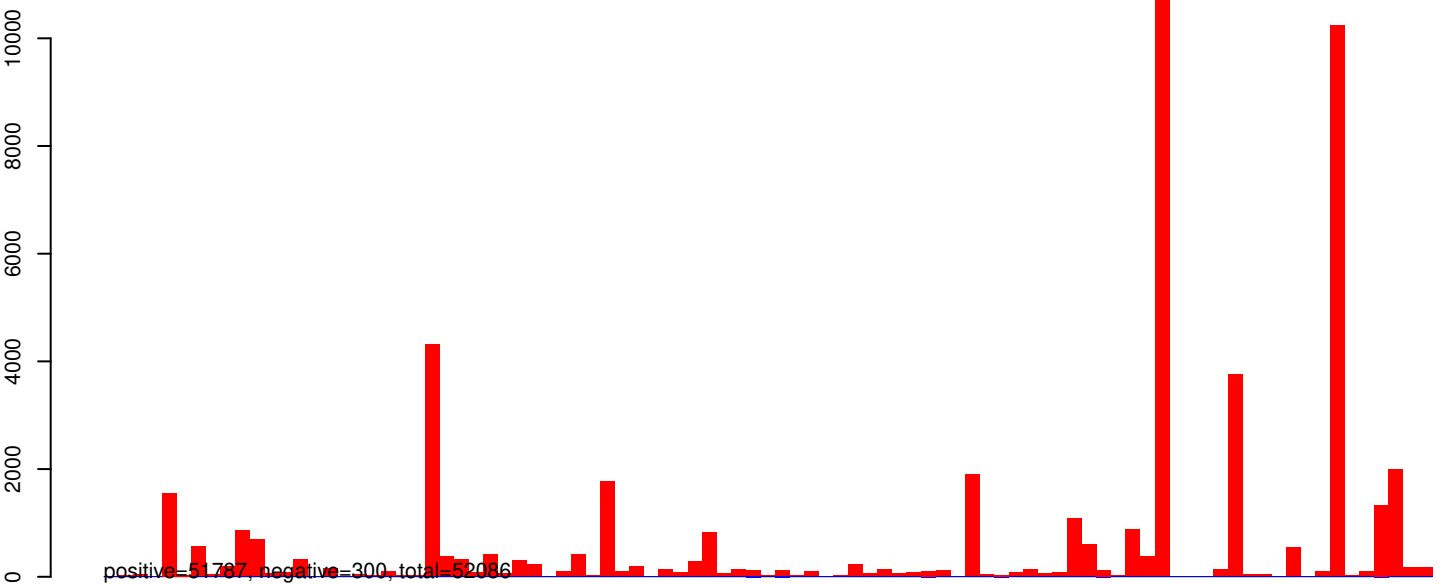
AeAeg_Whole_ZIKVdr_In3_GP.24_35.rep



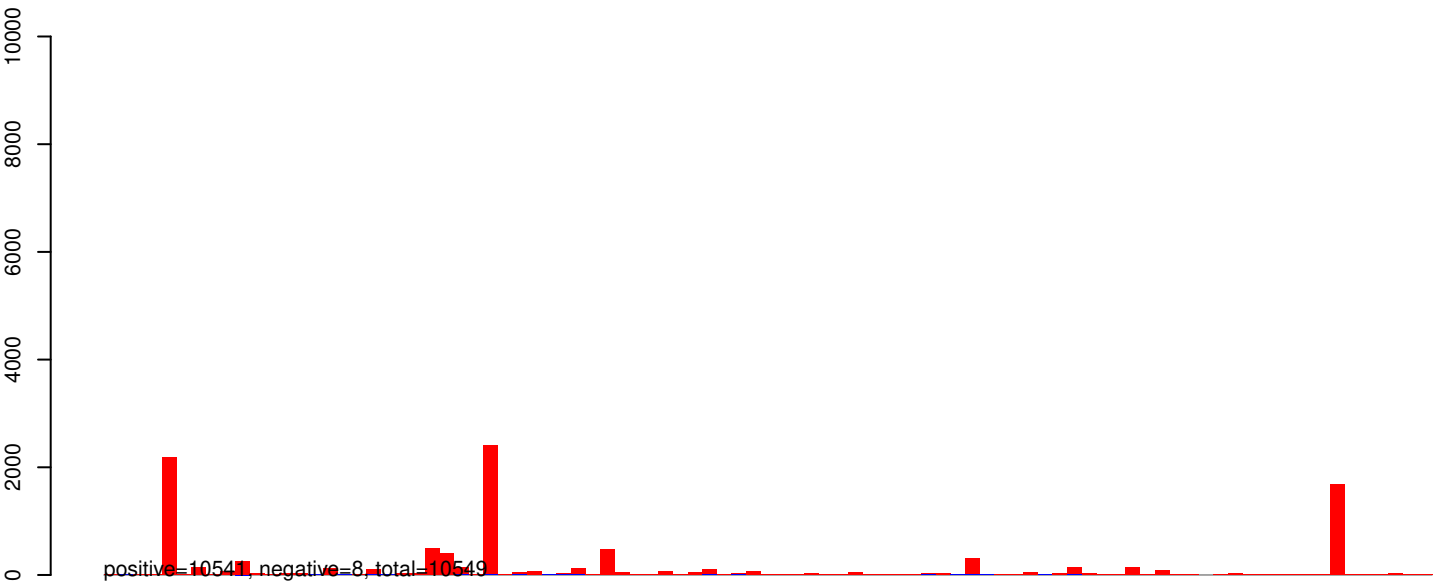
AeAeg_Whole_ZIKVdr_In3_GP.rep



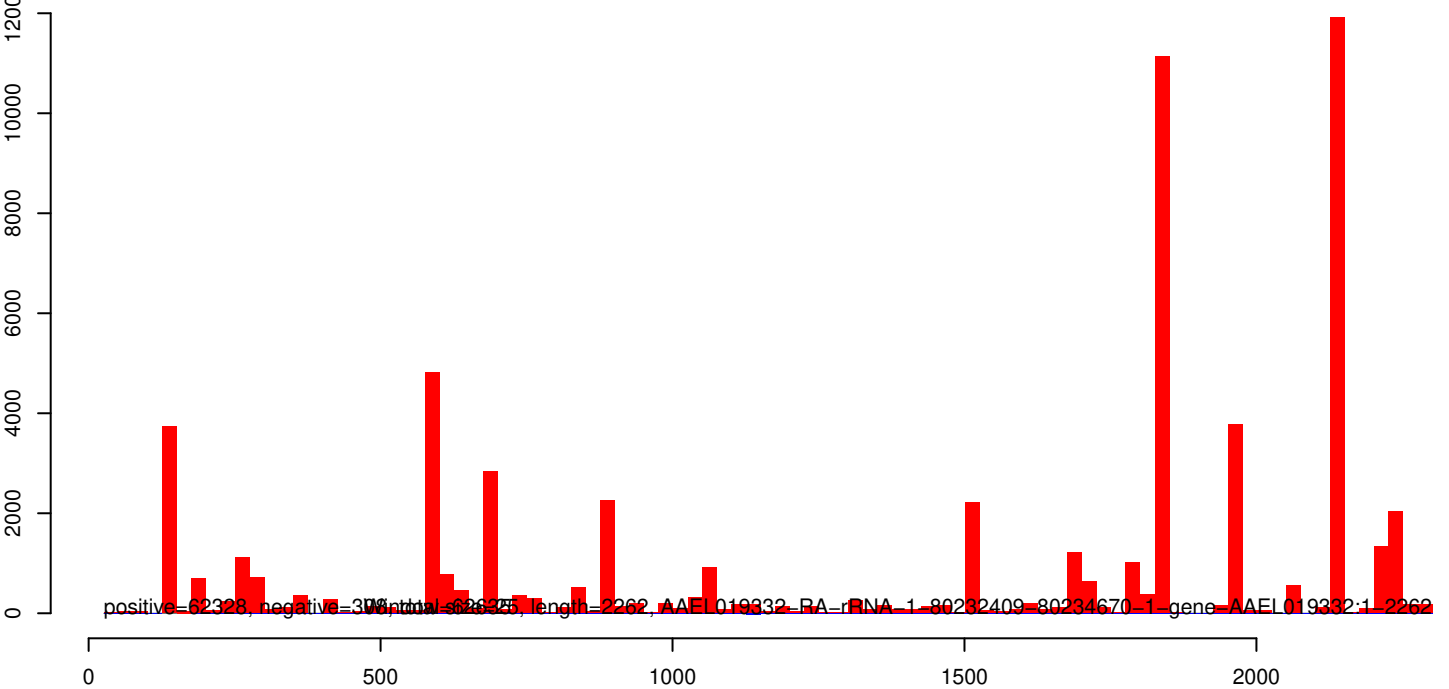
AeAeg_Whole_ZIKVdr_In3_GP.18_23.rep



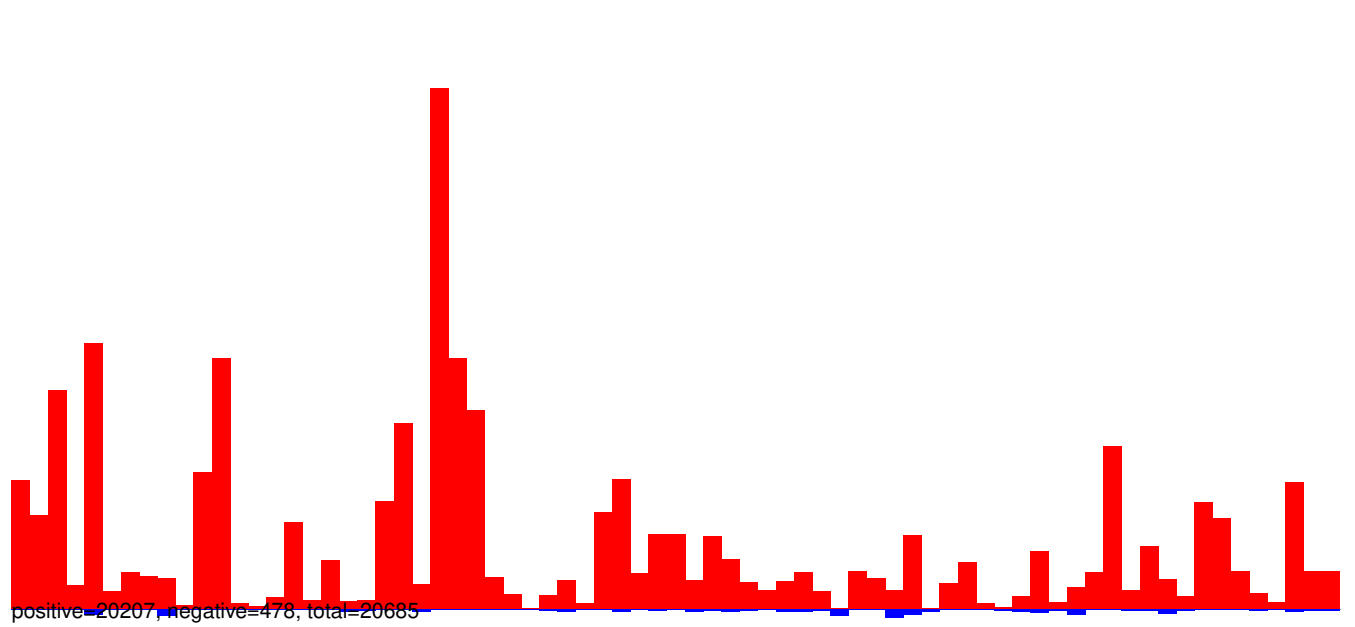
AeAeg_Whole_ZIKVdr_In3_GP.24_35.rep



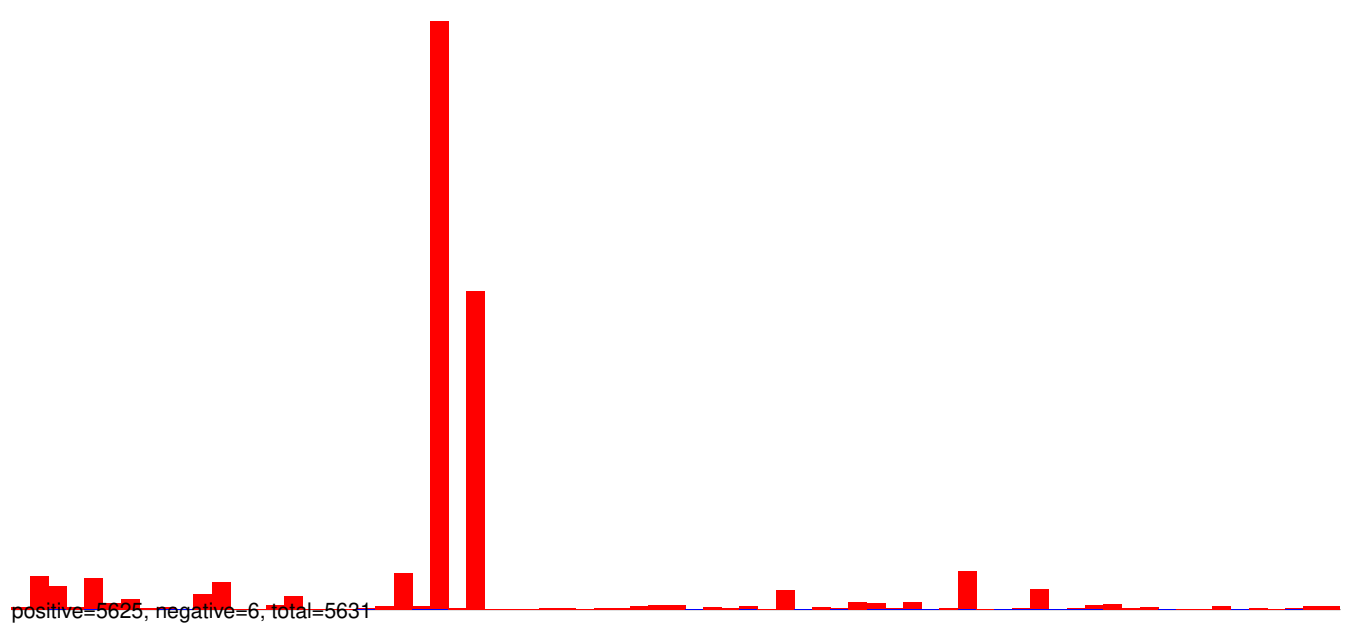
AeAeg_Whole_ZIKVdr_In3_GP.rep



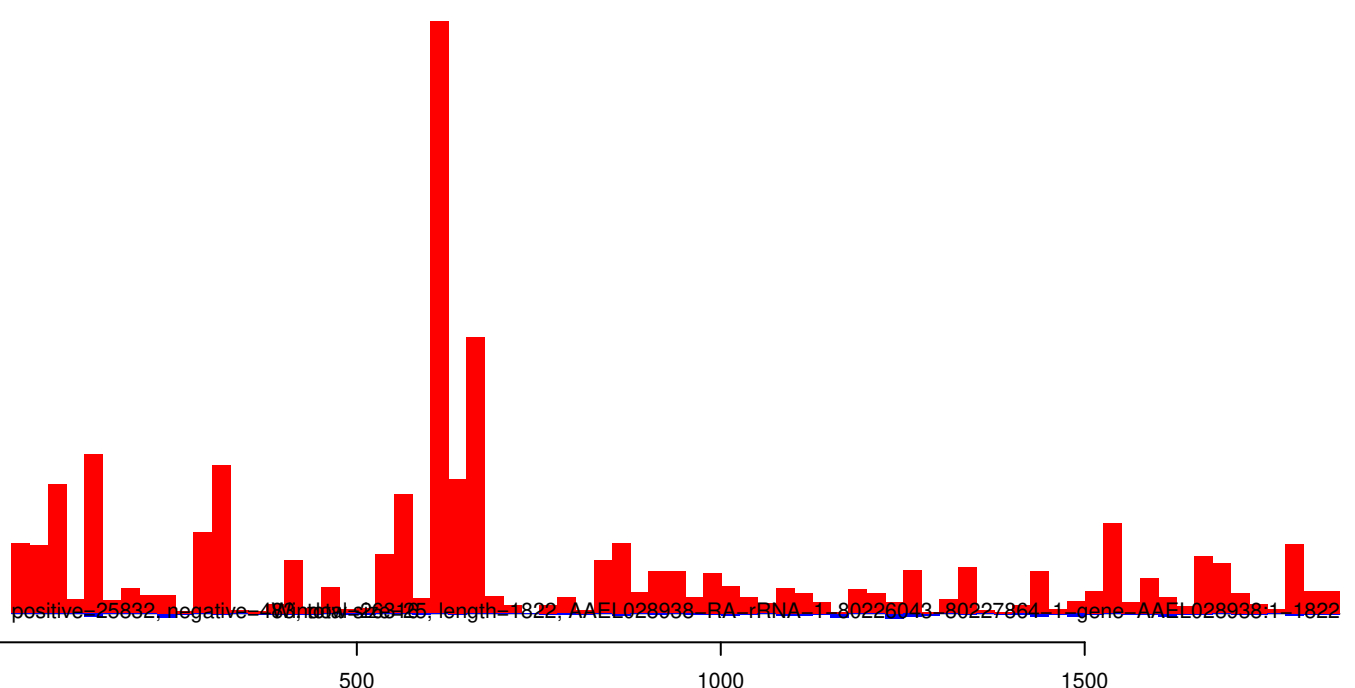
AeAeg_Whole_ZIKVdr_In3_GP.18_23.rep



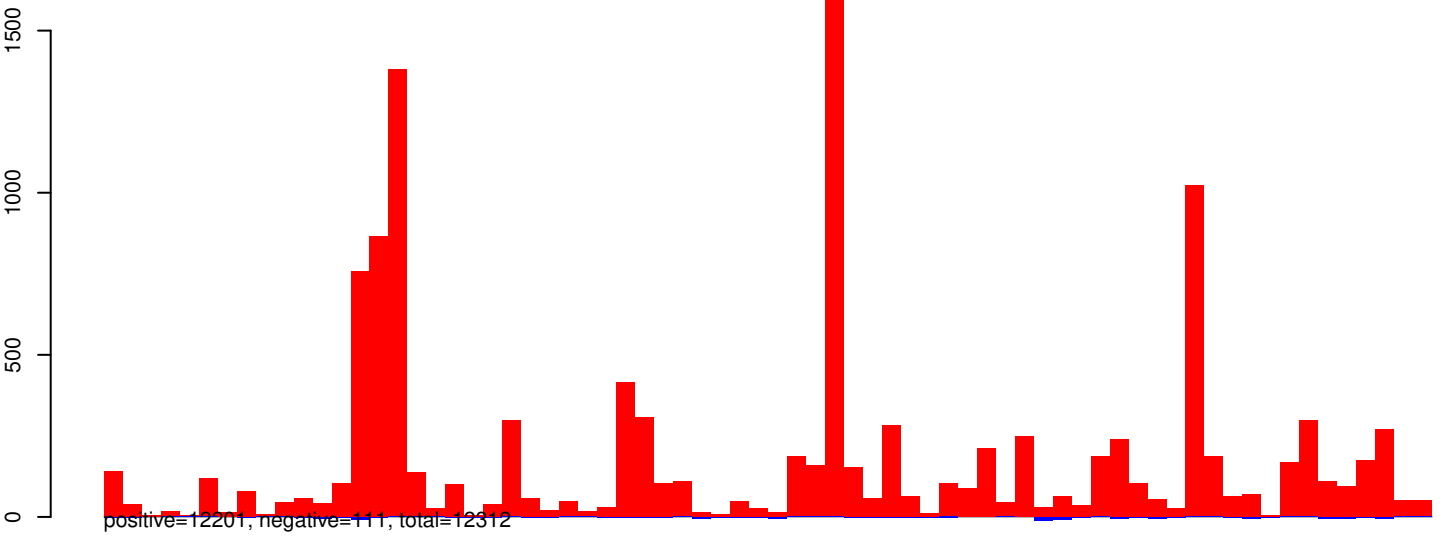
AeAeg_Whole_ZIKVdr_In3_GP.24_35.rep



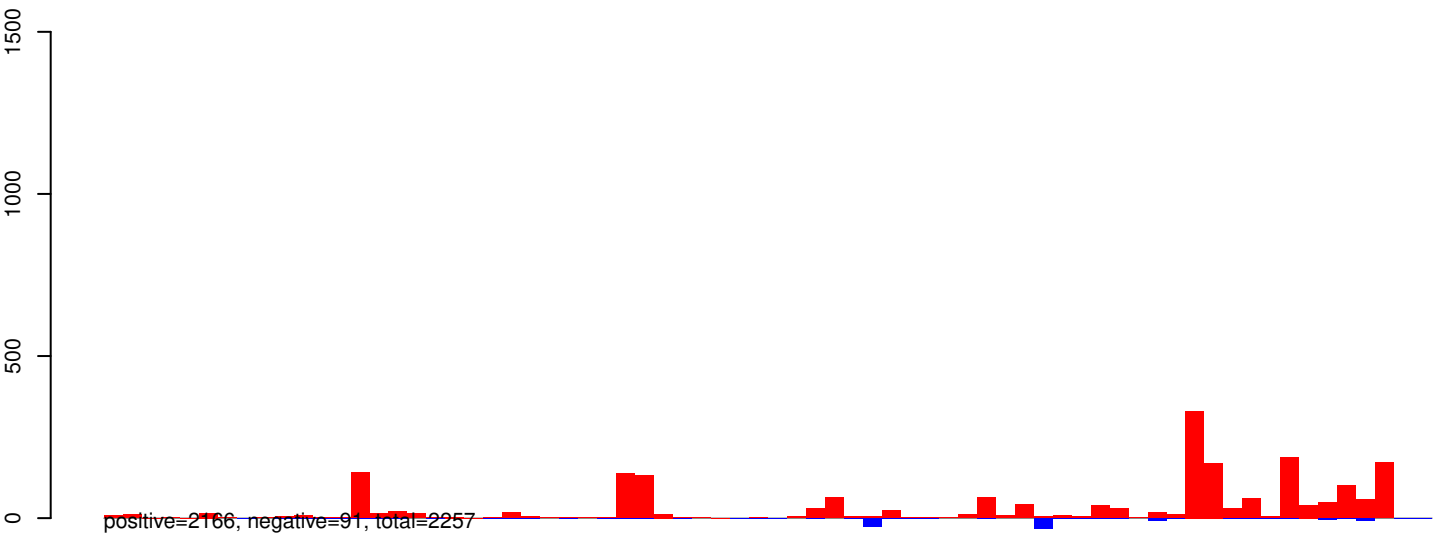
AeAeg_Whole_ZIKVdr_In3_GP.rep



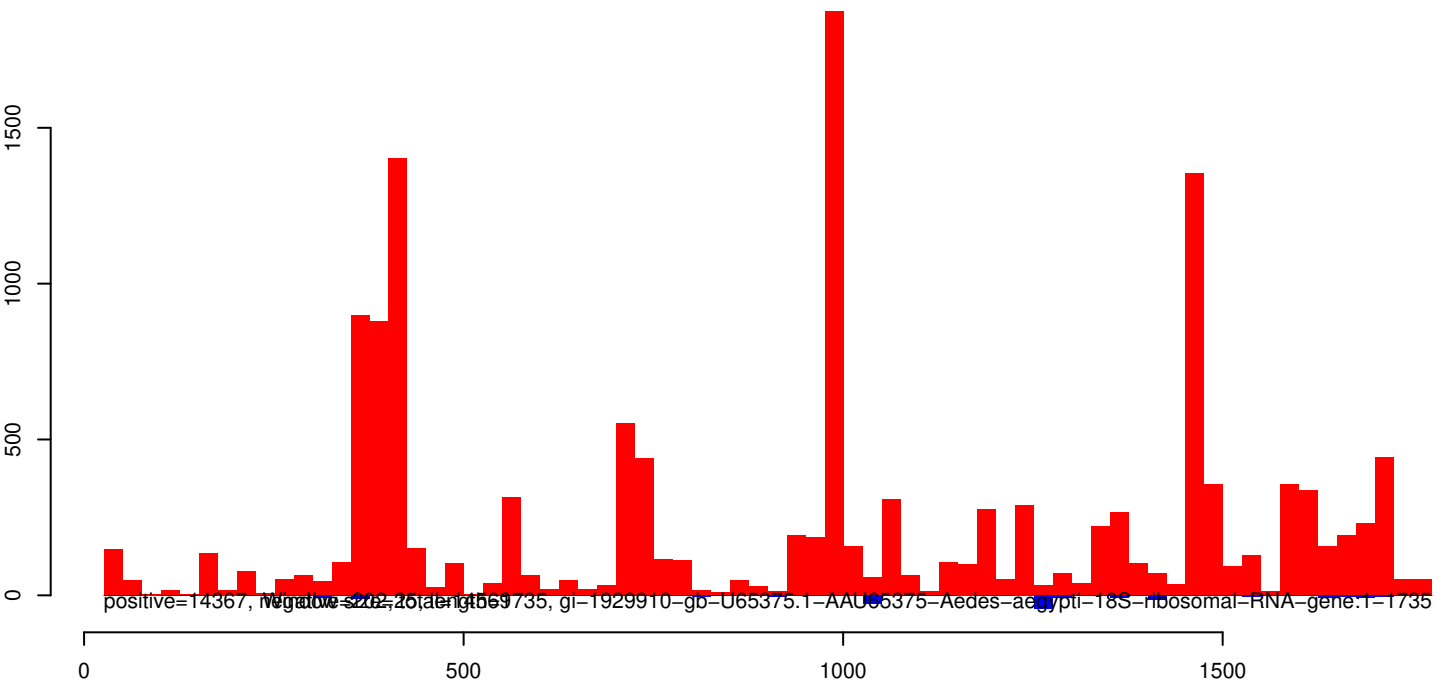
AeAeg_Whole_ZIKVdr_In3_GP.18_23.rep



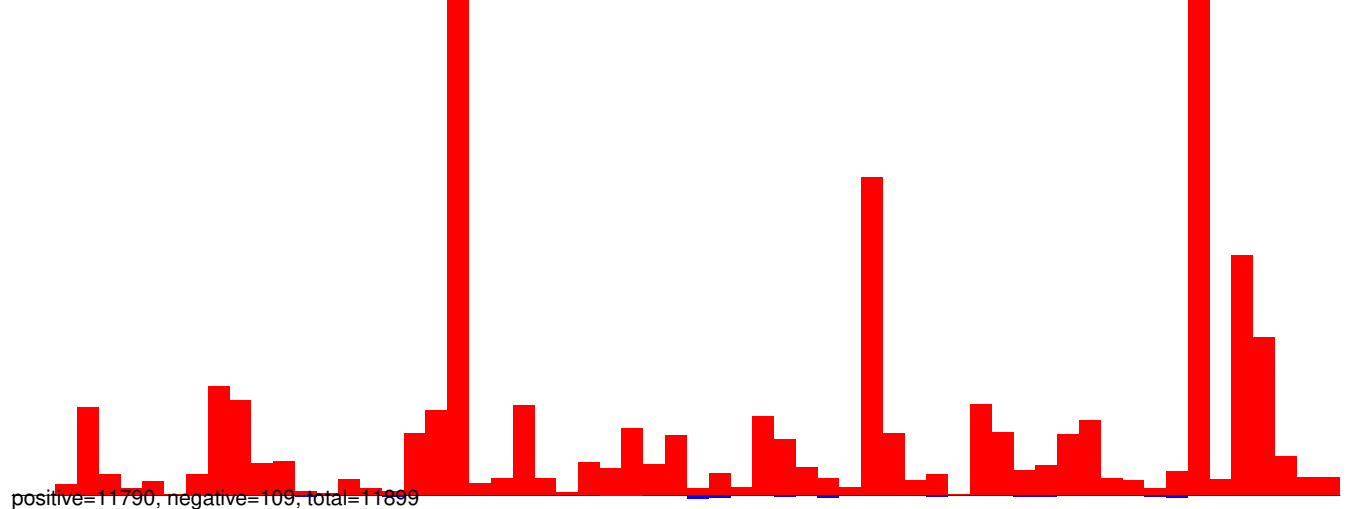
AeAeg_Whole_ZIKVdr_In3_GP.24_35.rep



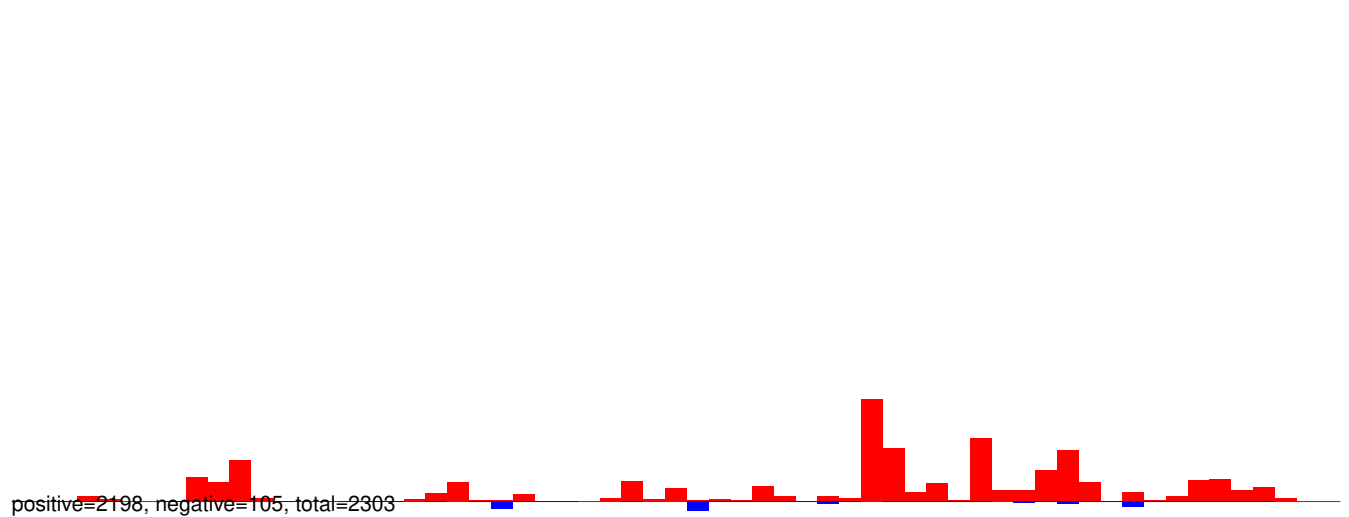
AeAeg_Whole_ZIKVdr_In3_GP.rep



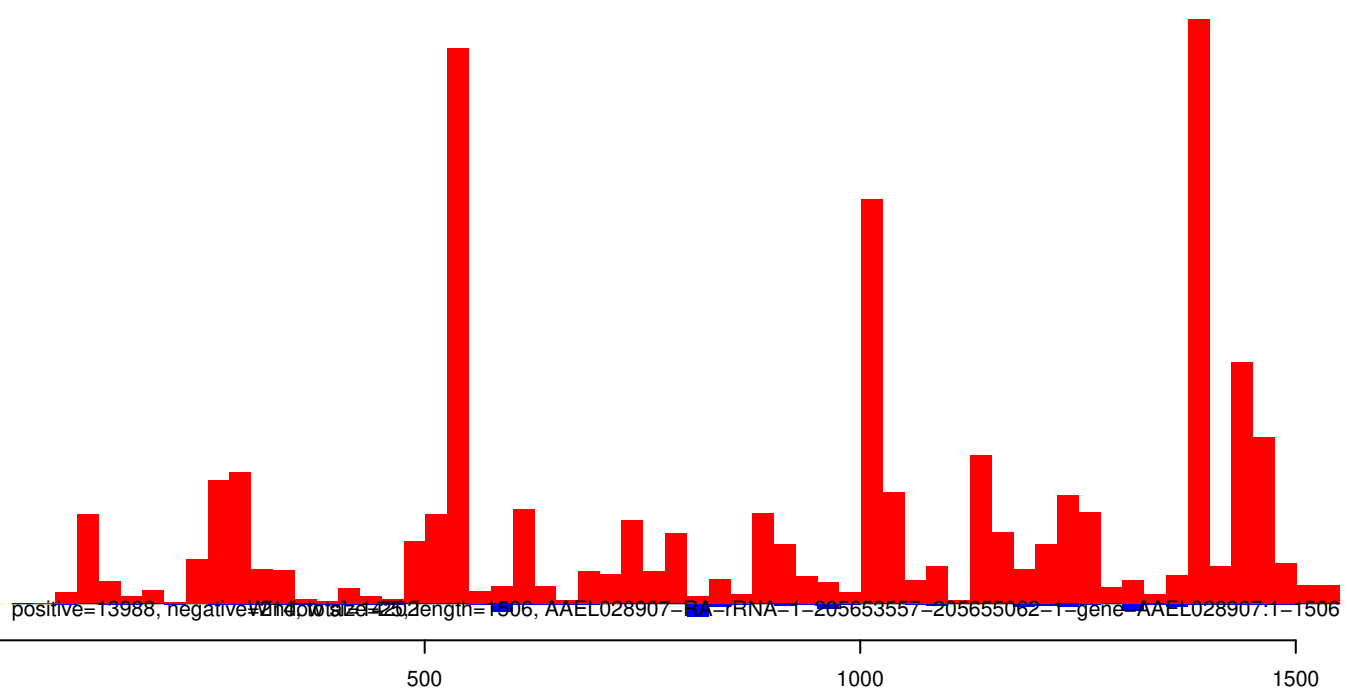
AeAeg_Whole_ZIKVdr_In3_GP.18_23.rep



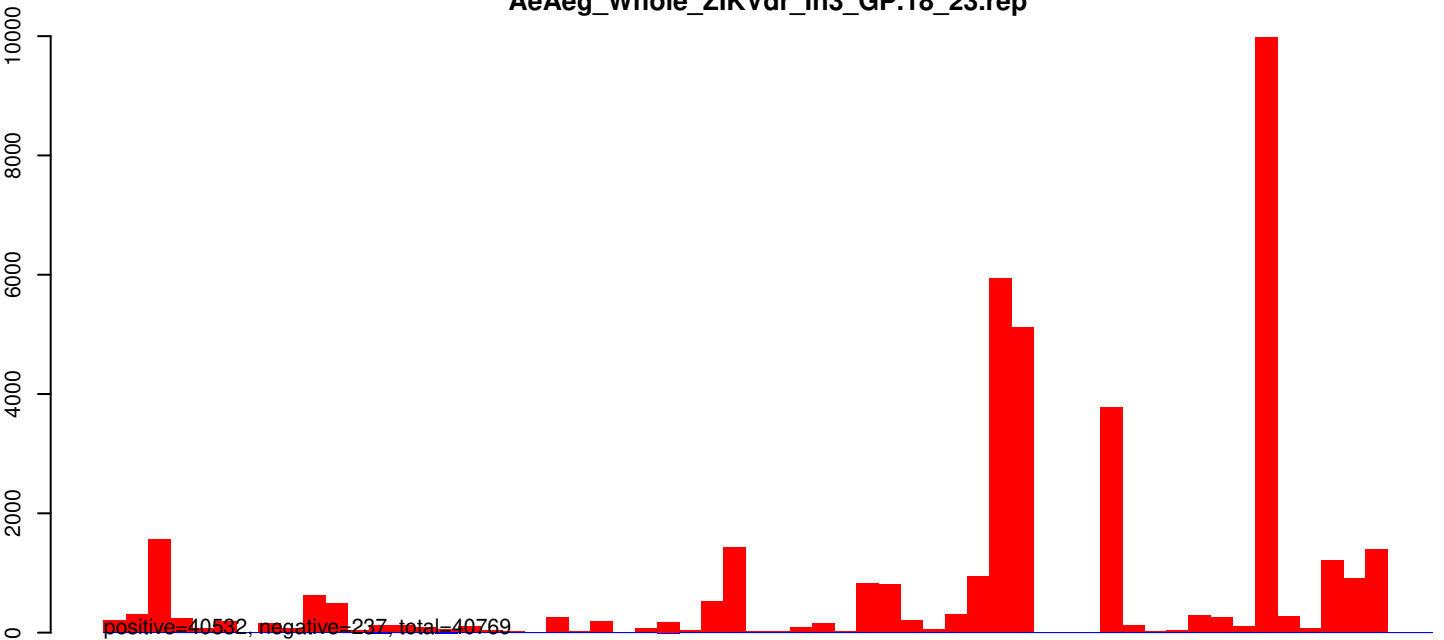
AeAeg_Whole_ZIKVdr_In3_GP.24_35.rep



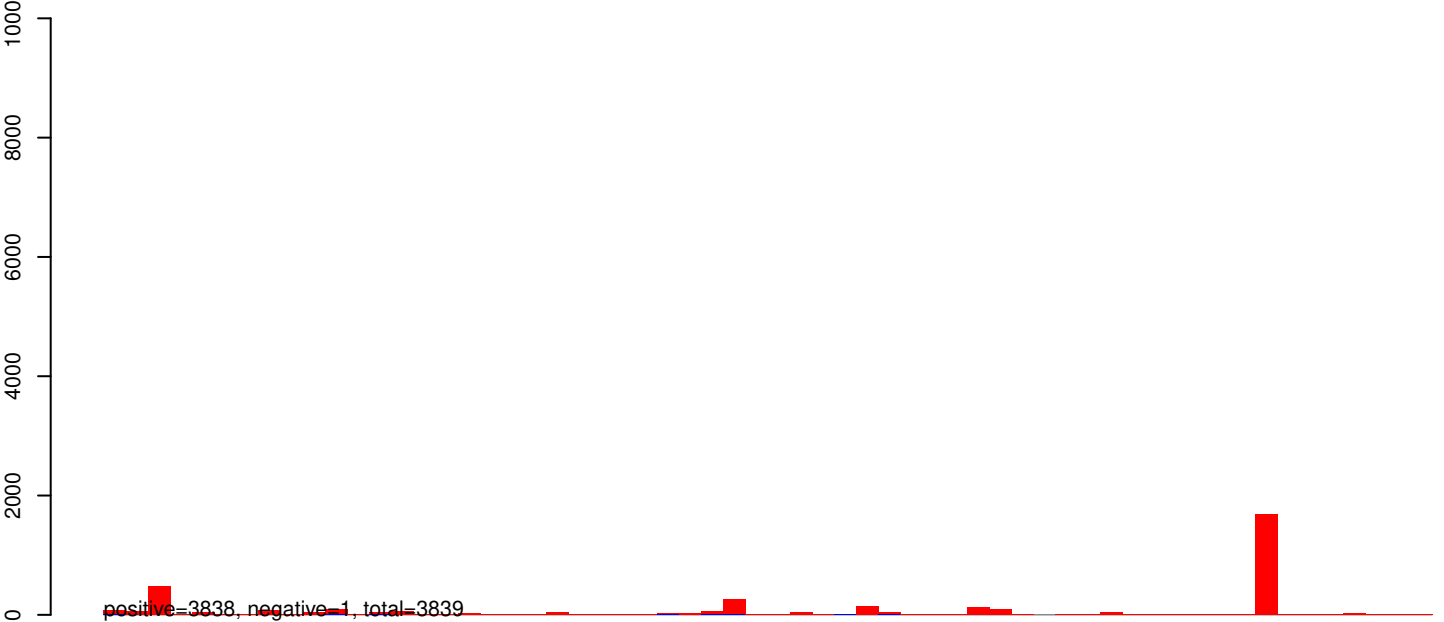
AeAeg_Whole_ZIKVdr_In3_GP.rep



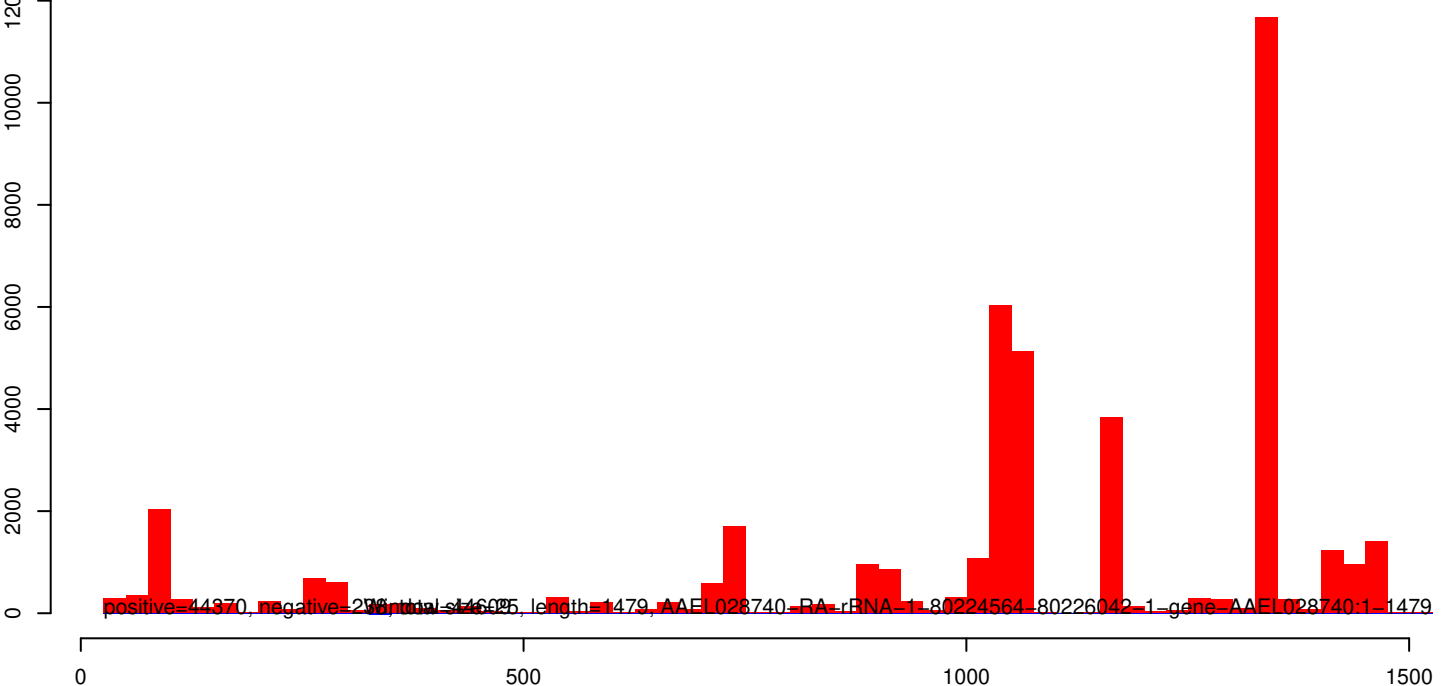
AeAeg_Whole_ZIKVdr_In3_GP.18_23.rep



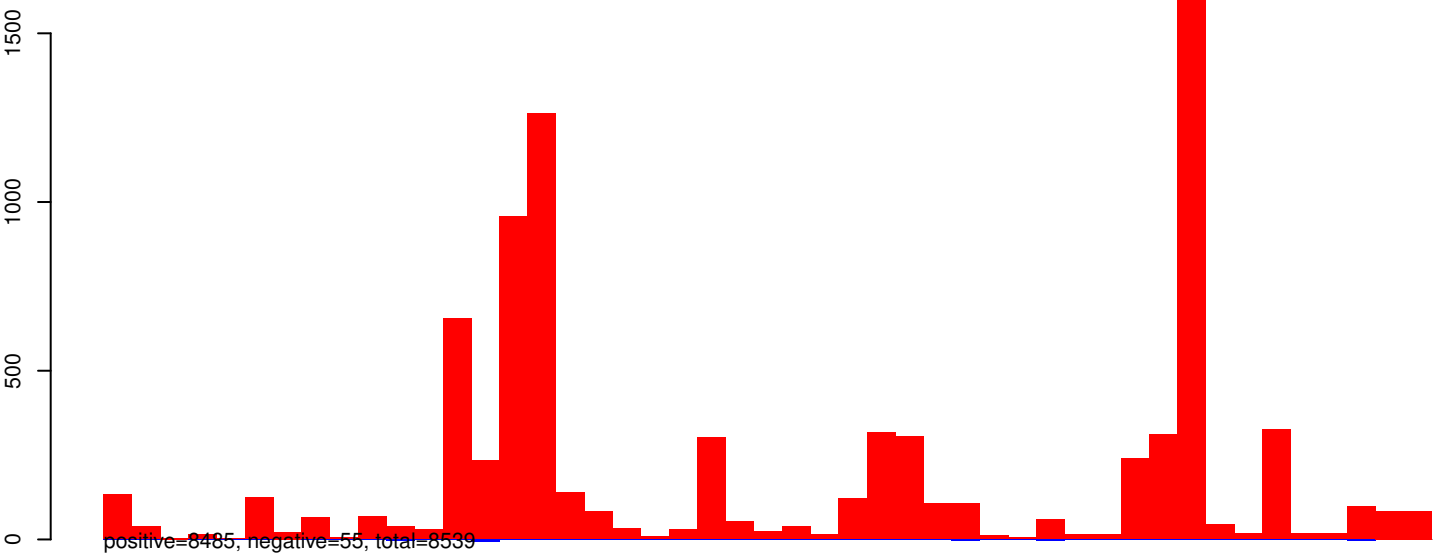
AeAeg_Whole_ZIKVdr_In3_GP.24_35.rep



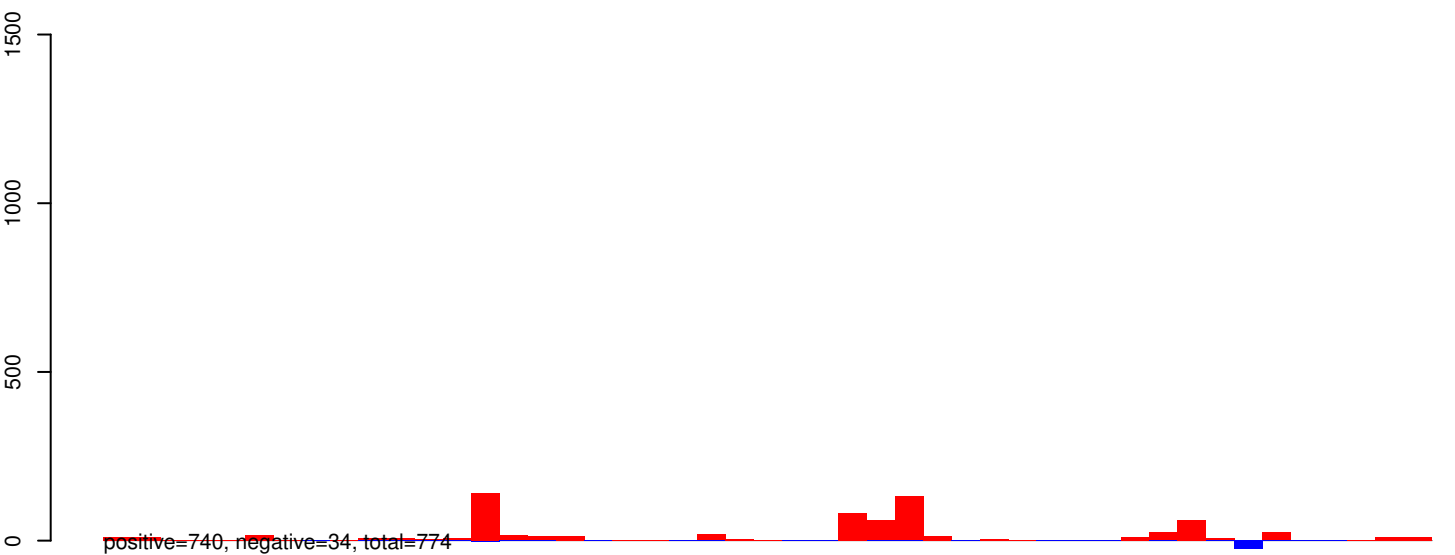
AeAeg_Whole_ZIKVdr_In3_GP.rep



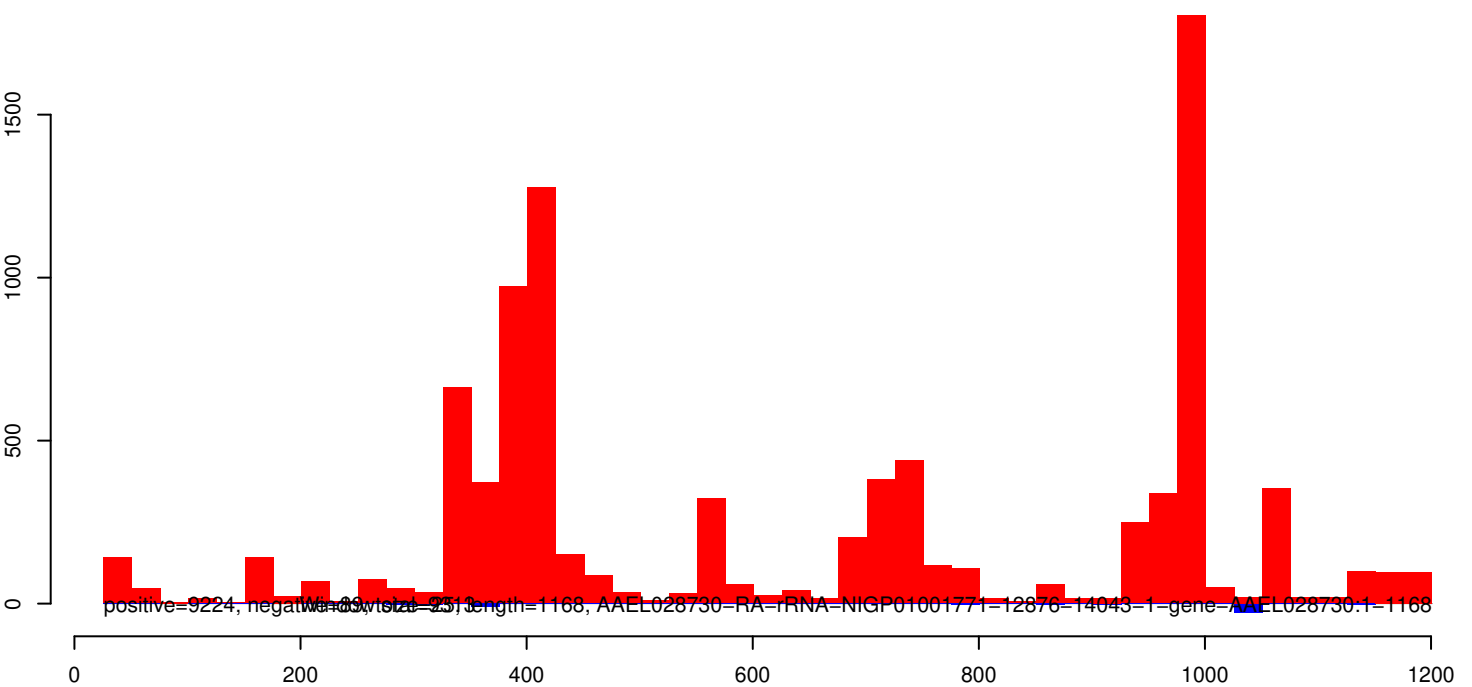
AeAeg_Whole_ZIKVdr_In3_GP.18_23.rep



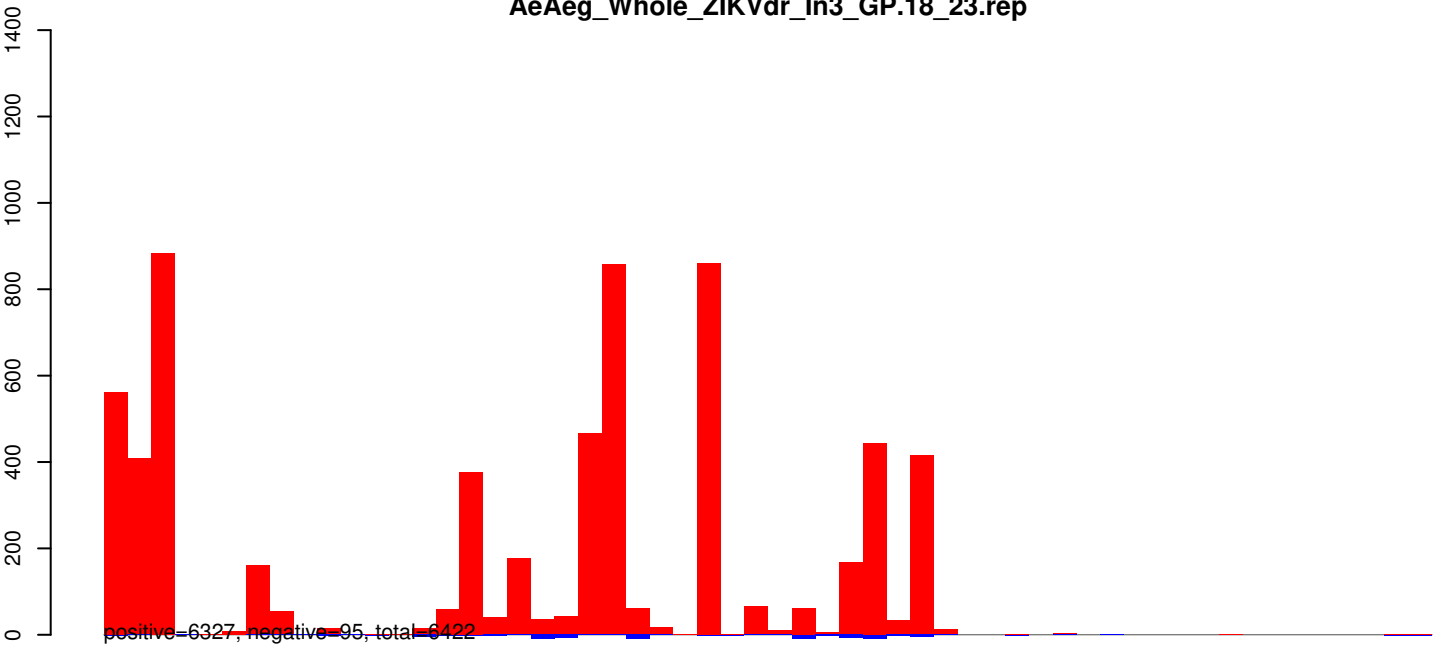
AeAeg_Whole_ZIKVdr_In3_GP.24_35.rep



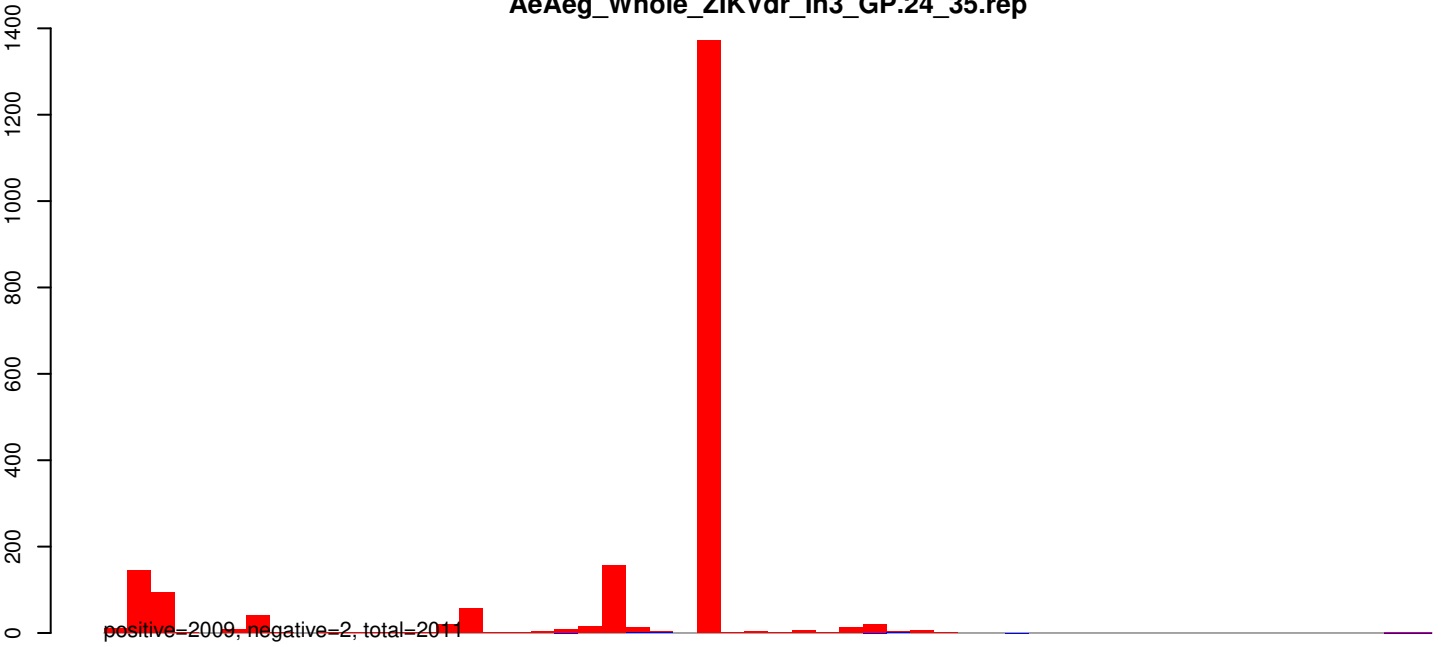
AeAeg_Whole_ZIKVdr_In3_GP.rep



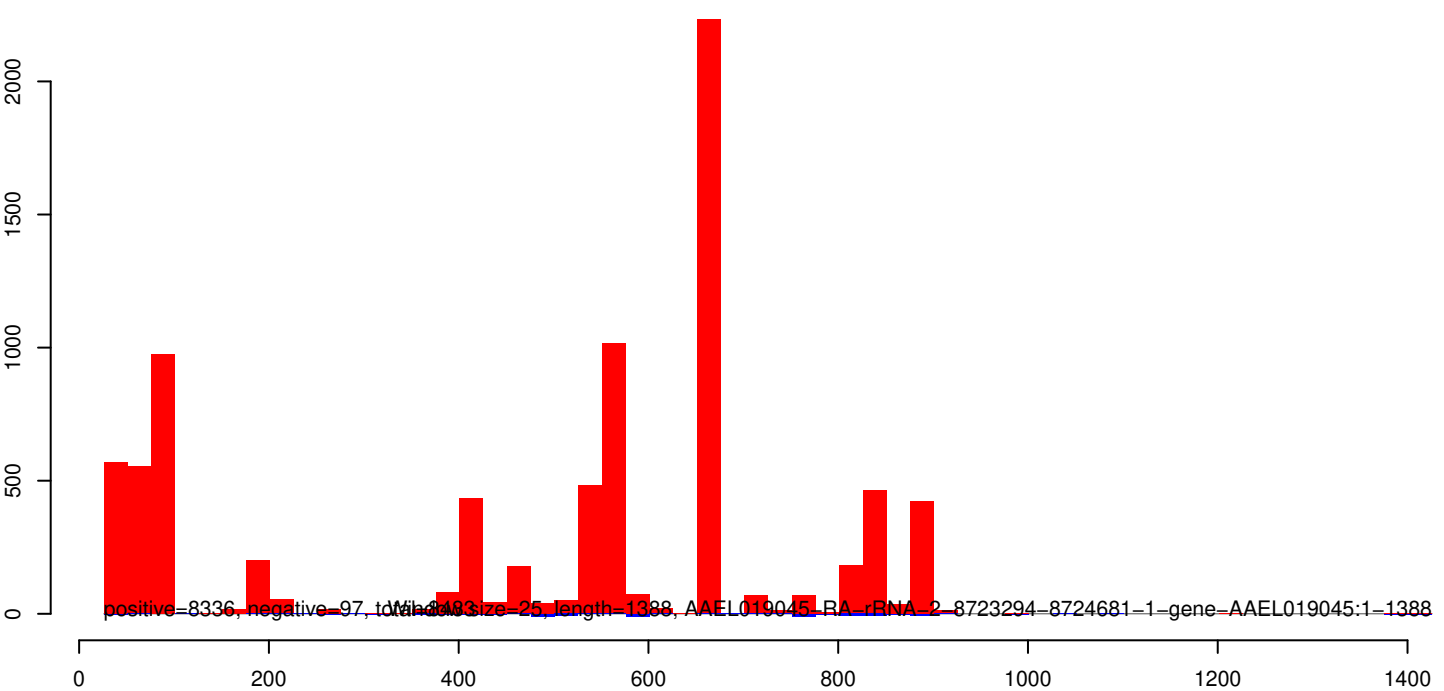
AeAeg_Whole_ZIKVdr_In3_GP.18_23.rep



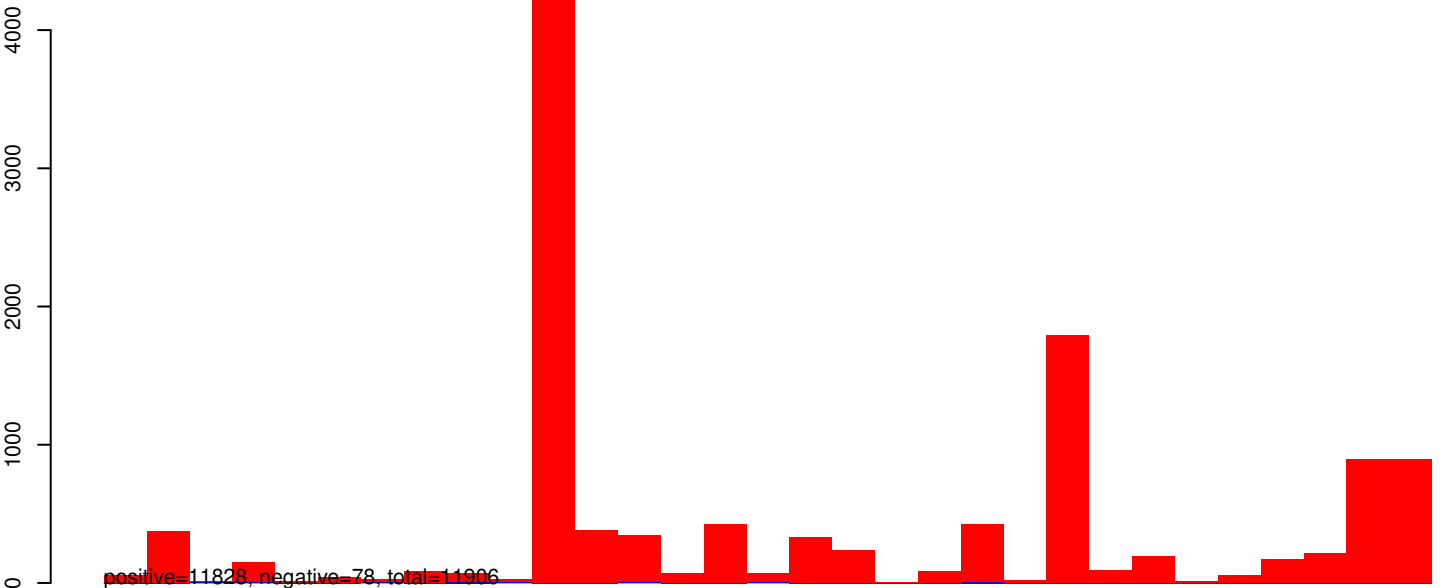
AeAeg_Whole_ZIKVdr_In3_GP.24_35.rep



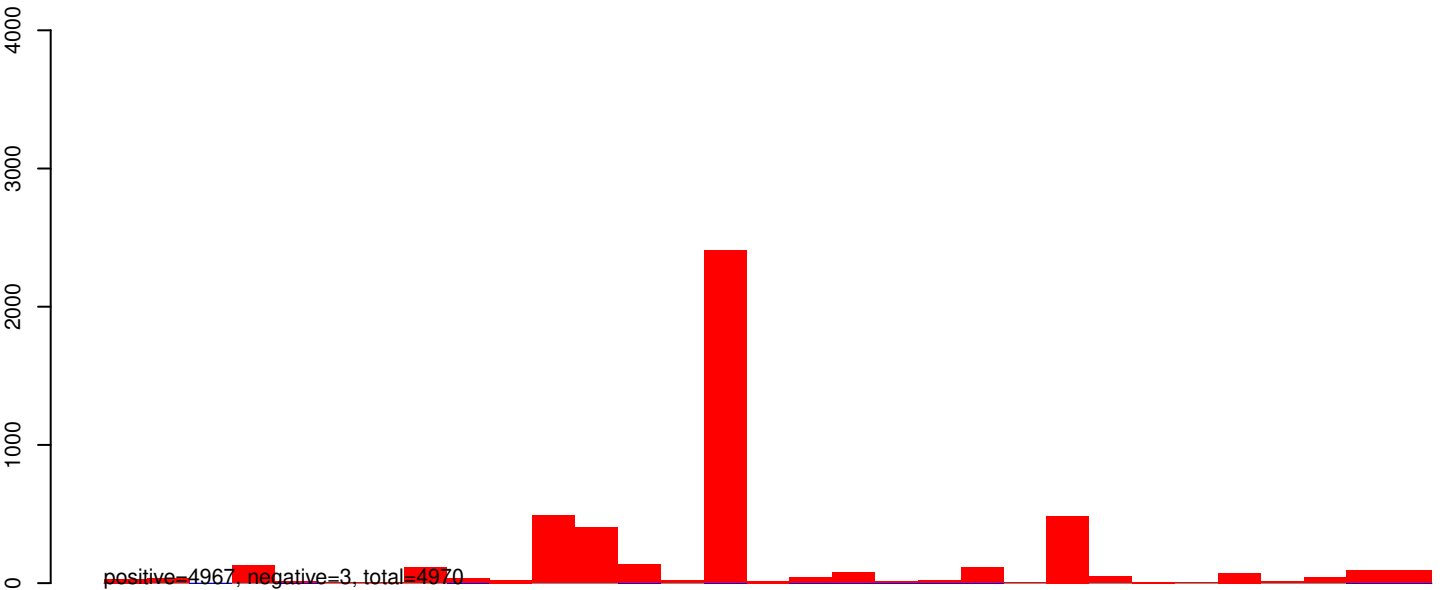
AeAeg_Whole_ZIKVdr_In3_GP.rep



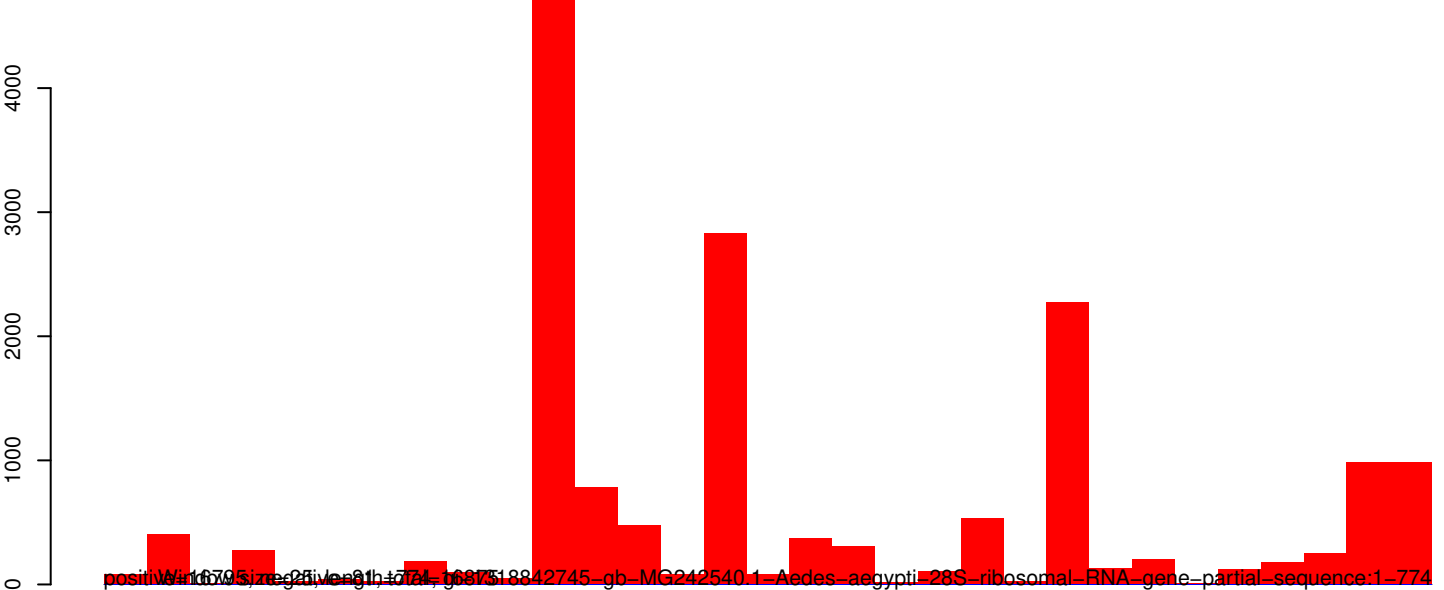
AeAeg_Whole_ZIKVdr_In3_GP.18_23.rep



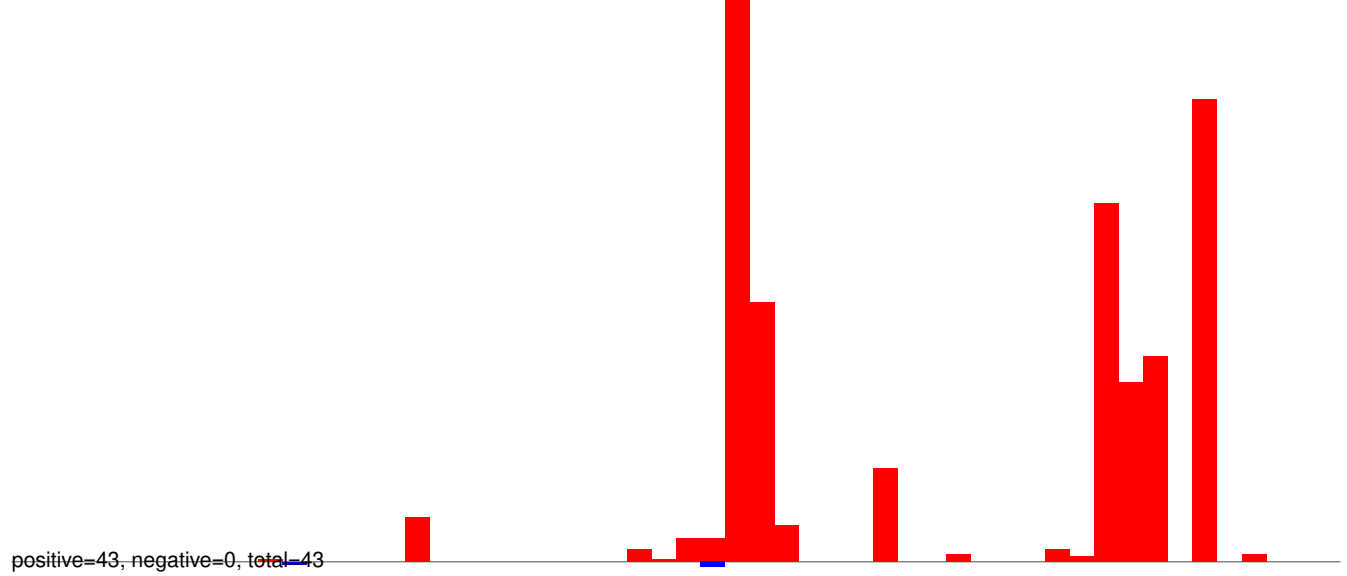
AeAeg_Whole_ZIKVdr_In3_GP.24_35.rep



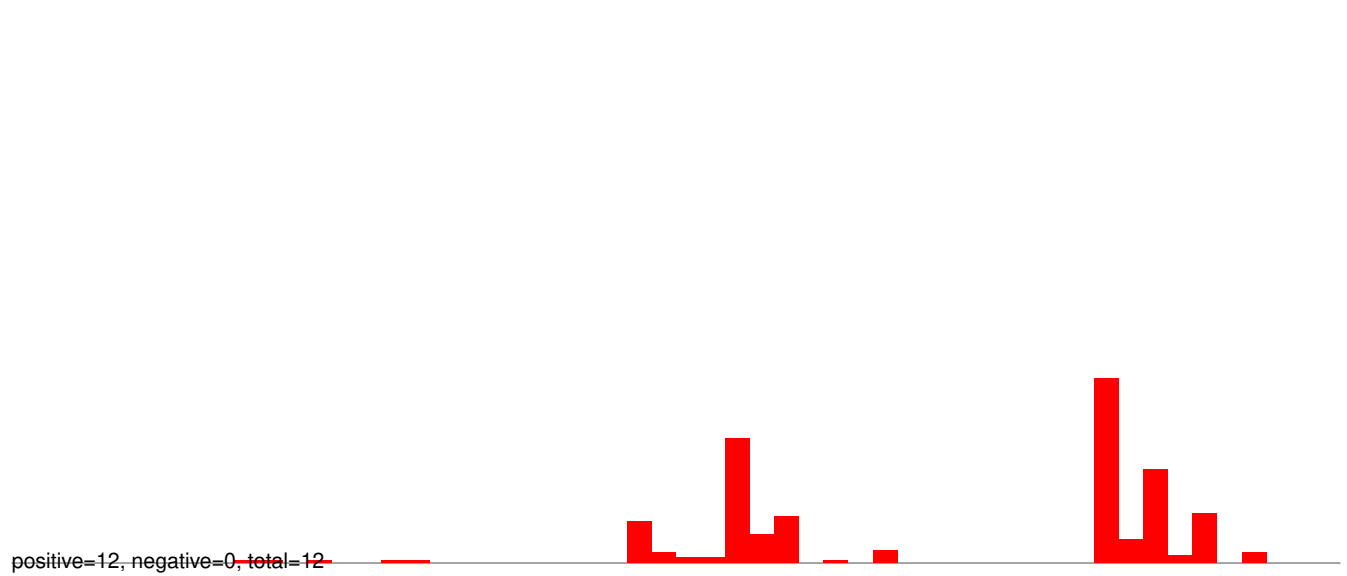
AeAeg_Whole_ZIKVdr_In3_GP.rep



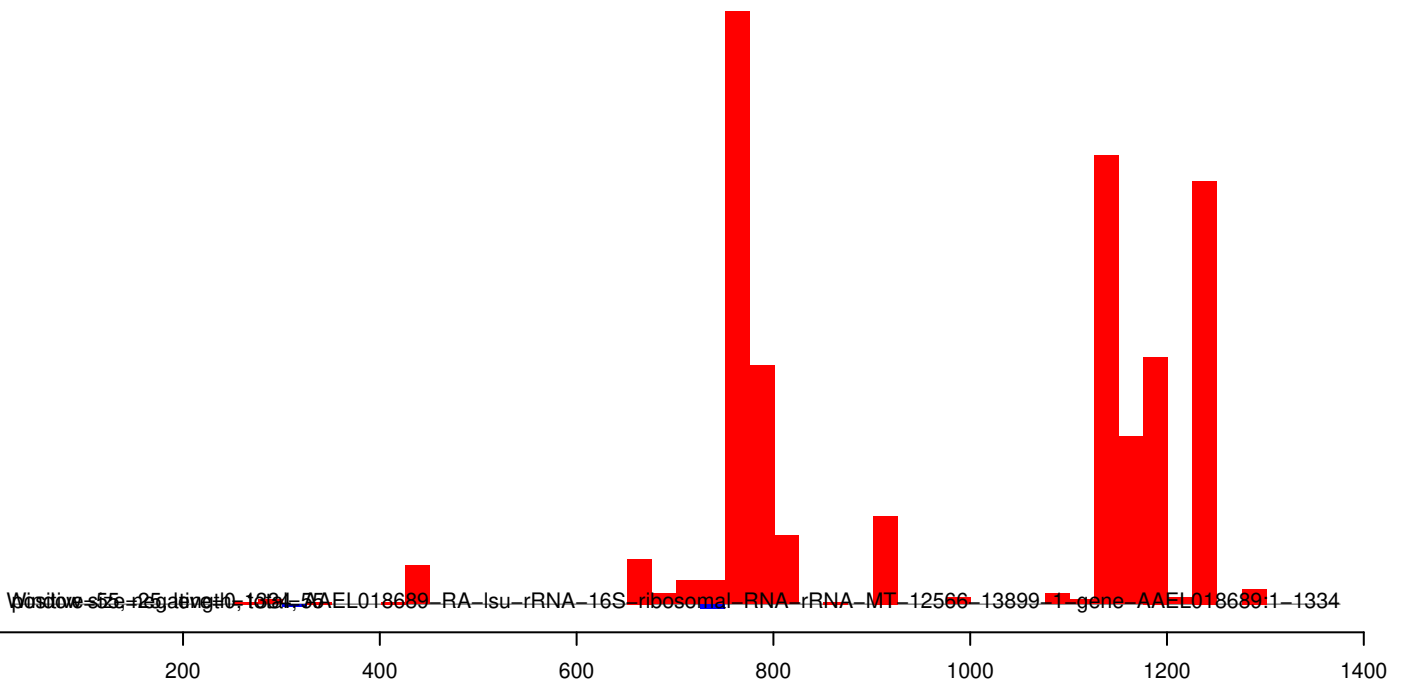
AeAeg_Whole_ZIKVdr_In3_GP.18_23.rep



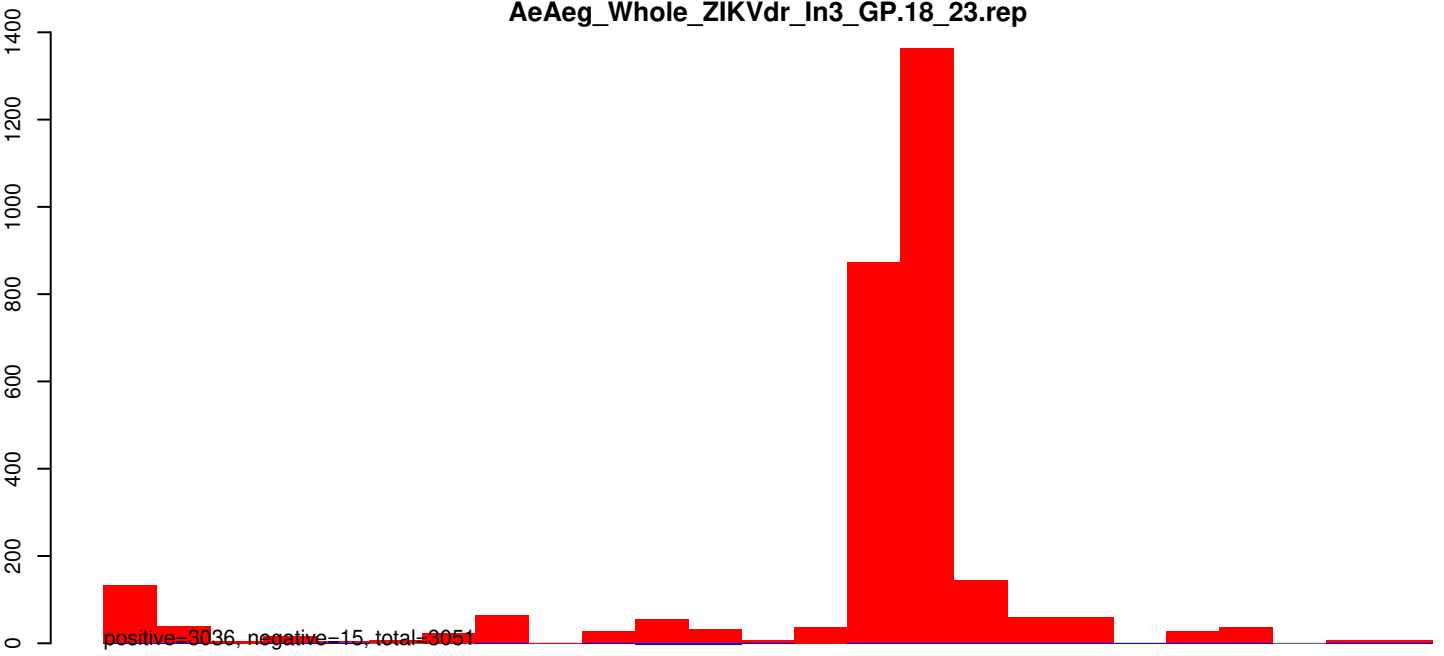
AeAeg_Whole_ZIKVdr_In3_GP.24_35.rep



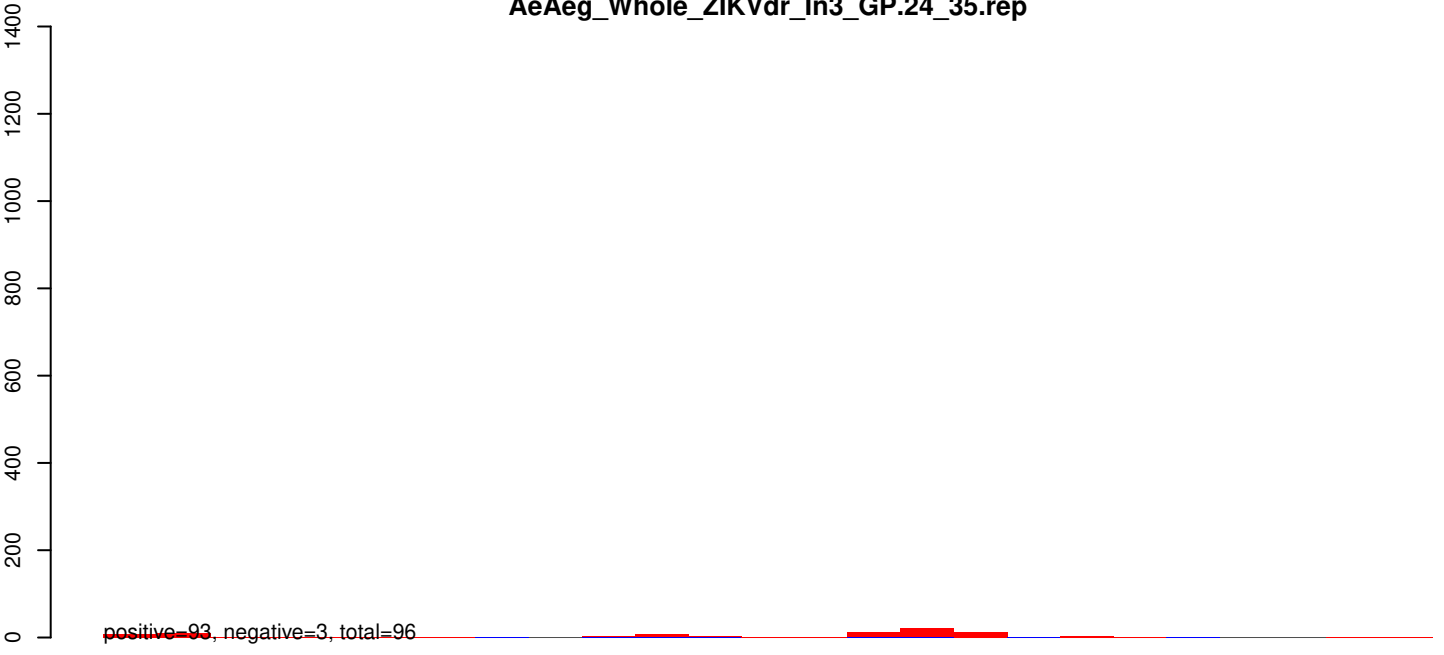
AeAeg_Whole_ZIKVdr_In3_GP.rep



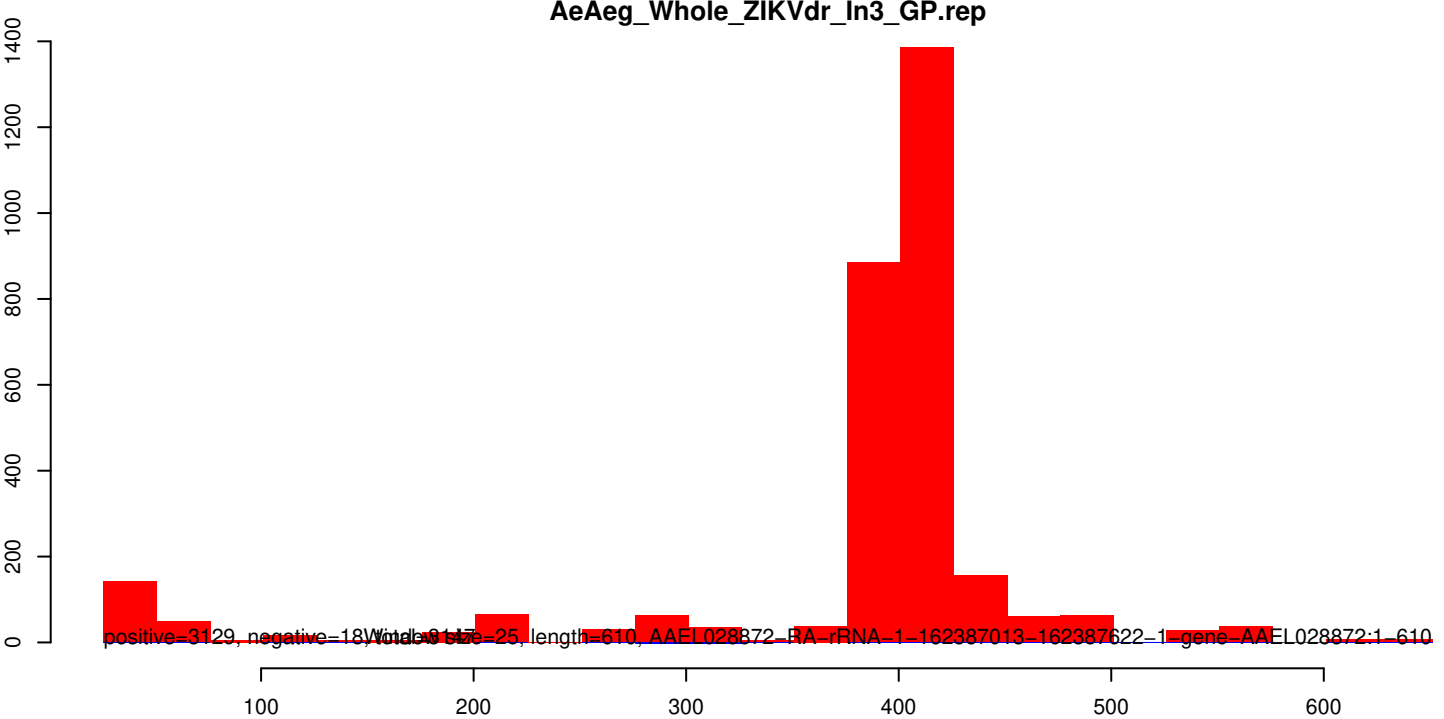
AeAeg_Whole_ZIKVdr_In3_GP.18_23.rep



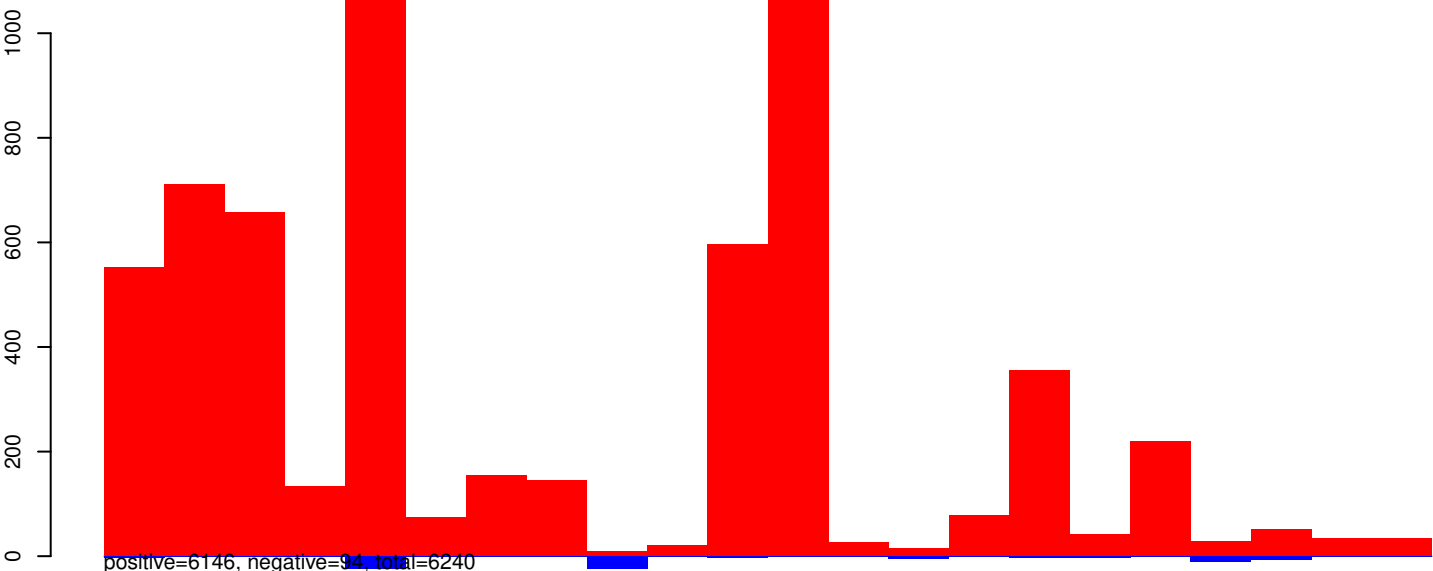
AeAeg_Whole_ZIKVdr_In3_GP.24_35.rep



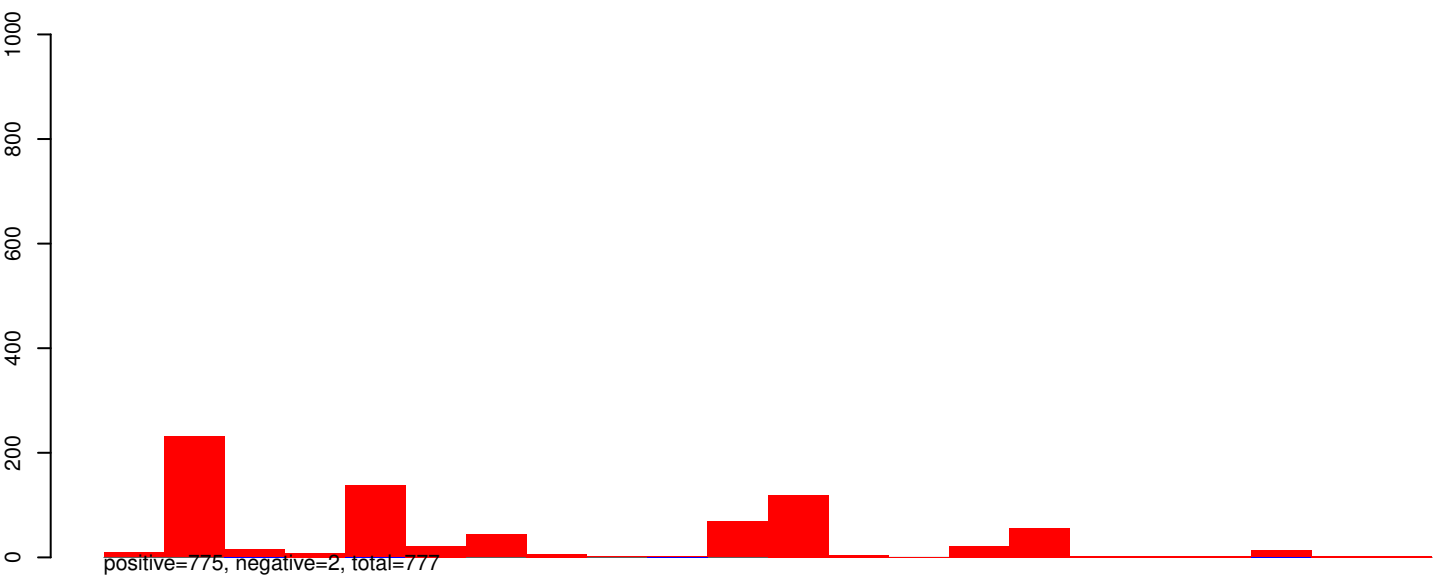
AeAeg_Whole_ZIKVdr_In3_GP.rep



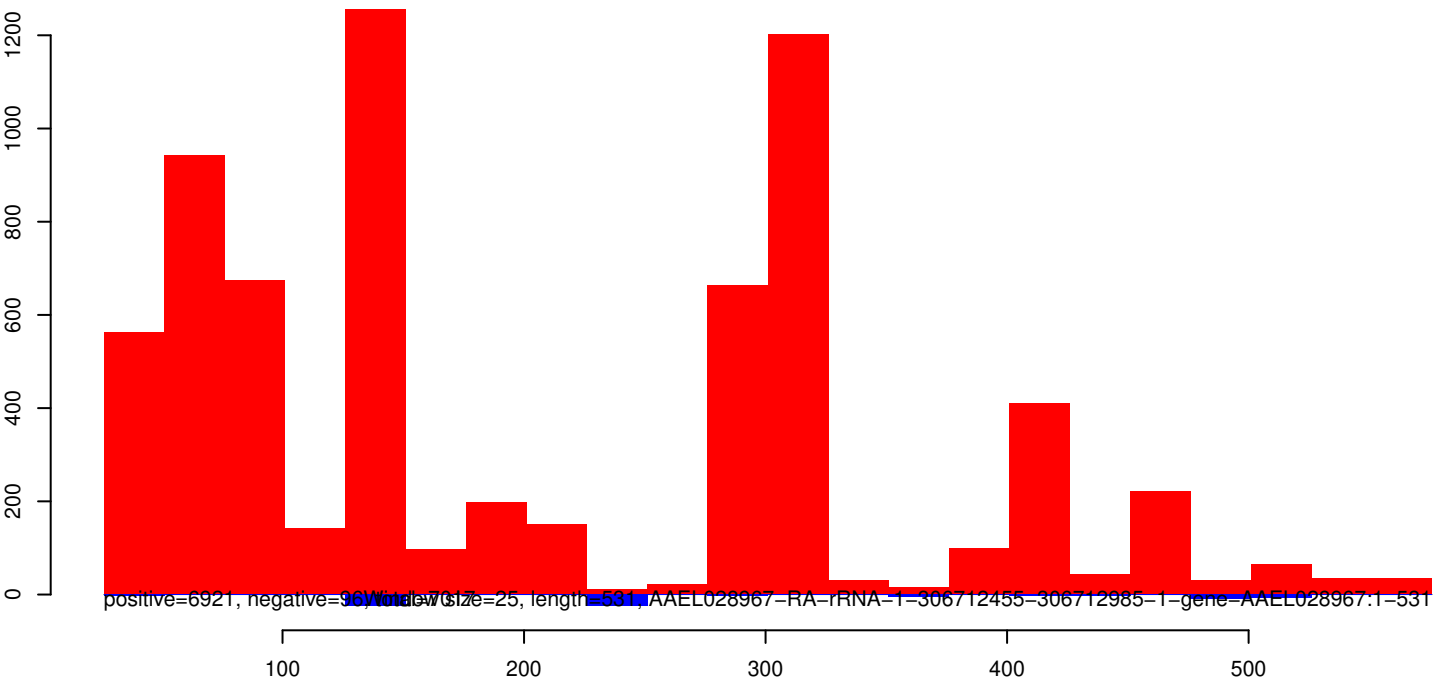
AeAeg_Whole_ZIKVdr_In3_GP.18_23.rep



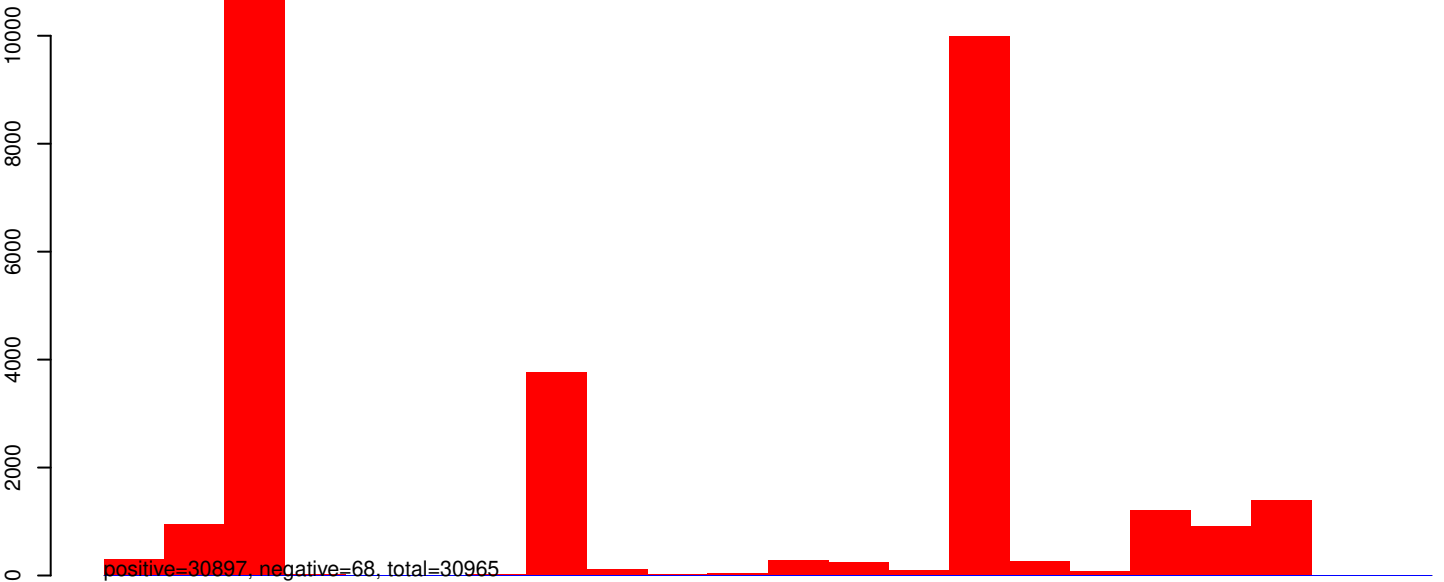
AeAeg_Whole_ZIKVdr_In3_GP.24_35.rep



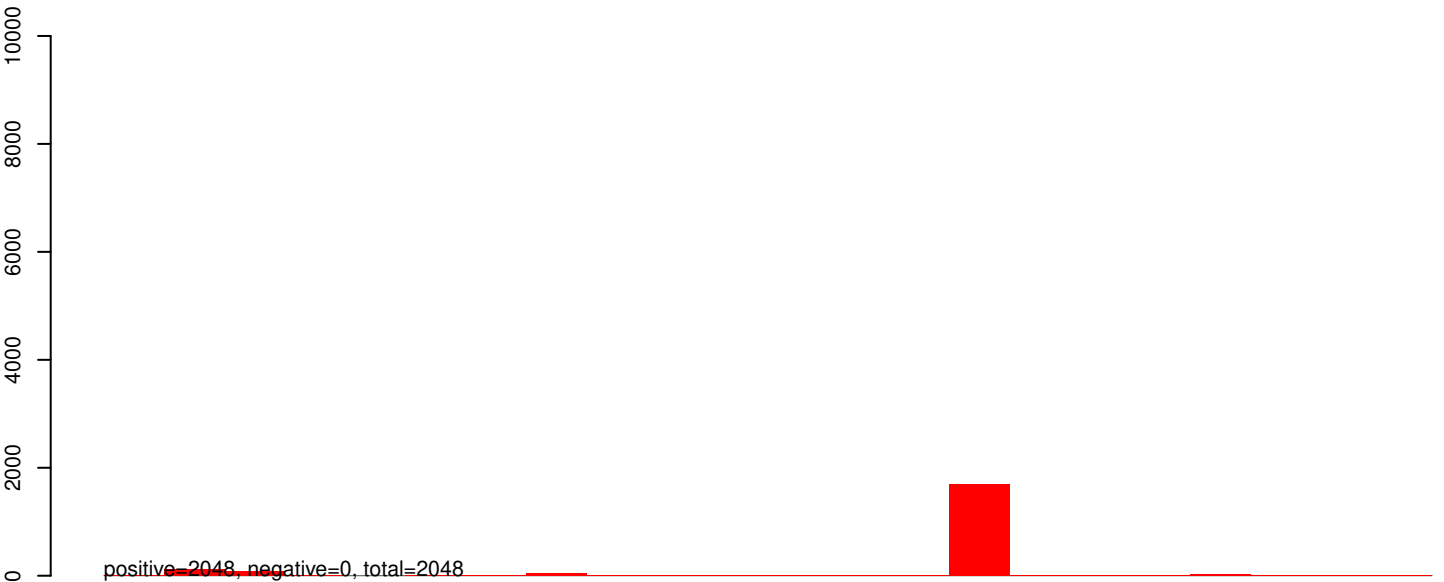
AeAeg_Whole_ZIKVdr_In3_GP.rep



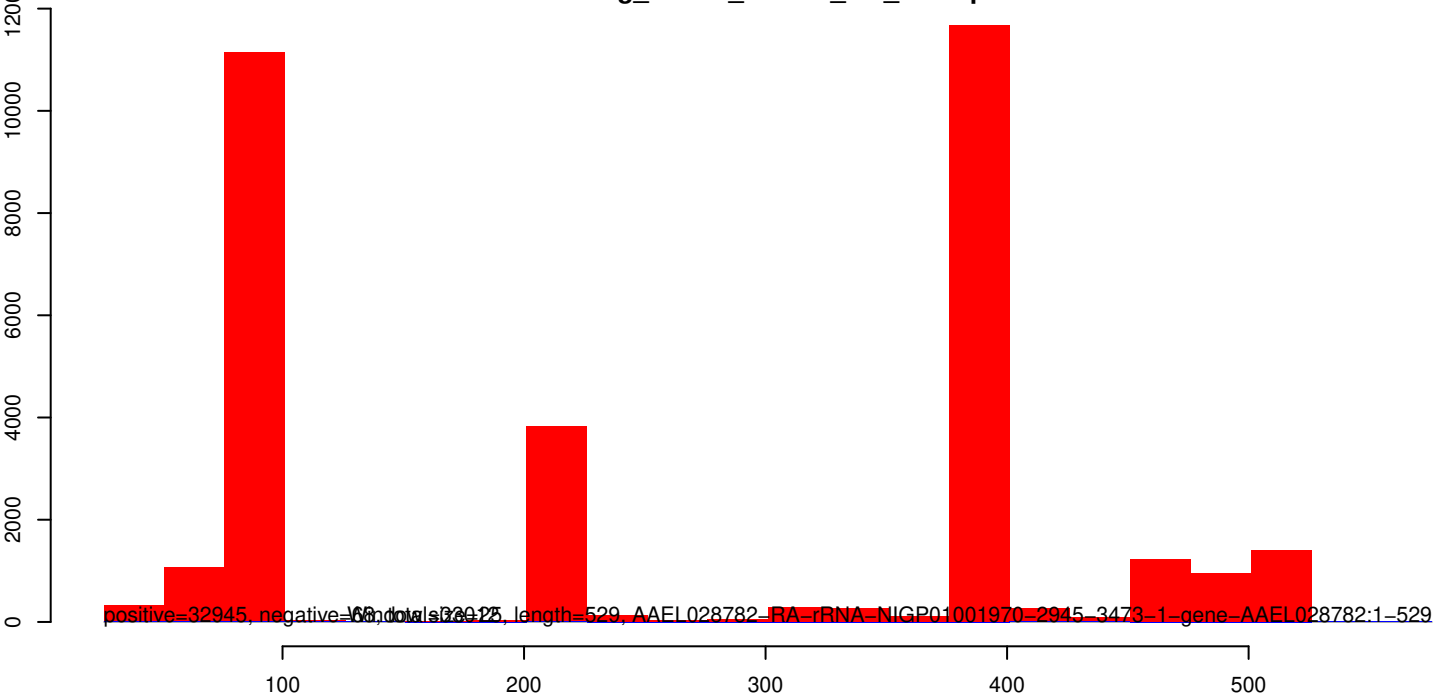
AeAeg_Whole_ZIKVdr_In3_GP.18_23.rep



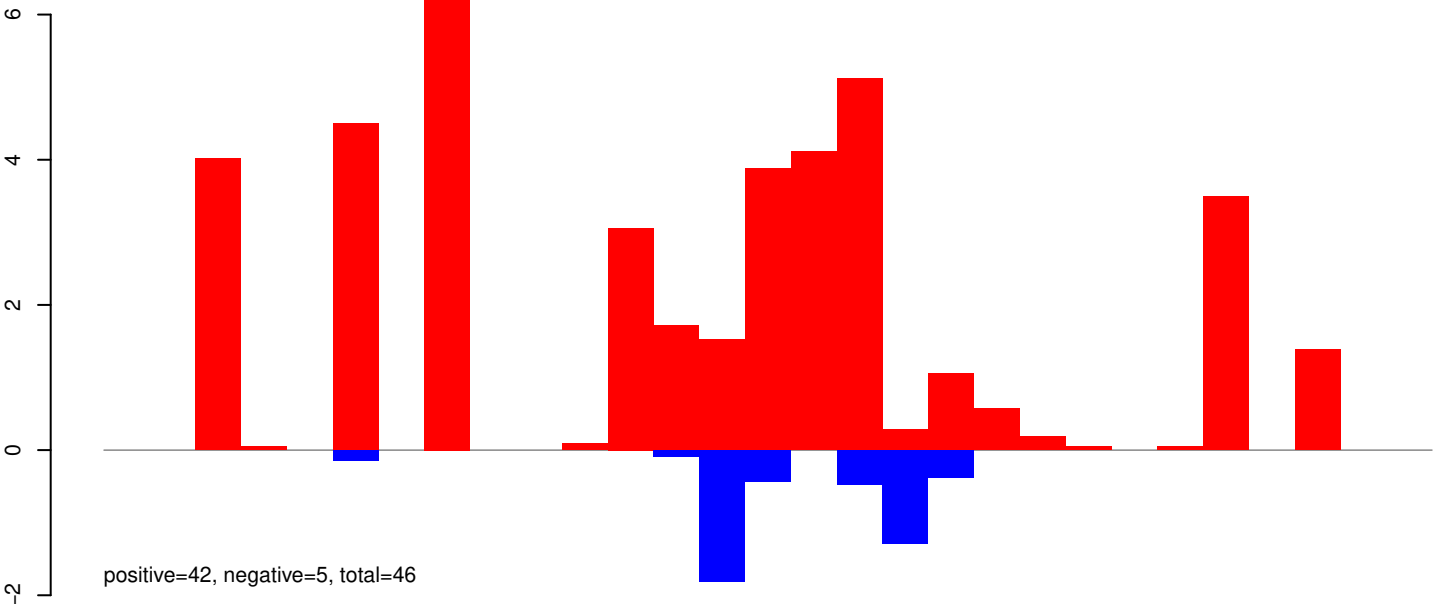
AeAeg_Whole_ZIKVdr_In3_GP.24_35.rep



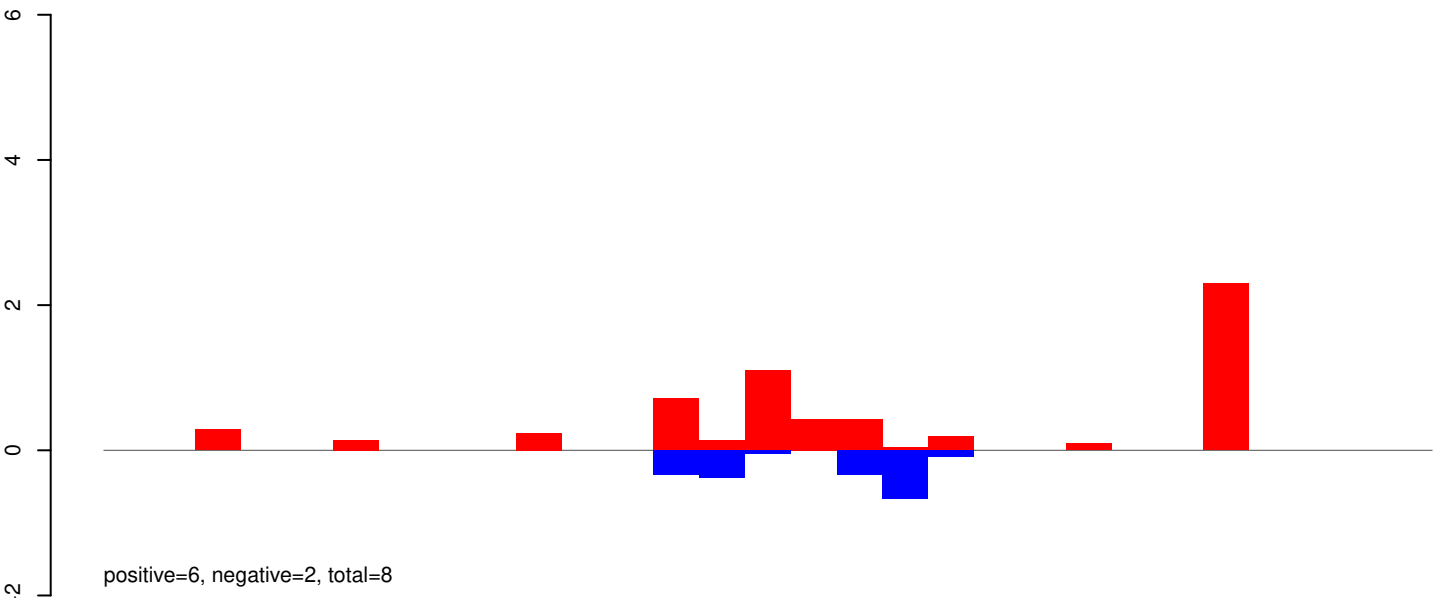
AeAeg_Whole_ZIKVdr_In3_GP.rep



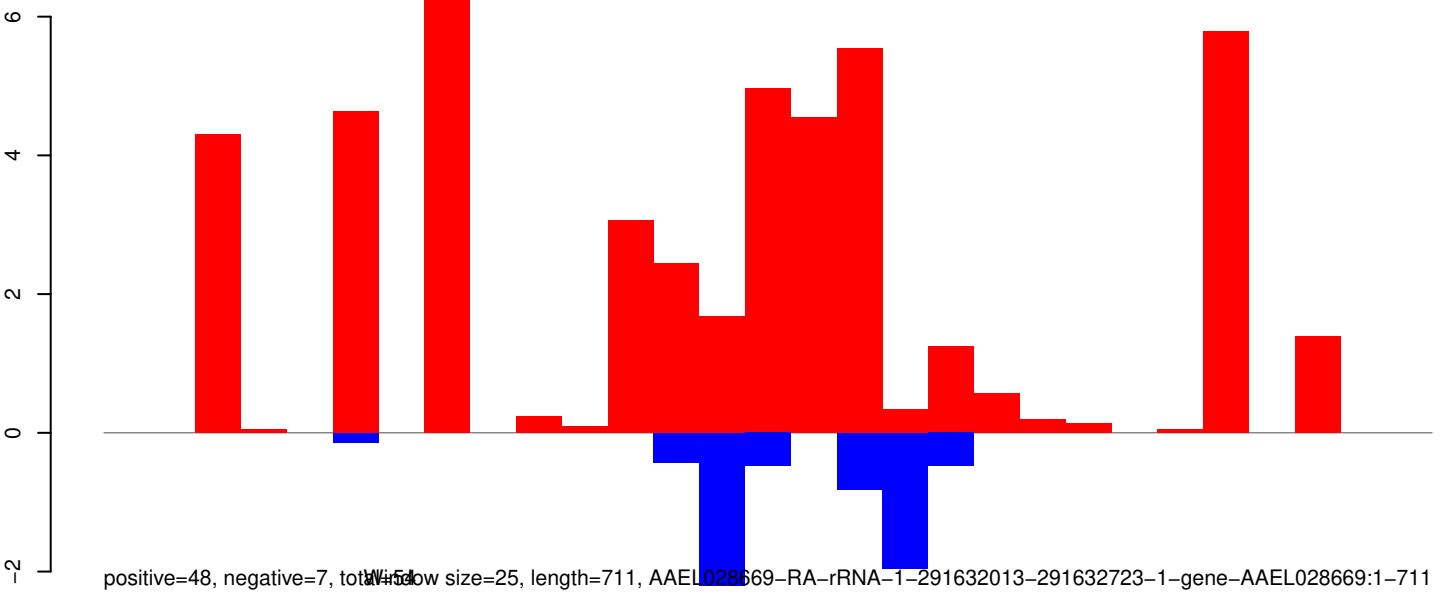
AeAeg_Whole_ZIKVdr_In3_GP.18_23.rep



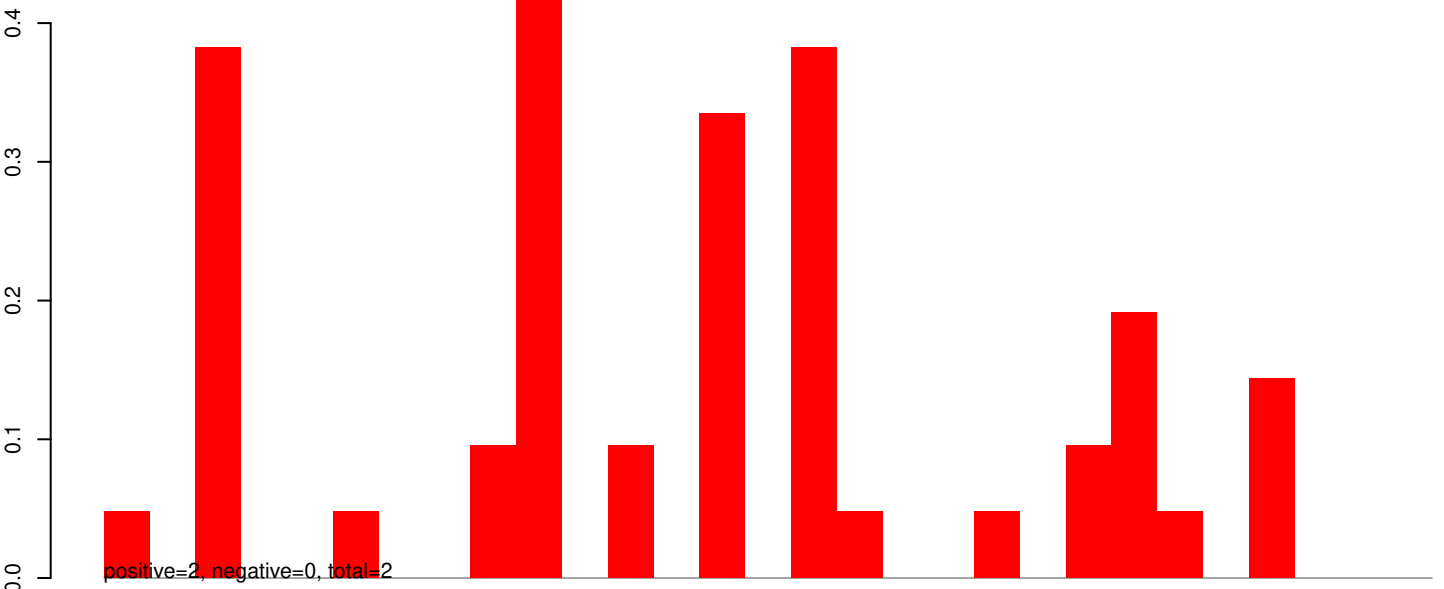
AeAeg_Whole_ZIKVdr_In3_GP.24_35.rep



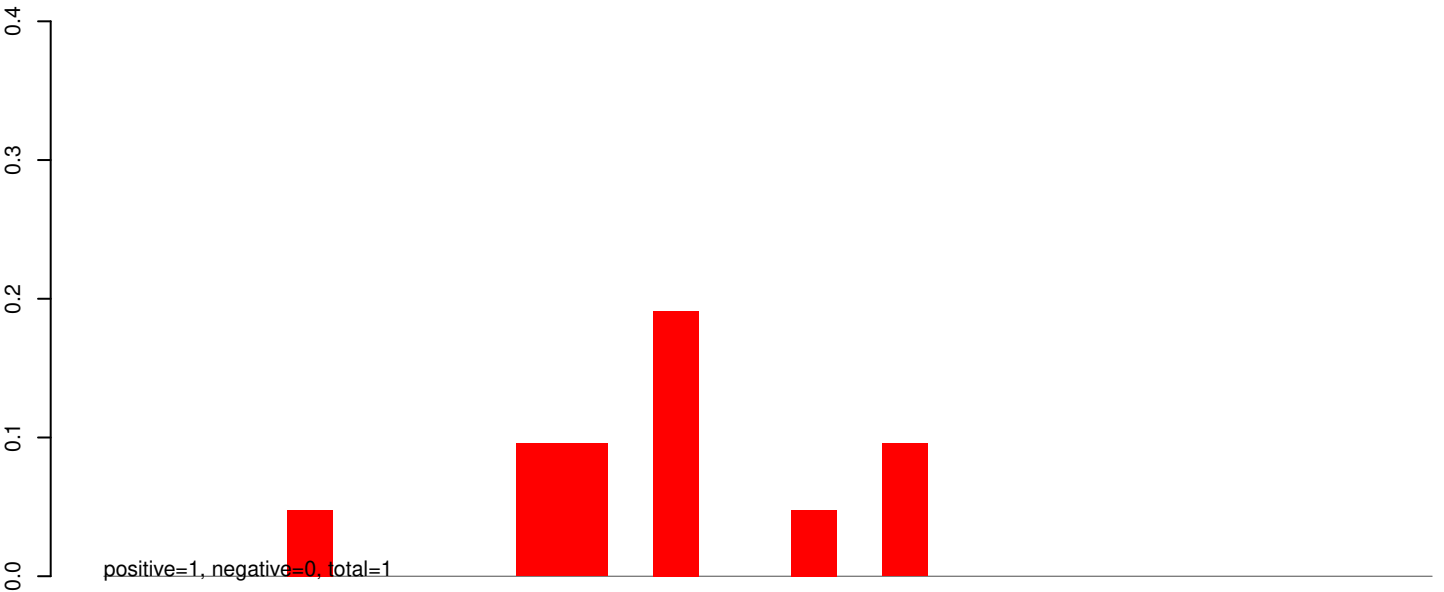
AeAeg_Whole_ZIKVdr_In3_GP.rep



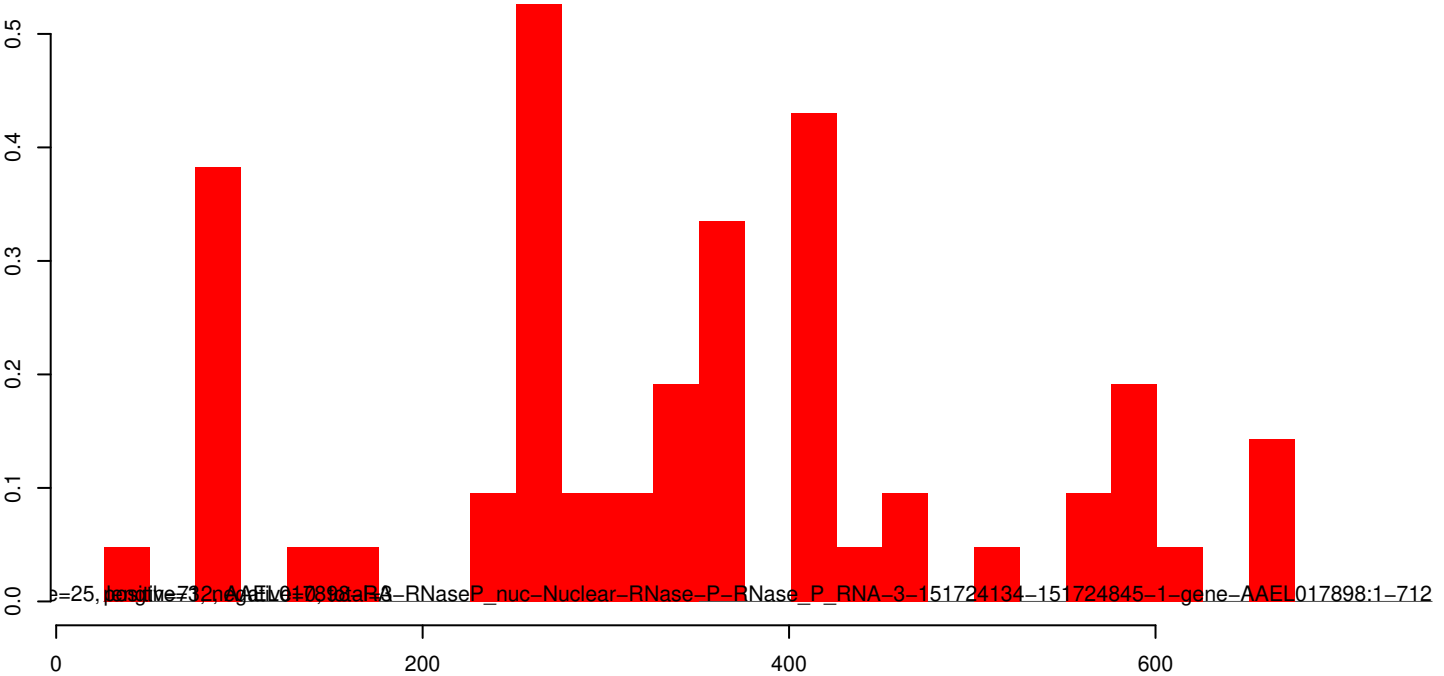
AeAeg_Whole_ZIKVdr_In3_GP.18_23.rep



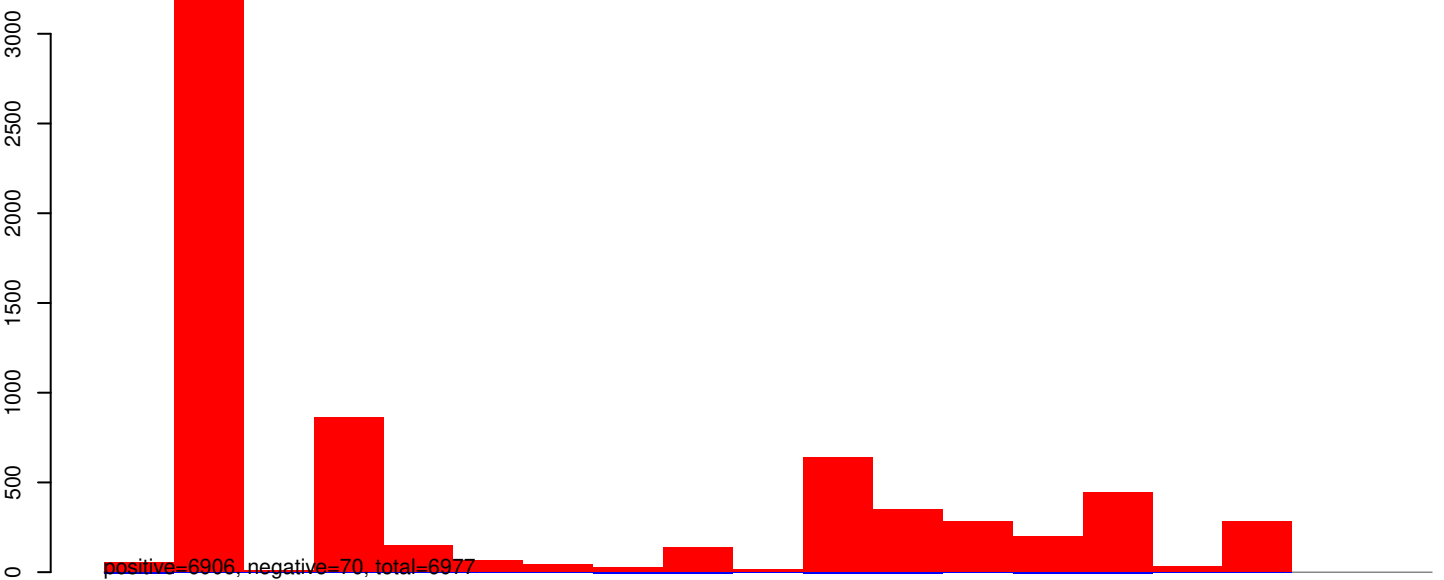
AeAeg_Whole_ZIKVdr_In3_GP.24_35.rep



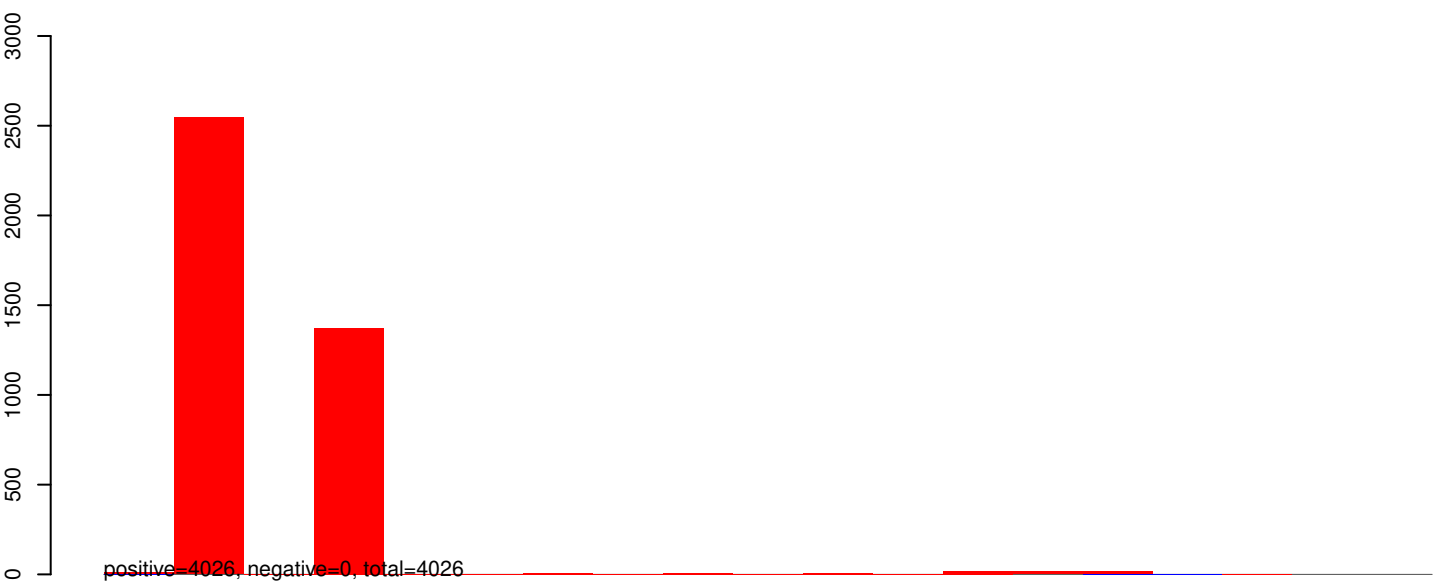
AeAeg_Whole_ZIKVdr_In3_GP.rep



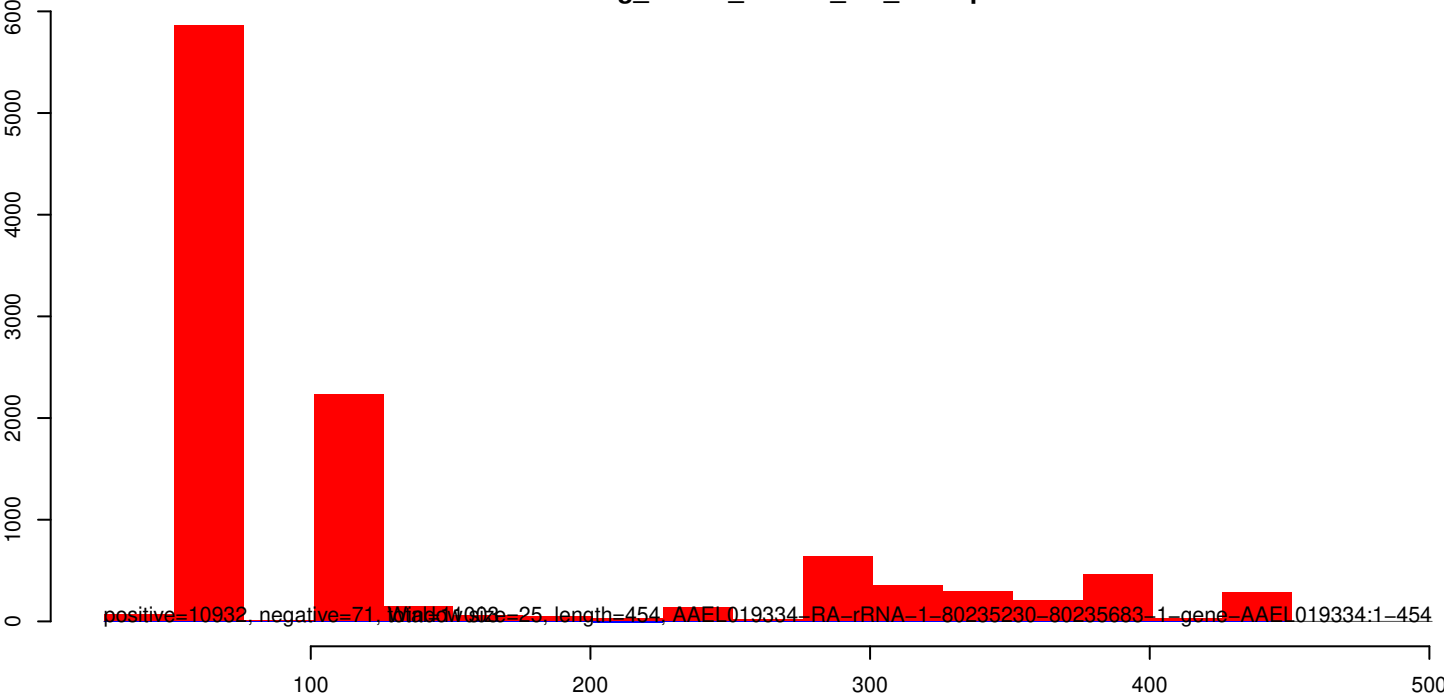
AeAeg_Whole_ZIKVdr_In3_GP.18_23.rep



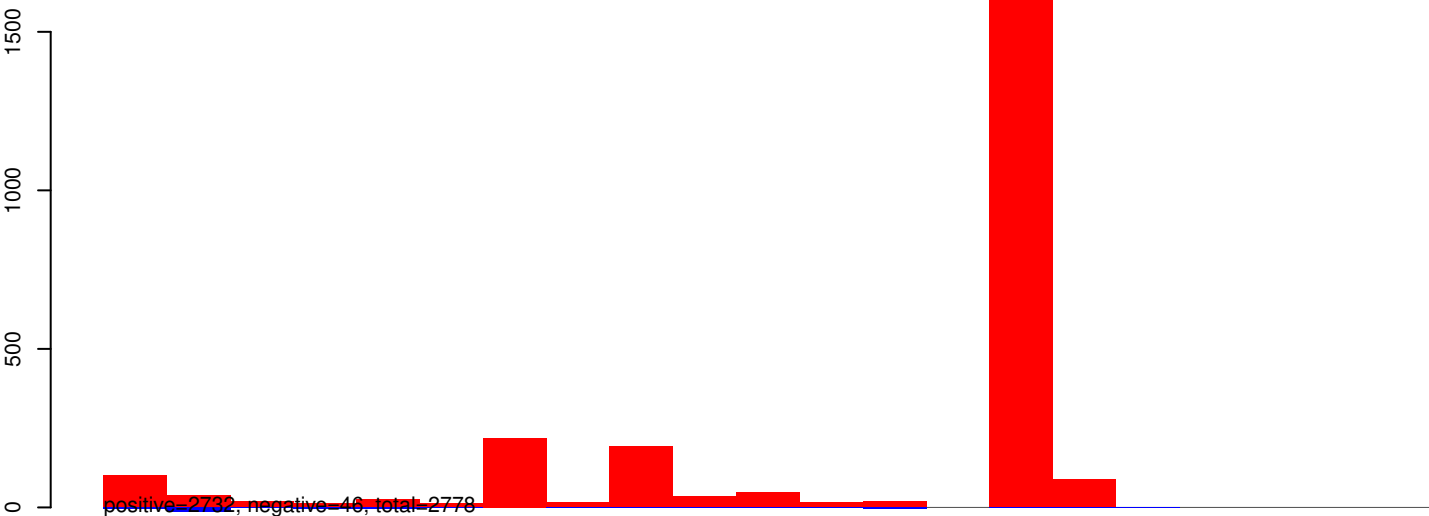
AeAeg_Whole_ZIKVdr_In3_GP.24_35.rep



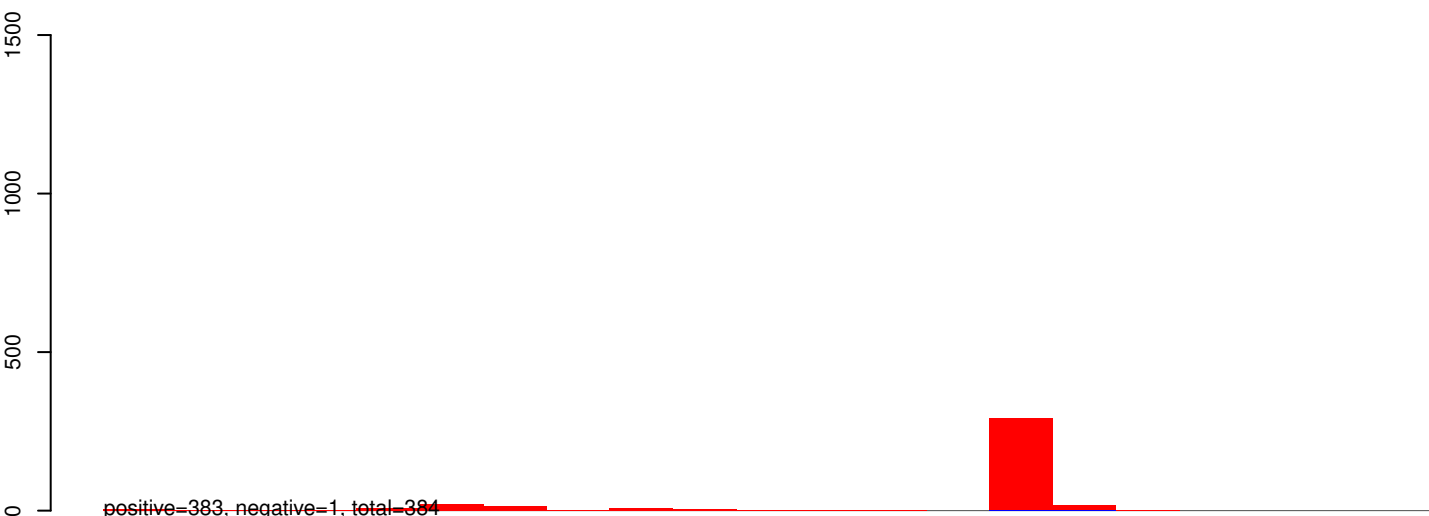
AeAeg_Whole_ZIKVdr_In3_GP.rep



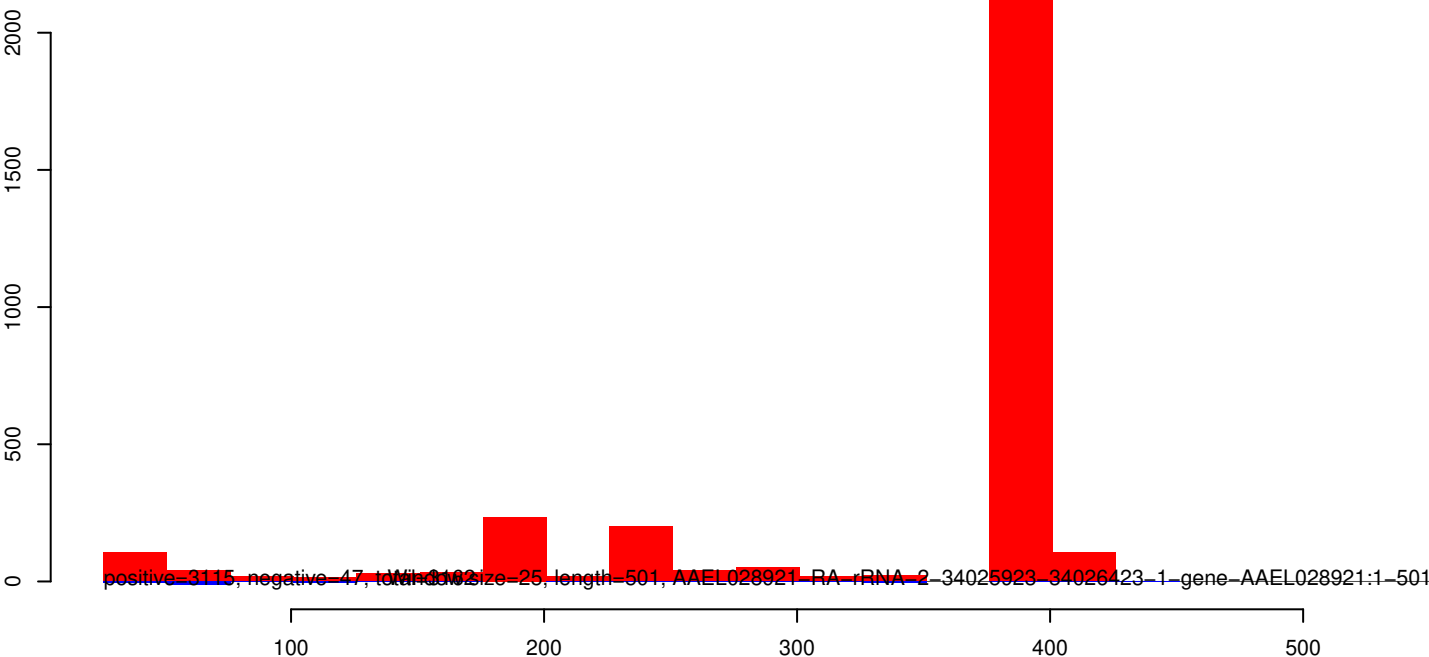
AeAeg_Whole_ZIKVdr_In3_GP.18_23.rep



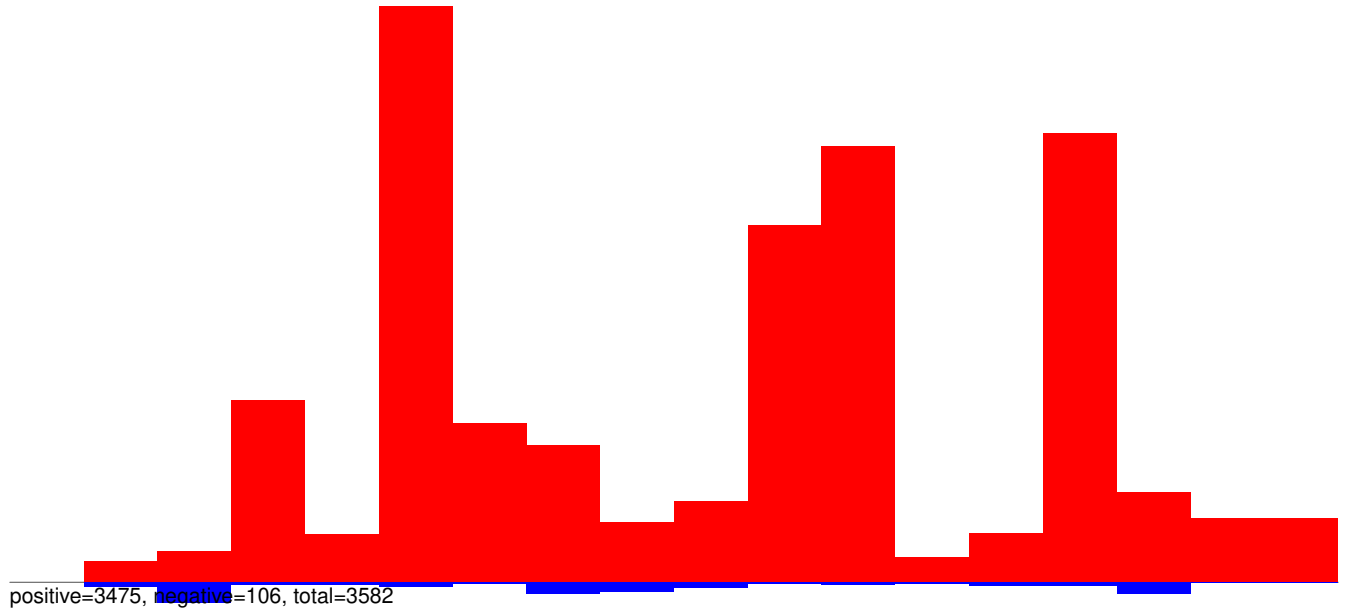
AeAeg_Whole_ZIKVdr_In3_GP.24_35.rep



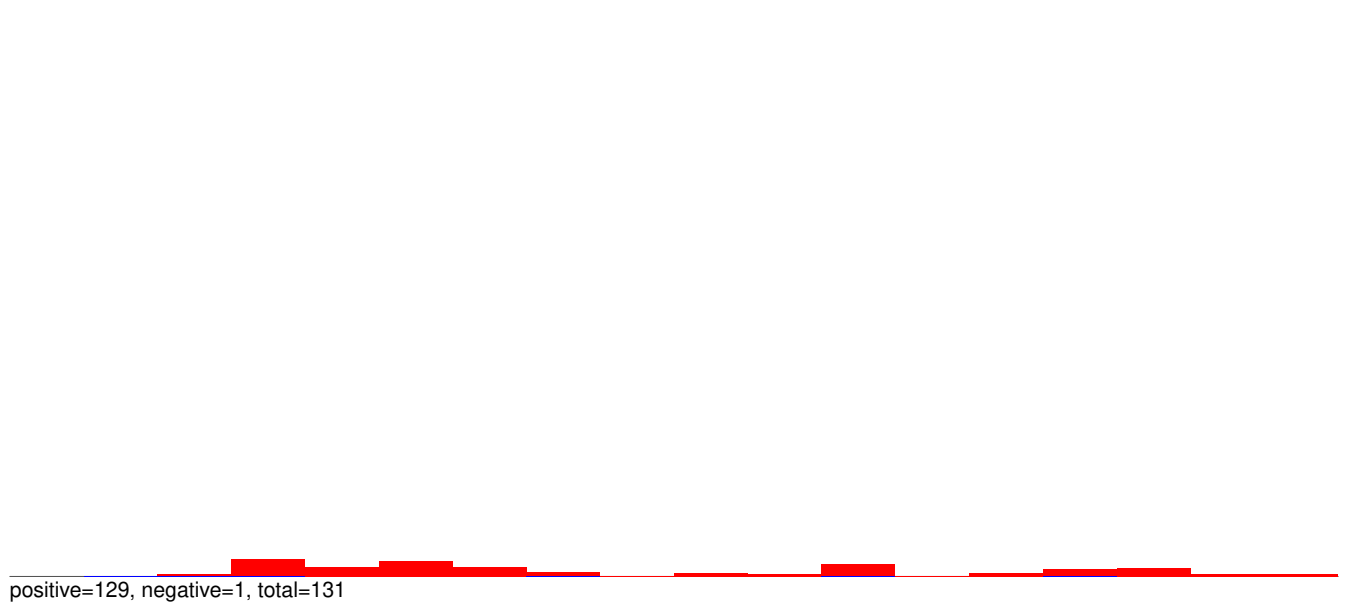
AeAeg_Whole_ZIKVdr_In3_GP.rep



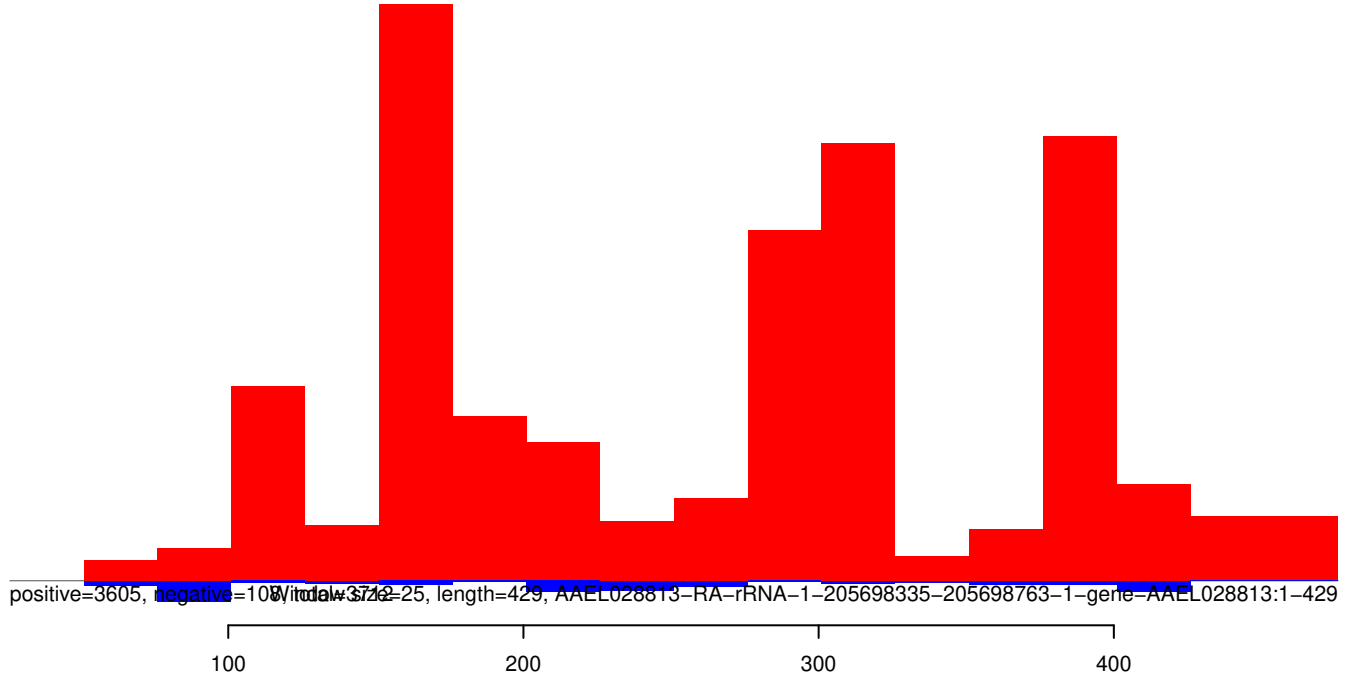
AeAeg_Whole_ZIKVdr_In3_GP.18_23.rep



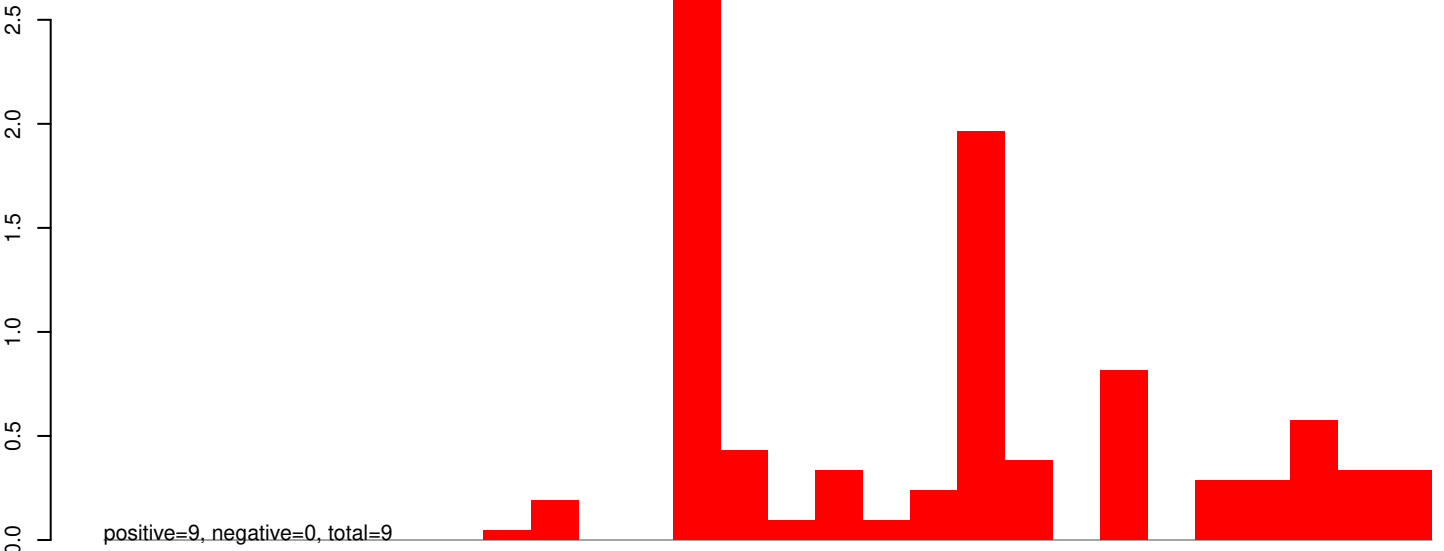
AeAeg_Whole_ZIKVdr_In3_GP.24_35.rep



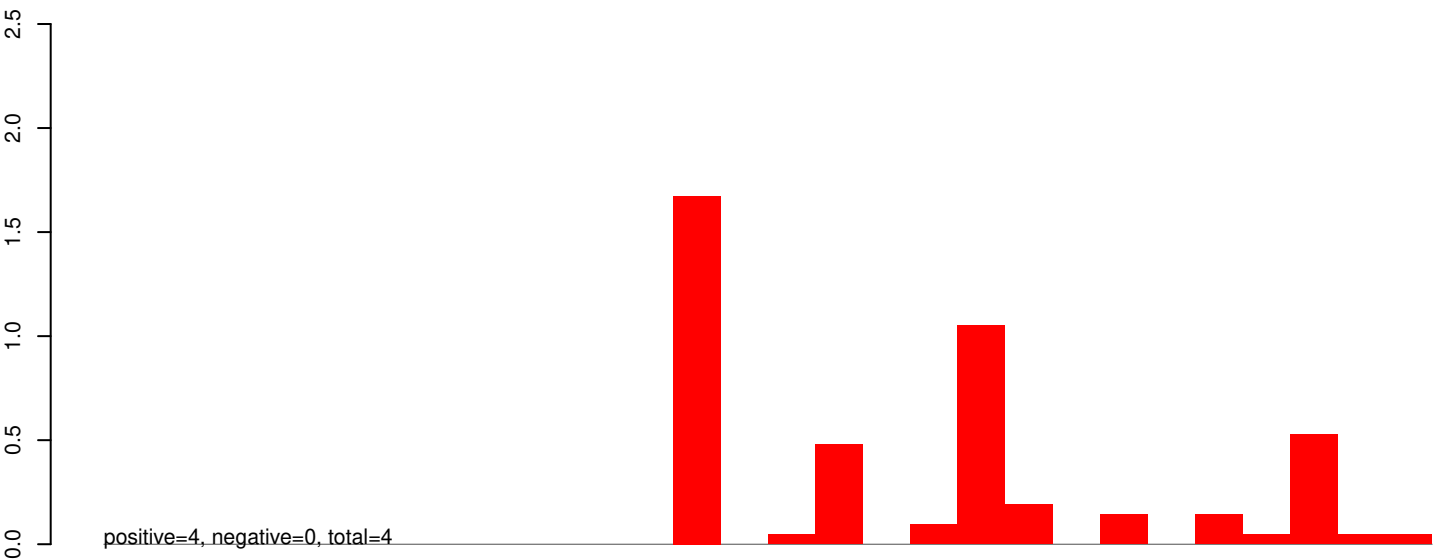
AeAeg_Whole_ZIKVdr_In3_GP.rep



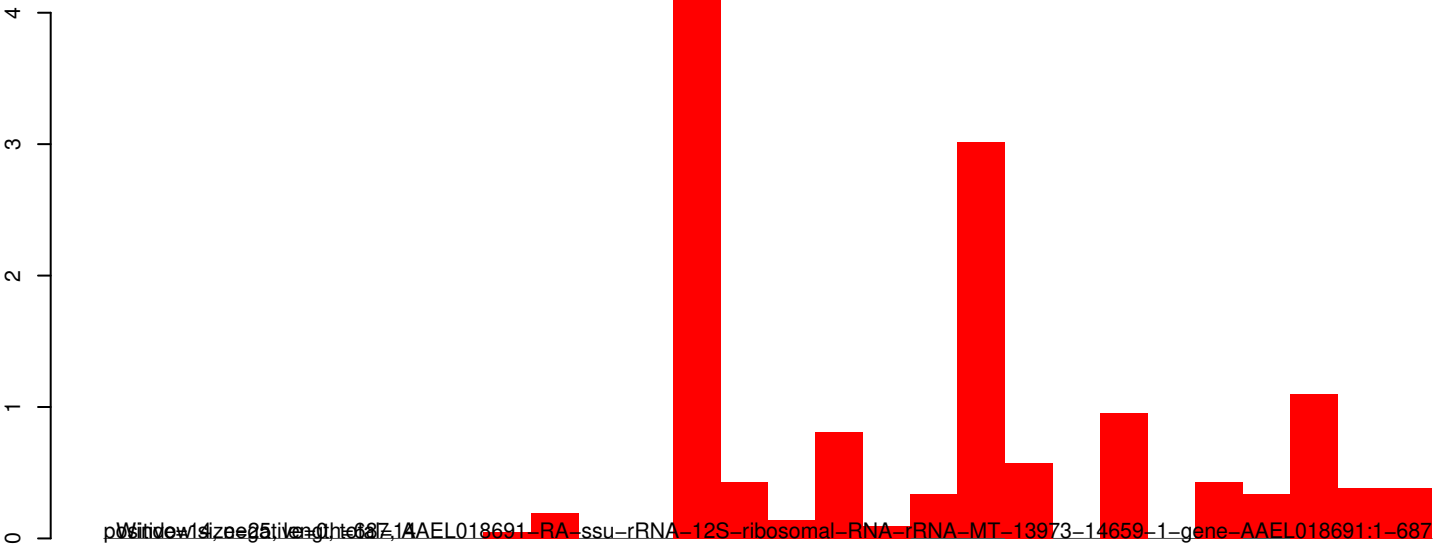
AeAeg_Whole_ZIKVdr_In3_GP.18_23.rep



AeAeg_Whole_ZIKVdr_In3_GP.24_35.rep

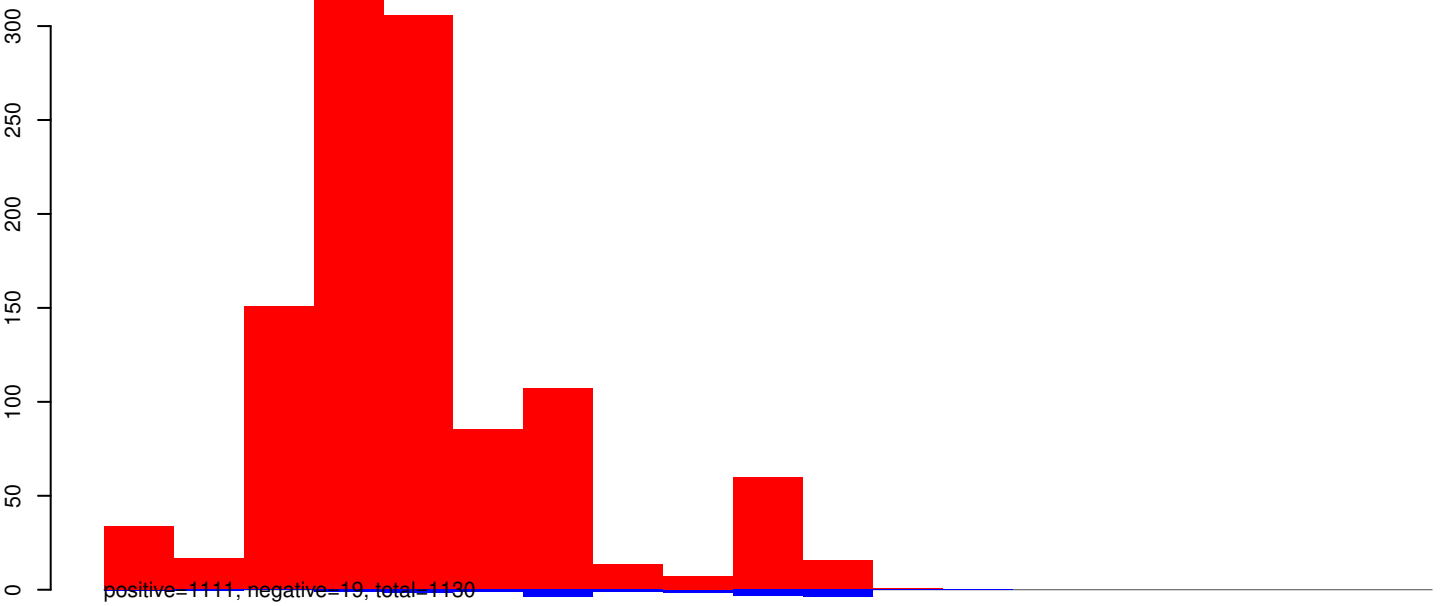


AeAeg_Whole_ZIKVdr_In3_GP.rep

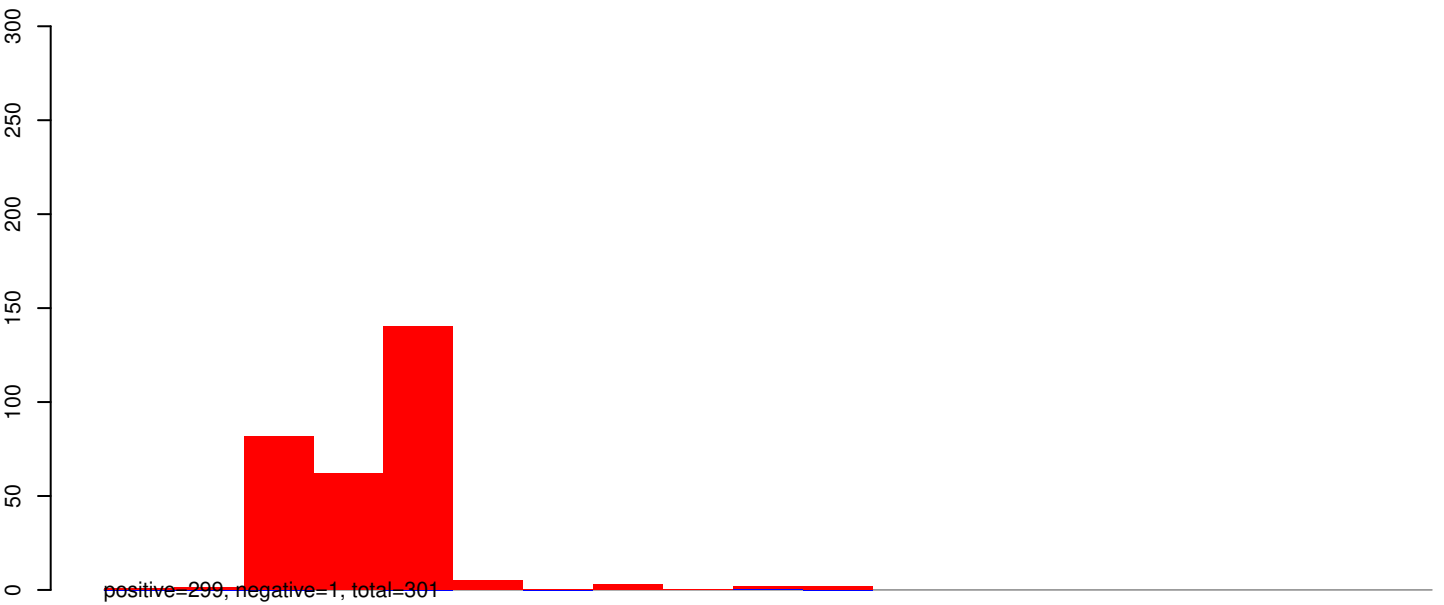


Window size=25, step=10, total=1, AAEL018691-RA-ssu-rRNA-12S-ribosomal-RNA-rRNA-MT-13973-14659-1-gene-AAEL018691:1-687

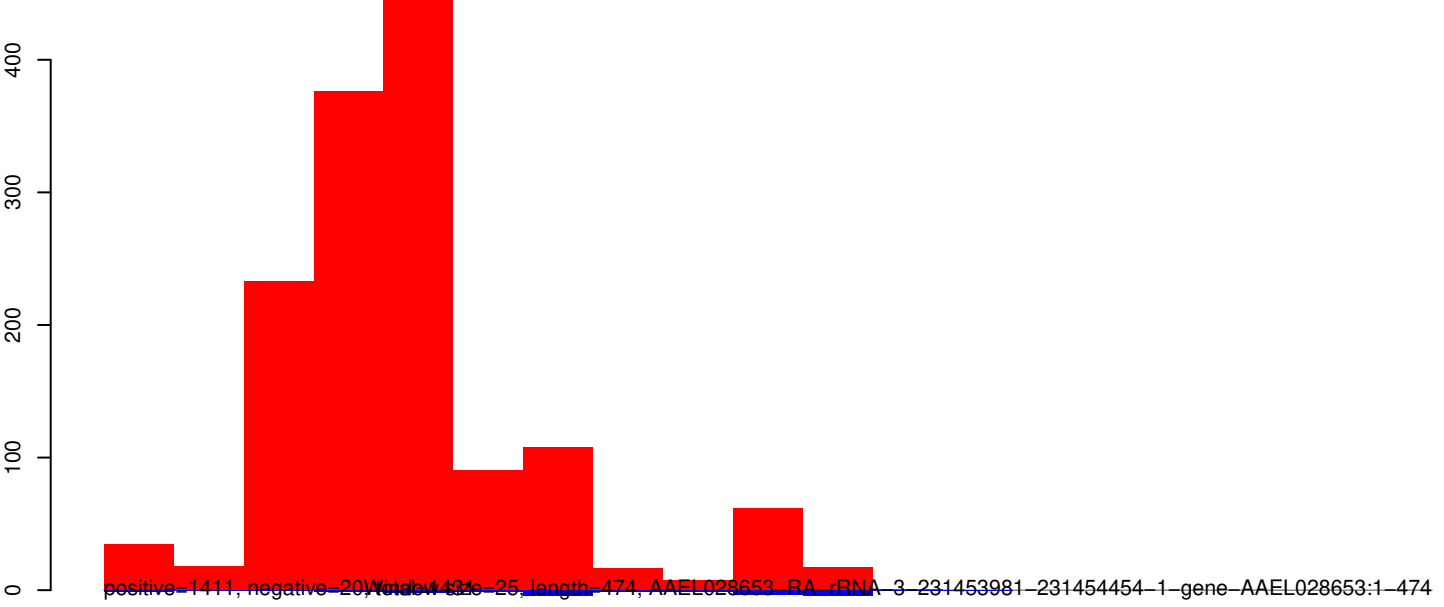
AeAeg_Whole_ZIKVdr_In3_GP.18_23.rep



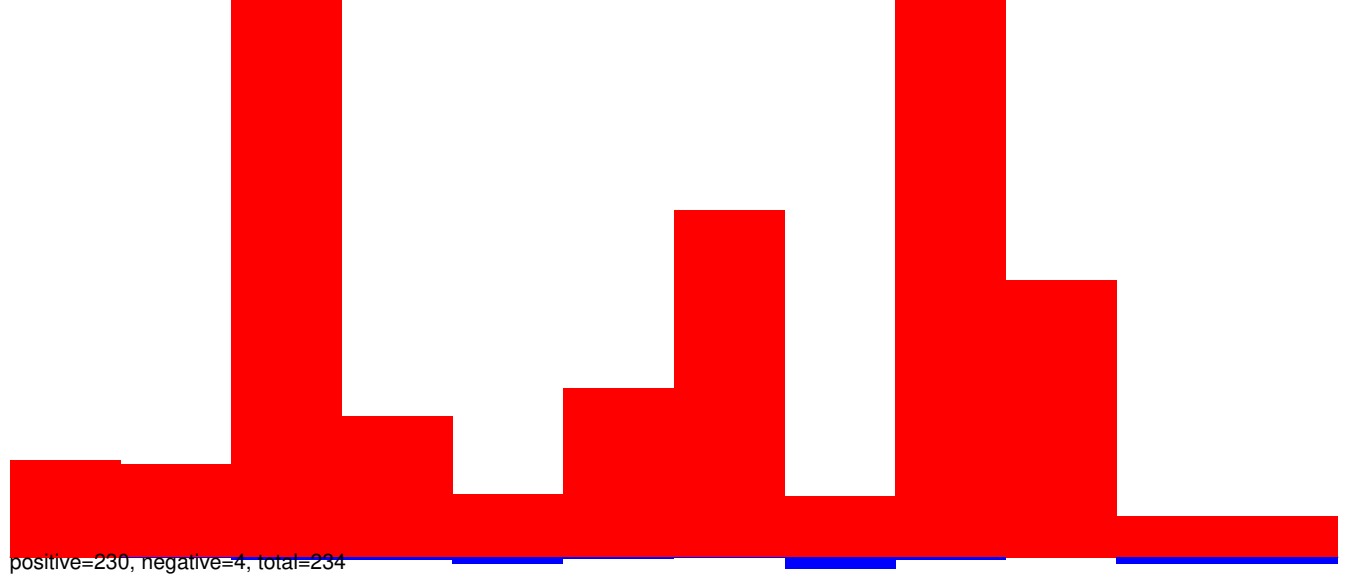
AeAeg_Whole_ZIKVdr_In3_GP.24_35.rep



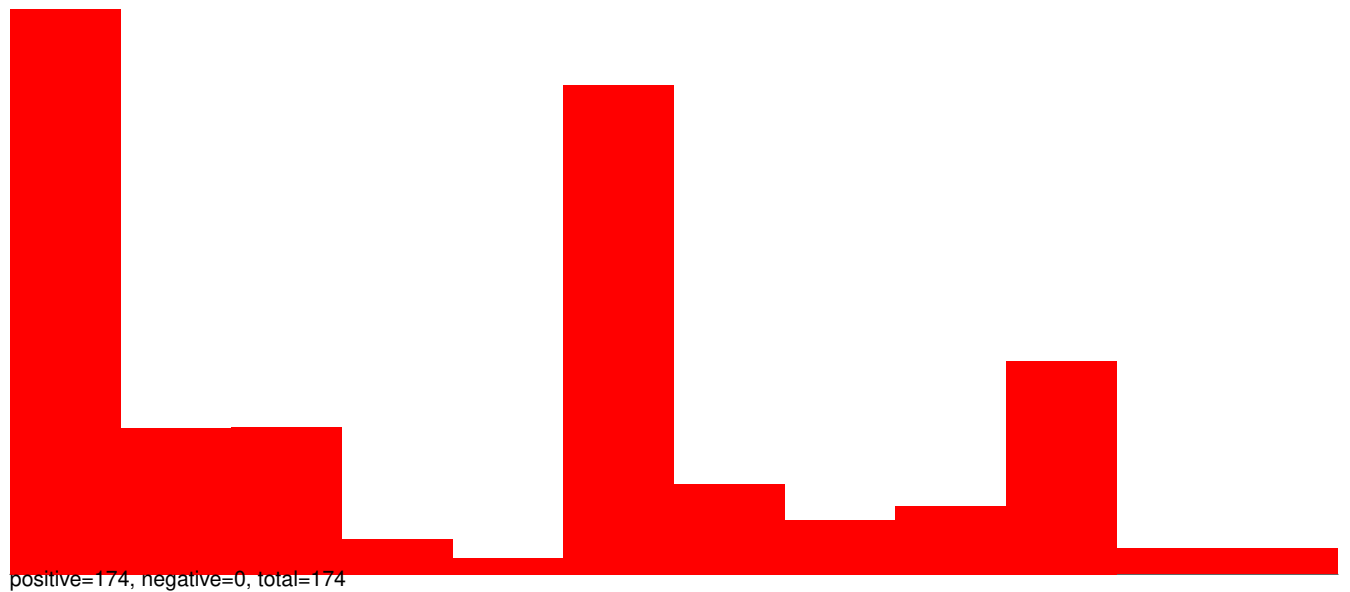
AeAeg_Whole_ZIKVdr_In3_GP.rep



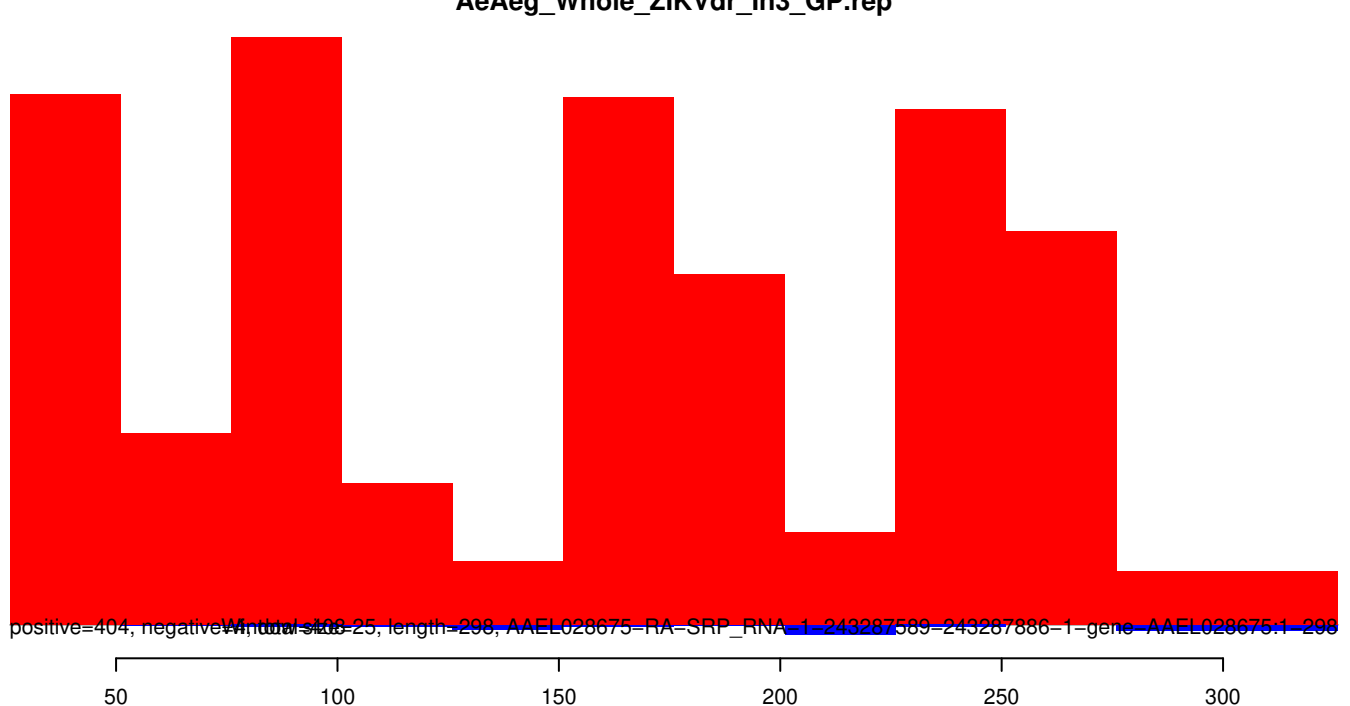
AeAeg_Whole_ZIKVdr_In3_GP.18_23.rep



AeAeg_Whole_ZIKVdr_In3_GP.24_35.rep

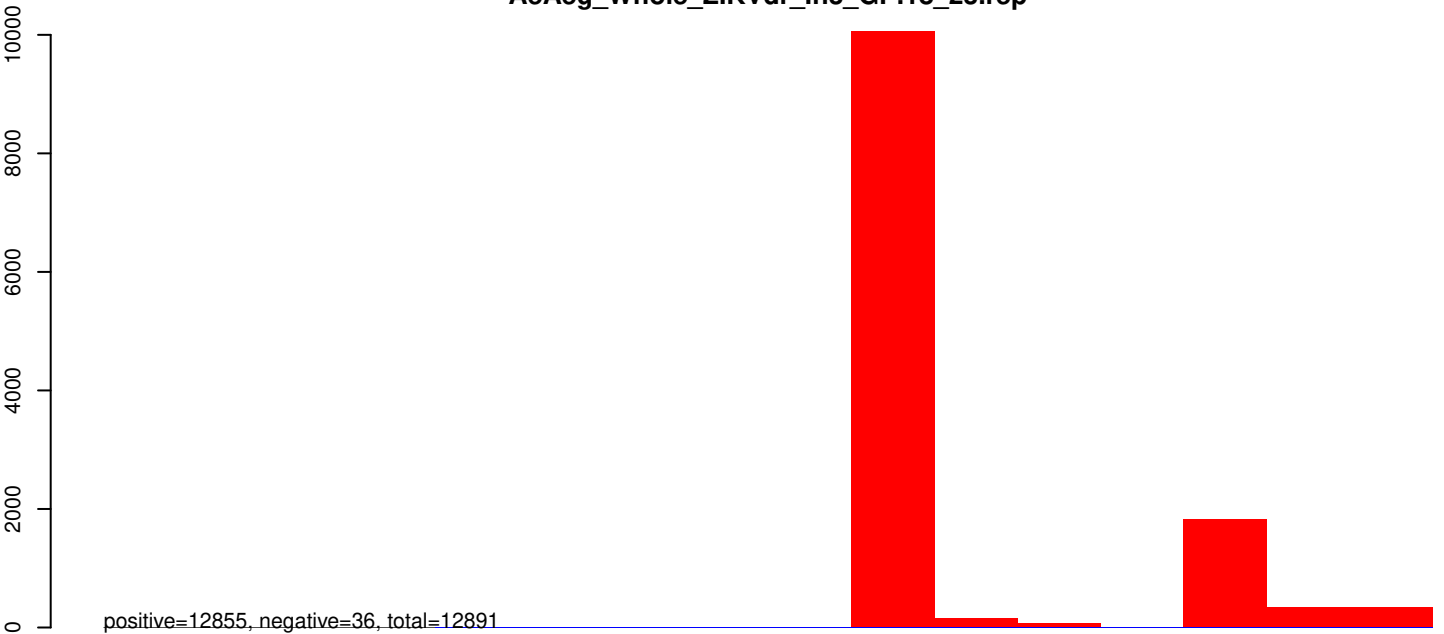


AeAeg_Whole_ZIKVdr_In3_GP.rep



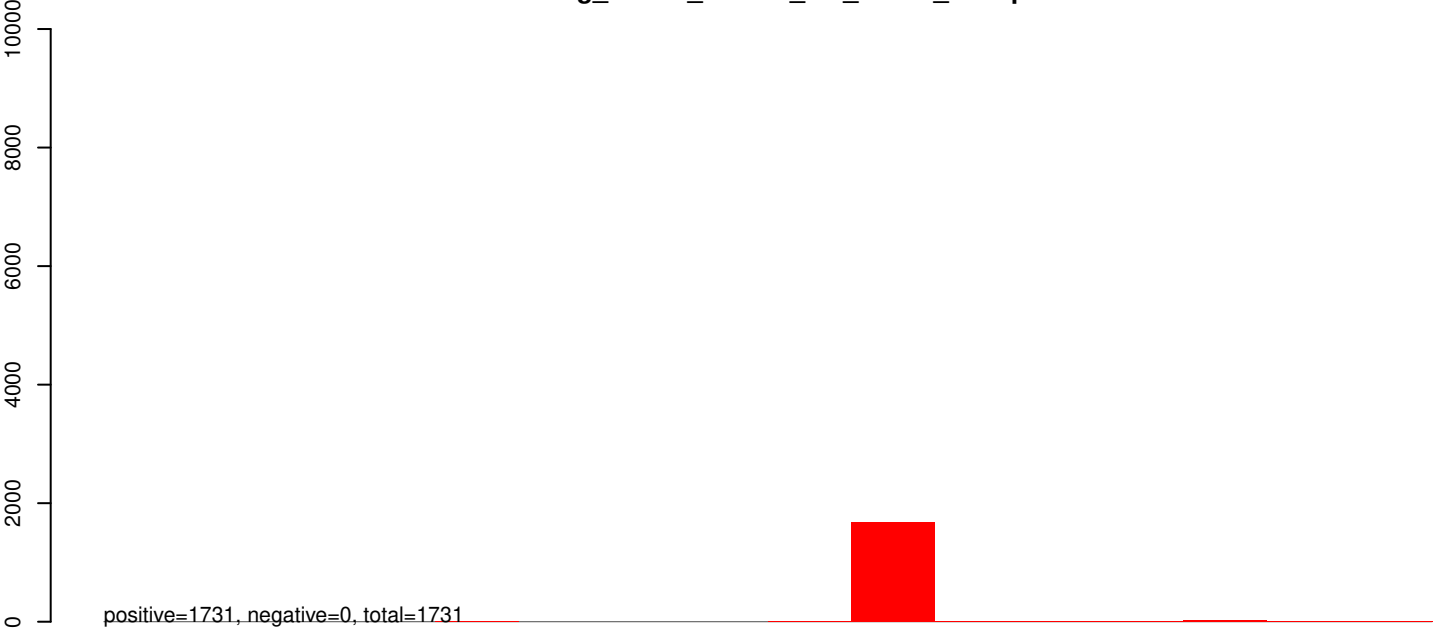
AeAeg_Whole_ZIKVdr_In3_GP.18_23.rep

positive=12855, negative=36, total=12891



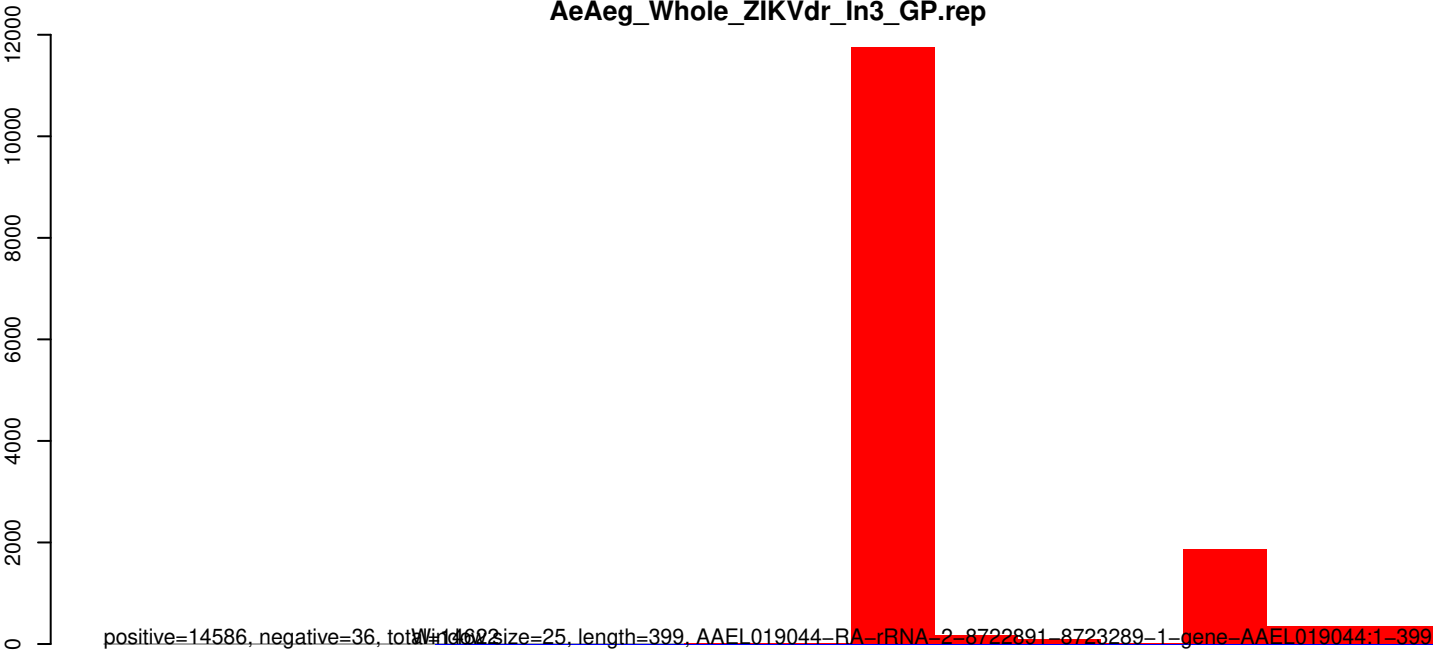
AeAeg_Whole_ZIKVdr_In3_GP.24_35.rep

positive=1731, negative=0, total=1731

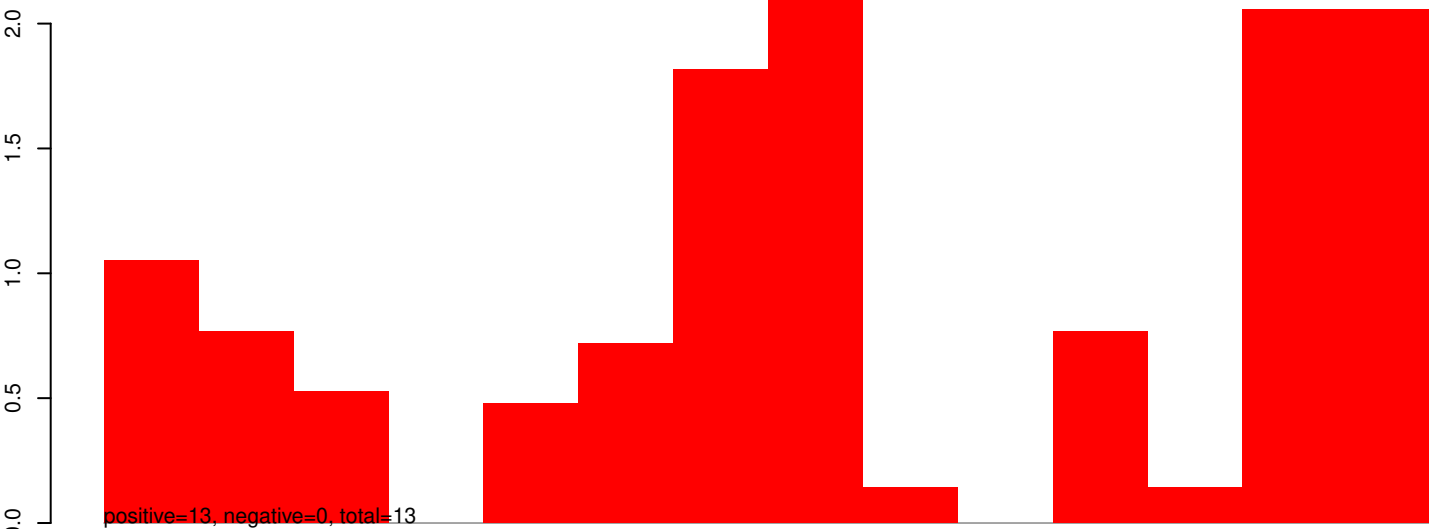


AeAeg_Whole_ZIKVdr_In3_GP.rep

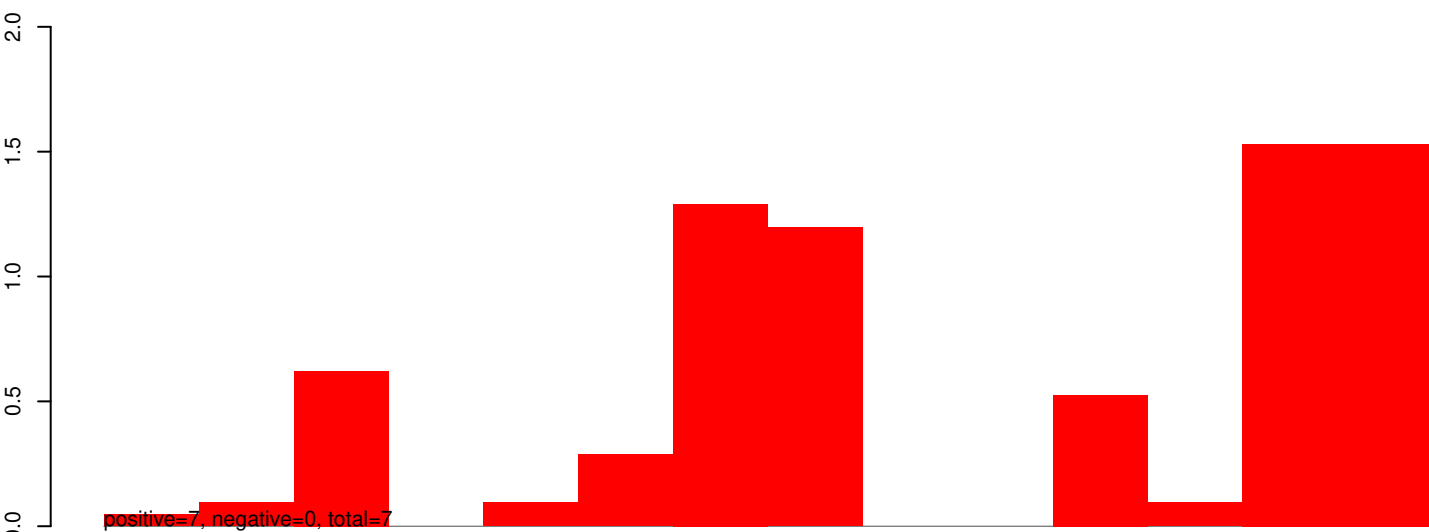
positive=14586, negative=36, total=14622, window size=25, length=399, AAEL019044-RA-rRNA-2-8722891-8723289-1-gene-AAEL019044:1-399



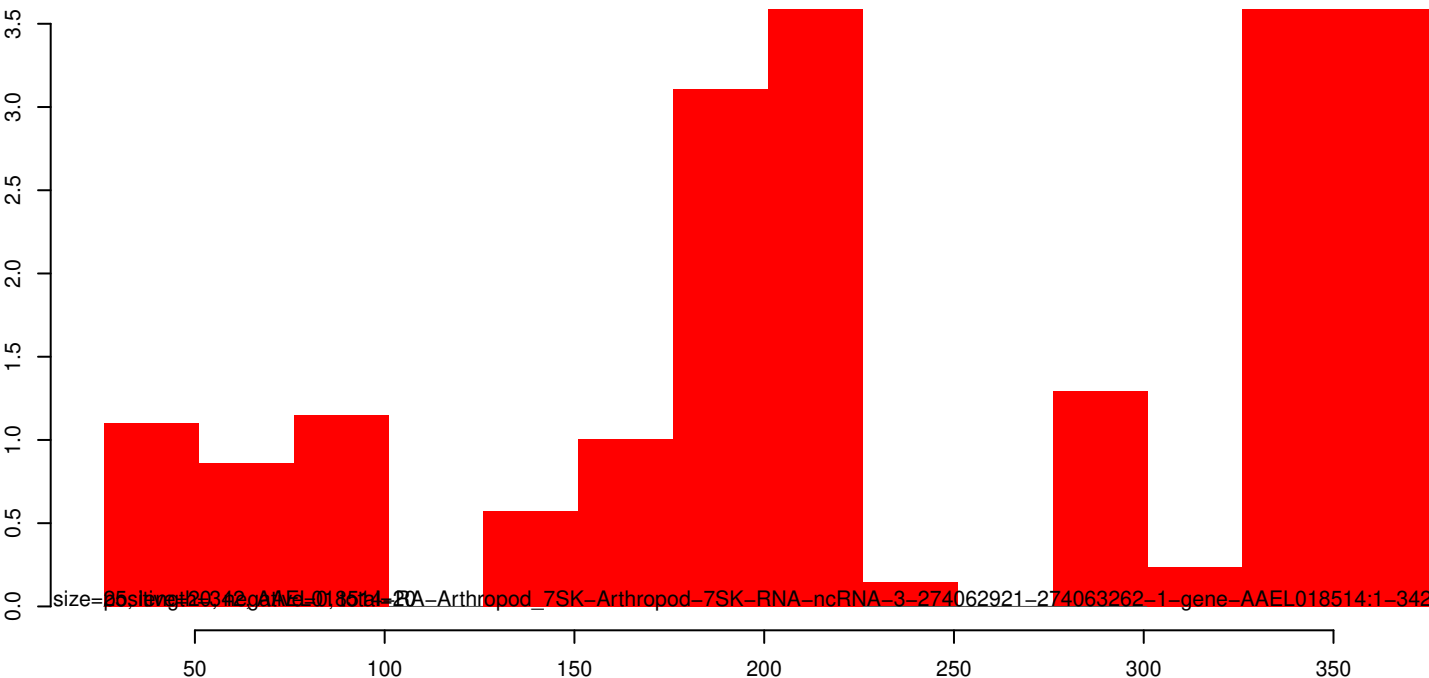
AeAeg_Whole_ZIKVdr_In3_GP.18_23.rep



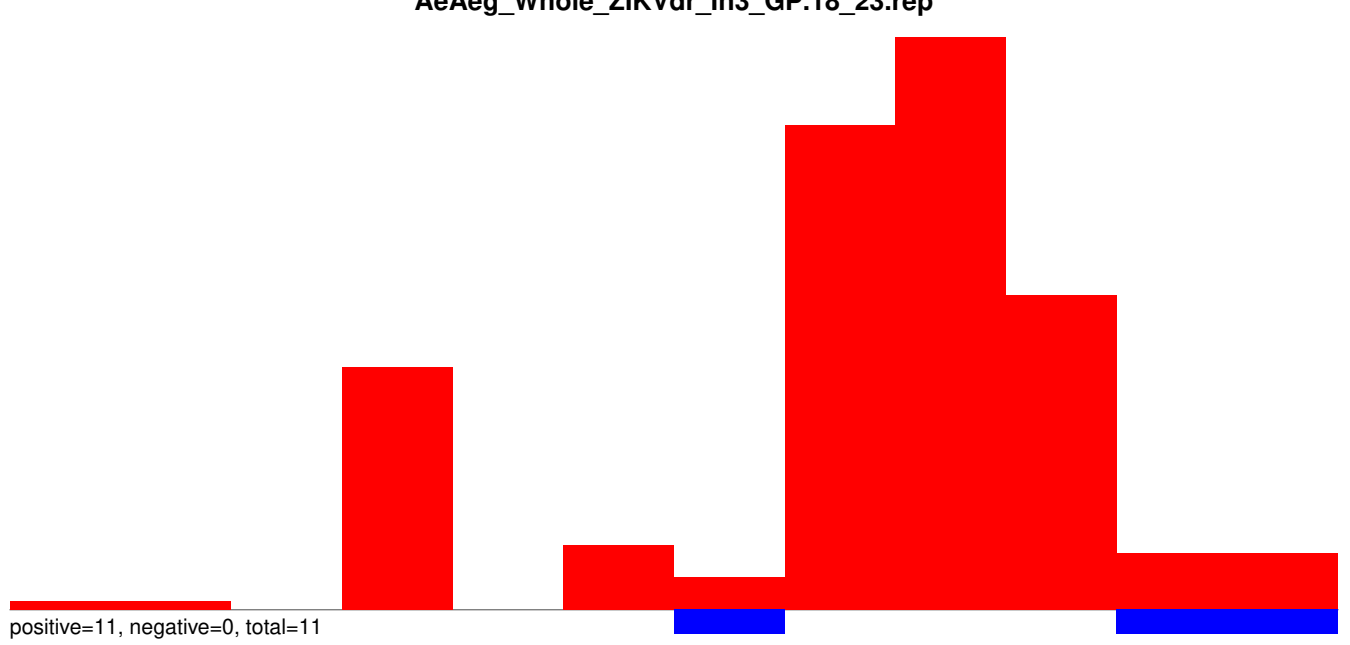
AeAeg_Whole_ZIKVdr_In3_GP.24_35.rep



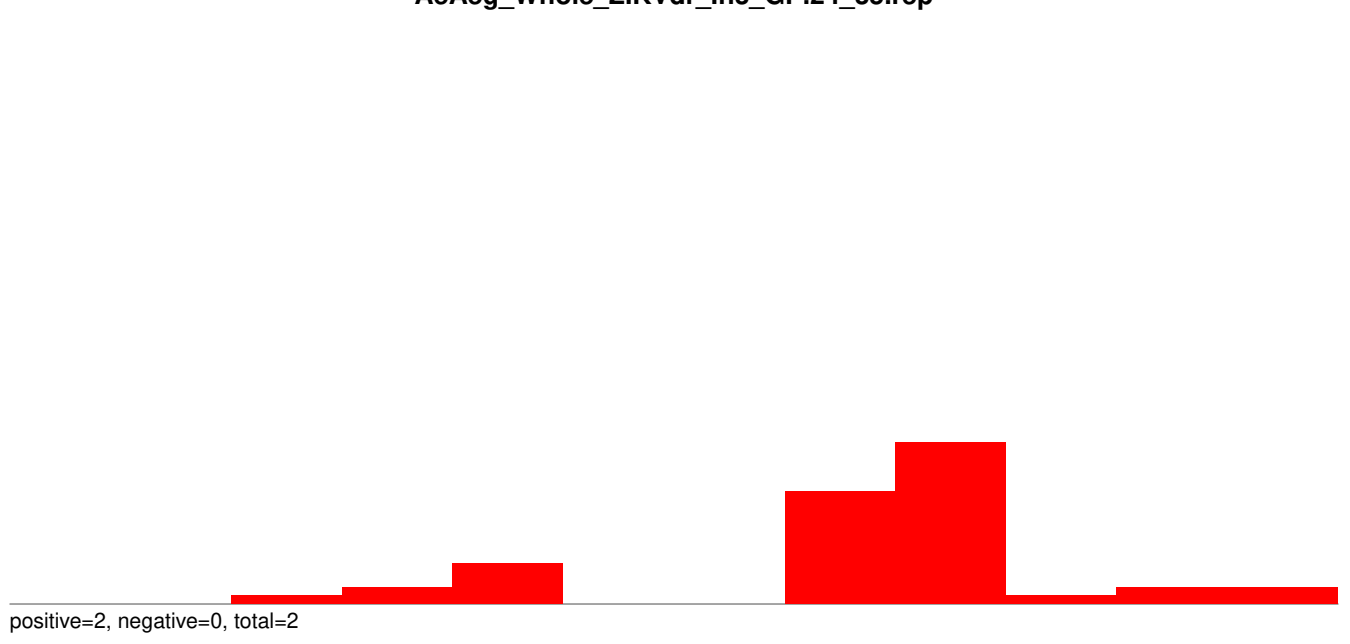
AeAeg_Whole_ZIKVdr_In3_GP.rep



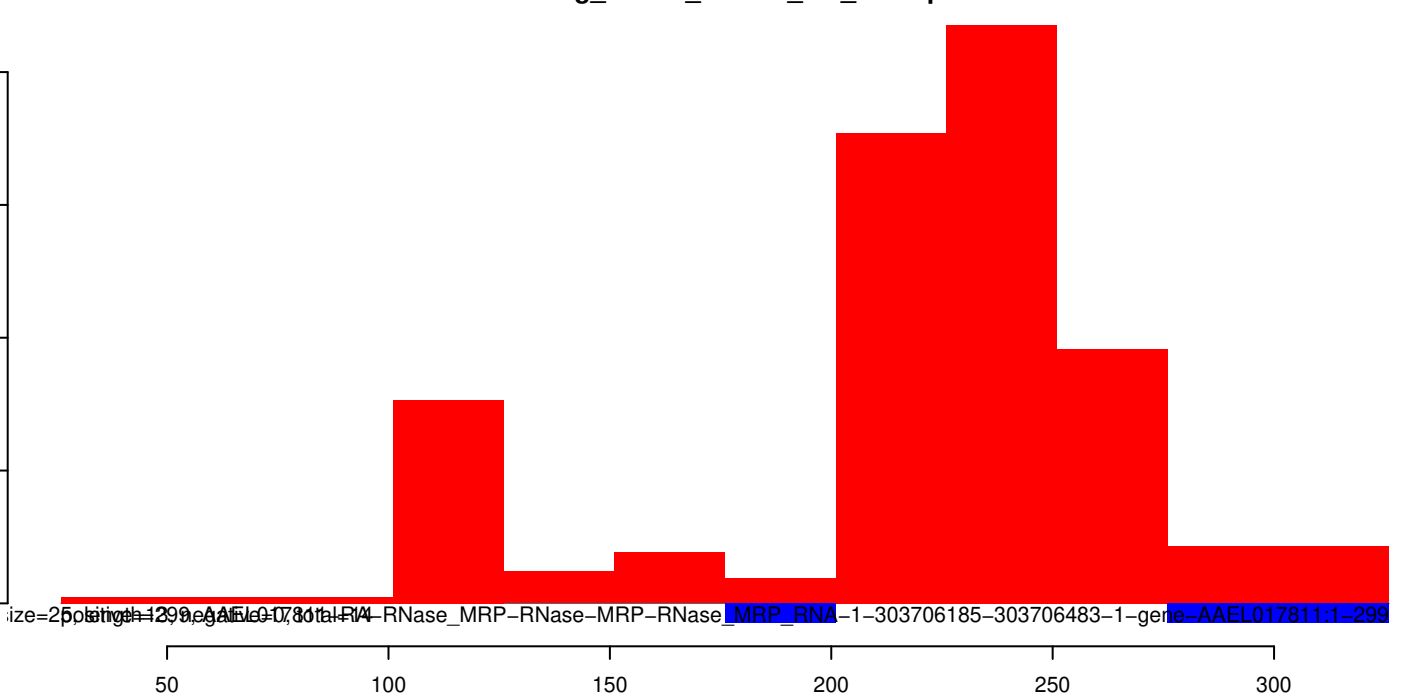
AeAeg_Whole_ZIKVdr_In3_GP.18_23.rep



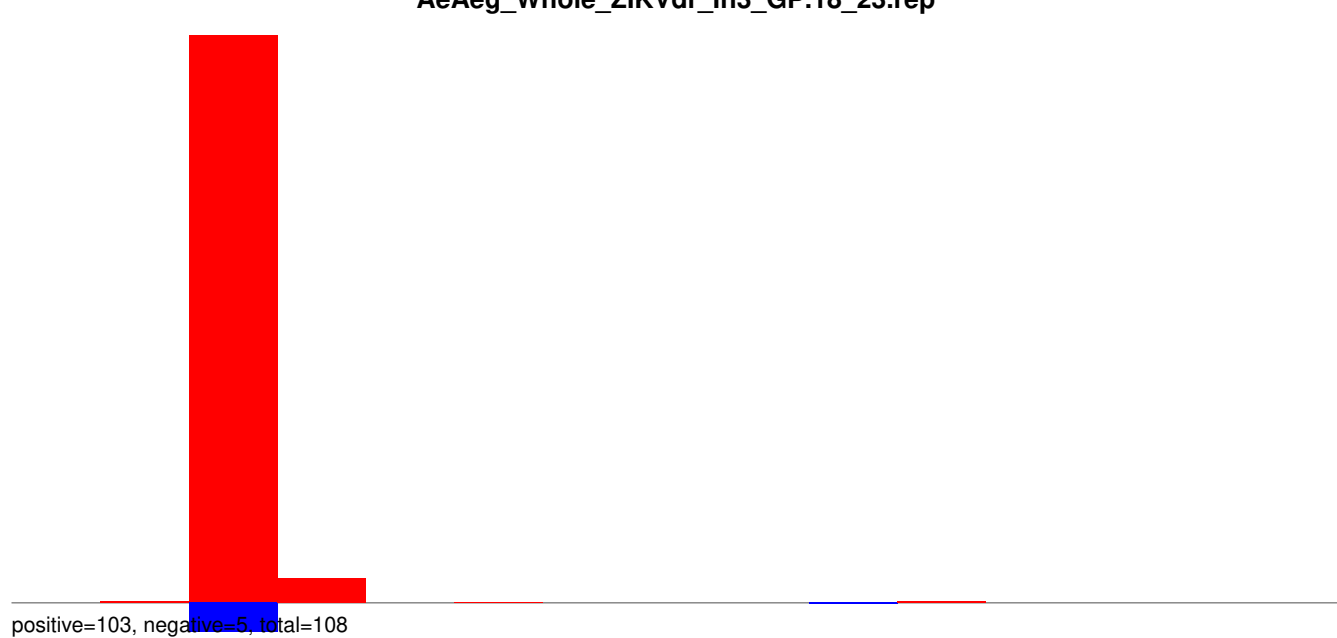
AeAeg_Whole_ZIKVdr_In3_GP.24_35.rep



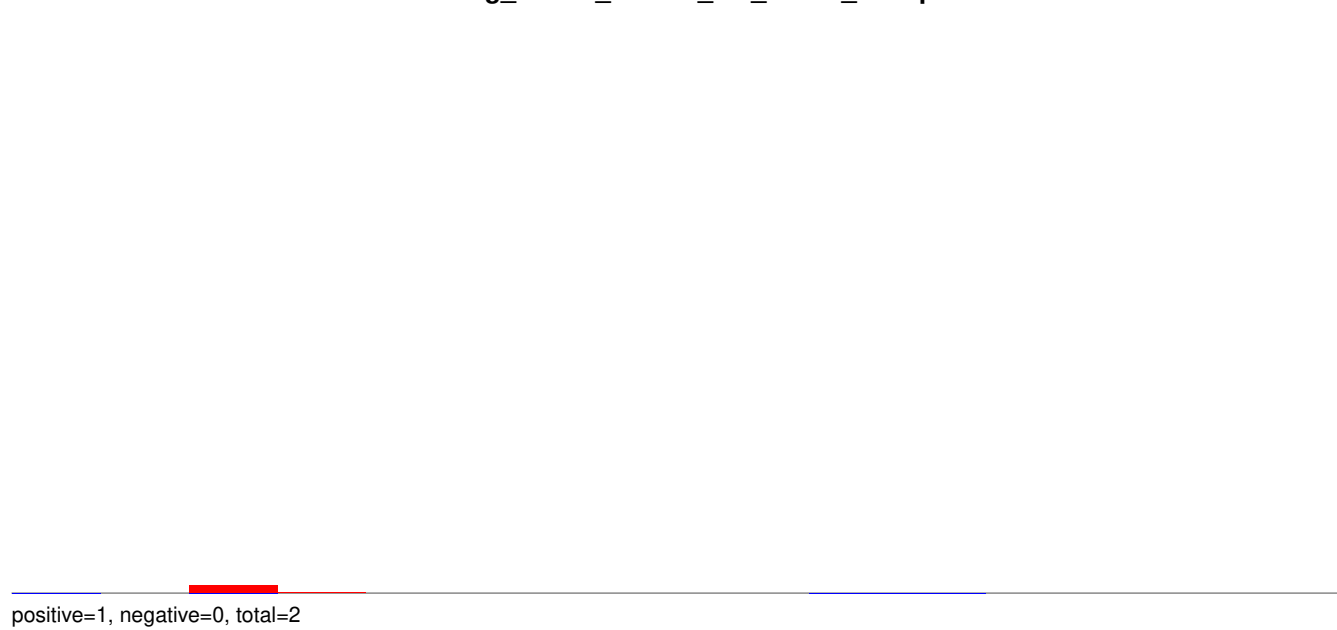
AeAeg_Whole_ZIKVdr_In3_GP.rep



AeAeg_Whole_ZIKVdr_In3_GP.18_23.rep



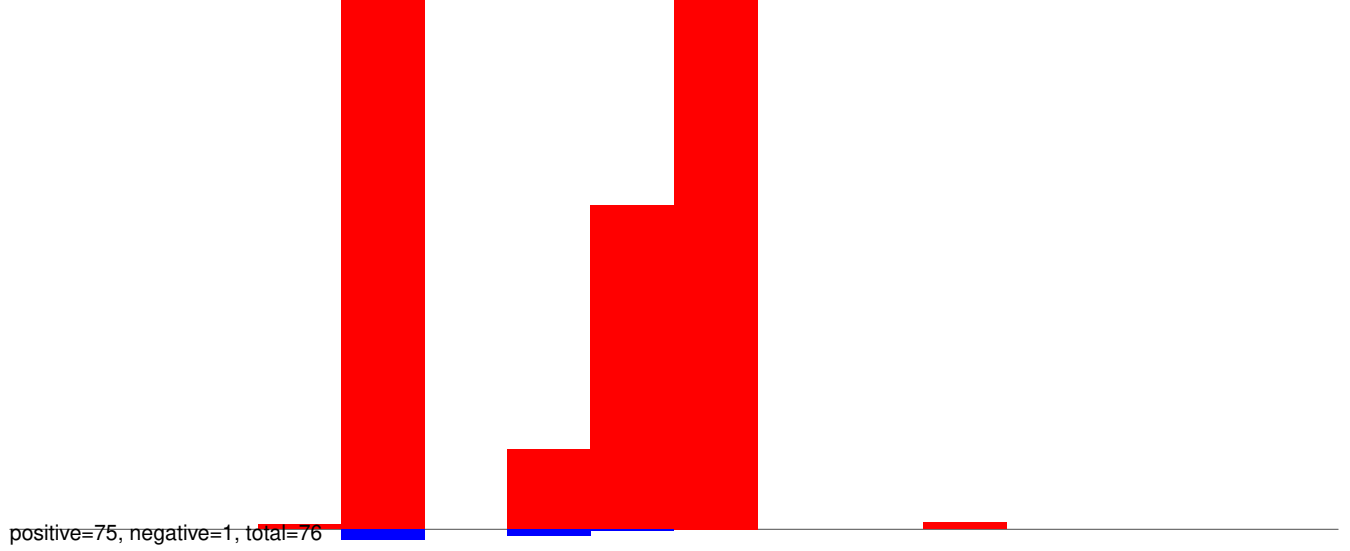
AeAeg_Whole_ZIKVdr_In3_GP.24_35.rep



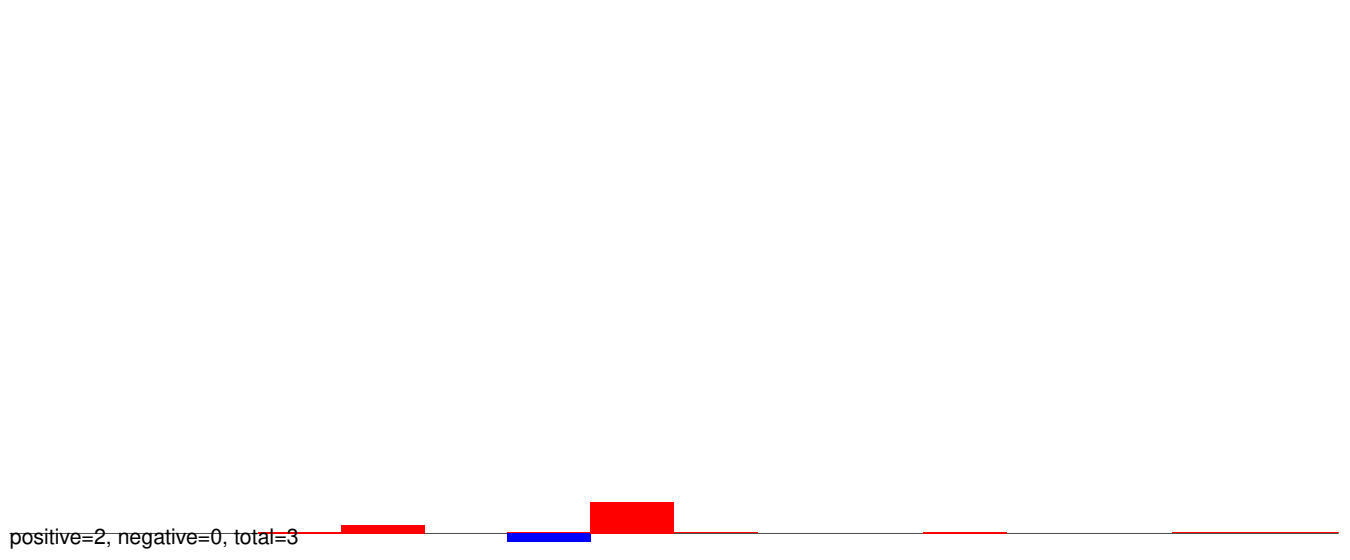
AeAeg_Whole_ZIKVdr_In3_GP.rep



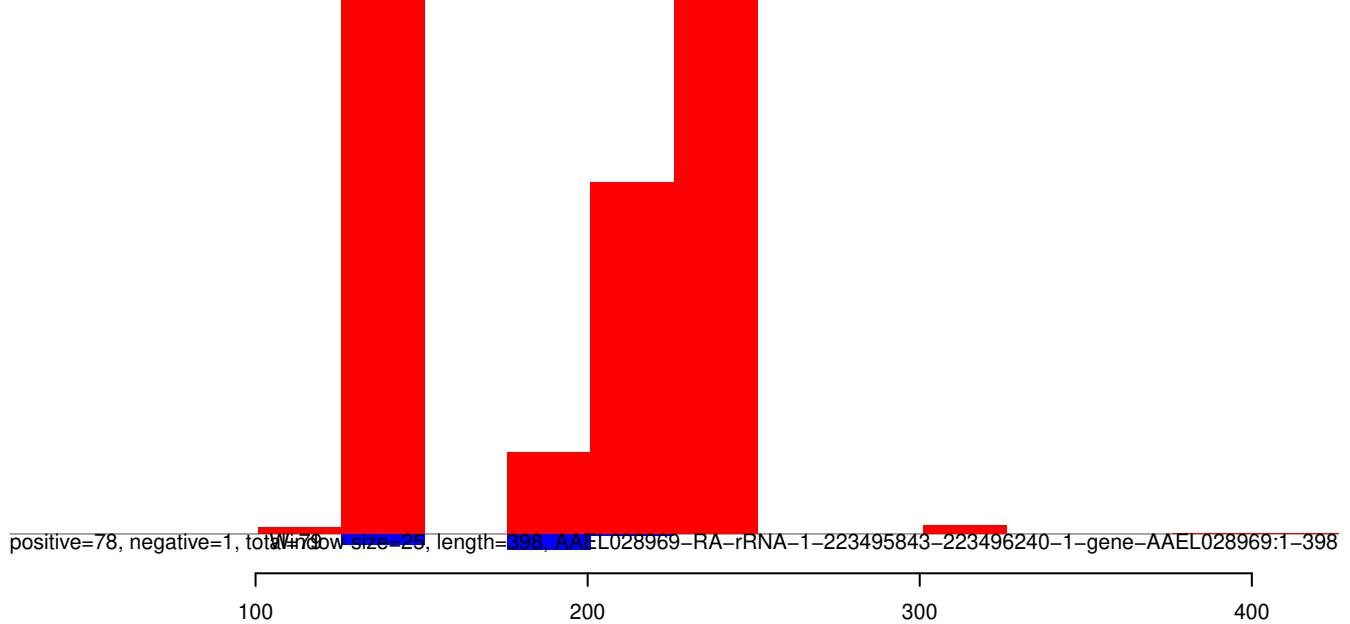
AeAeg_Whole_ZIKVdr_In3_GP.18_23.rep



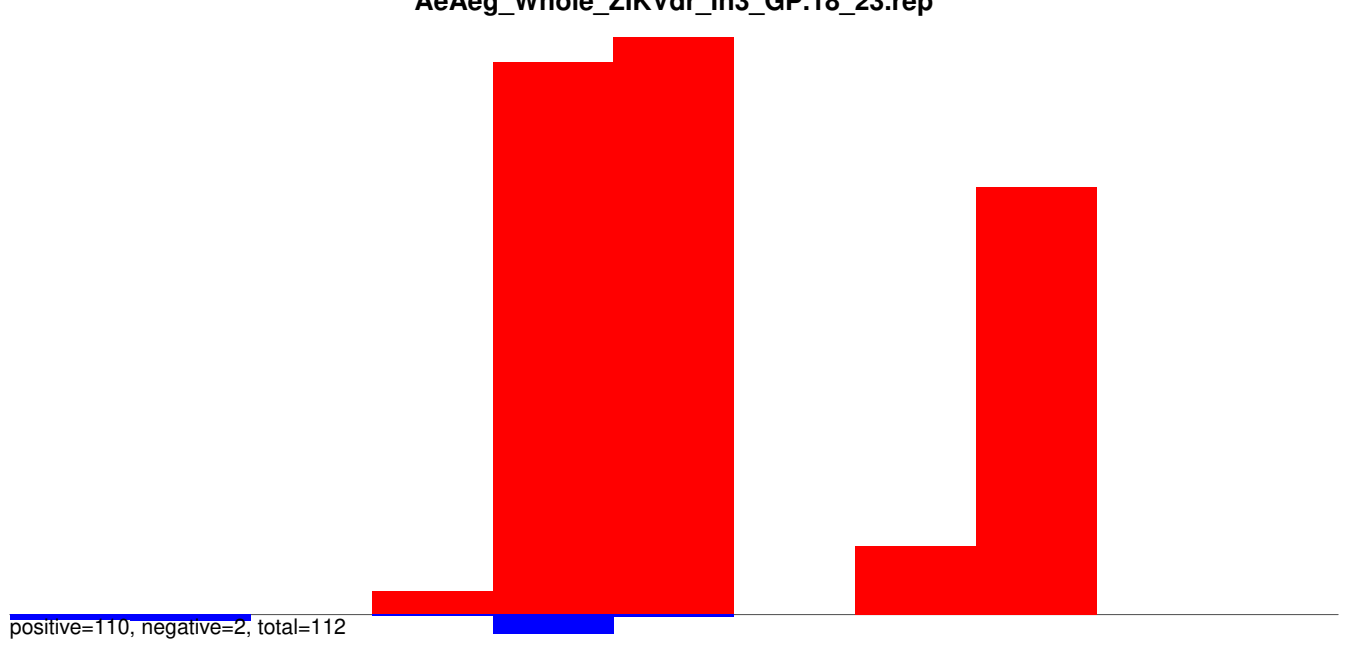
AeAeg_Whole_ZIKVdr_In3_GP.24_35.rep



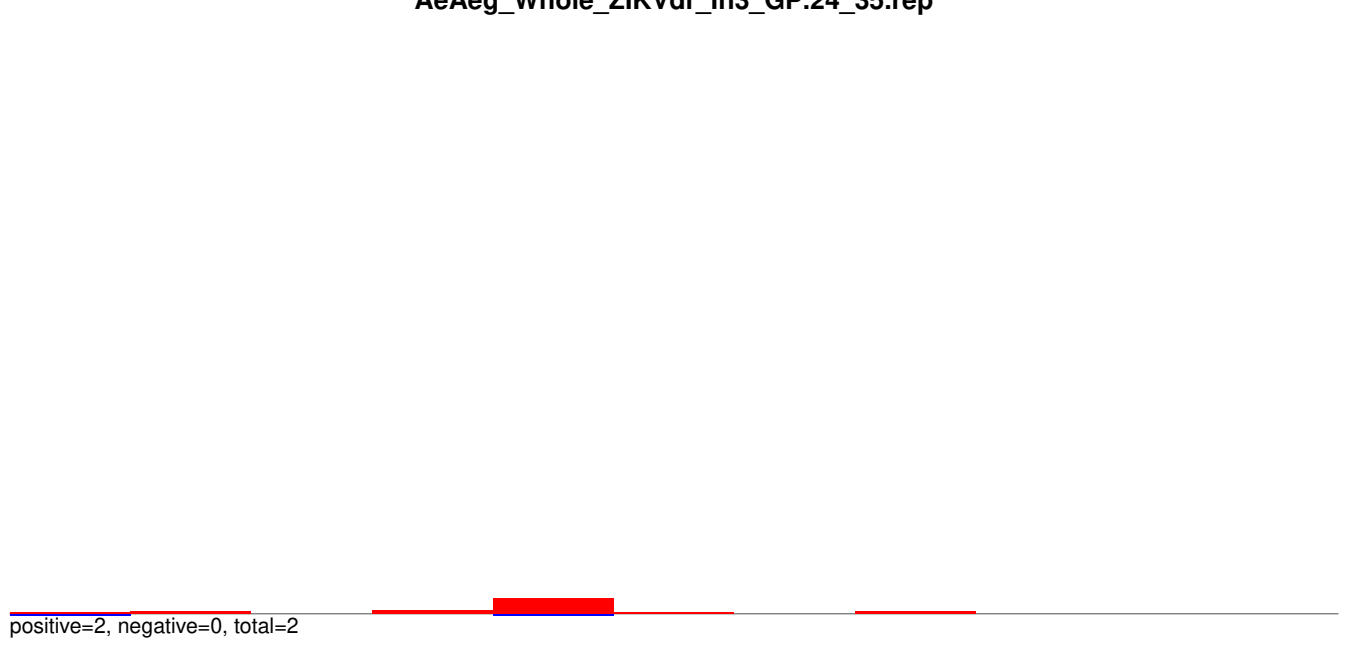
AeAeg_Whole_ZIKVdr_In3_GP.rep



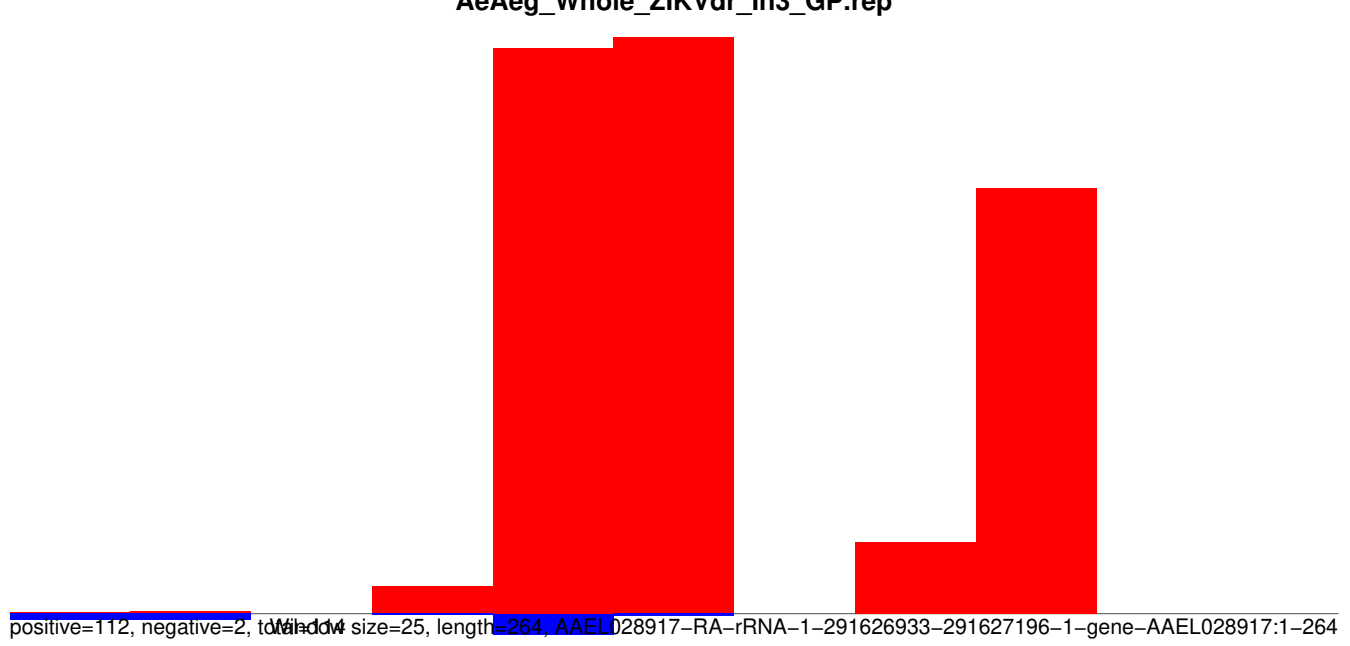
AeAeg_Whole_ZIKVdr_In3_GP.18_23.rep



AeAeg_Whole_ZIKVdr_In3_GP.24_35.rep

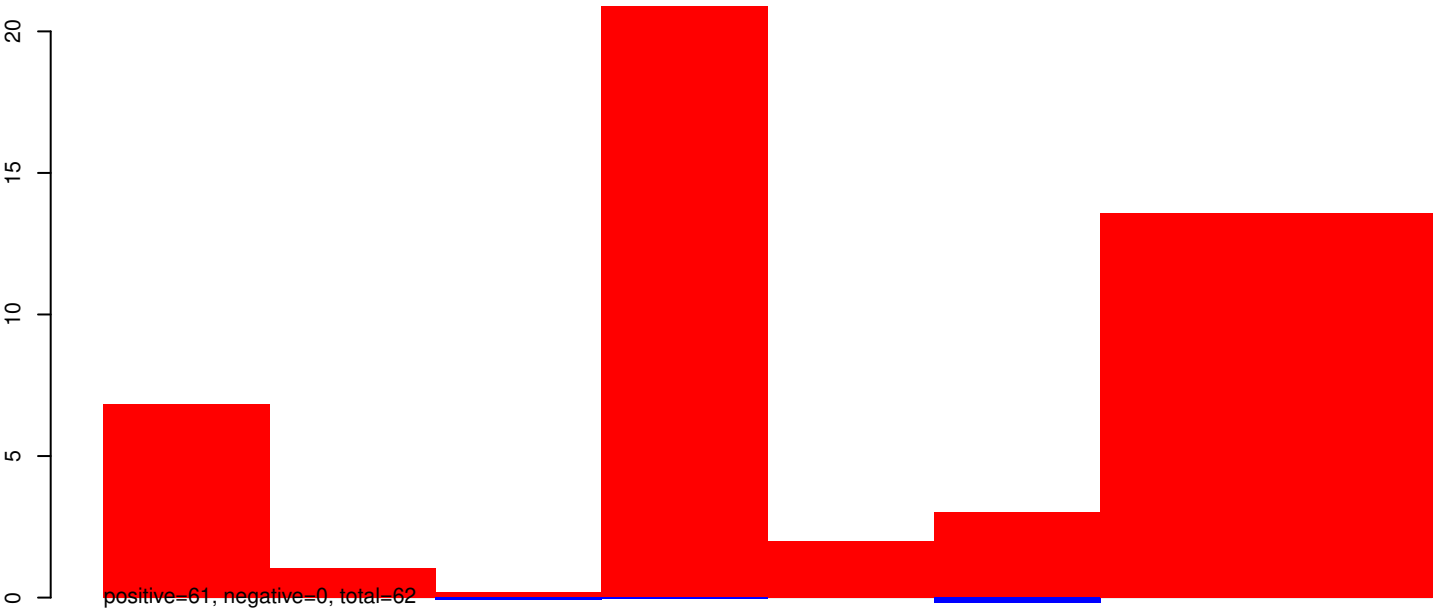


AeAeg_Whole_ZIKVdr_In3_GP.rep

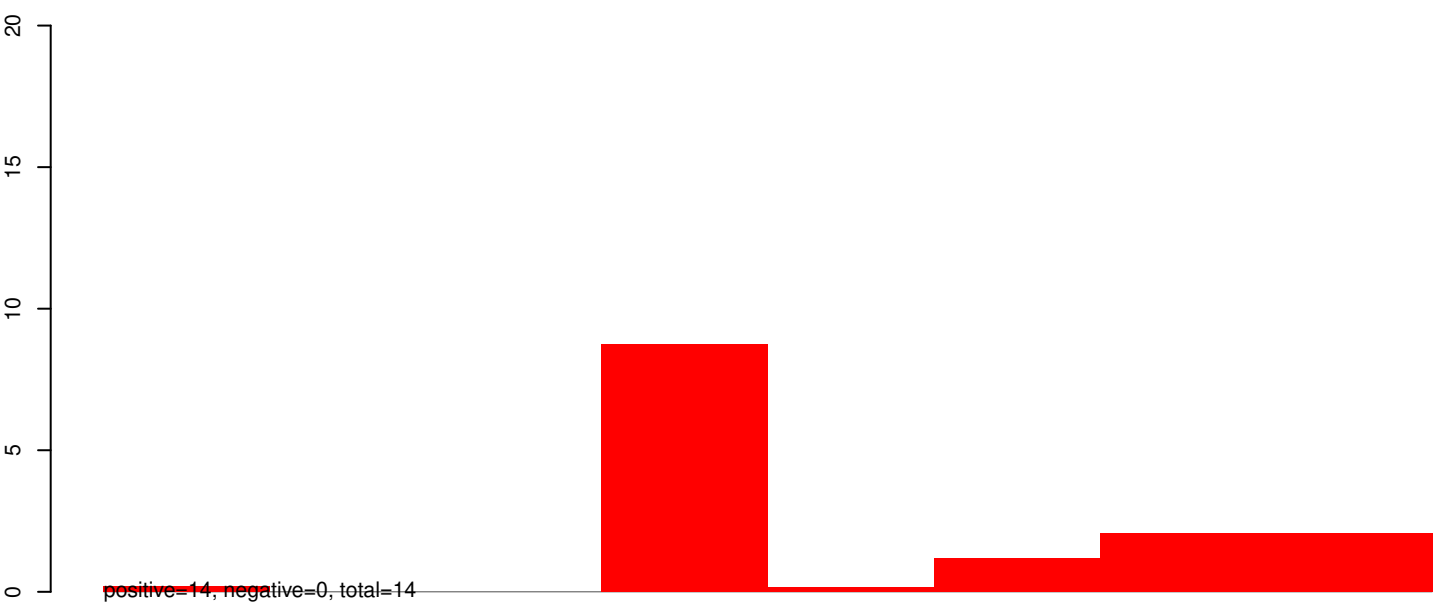


Window size=25, length=264, AAEL028917-RA-rRNA-1-291626933-291627196-1-gene-AAEL028917:1-264

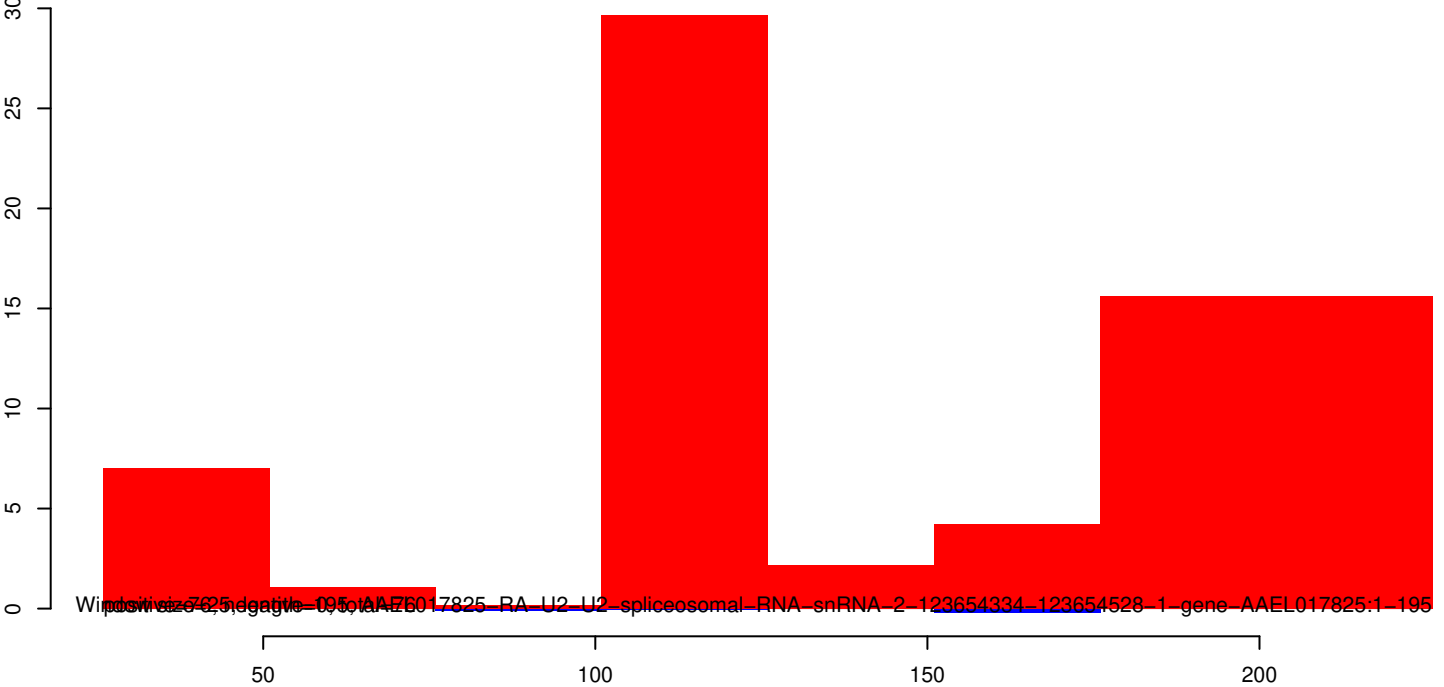
AeAeg_Whole_ZIKVdr_In3_GP.18_23.rep



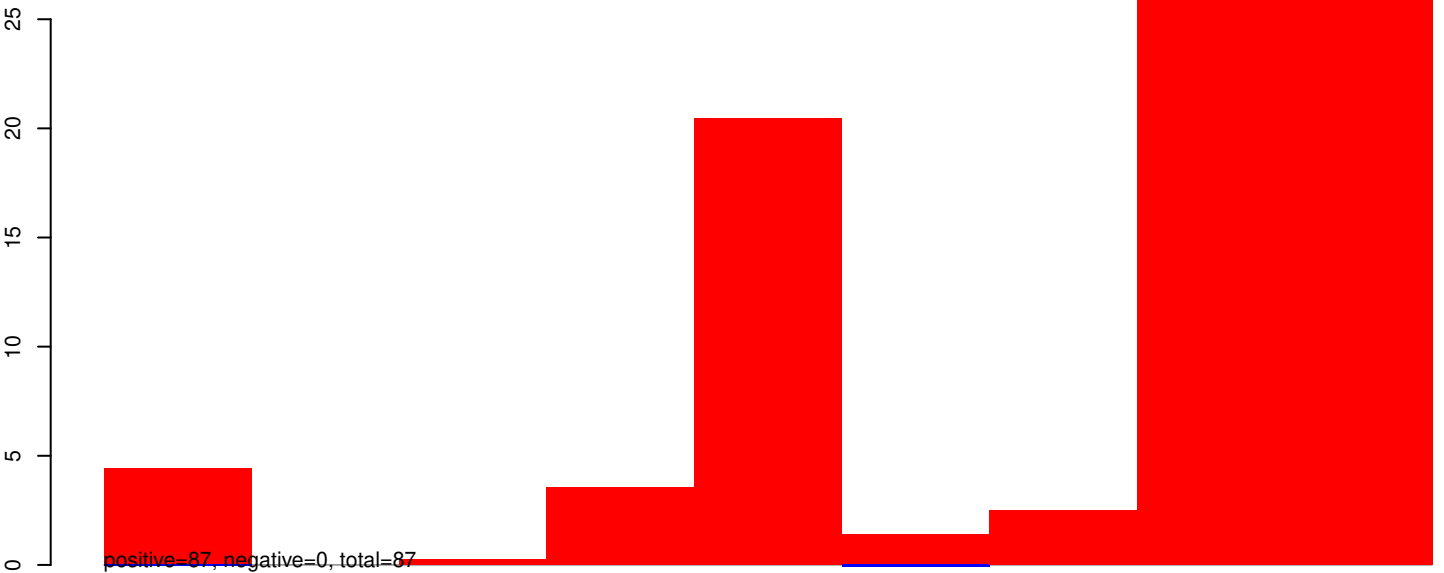
AeAeg_Whole_ZIKVdr_In3_GP.24_35.rep



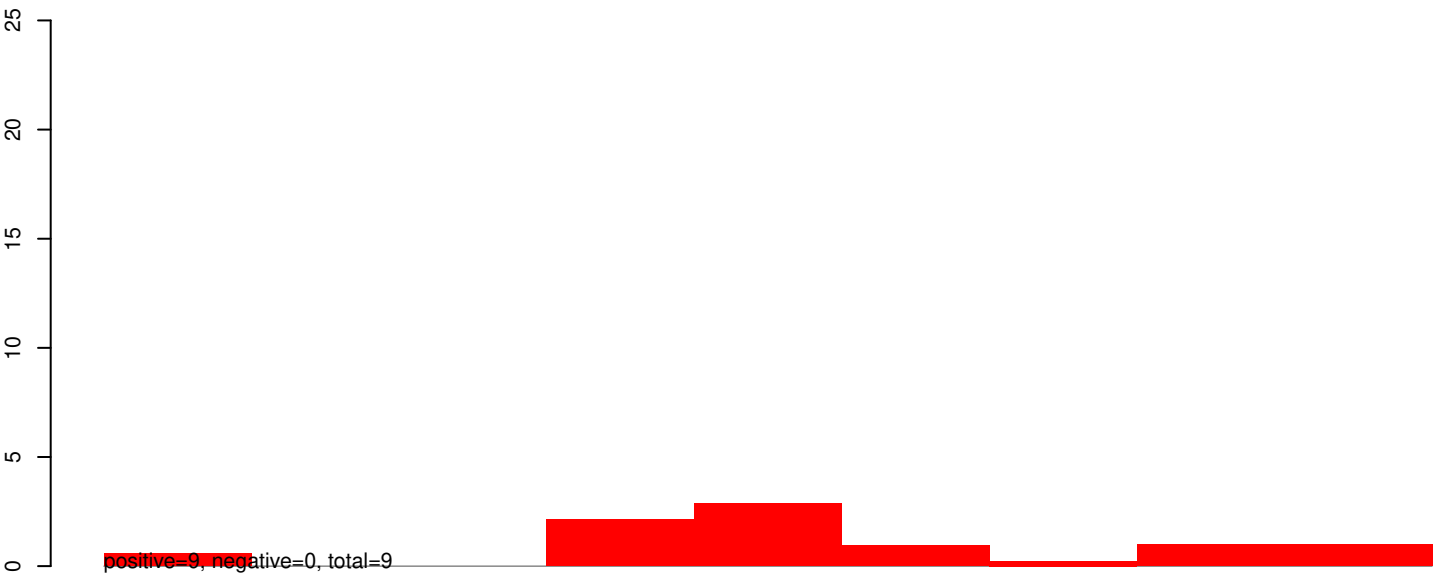
AeAeg_Whole_ZIKVdr_In3_GP.rep



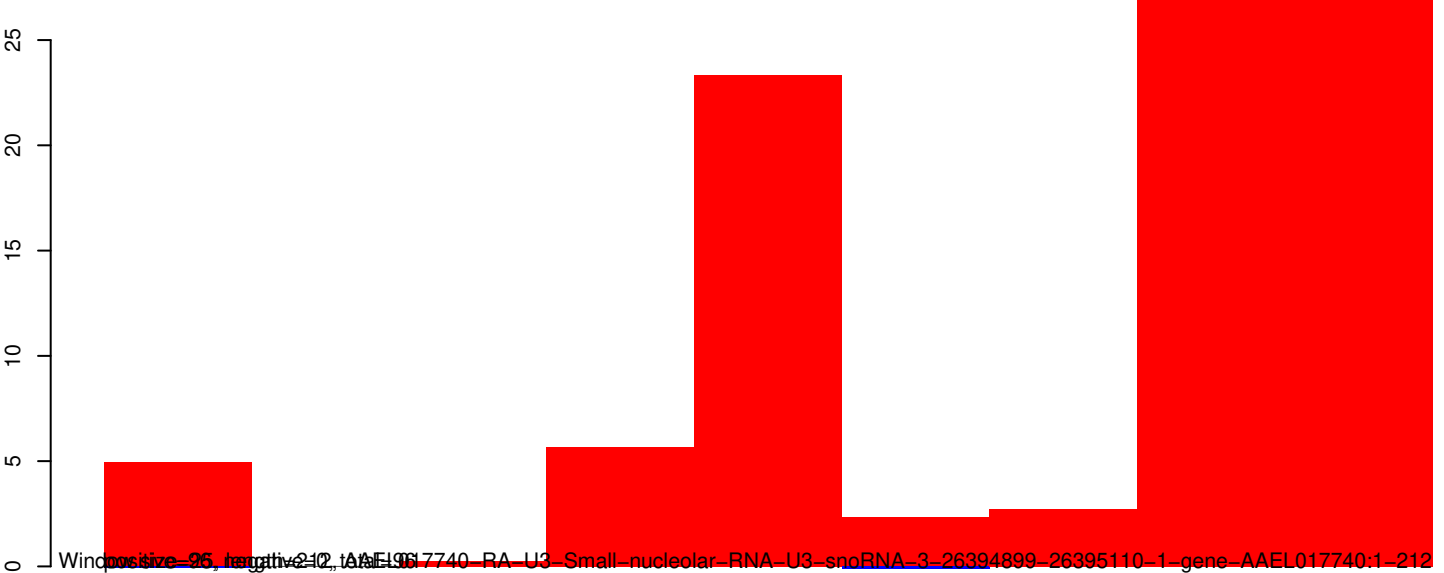
AeAeg_Whole_ZIKVdr_In3_GP.18_23.rep



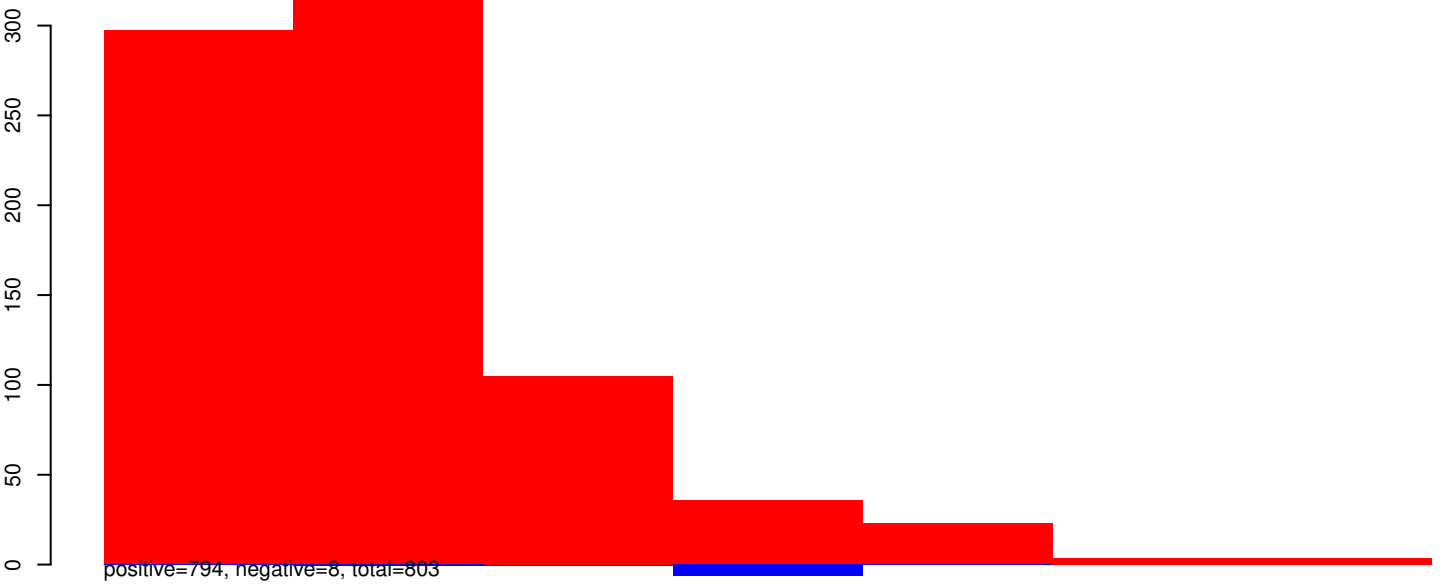
AeAeg_Whole_ZIKVdr_In3_GP.24_35.rep



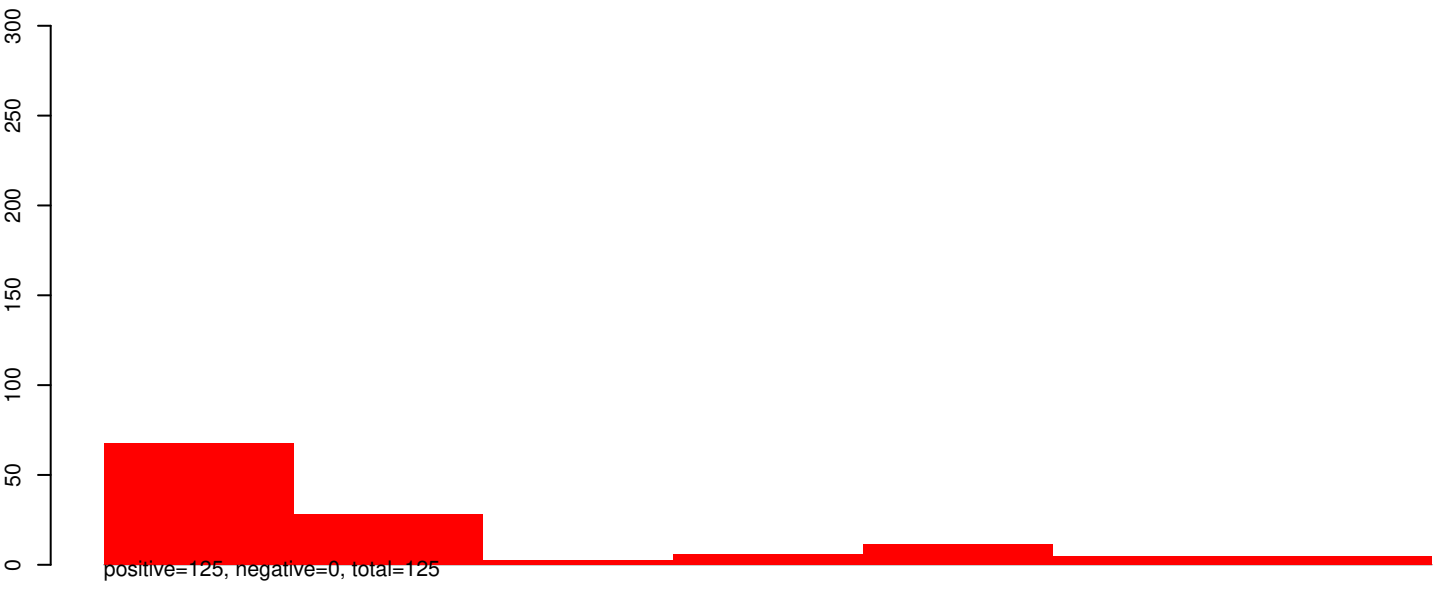
AeAeg_Whole_ZIKVdr_In3_GP.rep



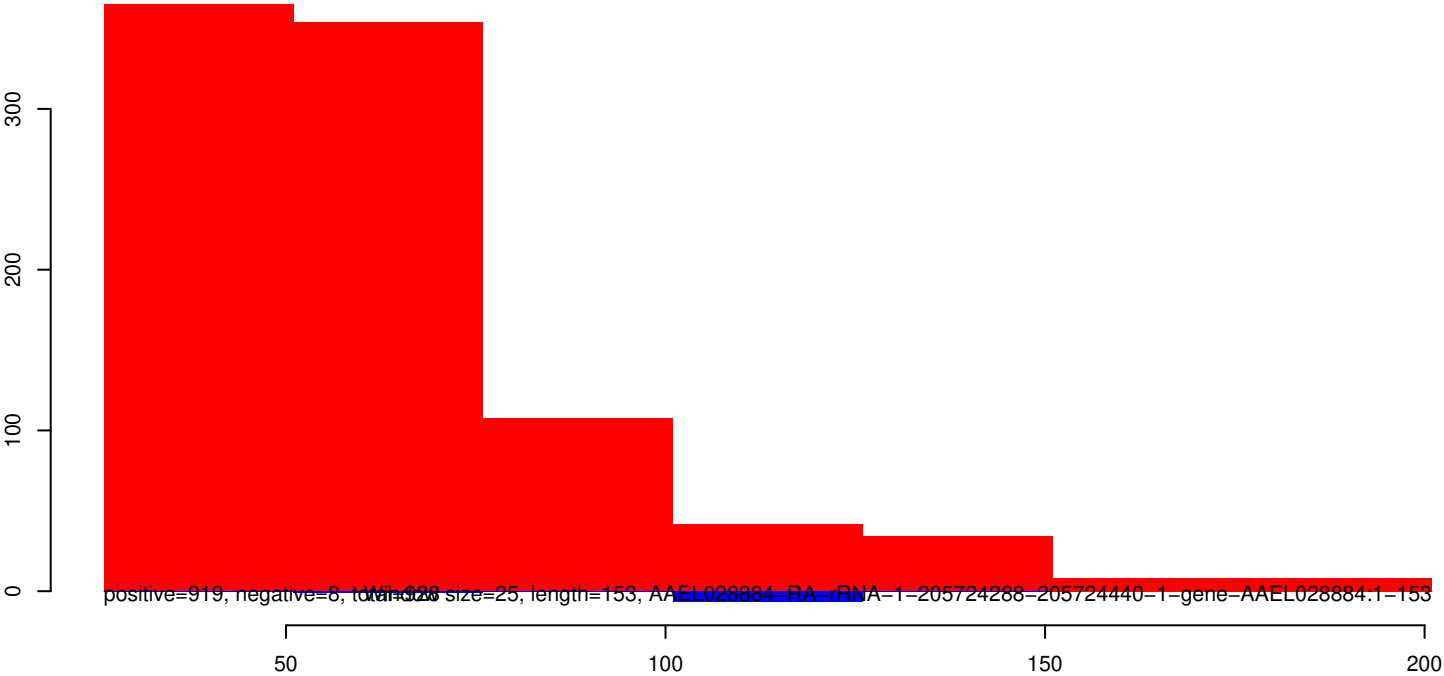
AeAeg_Whole_ZIKVdr_In3_GP.18_23.rep



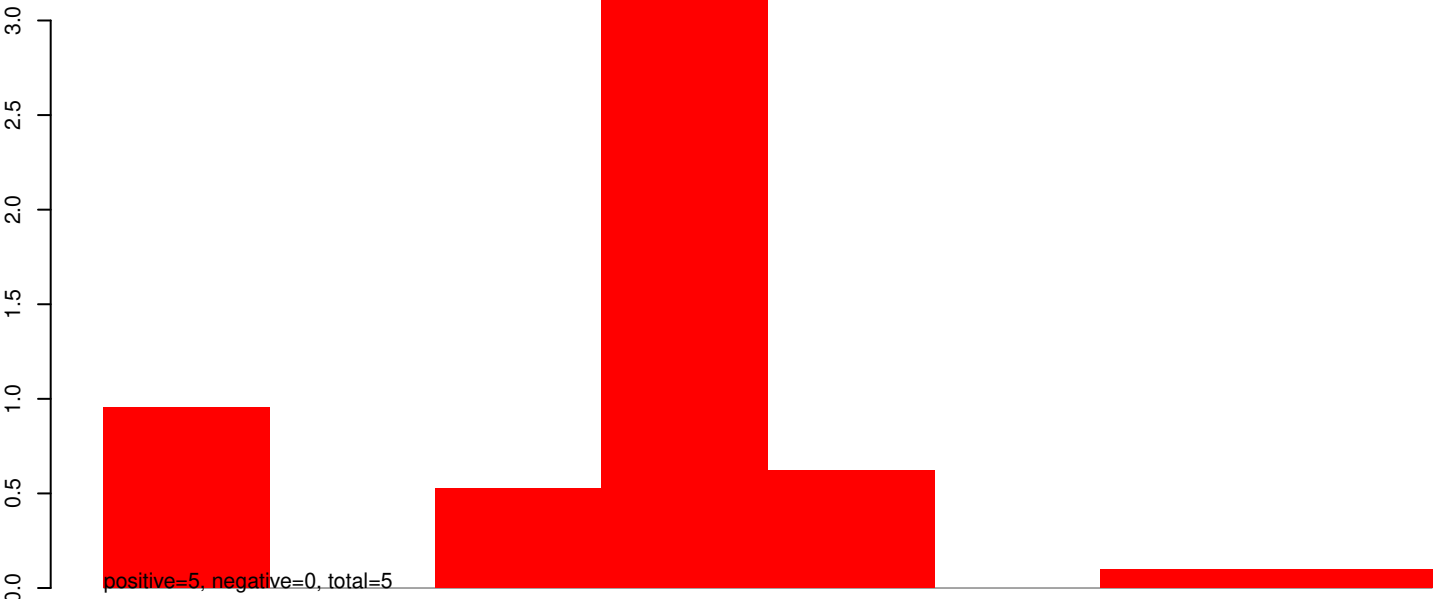
AeAeg_Whole_ZIKVdr_In3_GP.24_35.rep



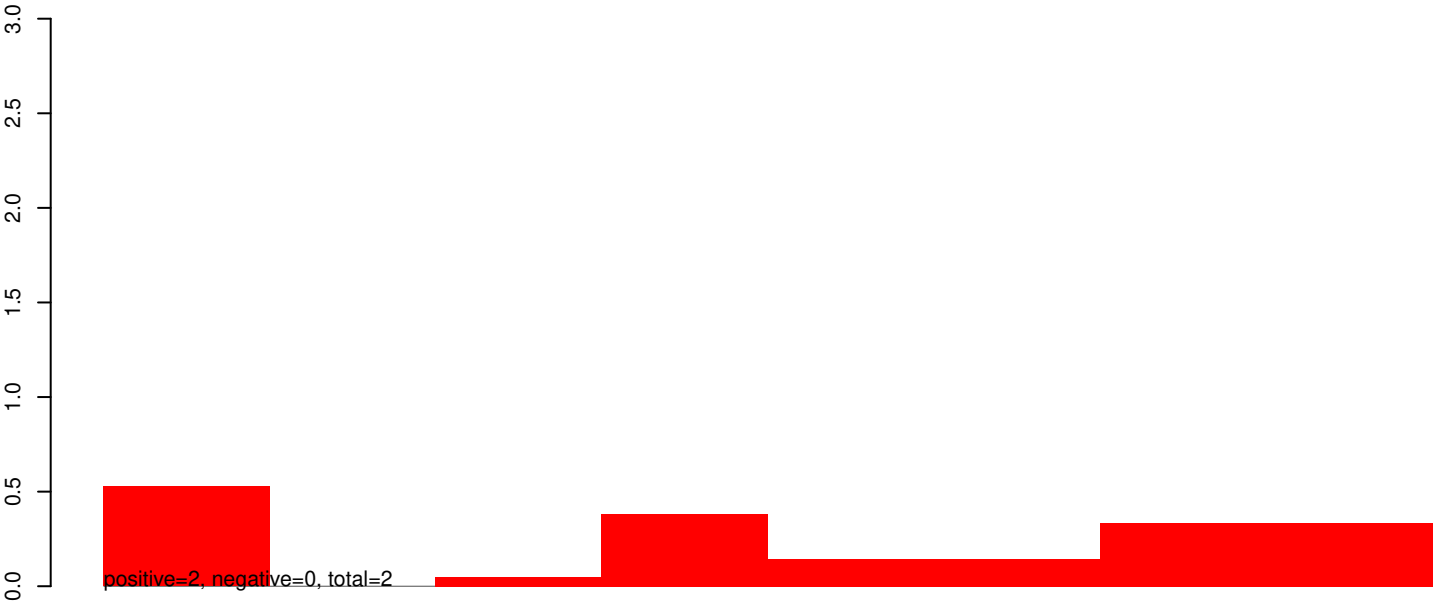
AeAeg_Whole_ZIKVdr_In3_GP.rep



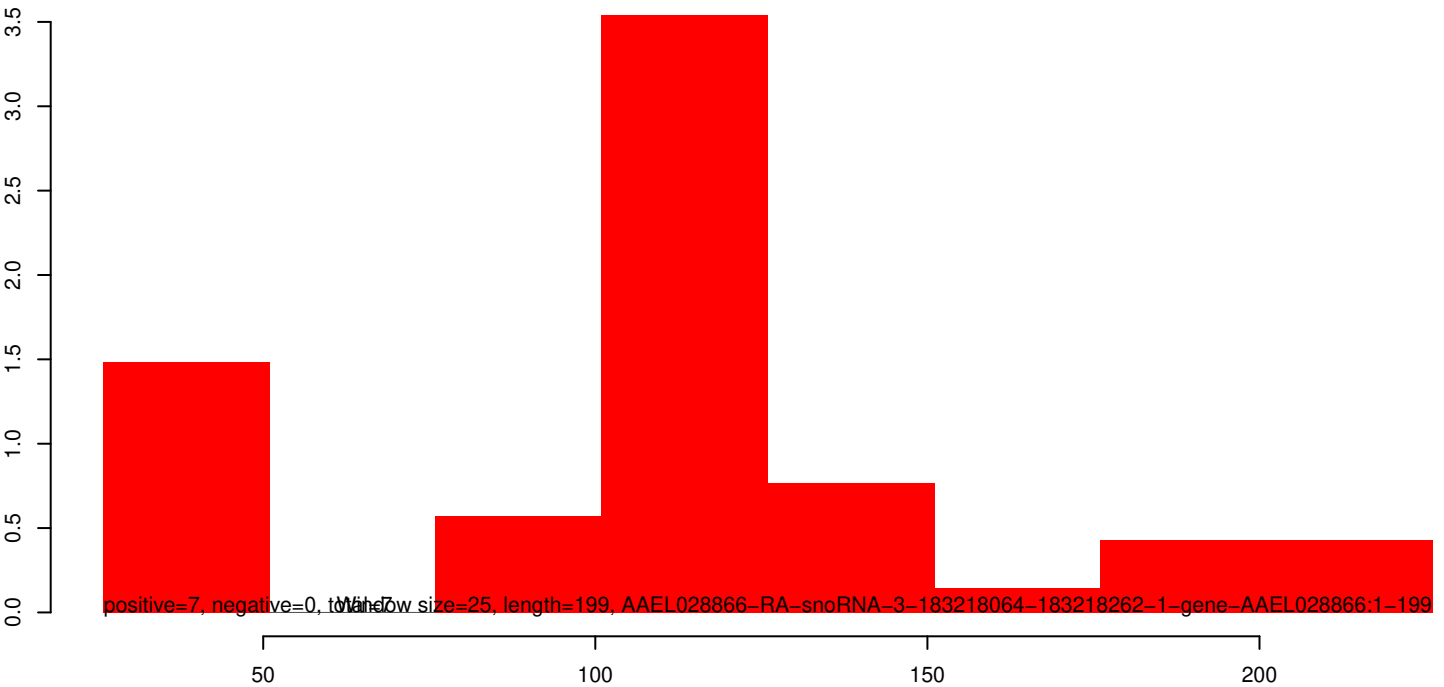
AeAeg_Whole_ZIKVdr_In3_GP.18_23.rep



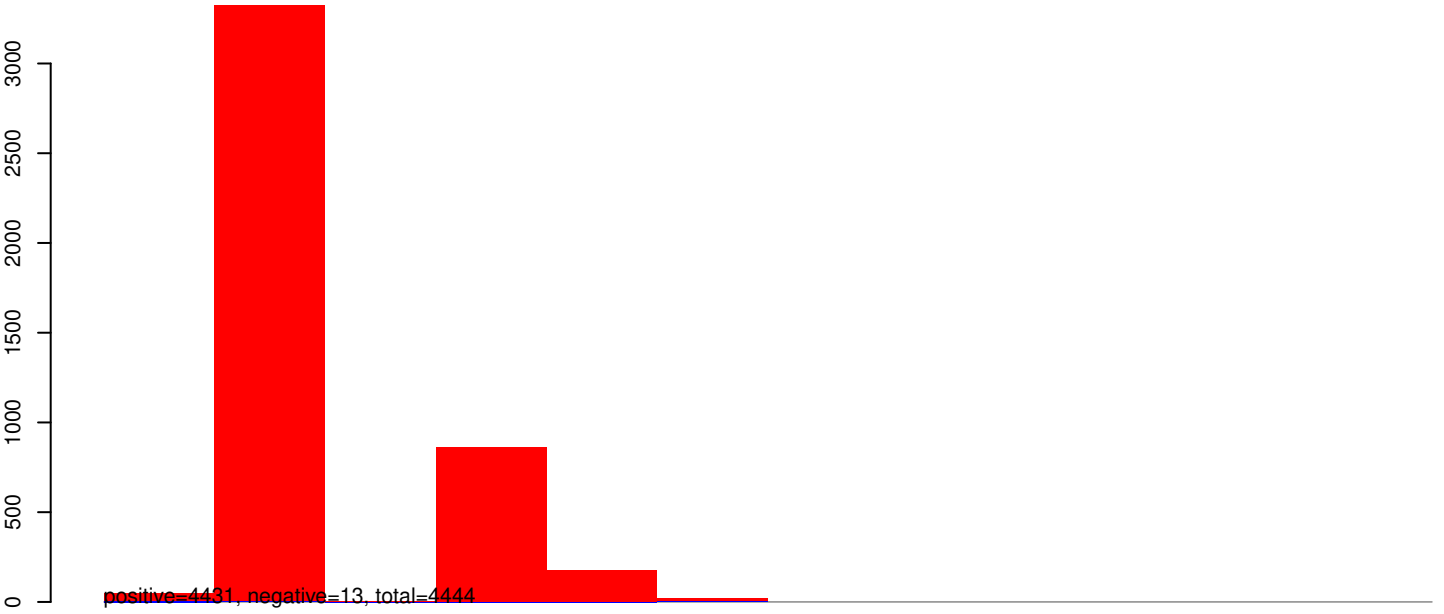
AeAeg_Whole_ZIKVdr_In3_GP.24_35.rep



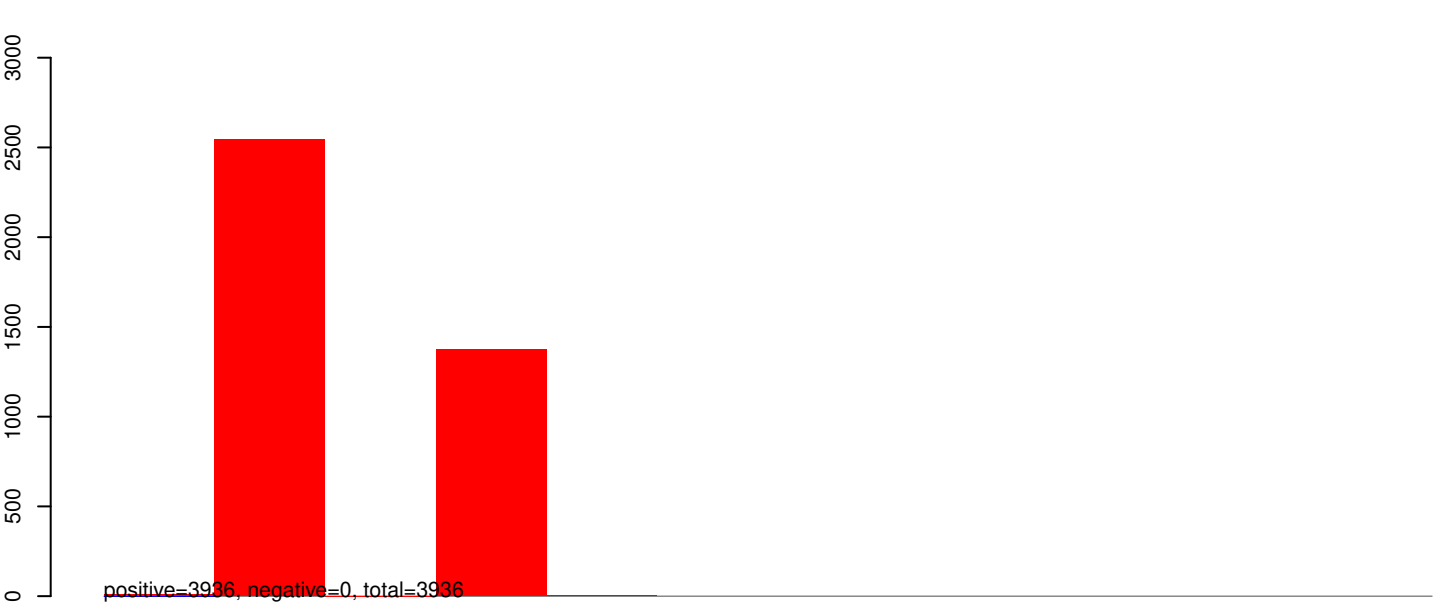
AeAeg_Whole_ZIKVdr_In3_GP.rep



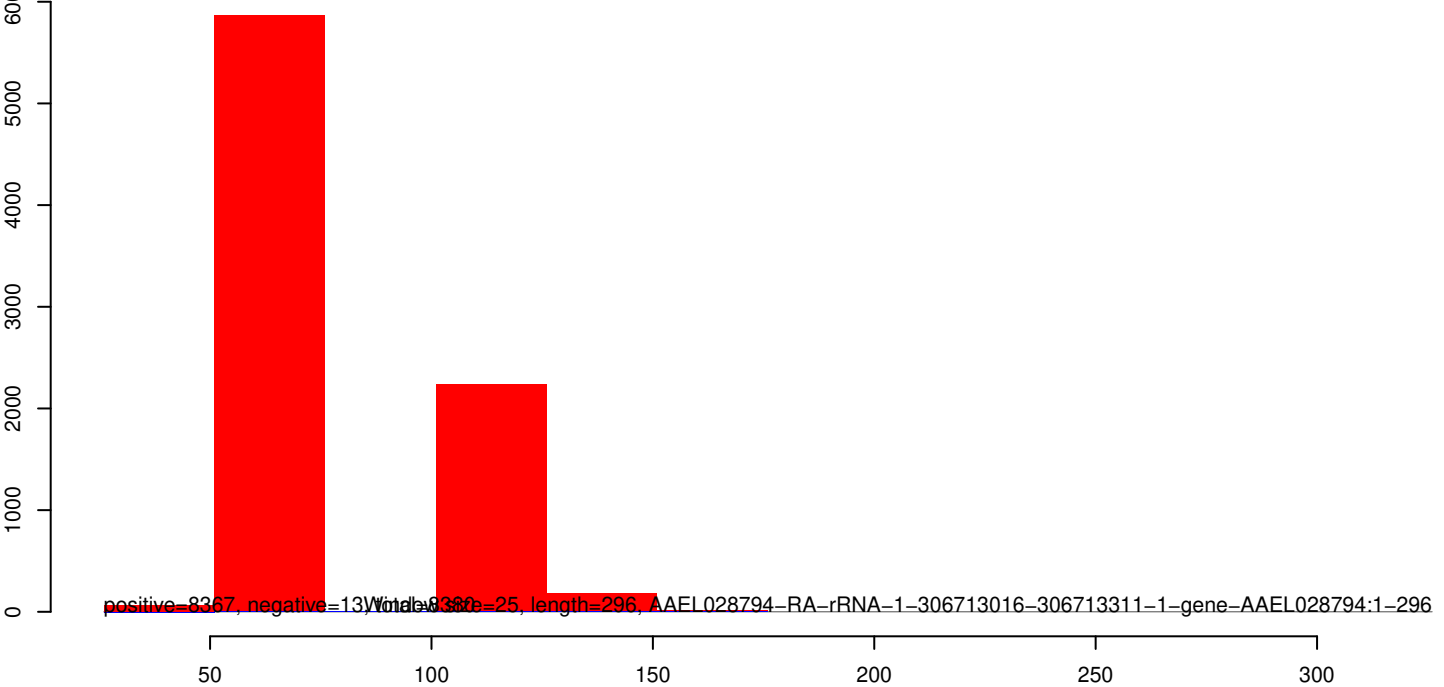
AeAeg_Whole_ZIKVdr_In3_GP.18_23.rep



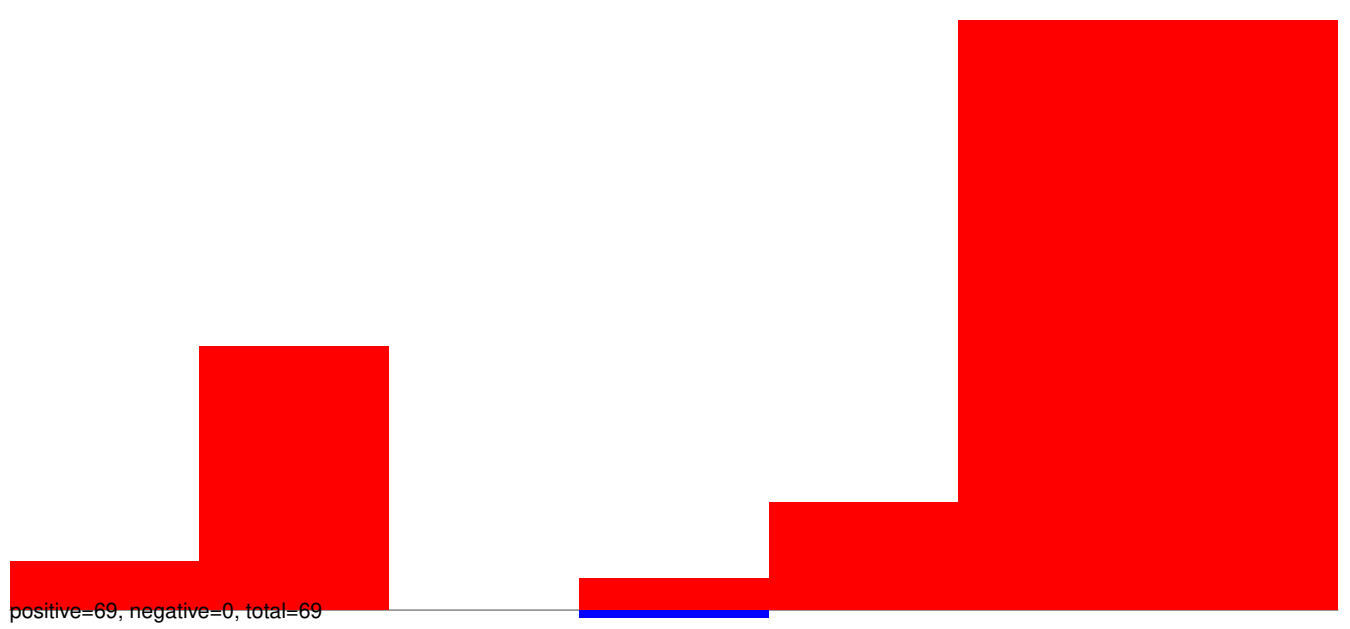
AeAeg_Whole_ZIKVdr_In3_GP.24_35.rep



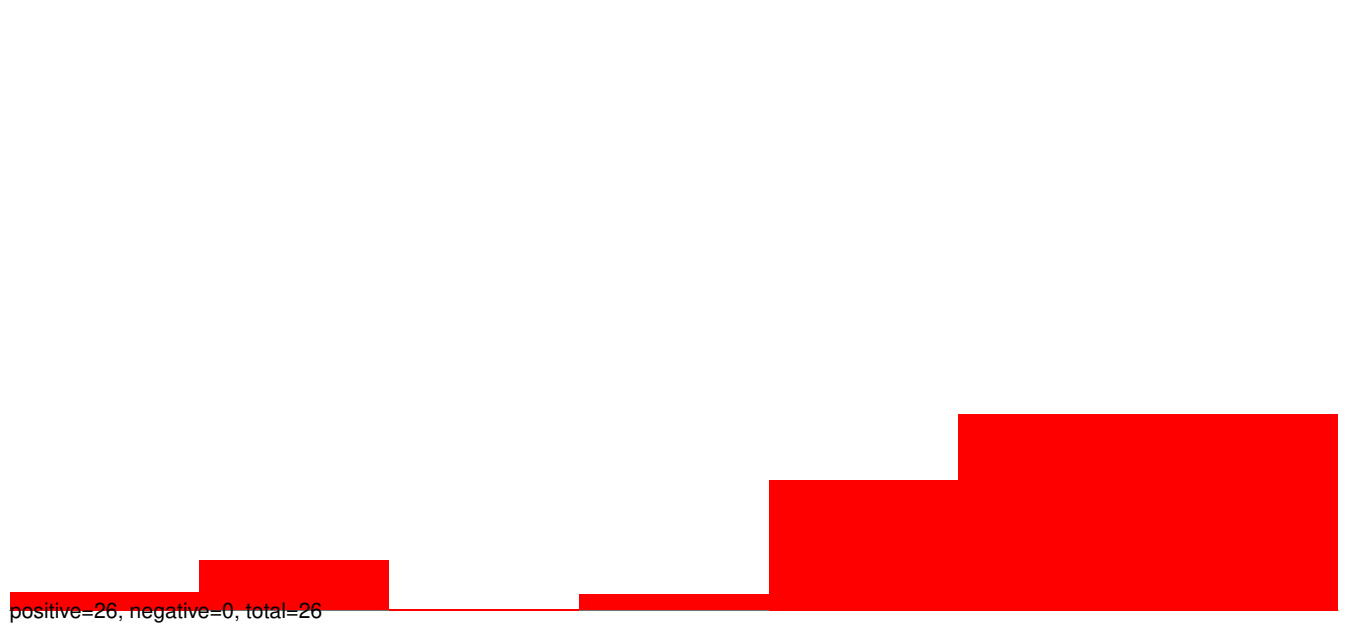
AeAeg_Whole_ZIKVdr_In3_GP.rep



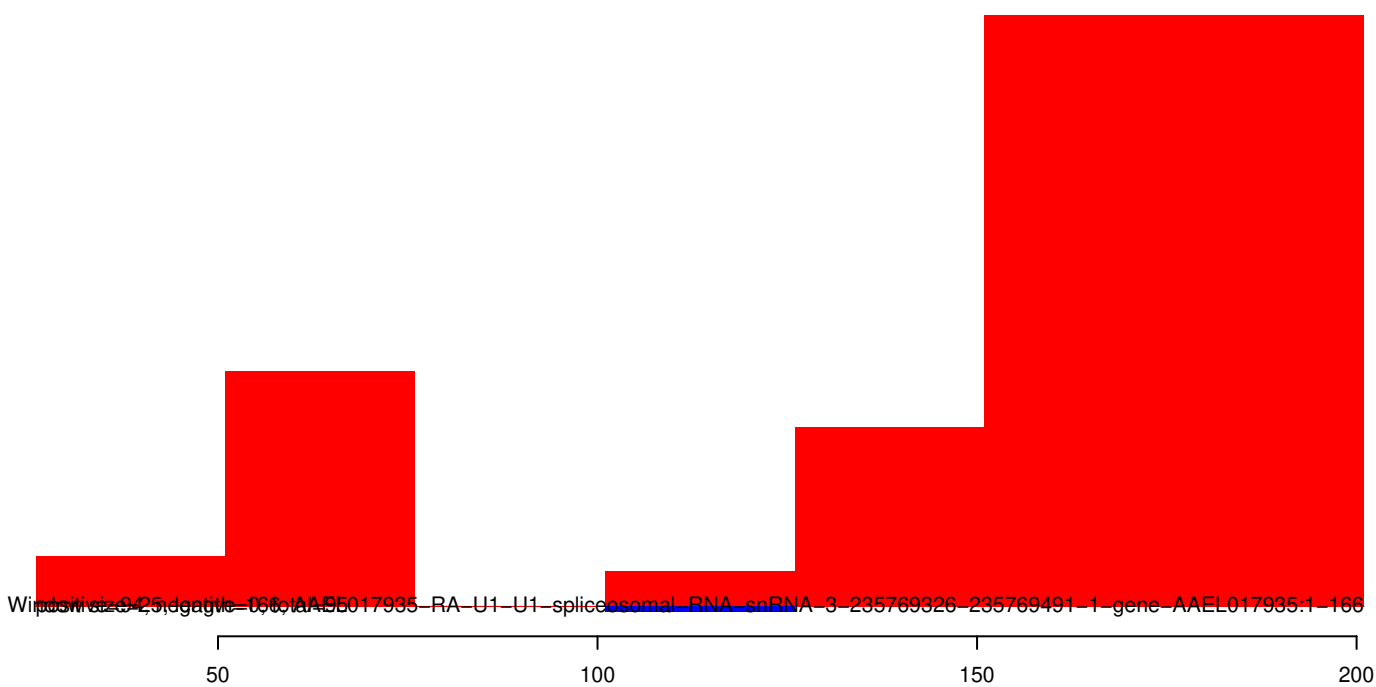
AeAeg_Whole_ZIKVdr_In3_GP.18_23.rep



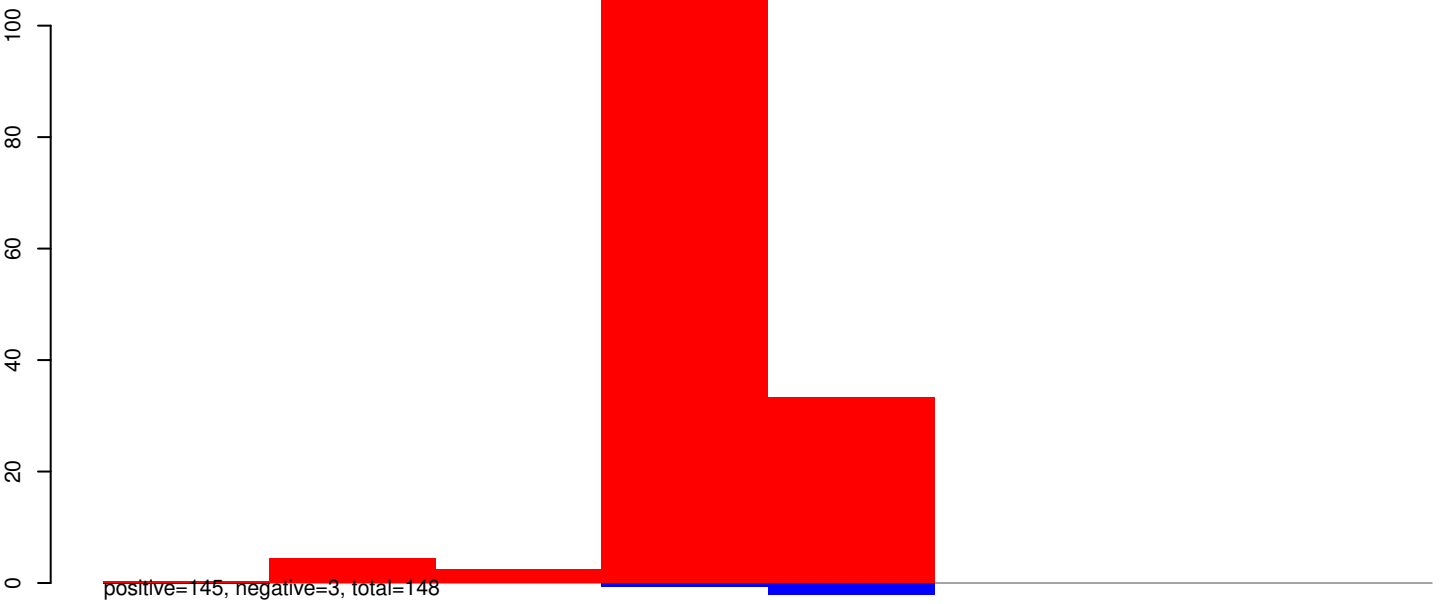
AeAeg_Whole_ZIKVdr_In3_GP.24_35.rep



AeAeg_Whole_ZIKVdr_In3_GP.rep



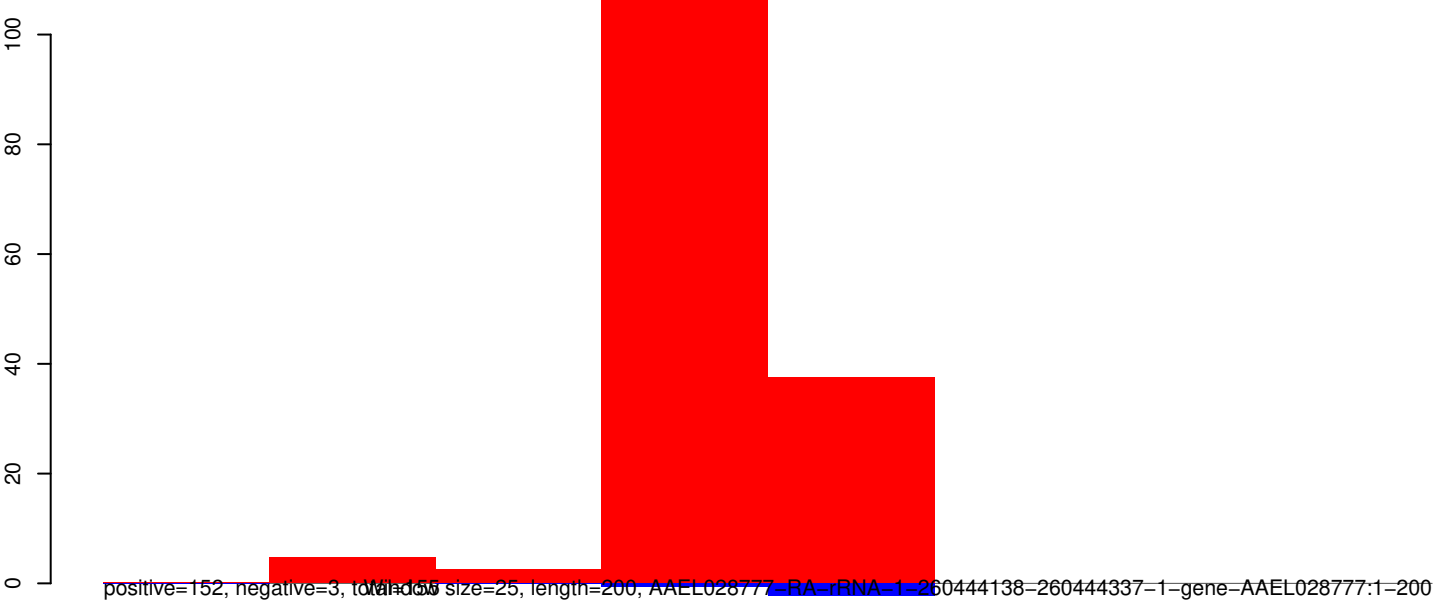
AeAeg_Whole_ZIKVdr_In3_GP.18_23.rep



AeAeg_Whole_ZIKVdr_In3_GP.24_35.rep

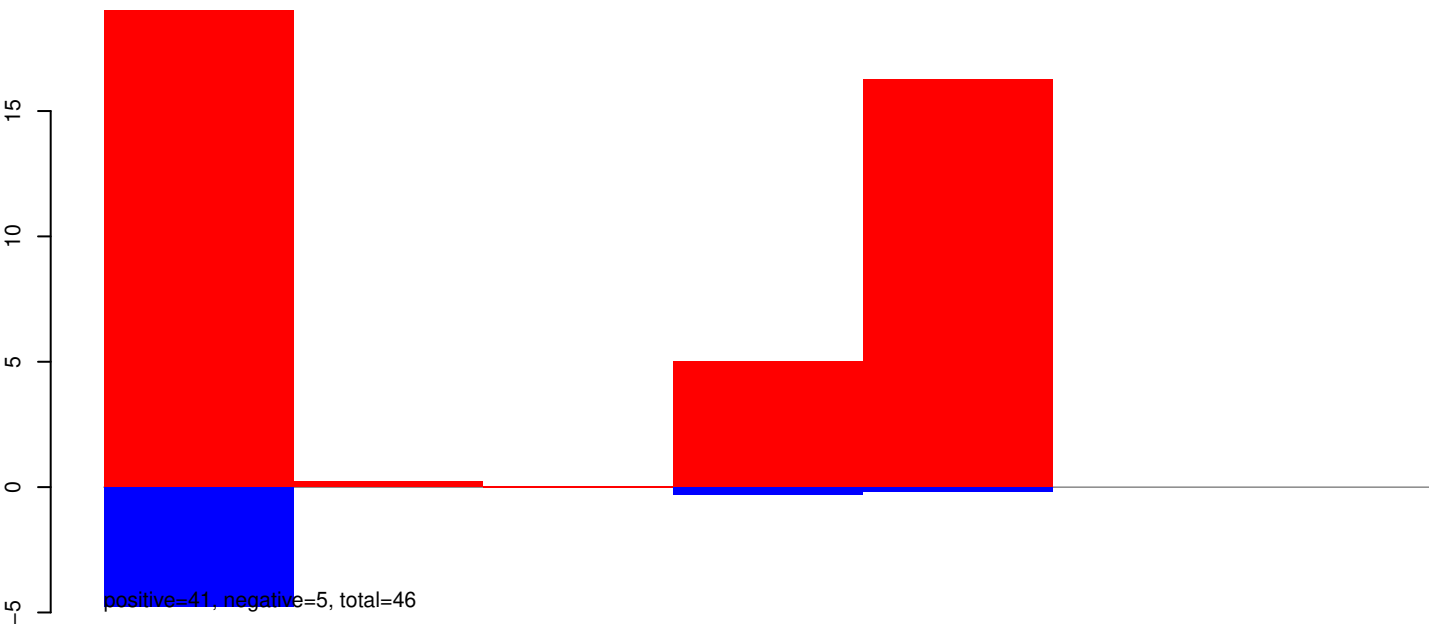


AeAeg_Whole_ZIKVdr_In3_GP.rep

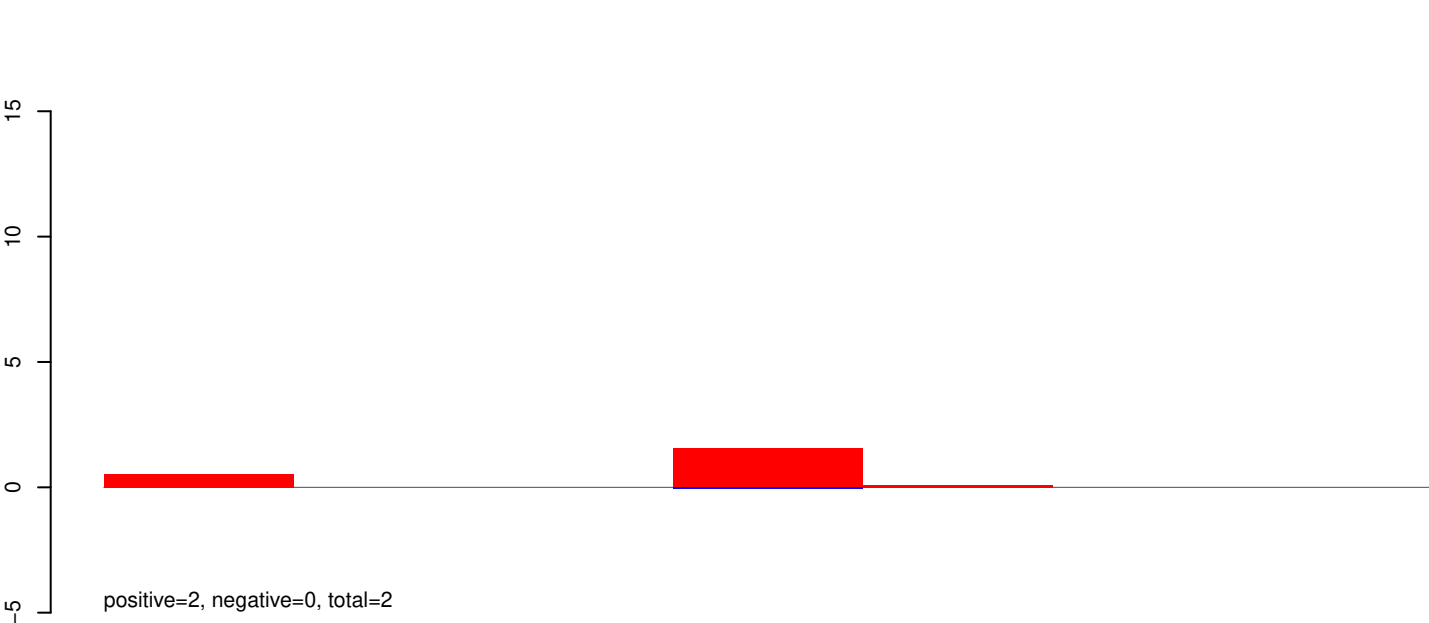


Window size=25, length=200, AAEL028777-BA-rRNA-1-260444138-260444337-1-gene-AAEL028777:1-200

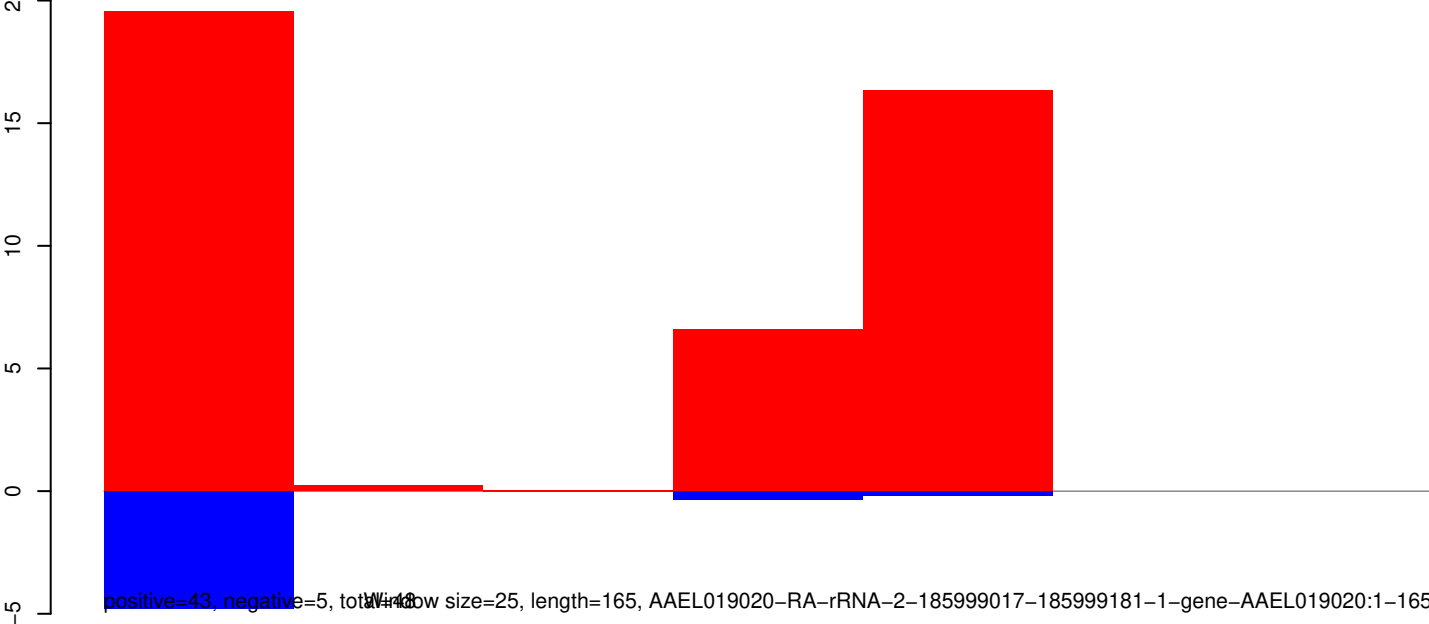
AeAeg_Whole_ZIKVdr_In3_GP.18_23.rep



AeAeg_Whole_ZIKVdr_In3_GP.24_35.rep

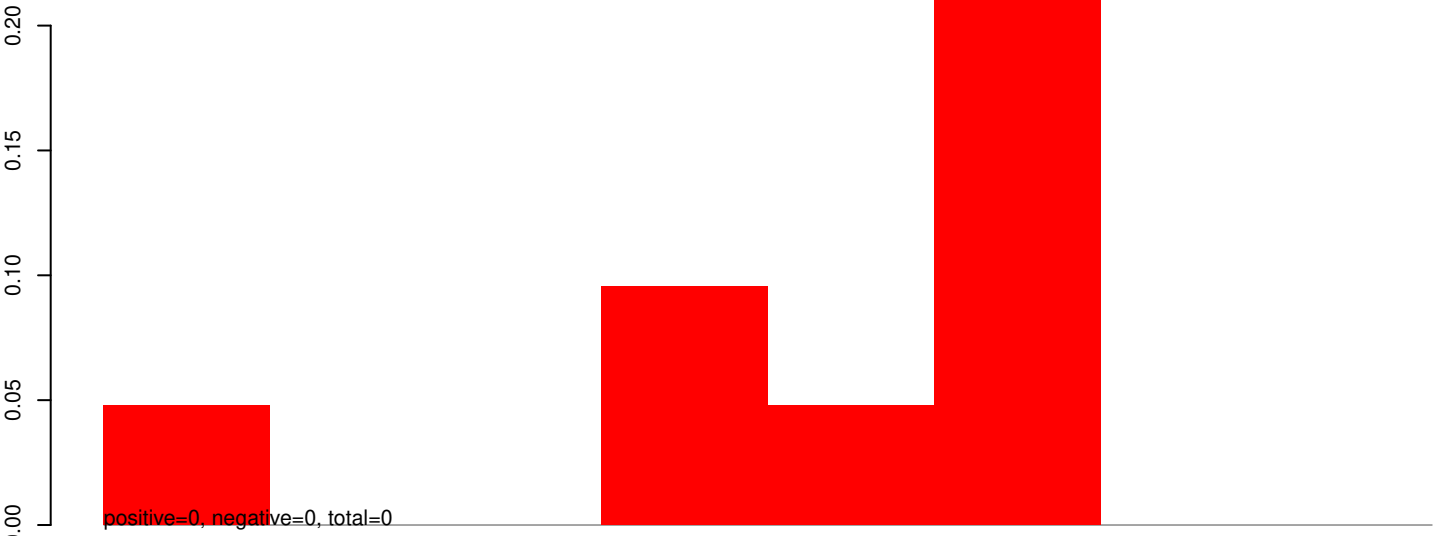


AeAeg_Whole_ZIKVdr_In3_GP.rep

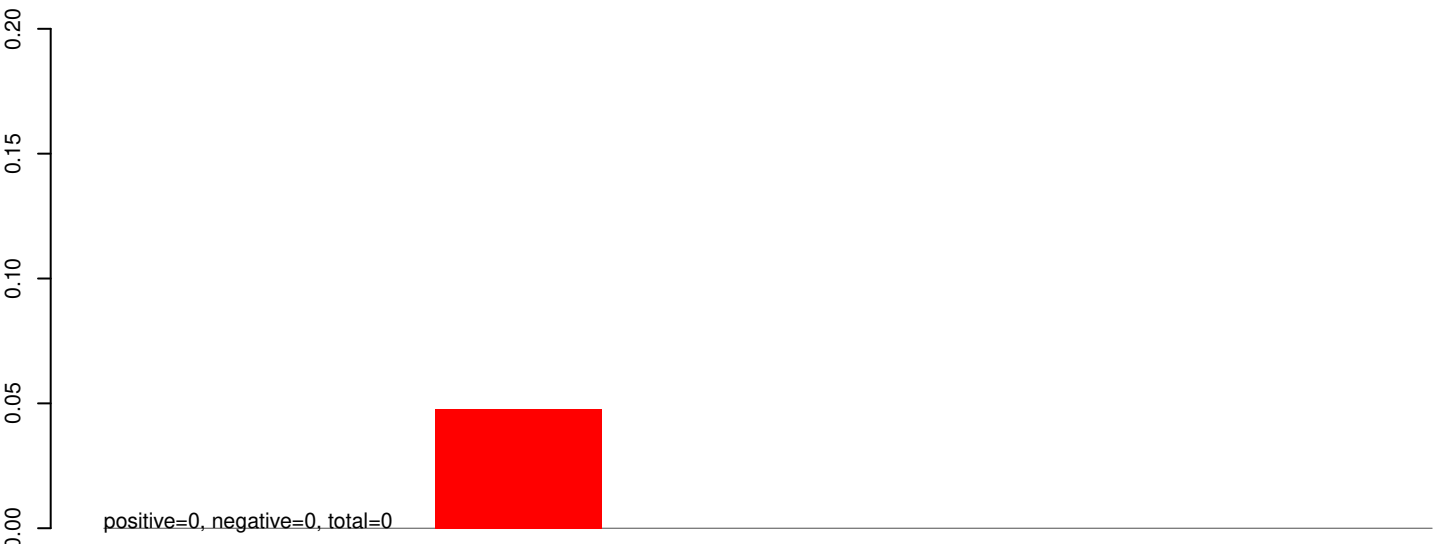


Window size=25, length=165, AAEL019020-RA-rRNA-2-185999017-185999181-1-gene-AAEL019020:1-165

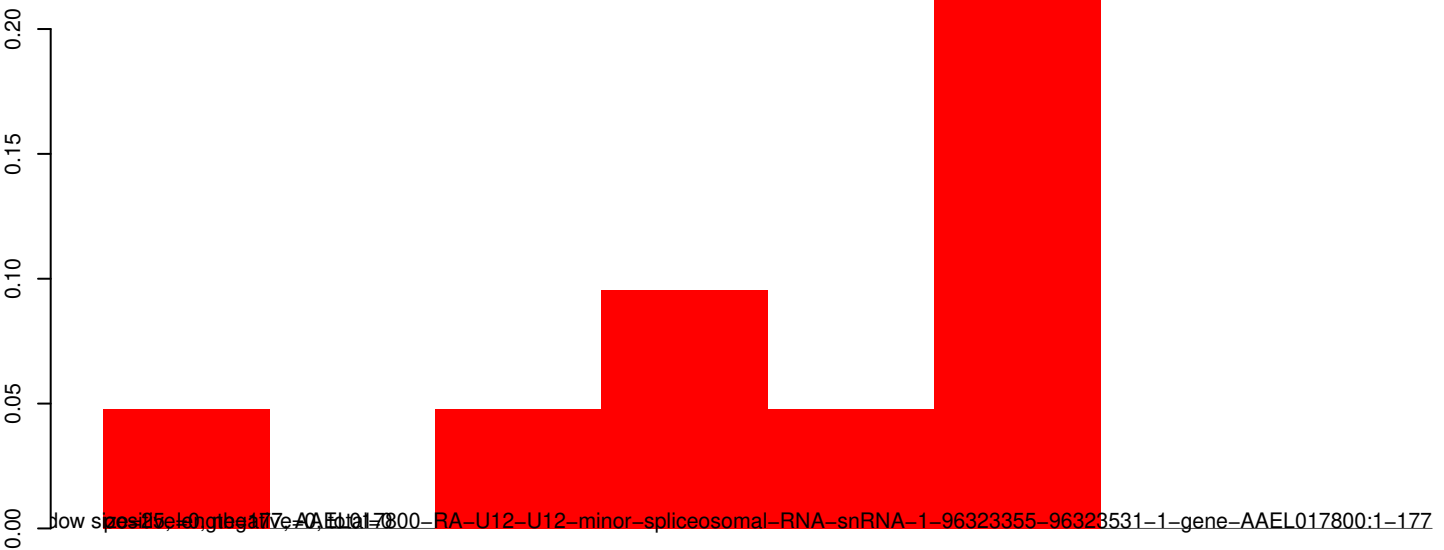
AeAeg_Whole_ZIKVdr_In3_GP.18_23.rep



AeAeg_Whole_ZIKVdr_In3_GP.24_35.rep



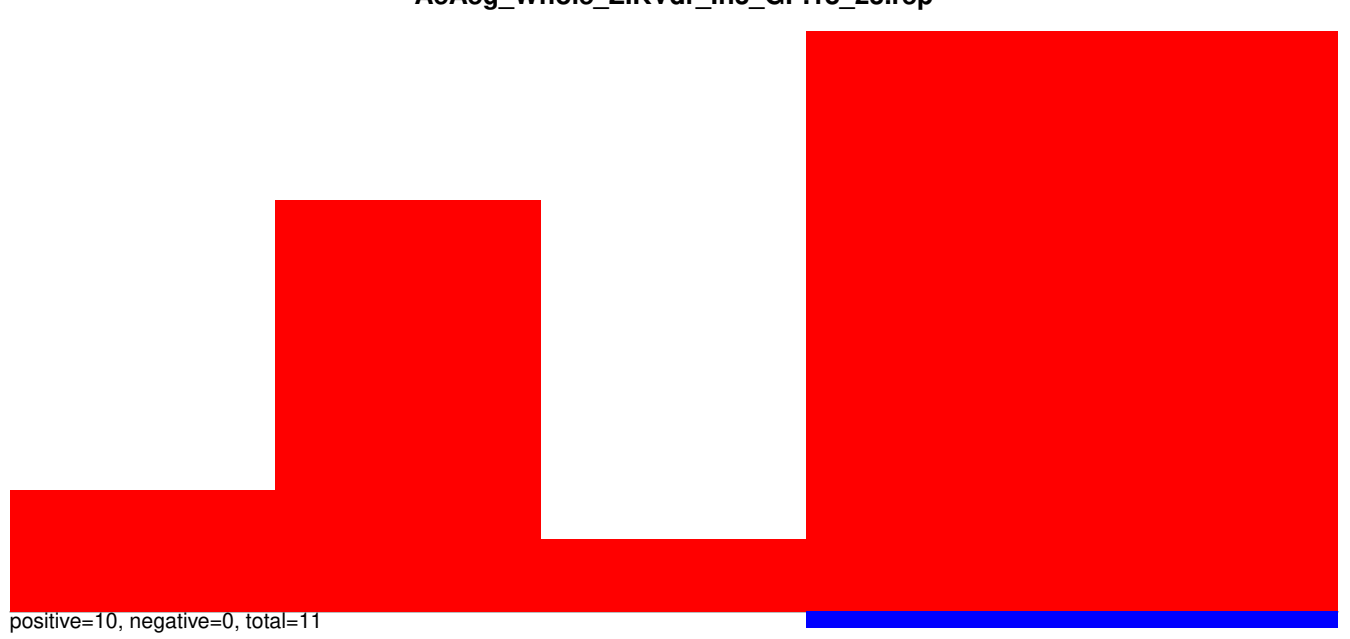
AeAeg_Whole_ZIKVdr_In3_GP.rep



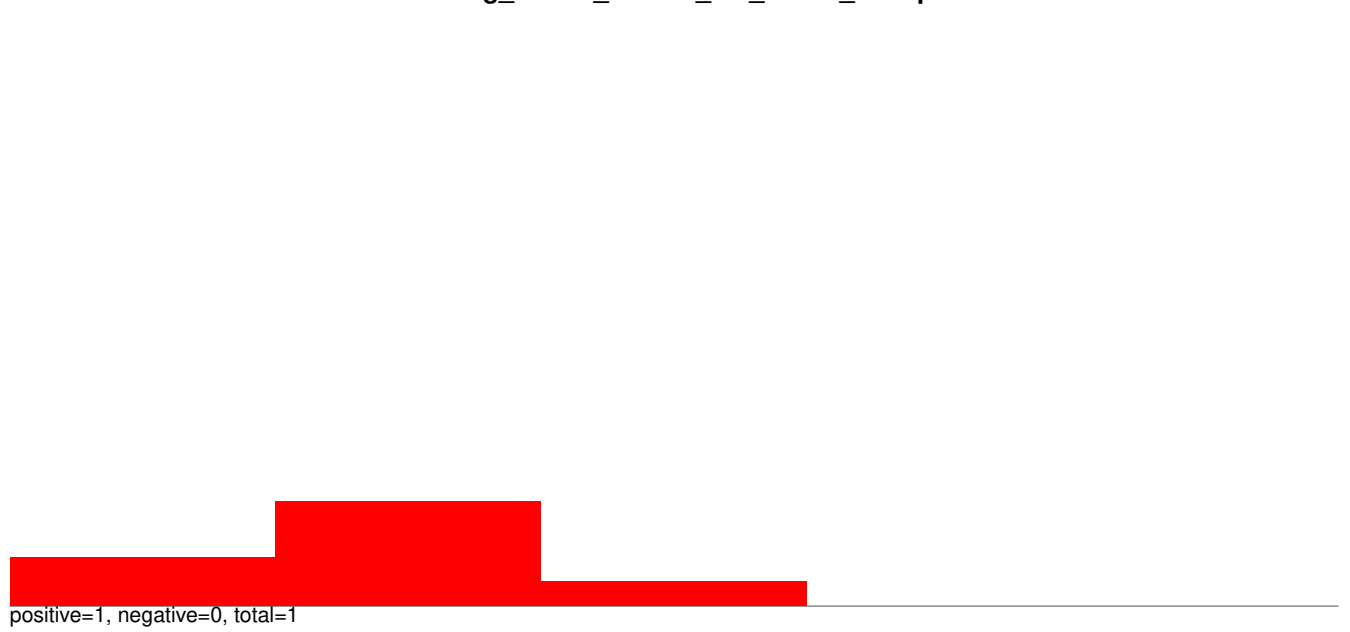
low size: 25, long: 175, total: 200, gene: AeAeg_Whole_ZIKVdr_In3_GP.18_23.rep

50 100 150 200

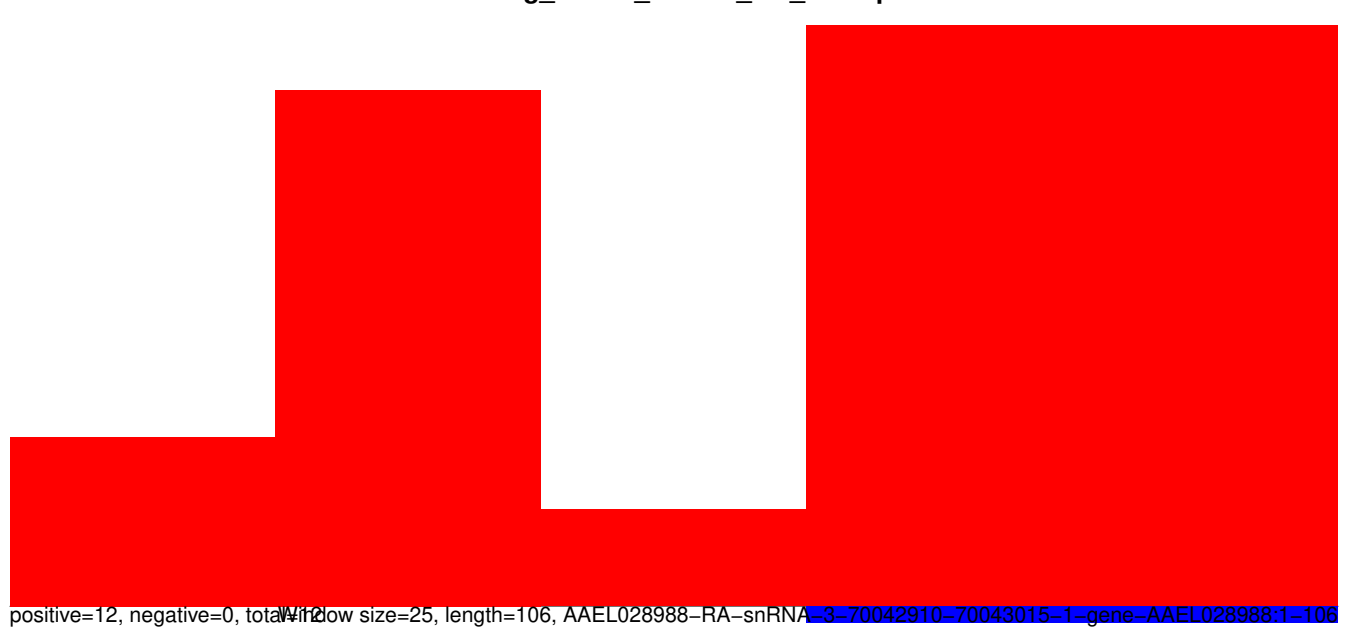
AeAeg_Whole_ZIKVdr_In3_GP.18_23.rep



AeAeg_Whole_ZIKVdr_In3_GP.24_35.rep

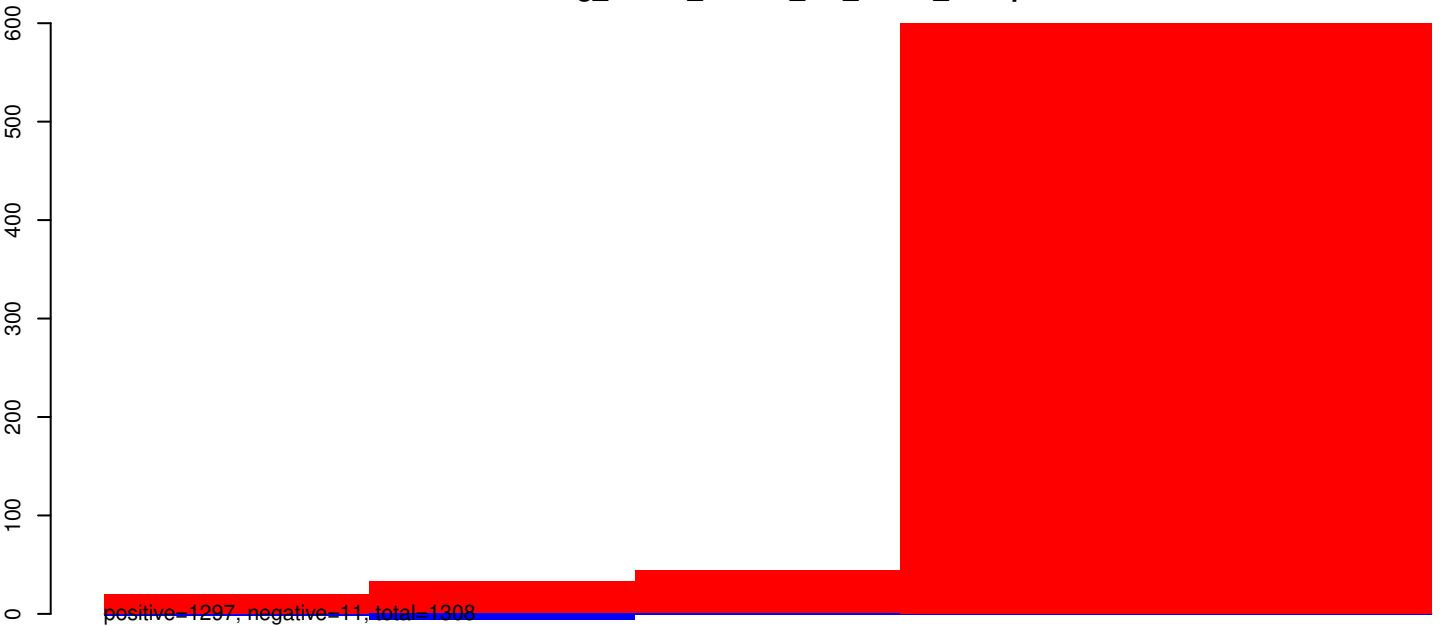


AeAeg_Whole_ZIKVdr_In3_GP.rep

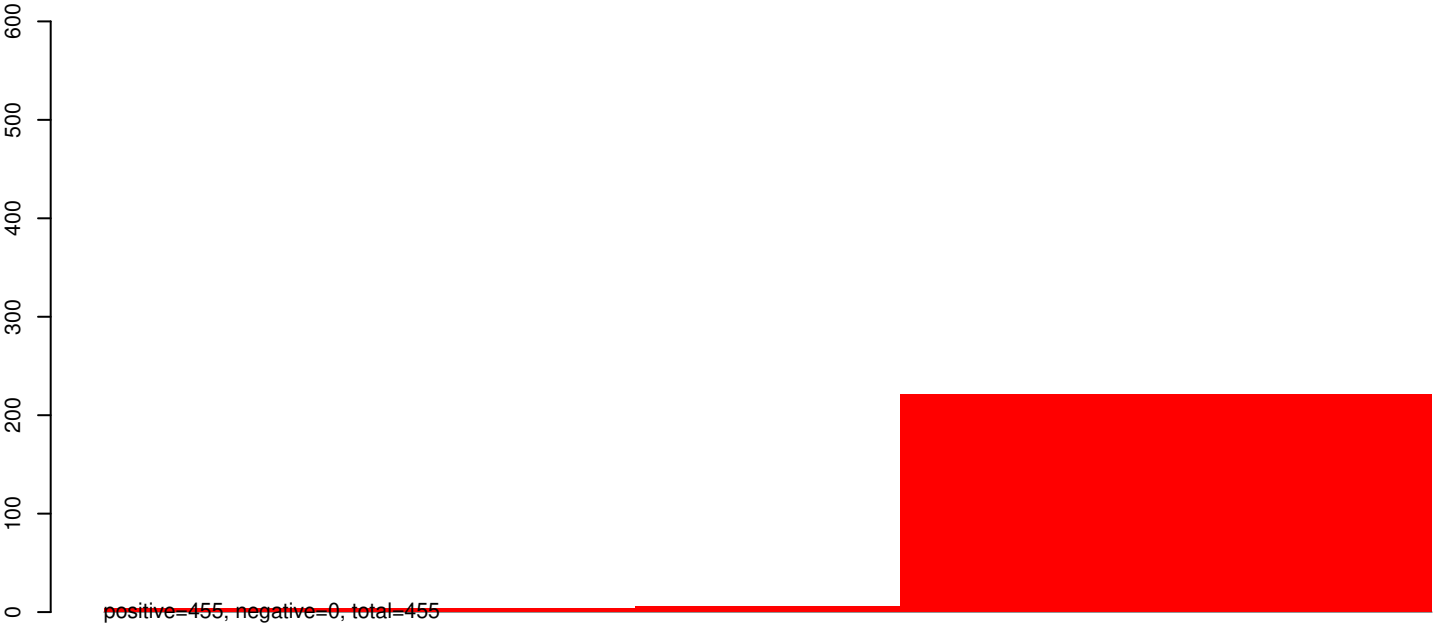


Window size=25, length=106, AAEL028988-RA-snrRNA_3-70042910-70043015-1_gene-AAEL028988:1-106

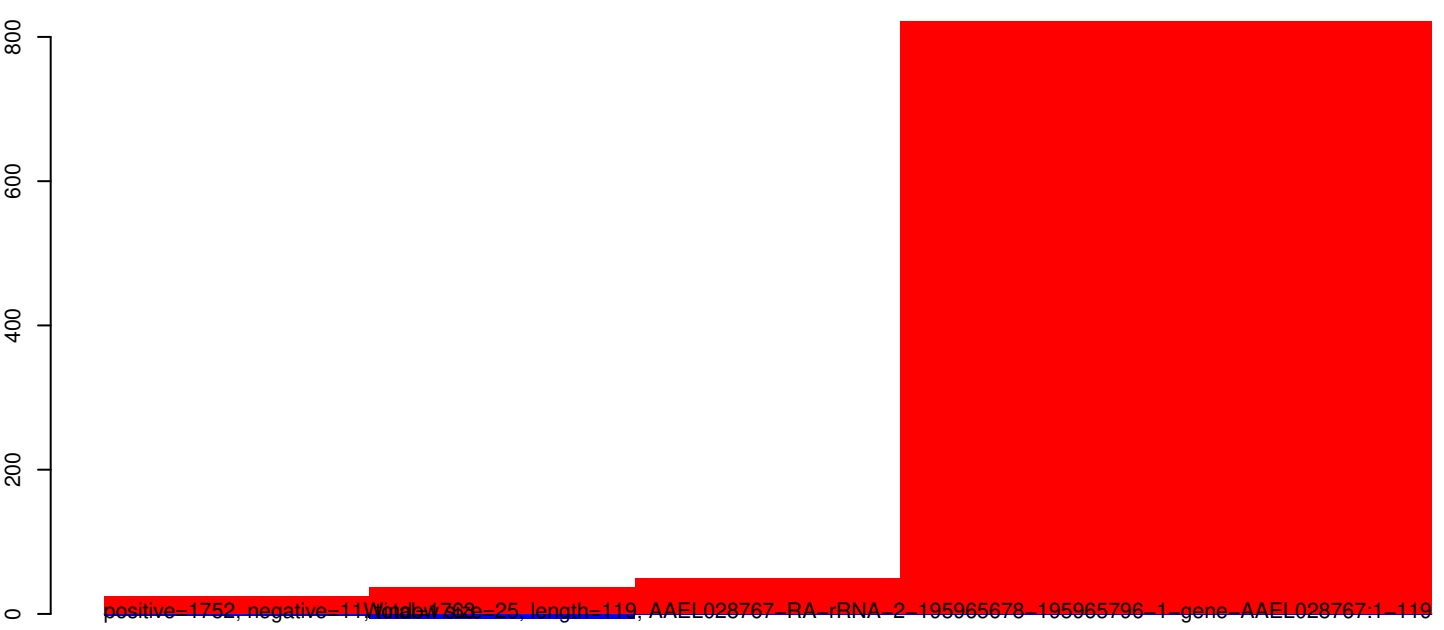
AeAeg_Whole_ZIKVdr_In3_GP.18_23.rep



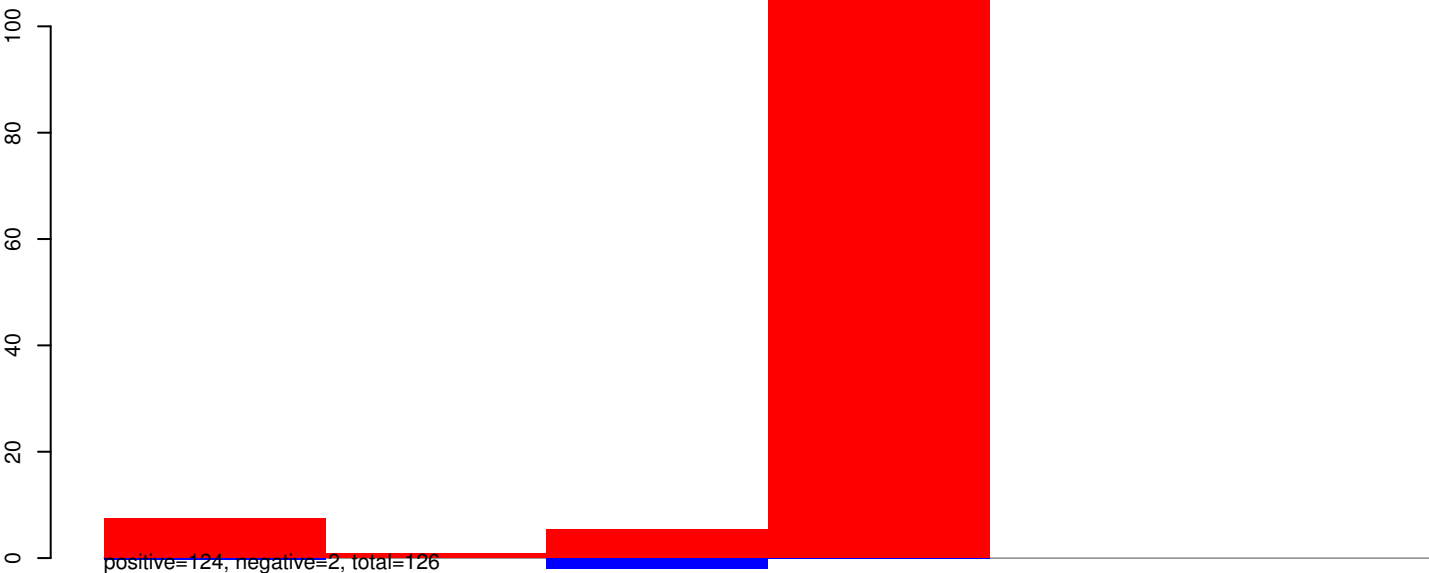
AeAeg_Whole_ZIKVdr_In3_GP.24_35.rep



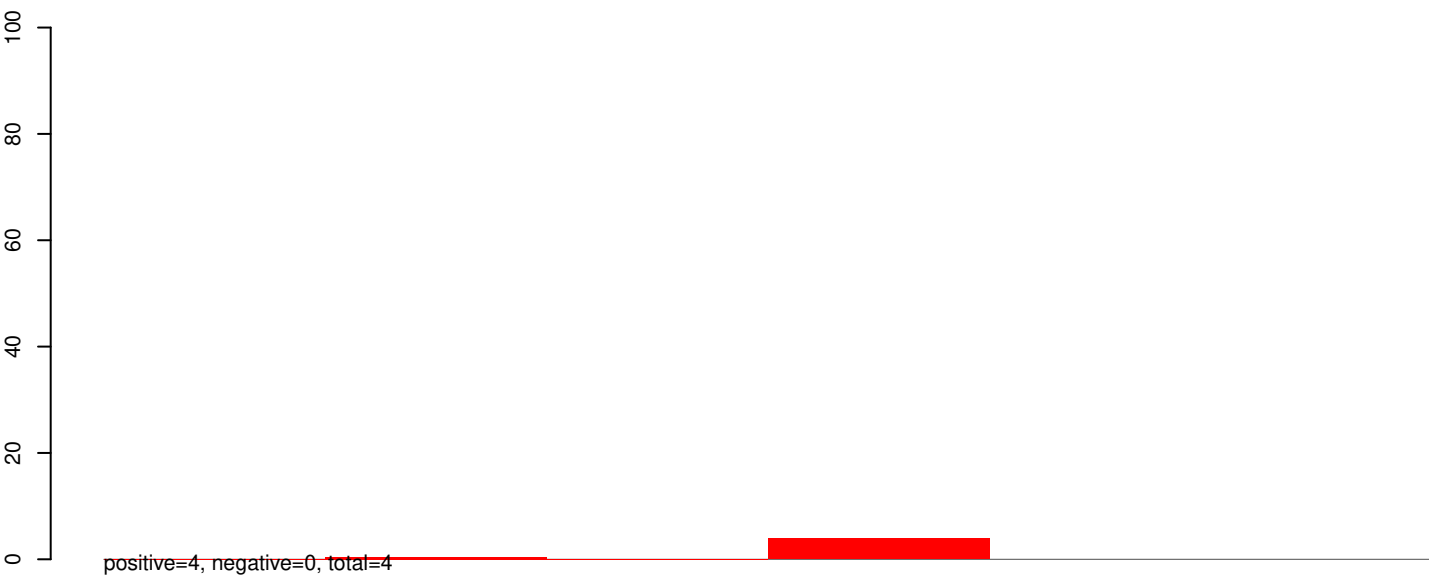
AeAeg_Whole_ZIKVdr_In3_GP.rep



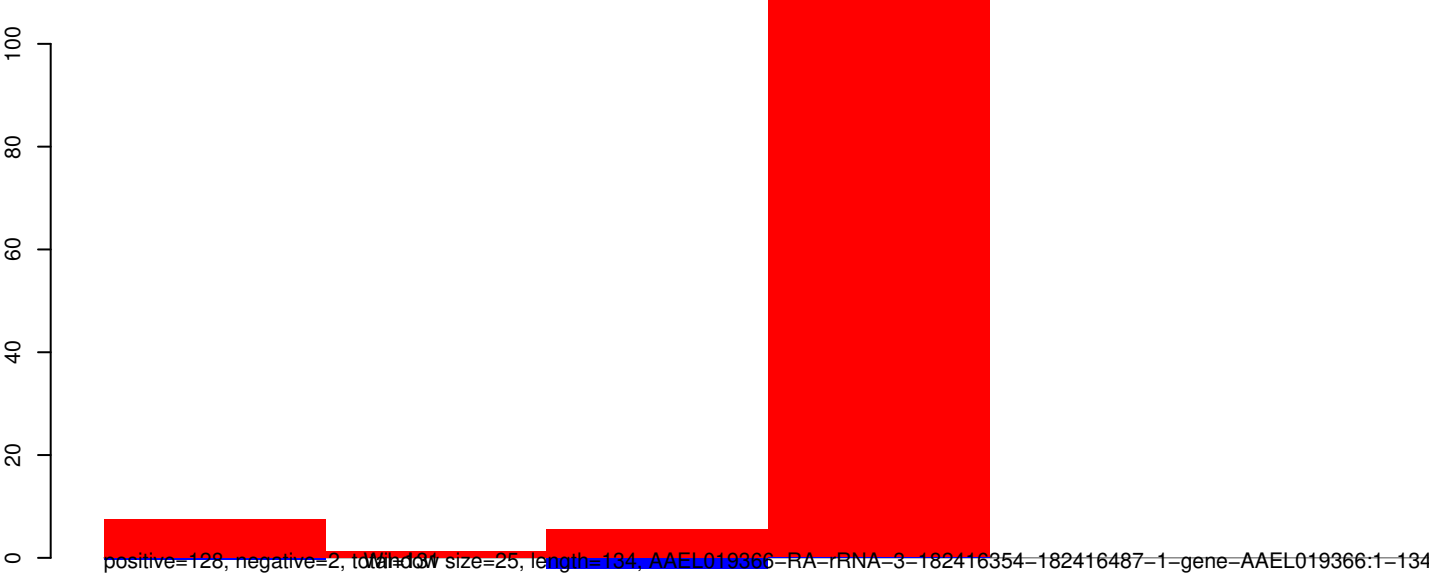
AeAeg_Whole_ZIKVdr_In3_GP.18_23.rep



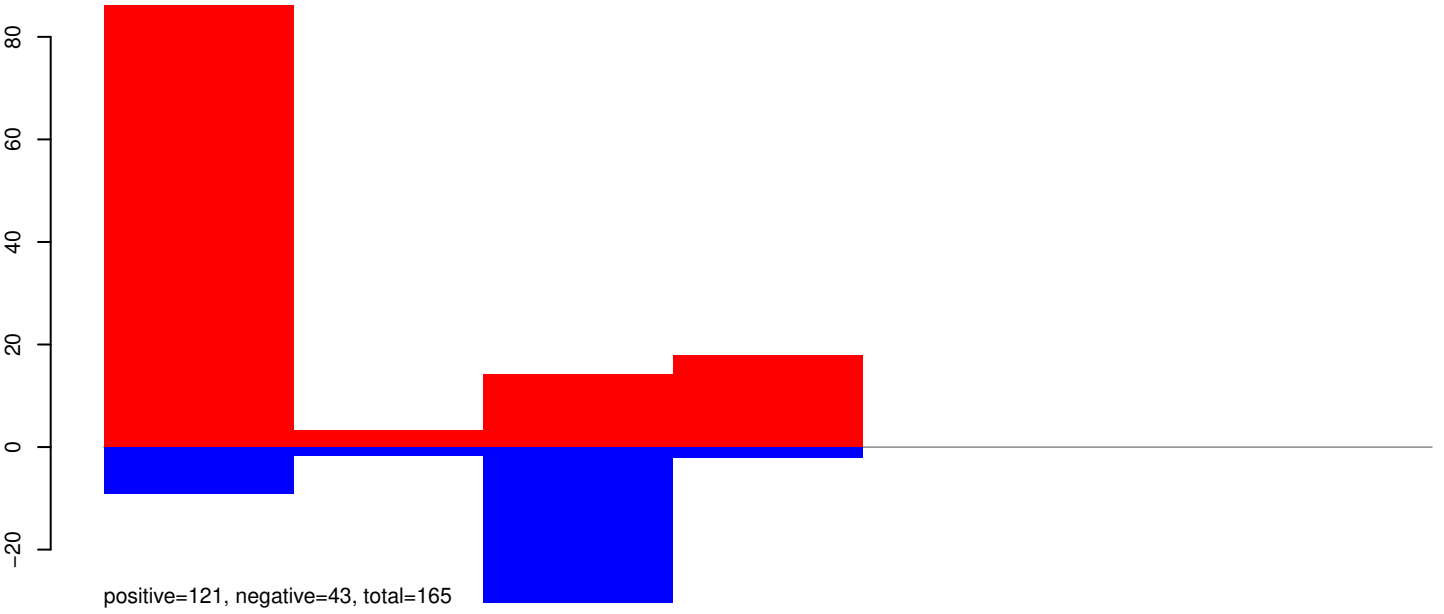
AeAeg_Whole_ZIKVdr_In3_GP.24_35.rep



AeAeg_Whole_ZIKVdr_In3_GP.rep



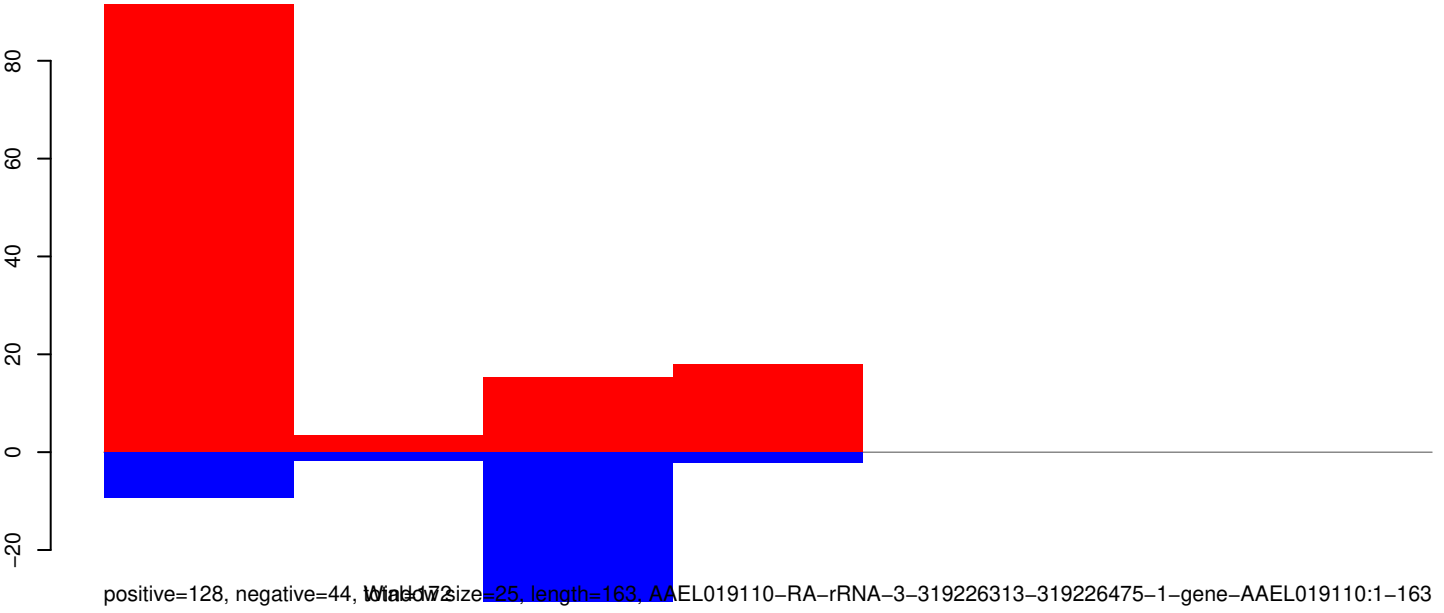
AeAeg_Whole_ZIKVdr_In3_GP.18_23.rep



AeAeg_Whole_ZIKVdr_In3_GP.24_35.rep

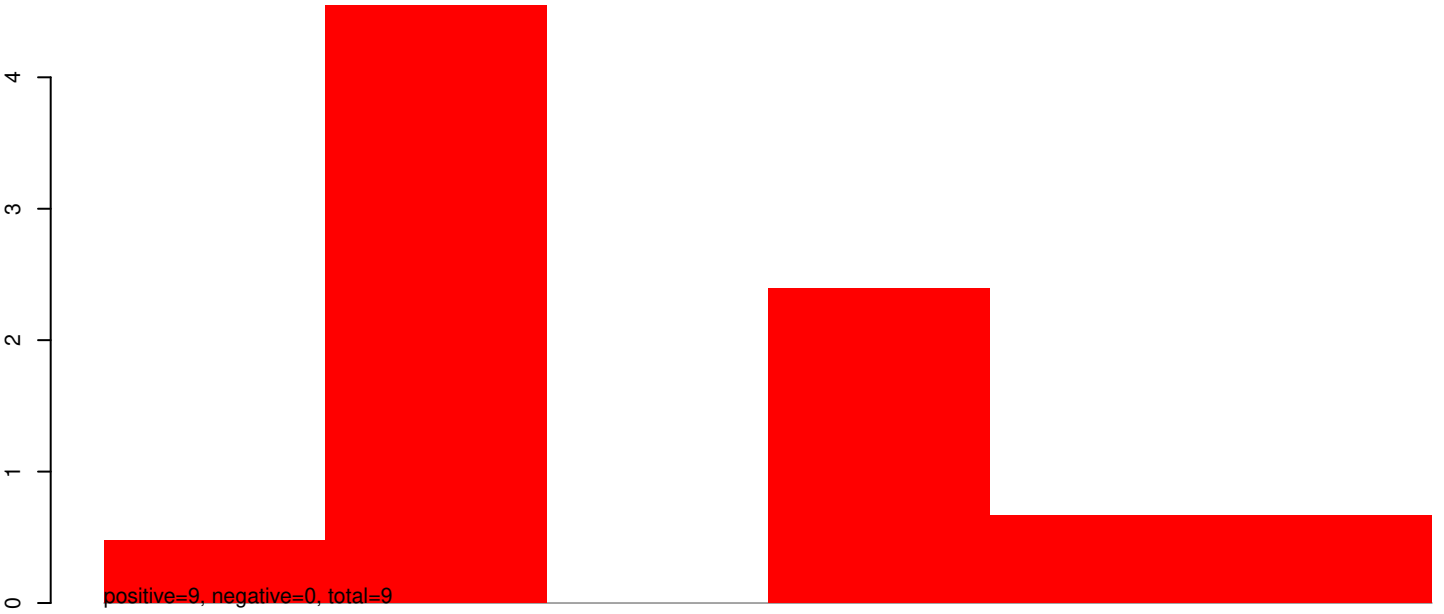


AeAeg_Whole_ZIKVdr_In3_GP.rep

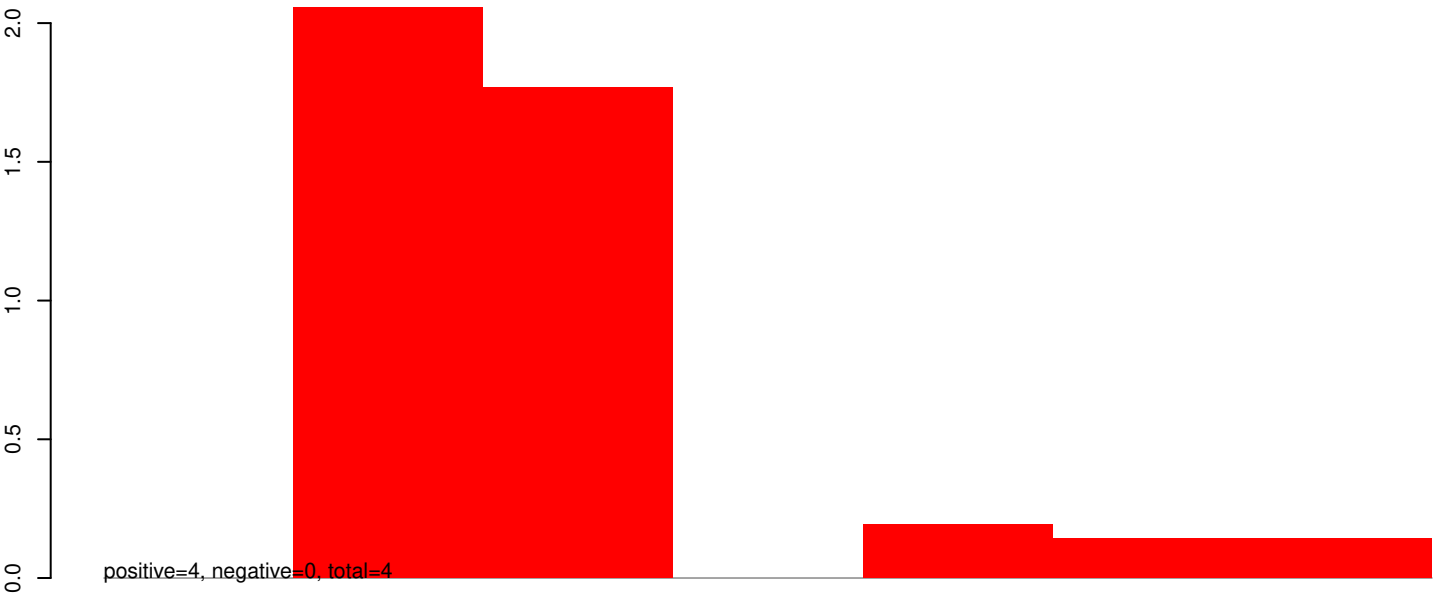


Window size=25, length=163, AAEL019110-RA-rRNA-3-319226313-319226475-1-gene-AAEL019110:1-163

AeAeg_Whole_ZIKVdr_In3_GP.18_23.rep



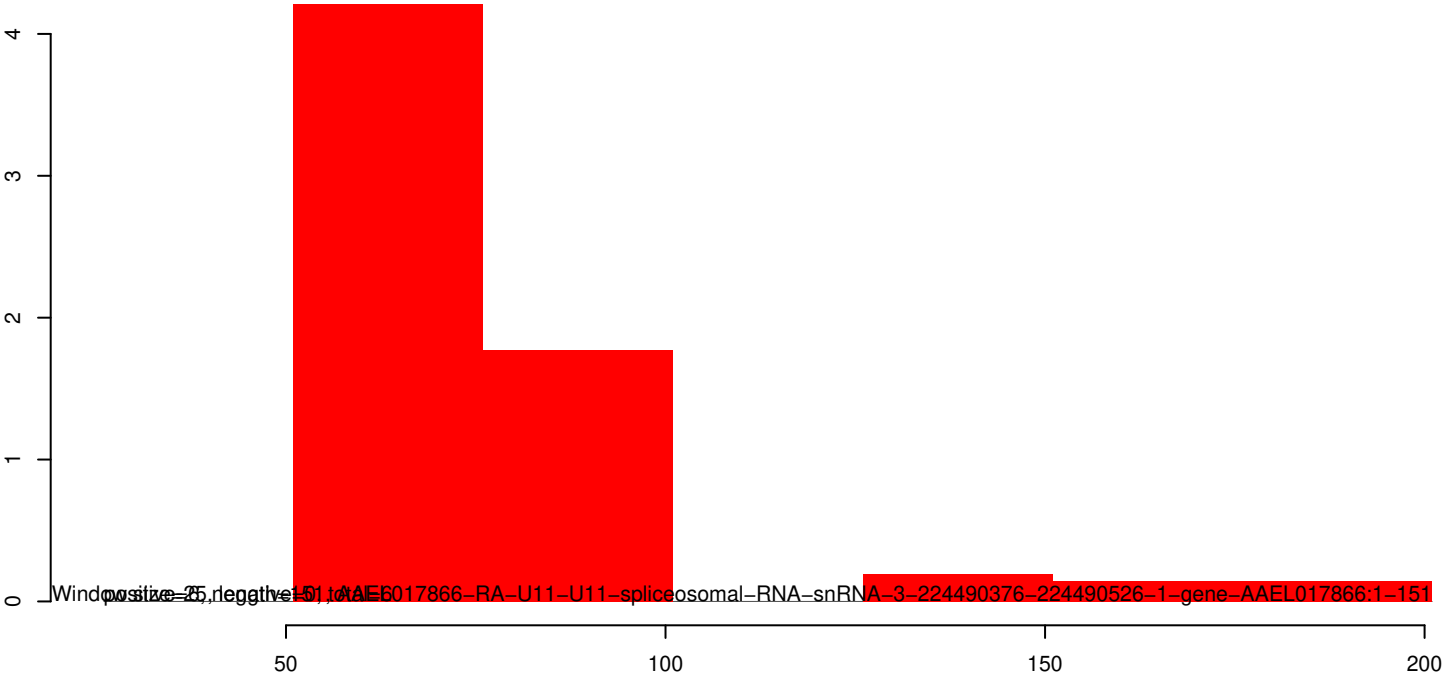
AeAeg_Whole_ZIKVdr_In3_GP.18_23.rep



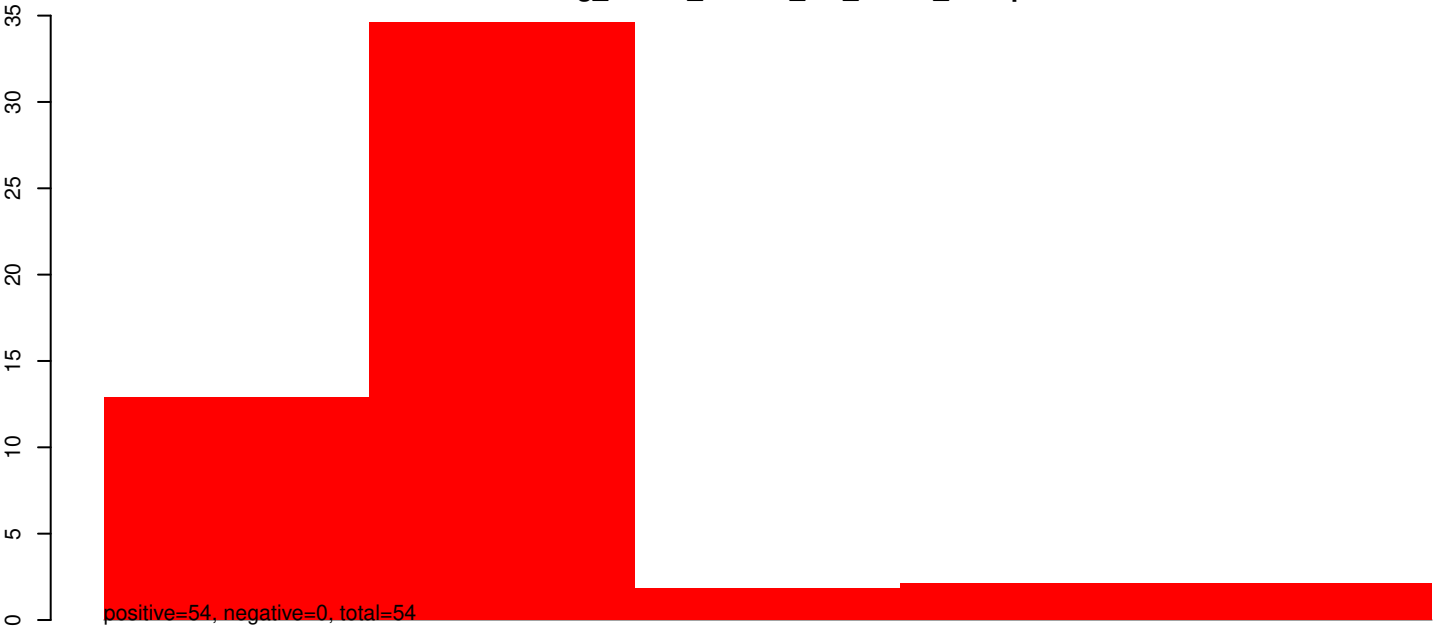
AeAeg_Whole_ZIKVdr_In3_GP.24_35.rep



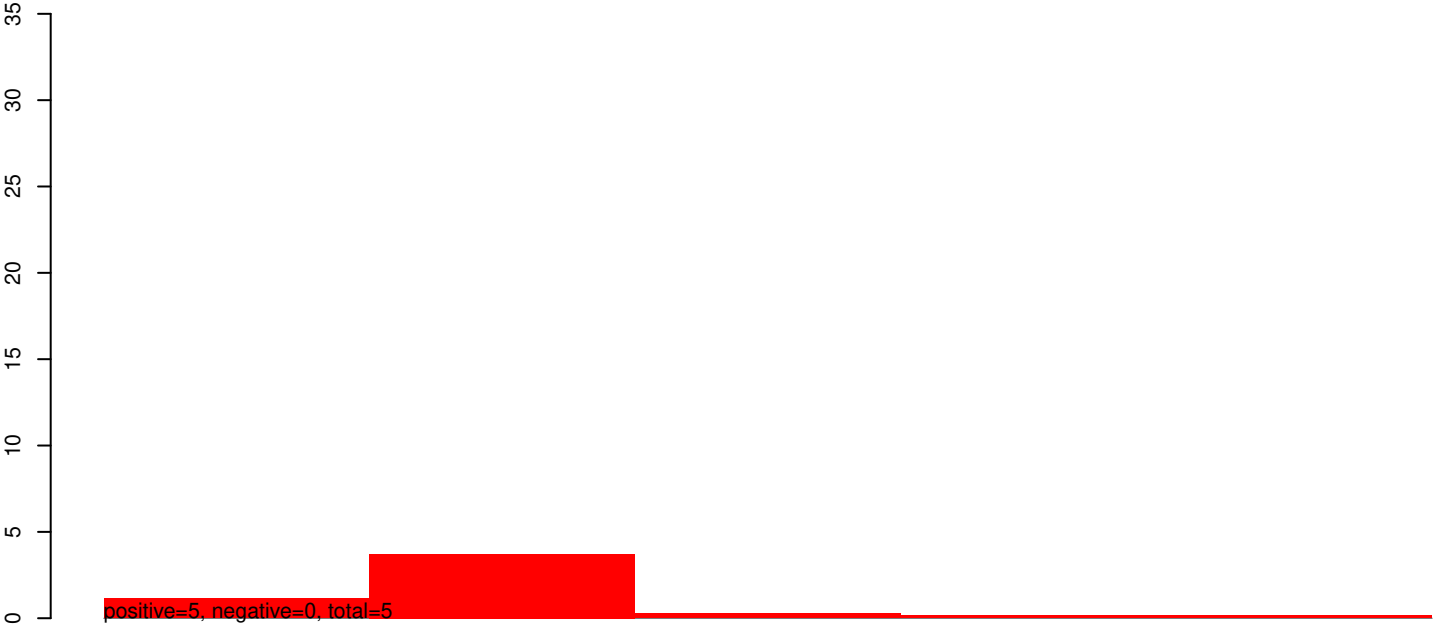
AeAeg_Whole_ZIKVdr_In3_GP.rep



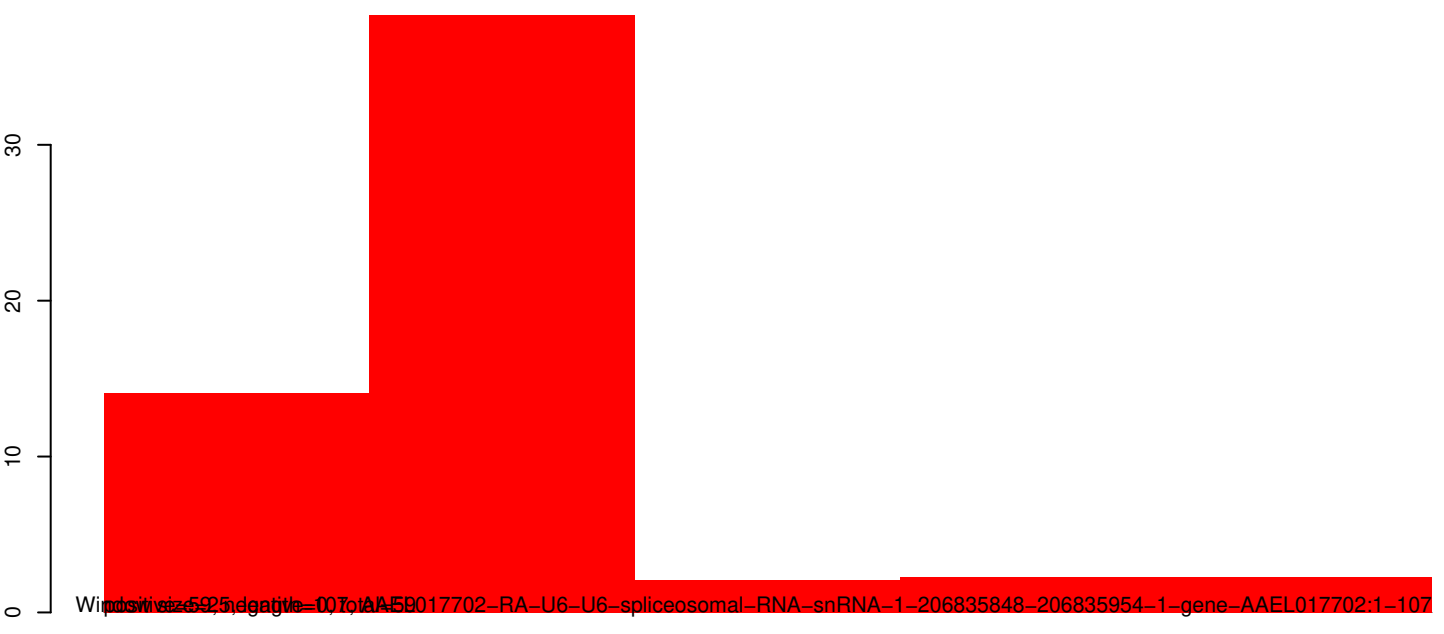
AeAeg_Whole_ZIKVdr_In3_GP.18_23.rep



AeAeg_Whole_ZIKVdr_In3_GP.24_35.rep

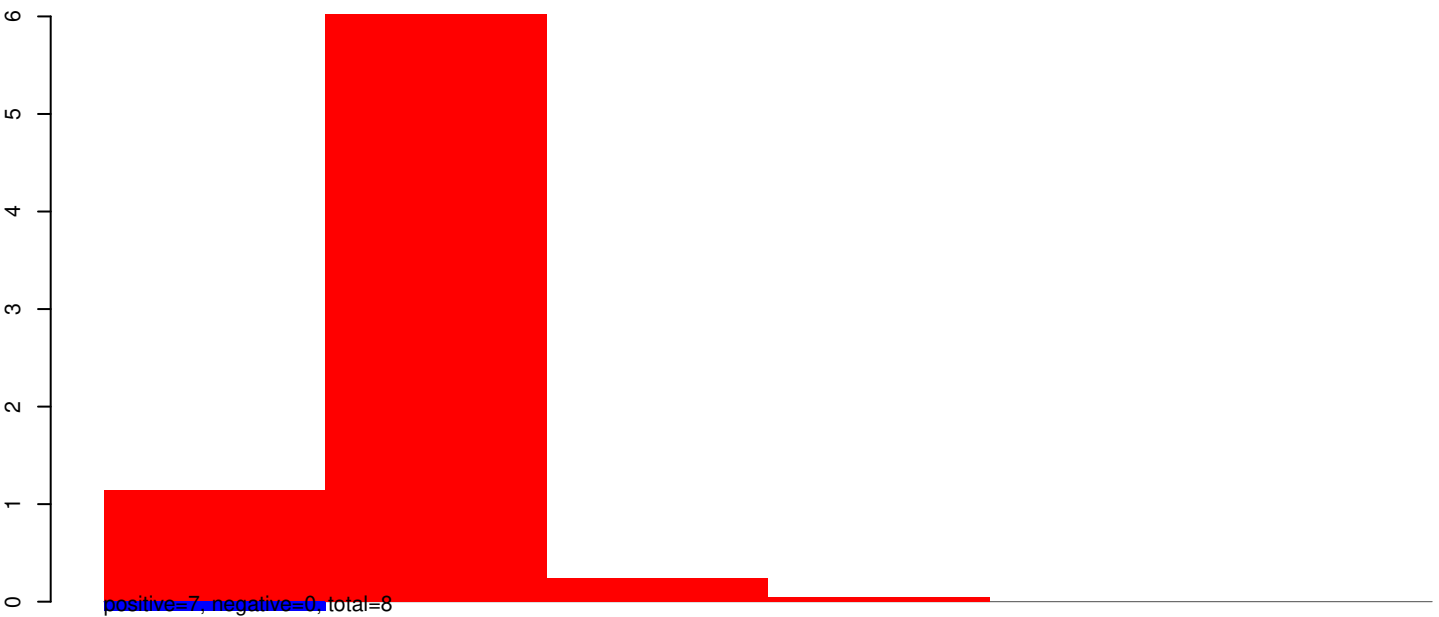


AeAeg_Whole_ZIKVdr_In3_GP.rep

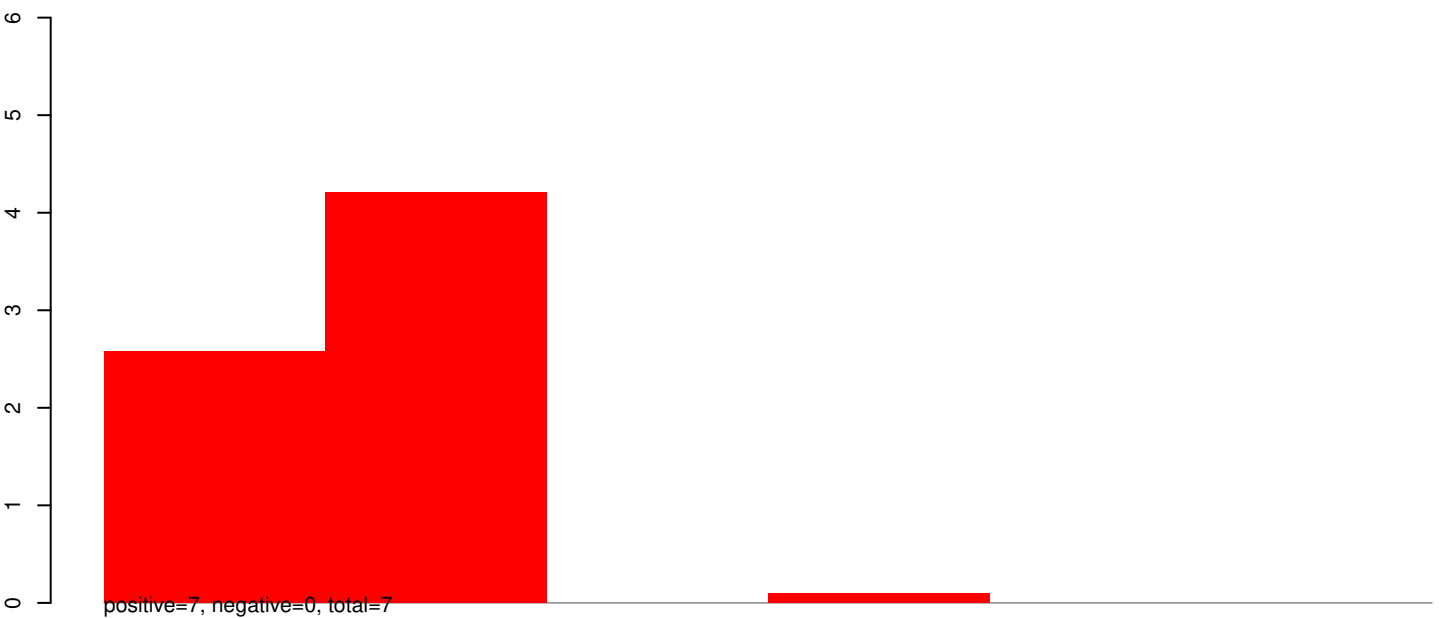


Winnipeg, Manitoba, Canada. Total: 59017702-RA-U6-U6-spliceosomal-RNA-snRNA-1-206835848-206835954-1-gene-AAEL017702:1-107

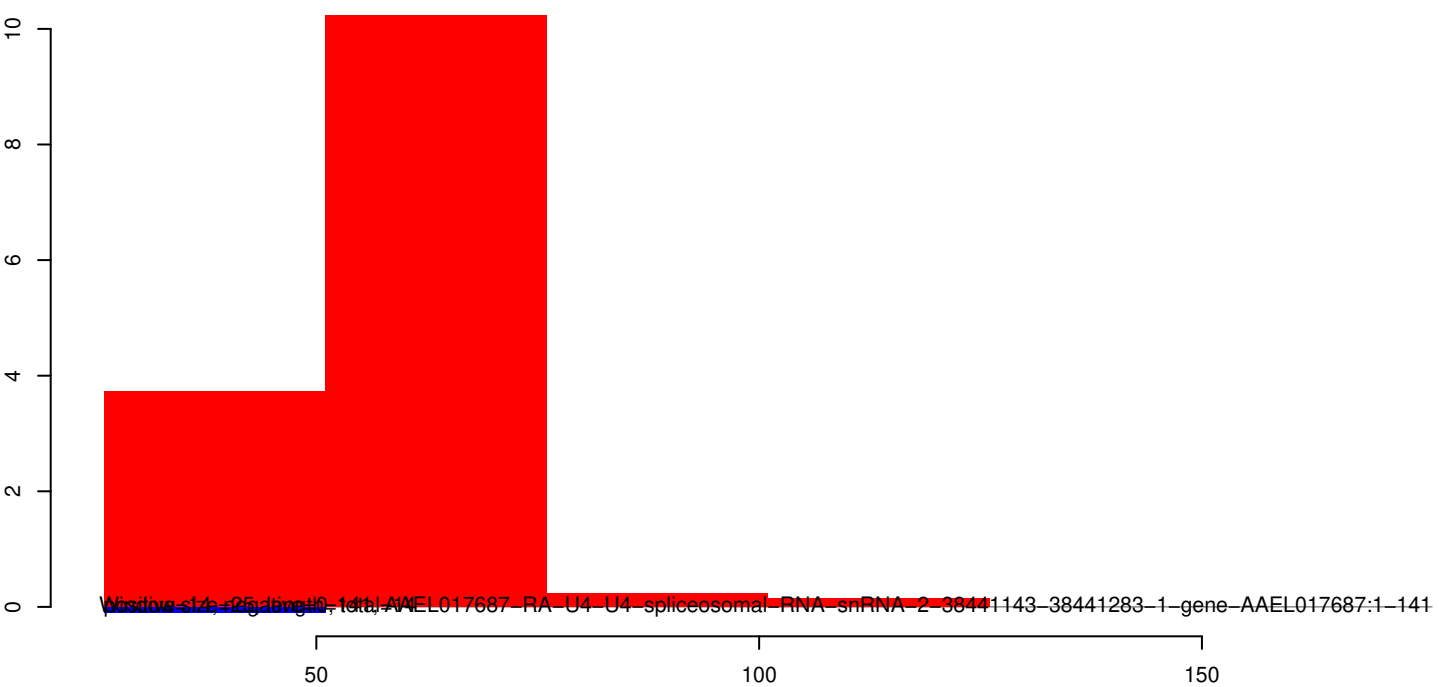
AeAeg_Whole_ZIKVdr_In3_GP.18_23.rep



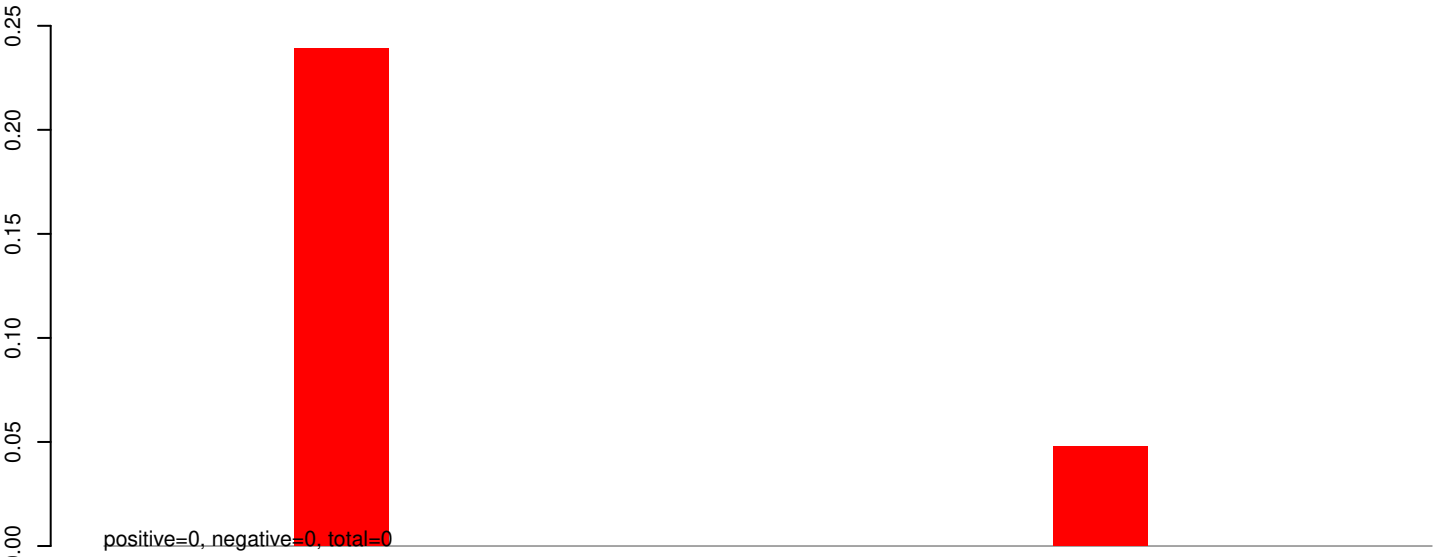
AeAeg_Whole_ZIKVdr_In3_GP.24_35.rep



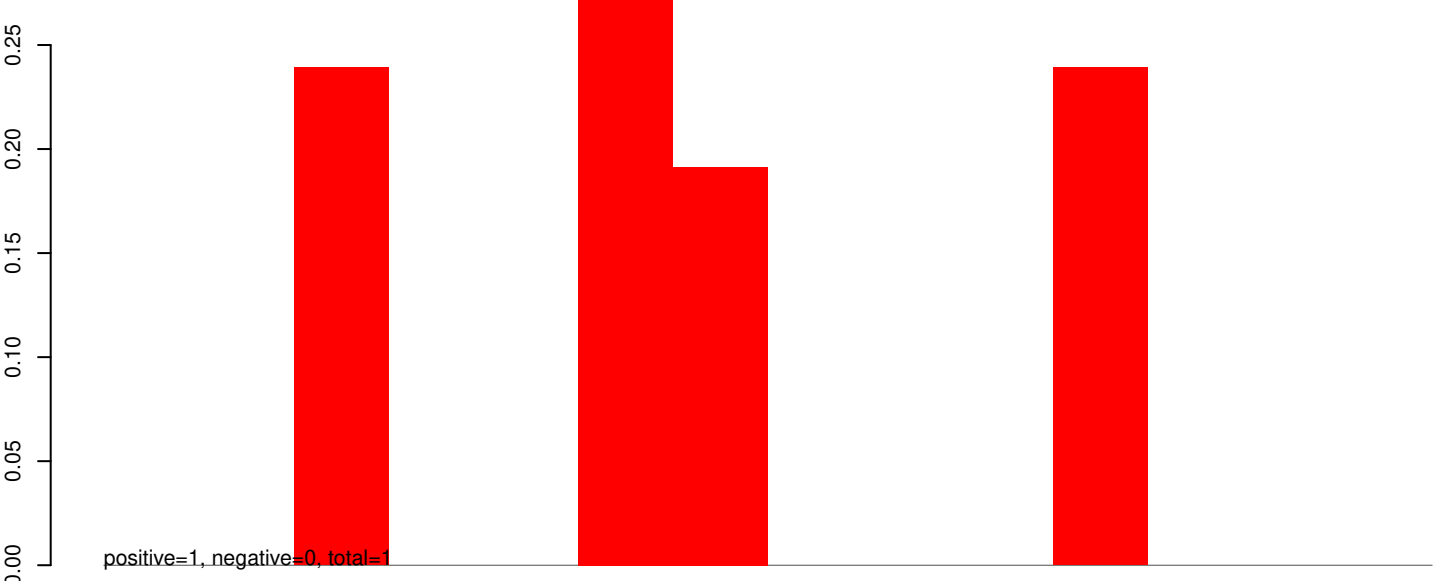
AeAeg_Whole_ZIKVdr_In3_GP.rep



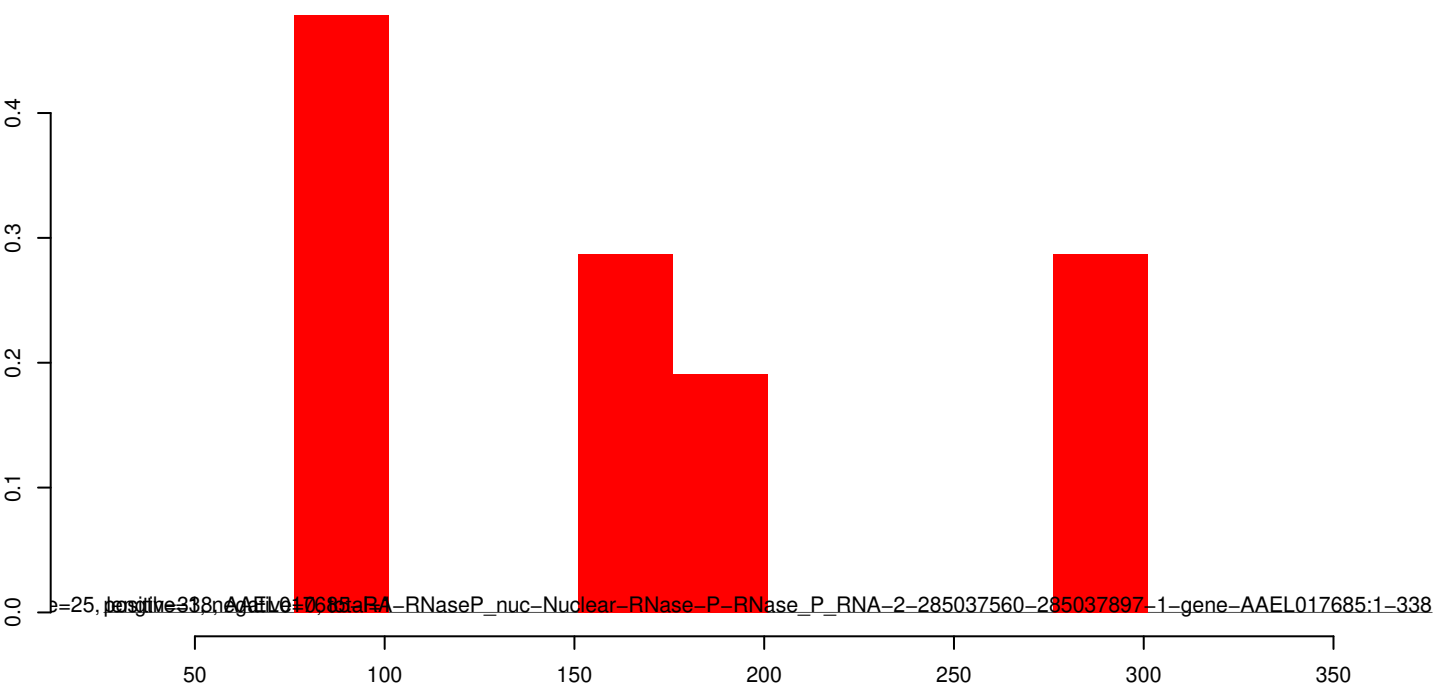
AeAeg_Whole_ZIKVdr_In3_GP.18_23.rep



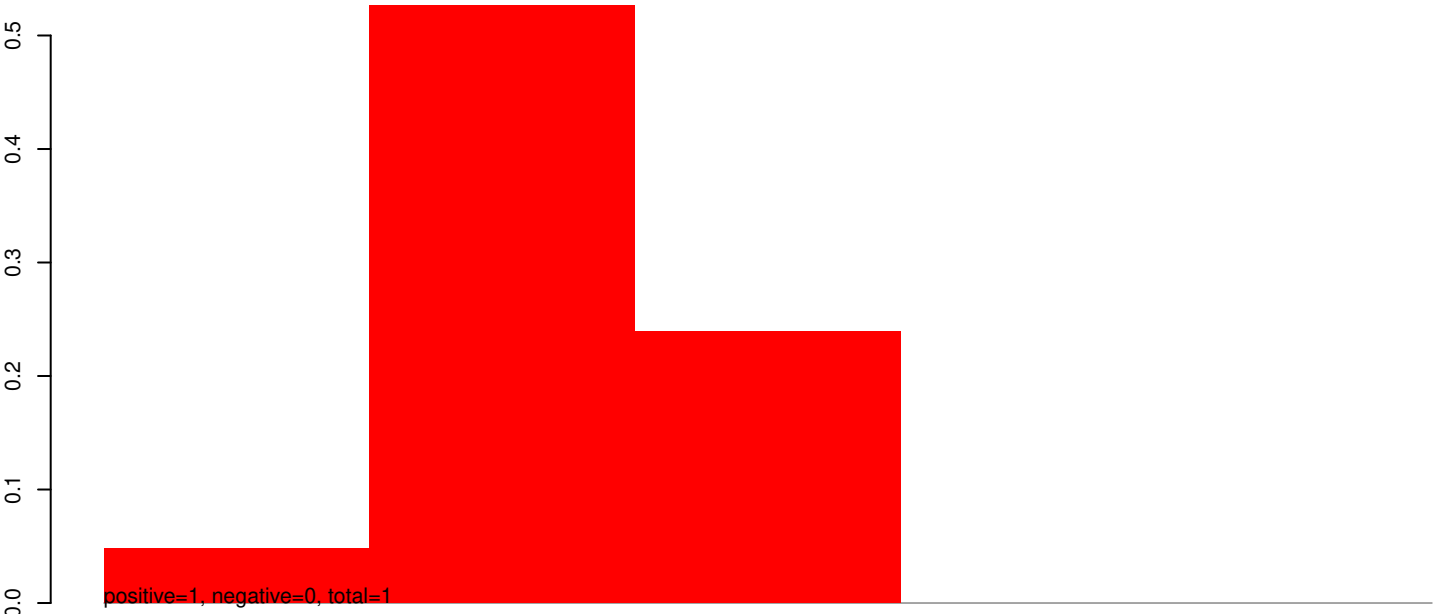
AeAeg_Whole_ZIKVdr_In3_GP.24_35.rep



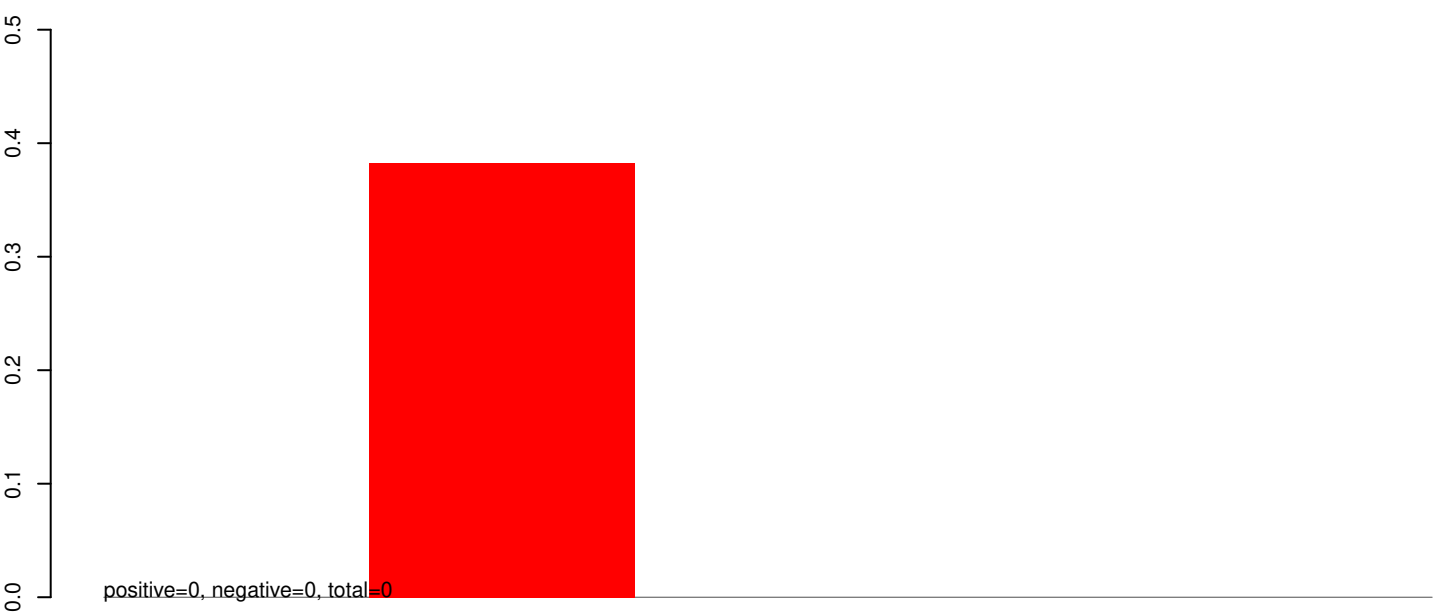
AeAeg_Whole_ZIKVdr_In3_GP.rep



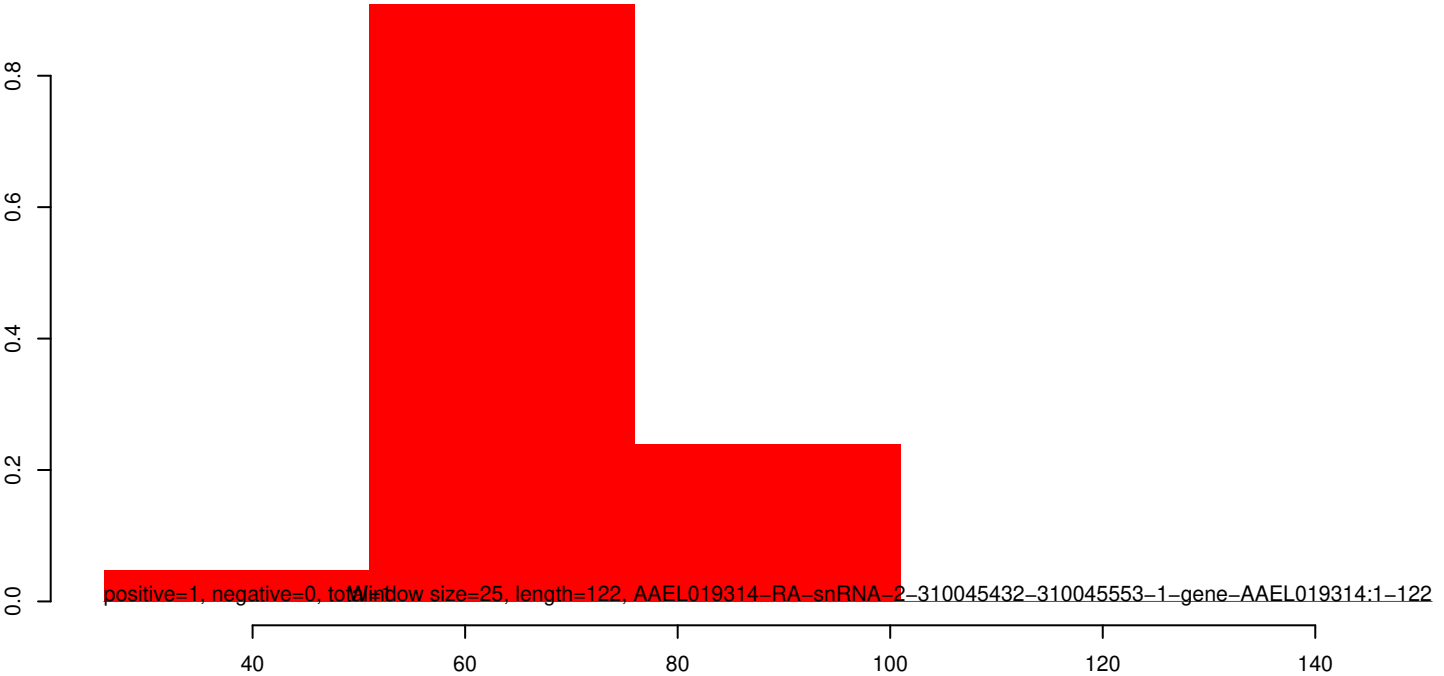
AeAeg_Whole_ZIKVdr_In3_GP.18_23.rep



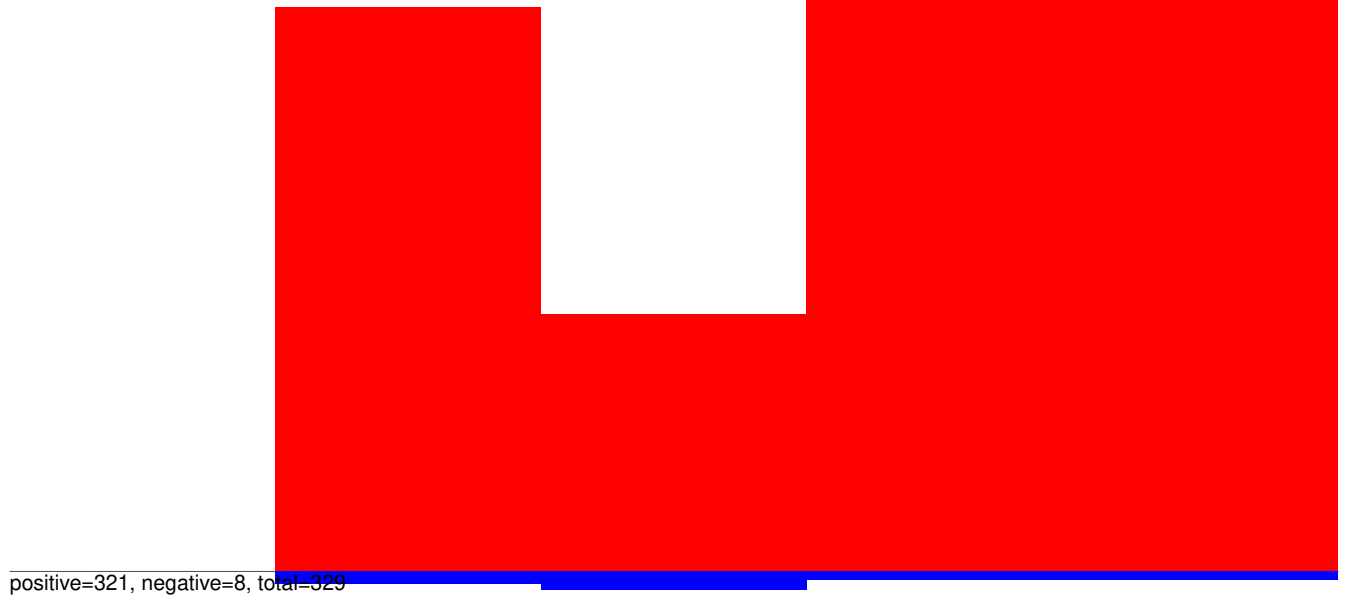
AeAeg_Whole_ZIKVdr_In3_GP.24_35.rep



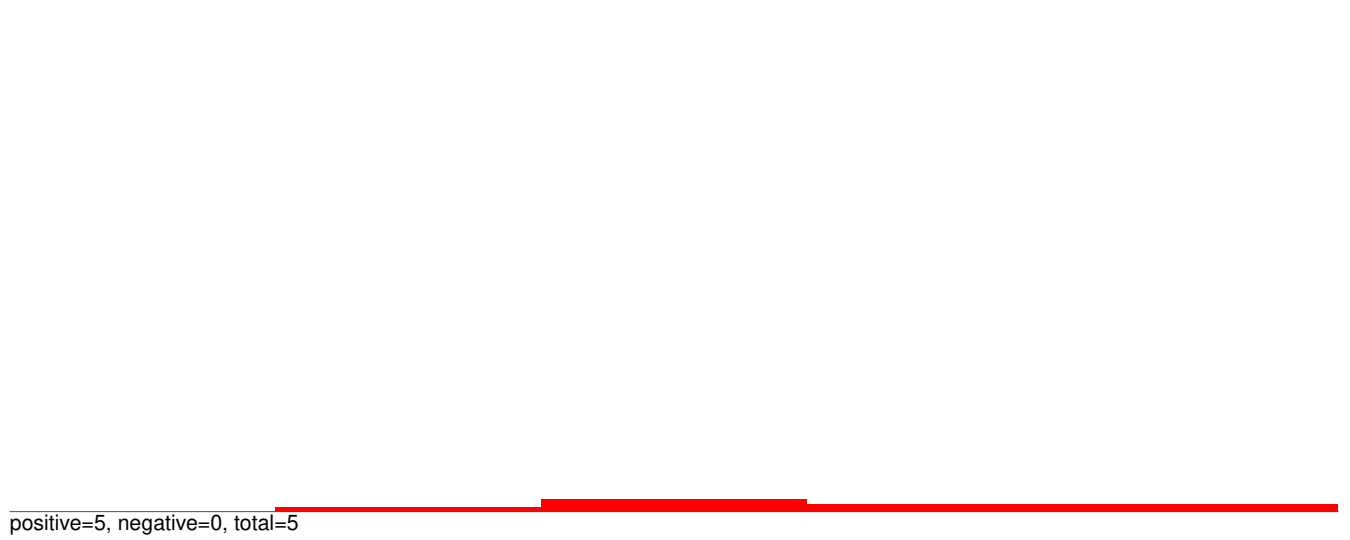
AeAeg_Whole_ZIKVdr_In3_GP.rep



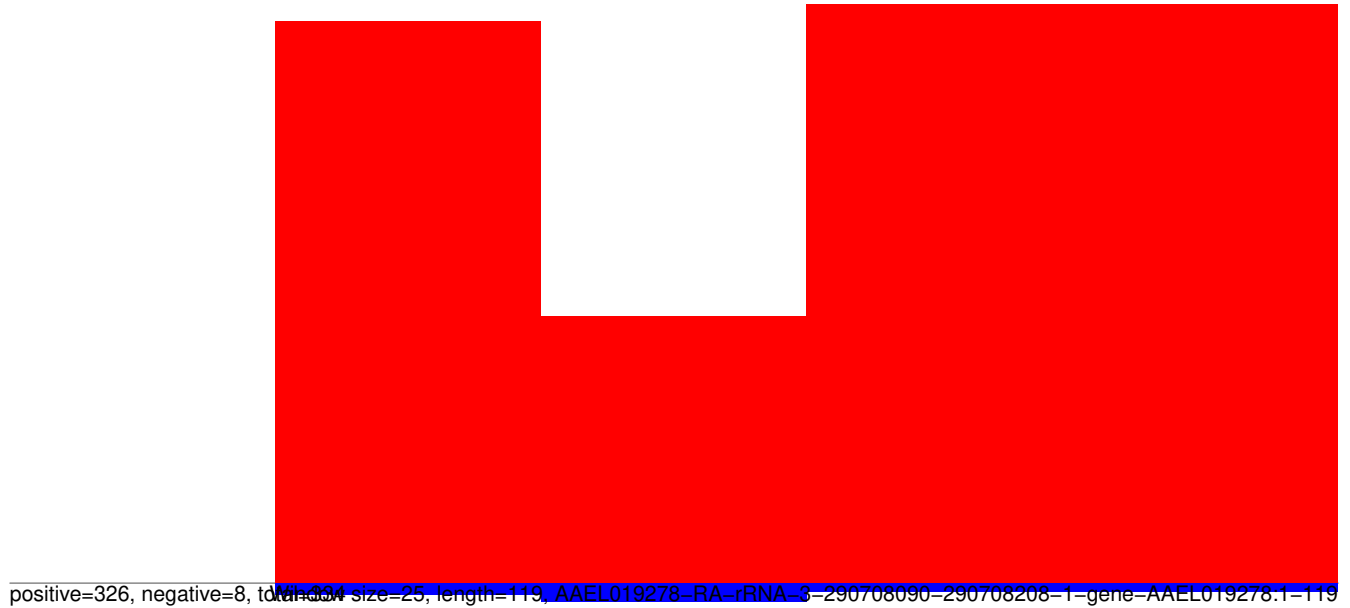
AeAeg_Whole_ZIKVdr_In3_GP.18_23.rep



AeAeg_Whole_ZIKVdr_In3_GP.24_35.rep

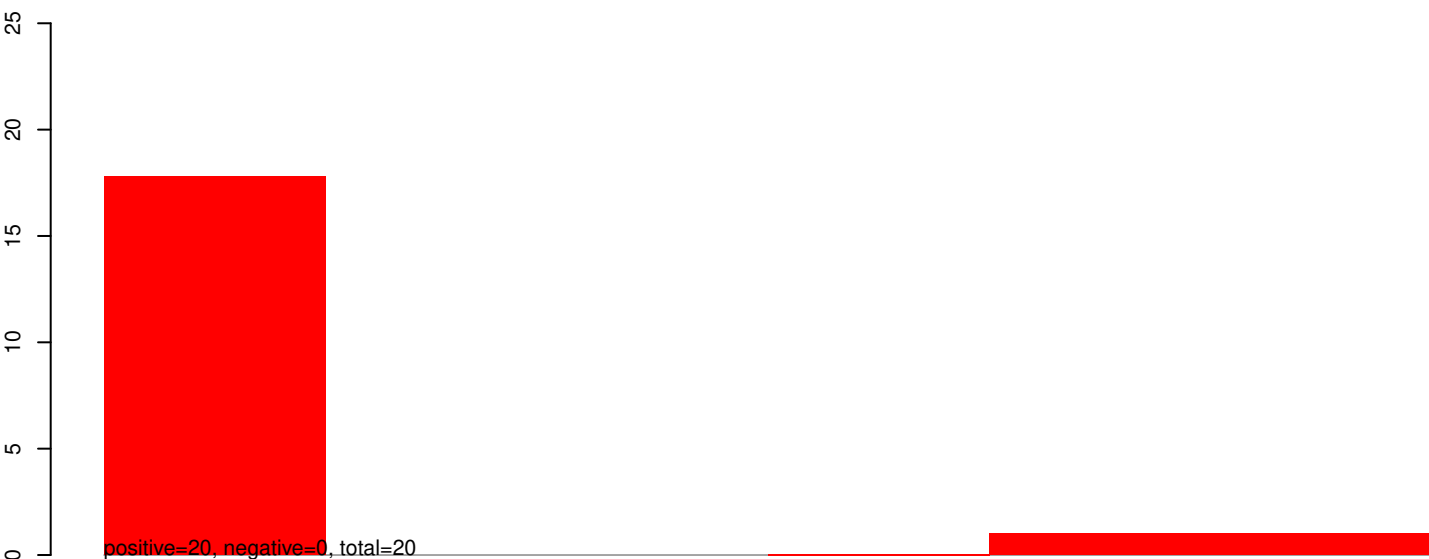


AeAeg_Whole_ZIKVdr_In3_GP.rep

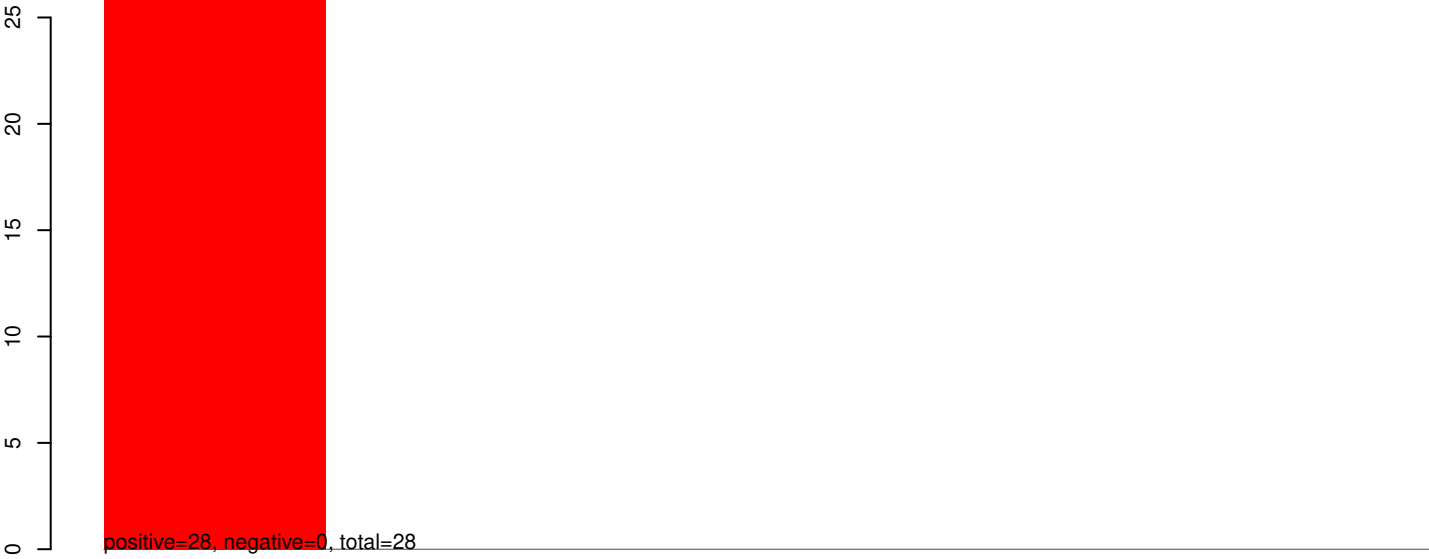


40 60 80 100 120 140

AeAeg_Whole_ZIKVdr_In3_GP.18_23.rep



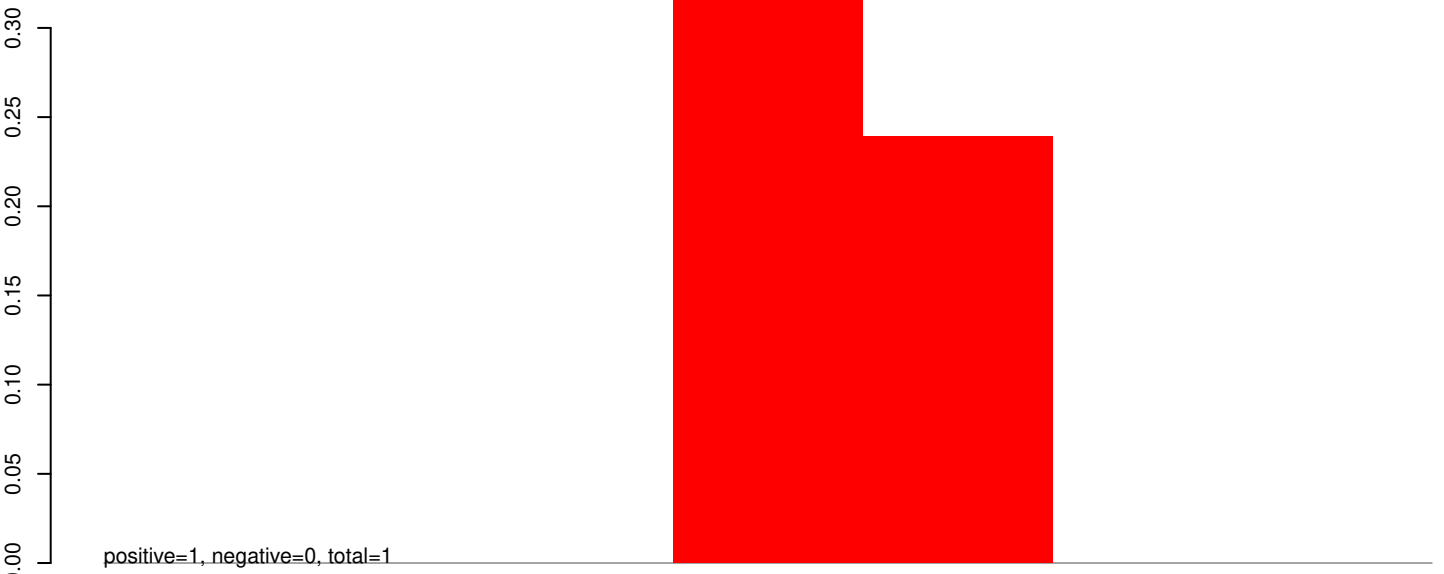
AeAeg_Whole_ZIKVdr_In3_GP.24_35.rep



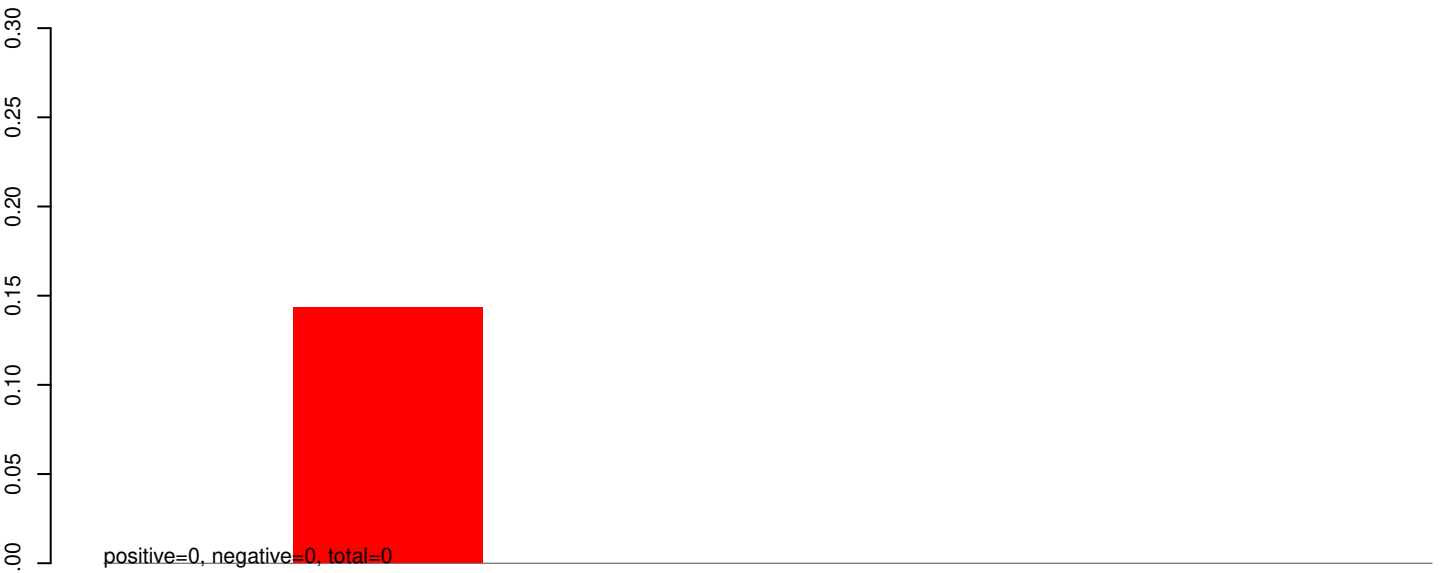
AeAeg_Whole_ZIKVdr_In3_GP.rep



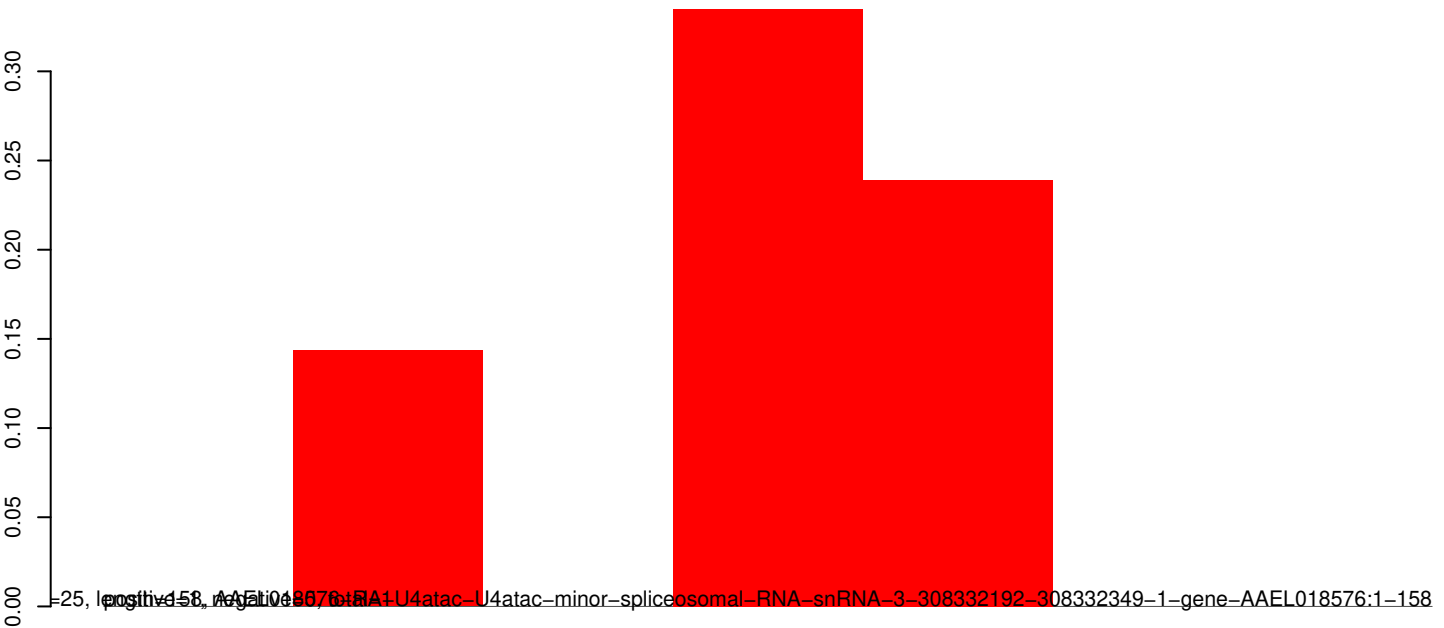
AeAeg_Whole_ZIKVdr_In3_GP.18_23.rep



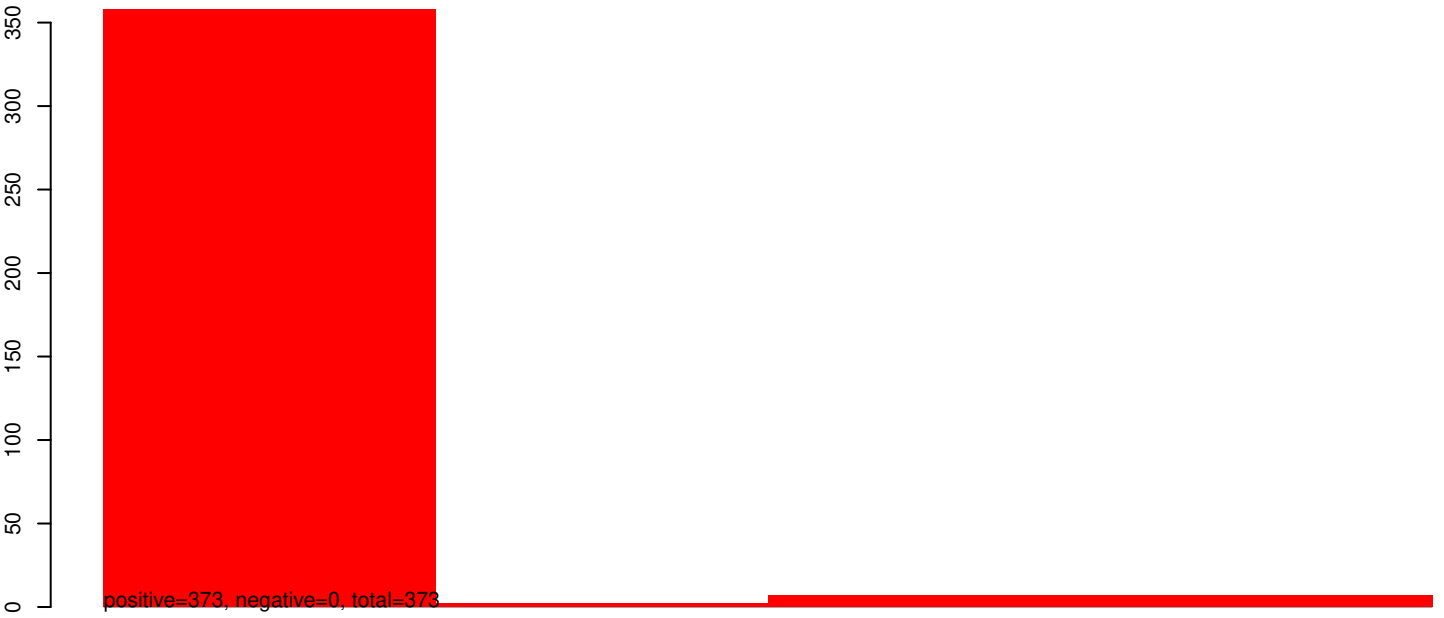
AeAeg_Whole_ZIKVdr_In3_GP.24_35.rep



AeAeg_Whole_ZIKVdr_In3_GP.rep



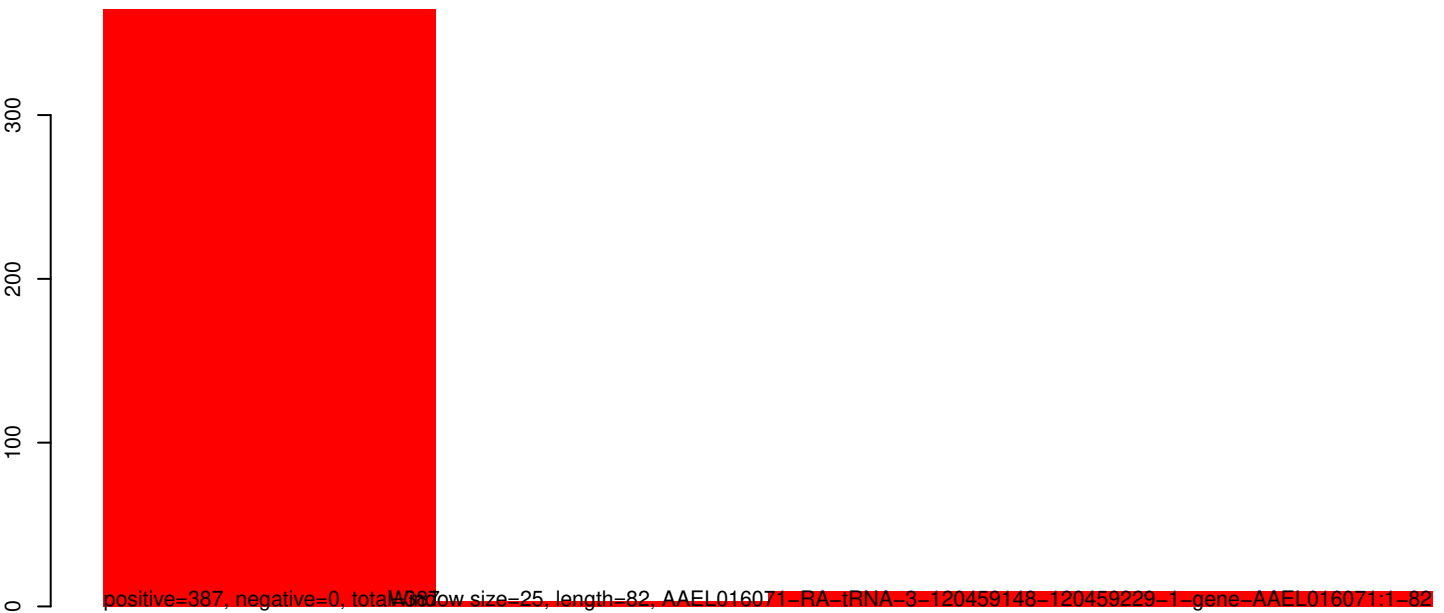
AeAeg_Whole_ZIKVdr_In3_GP.18_23.rep



AeAeg_Whole_ZIKVdr_In3_GP.24_35.rep

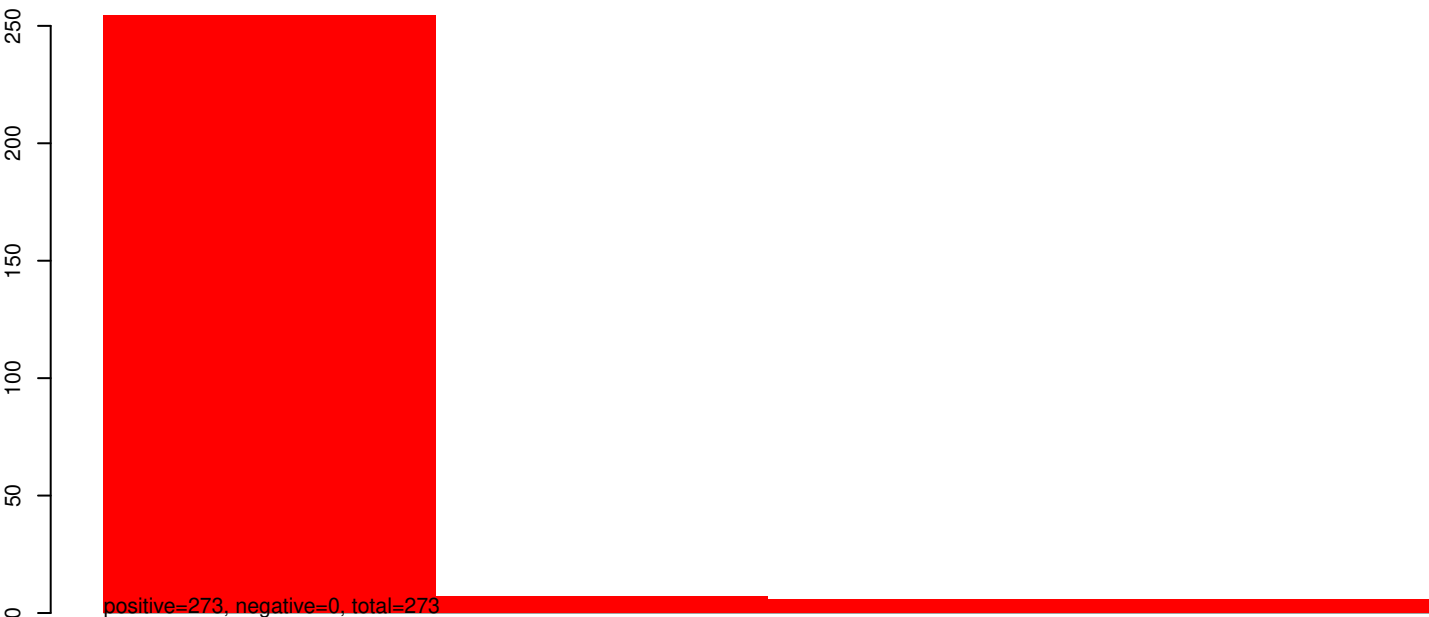


AeAeg_Whole_ZIKVdr_In3_GP.rep



40 60 80 100 120
AeAeg_Whole_ZIKVdr_In3_GP.18_23.rep
AeAeg_Whole_ZIKVdr_In3_GP.24_35.rep
AeAeg_Whole_ZIKVdr_In3_GP.rep
AAEL016071-RA-IRNA-3-120459148-120459229-1-gene-AAEL016071:1-82

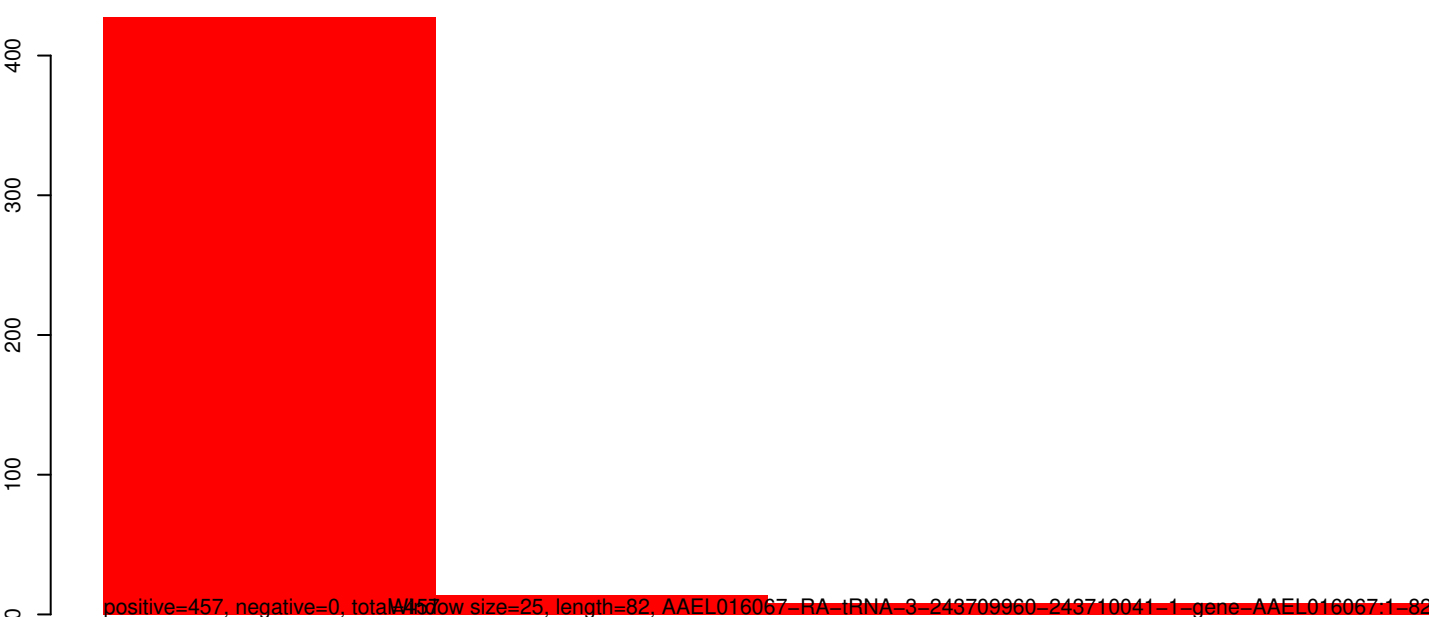
AeAeg_Whole_ZIKVdr_In3_GP.18_23.rep



AeAeg_Whole_ZIKVdr_In3_GP.24_35.rep



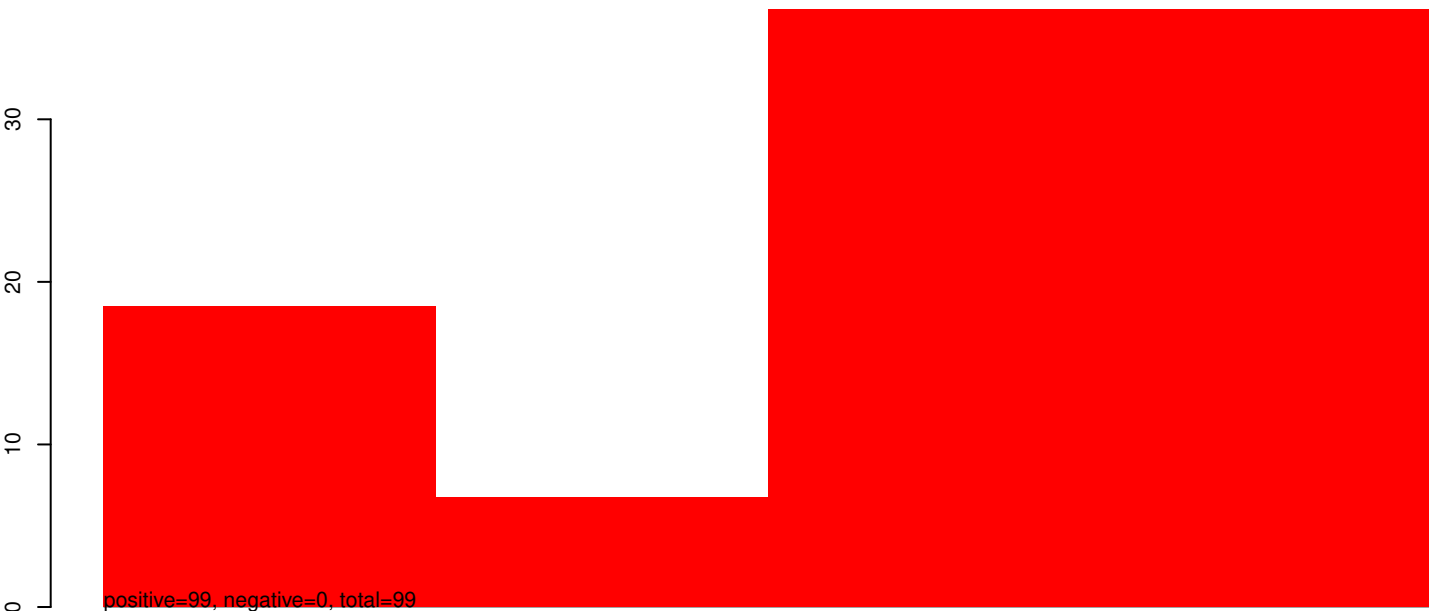
AeAeg_Whole_ZIKVdr_In3_GP.rep



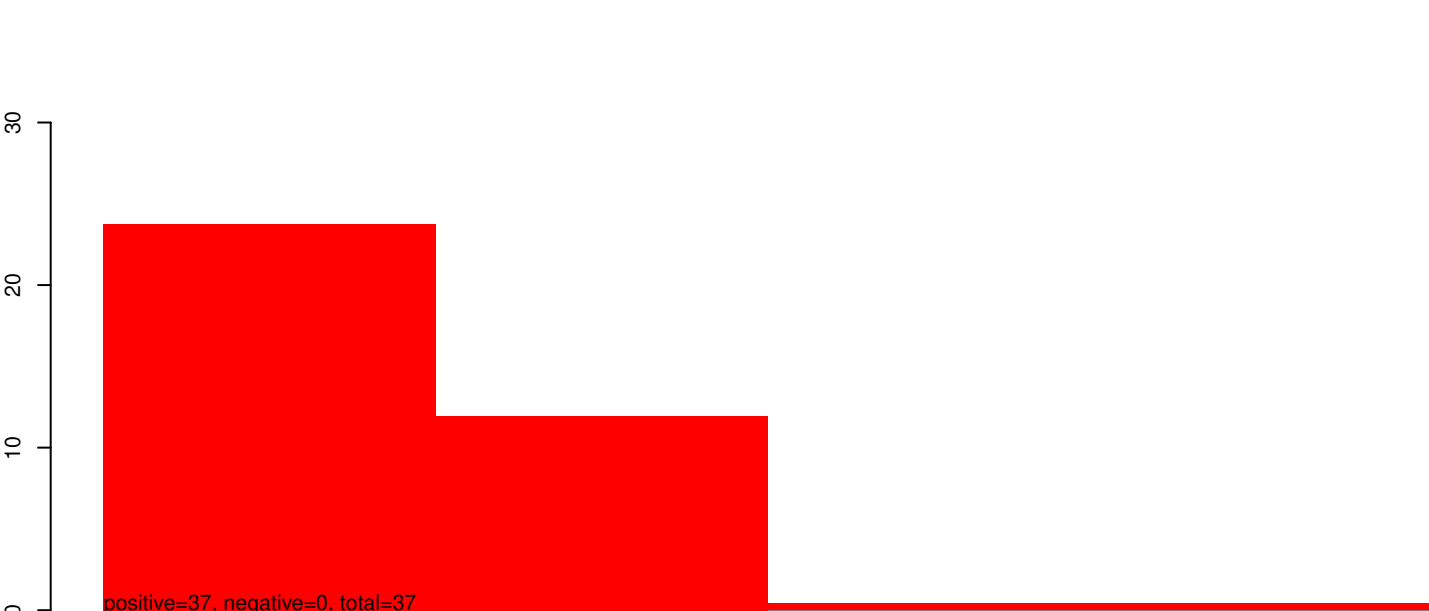
40 60 80 100 120

AAEL016067-RA-IRNA-3-243709960-243710041-1-gene-AAEL016067.1-82

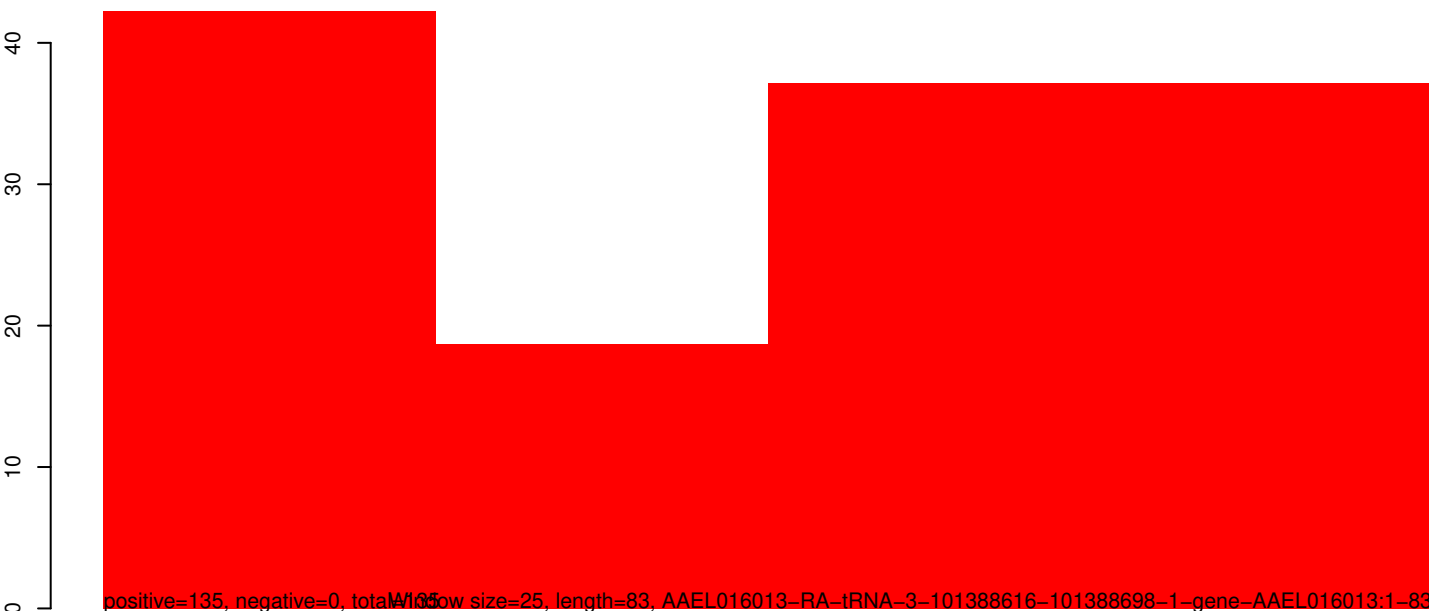
AeAeg_Whole_ZIKVdr_In3_GP.18_23.rep



AeAeg_Whole_ZIKVdr_In3_GP.24_35.rep



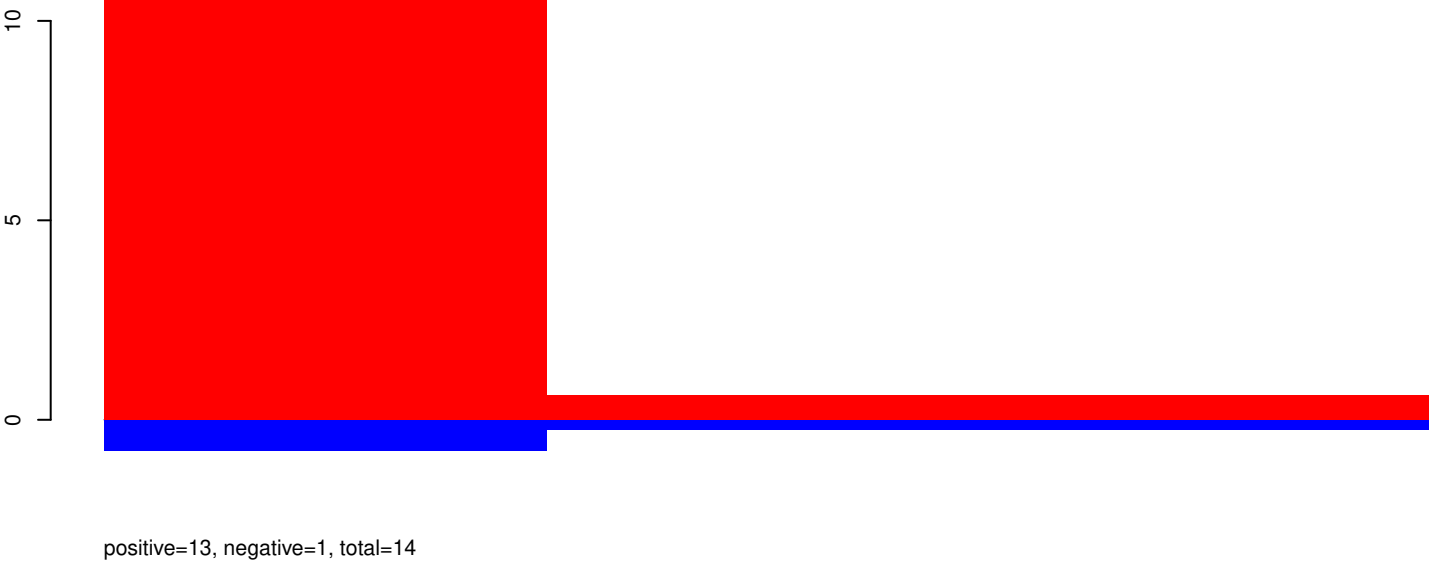
AeAeg_Whole_ZIKVdr_In3_GP.rep



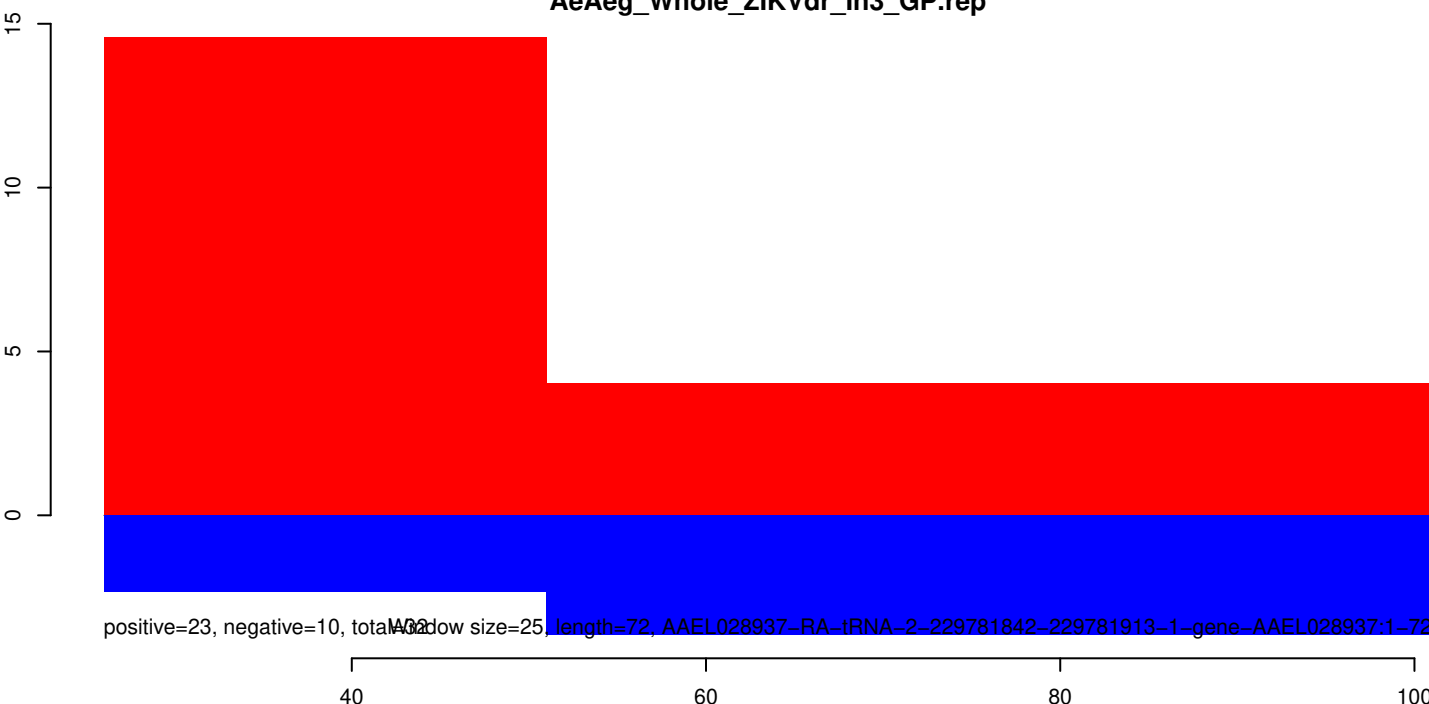
AeAeg_Whole_ZIKVdr_In3_GP.18_23.rep



AeAeg_Whole_ZIKVdr_In3_GP.24_35.rep



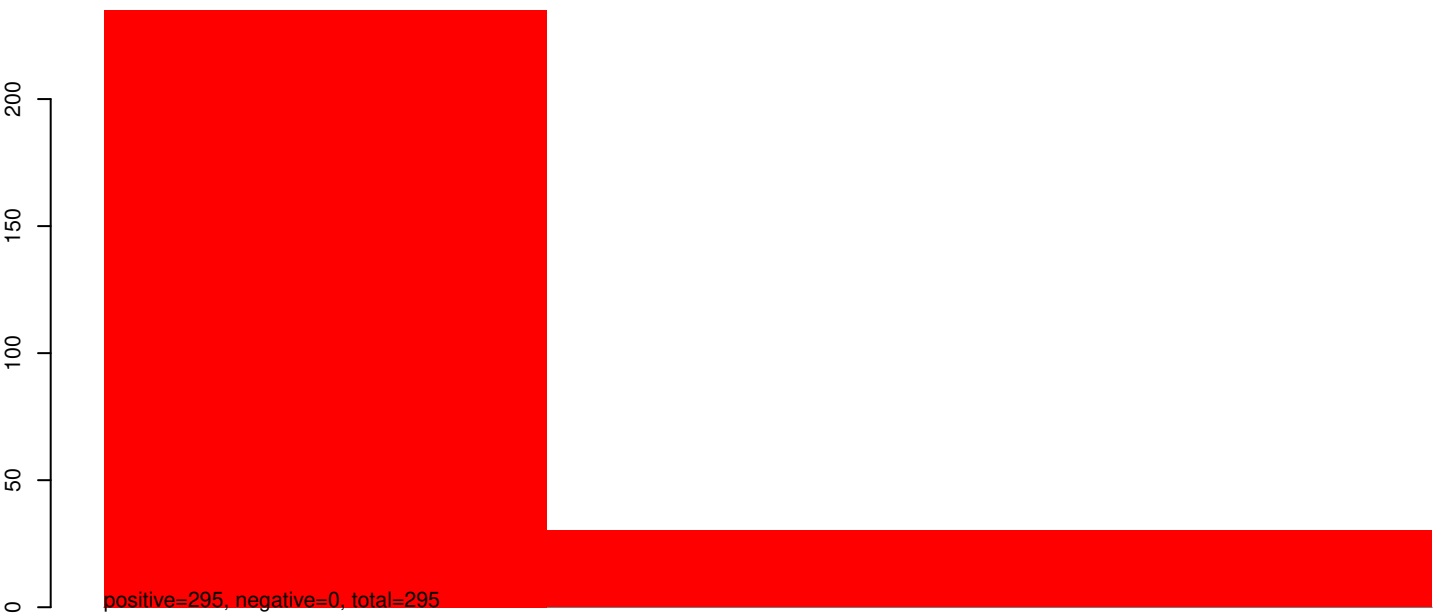
AeAeg_Whole_ZIKVdr_In3_GP.rep



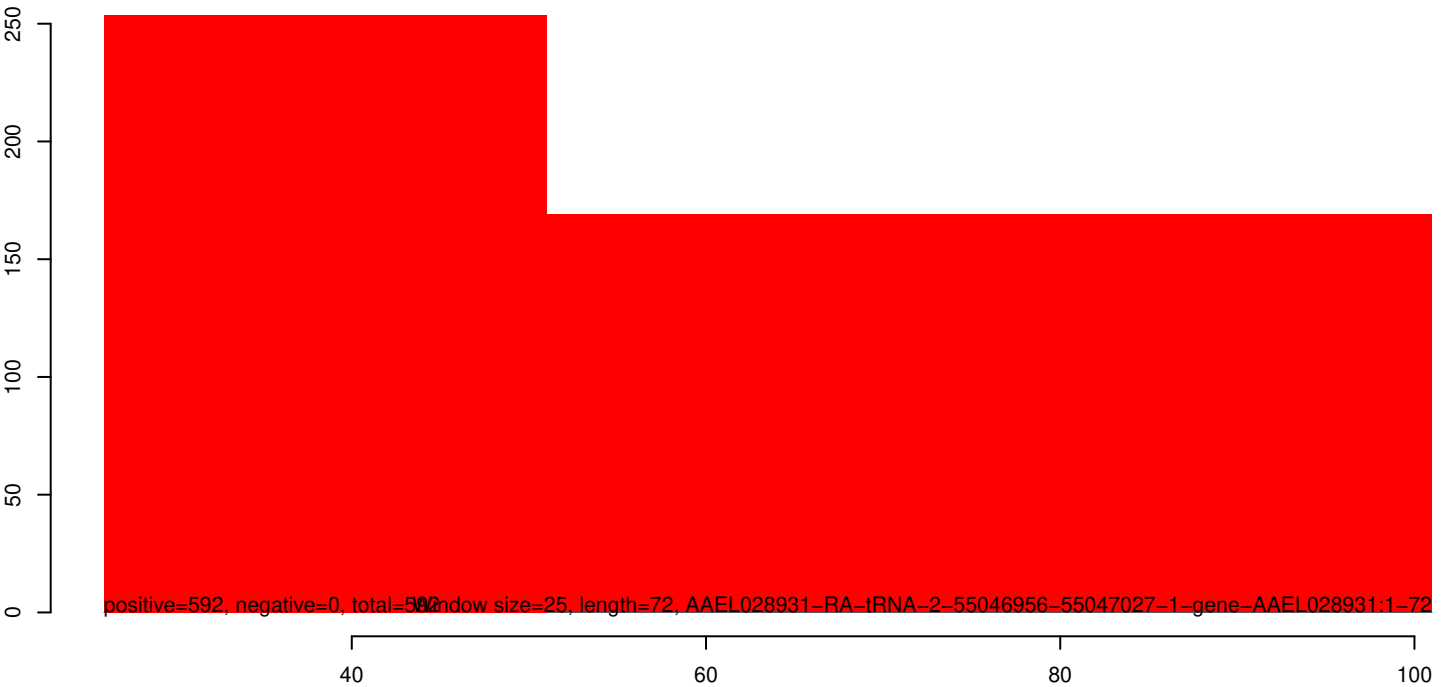
AeAeg_Whole_ZIKVdr_In3_GP.18_23.rep



AeAeg_Whole_ZIKVdr_In3_GP.24_35.rep



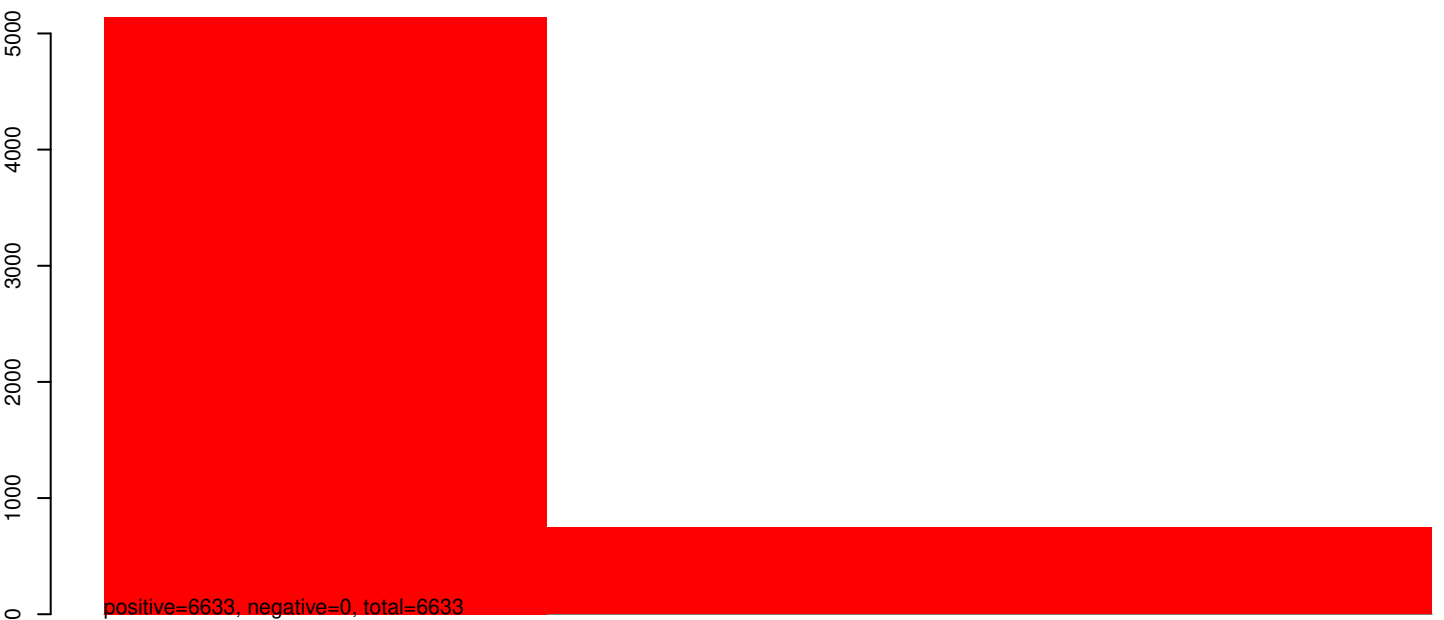
AeAeg_Whole_ZIKVdr_In3_GP.rep



AeAeg_Whole_ZIKVdr_In3_GP.18_23.rep



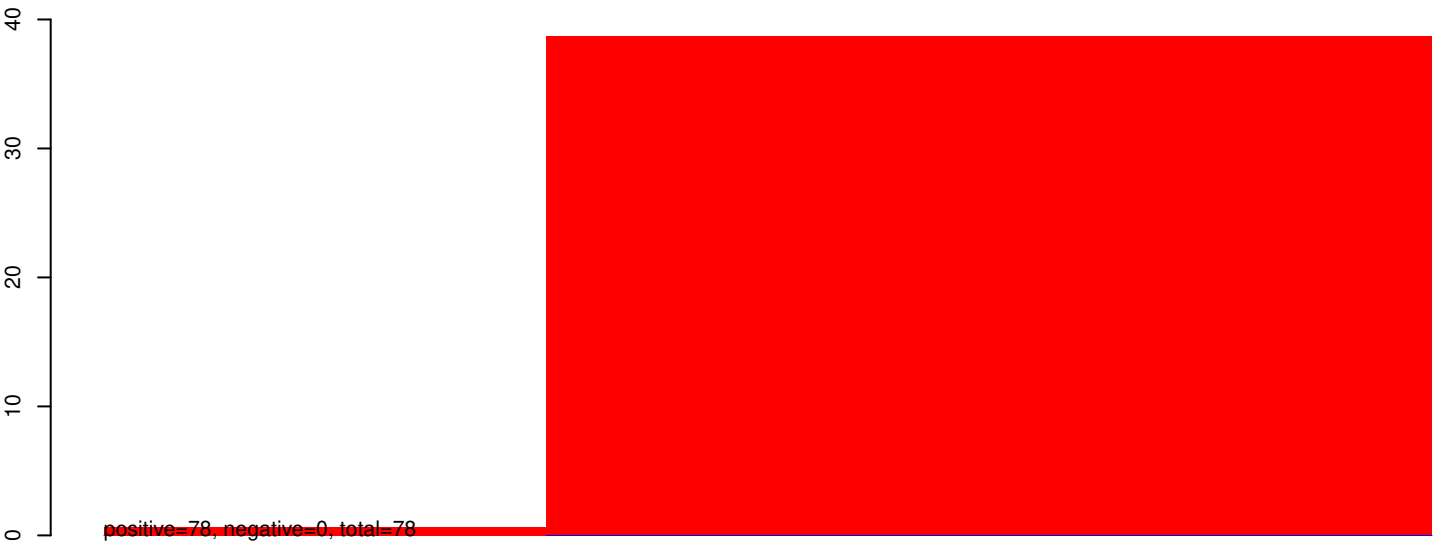
AeAeg_Whole_ZIKVdr_In3_GP.24_35.rep



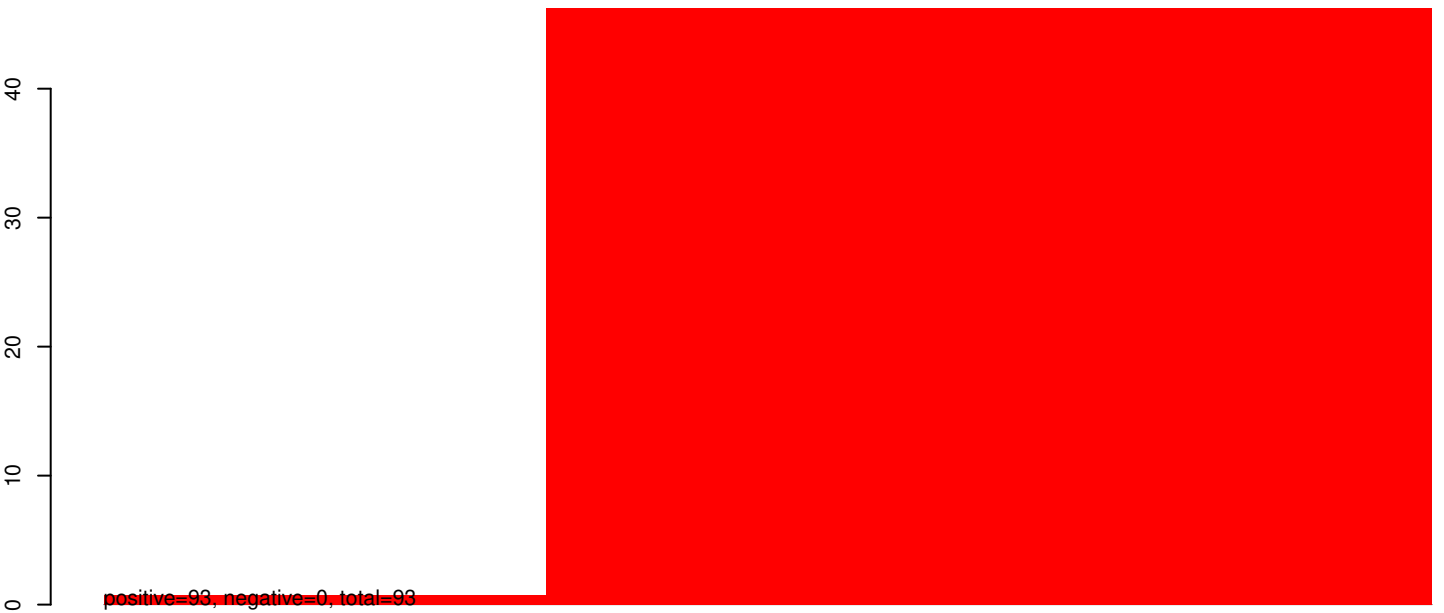
AeAeg_Whole_ZIKVdr_In3_GP.rep



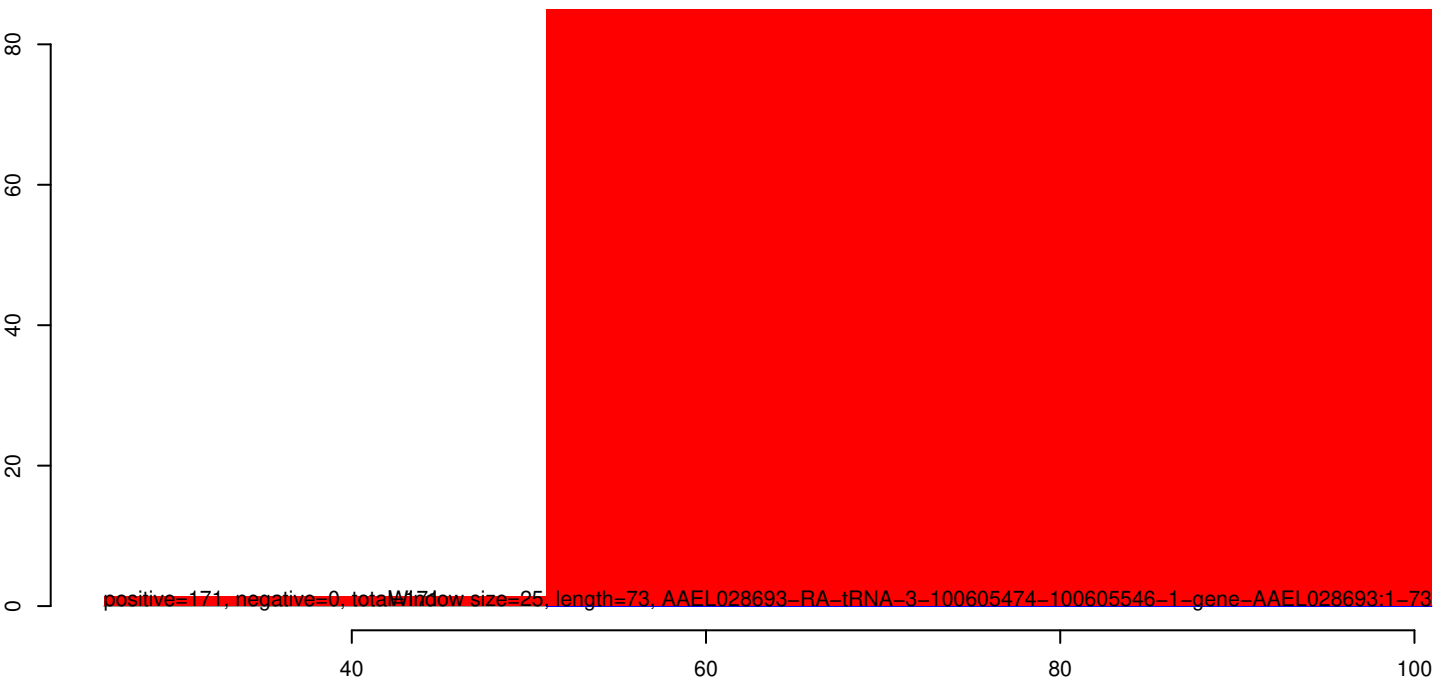
AeAeg_Whole_ZIKVdr_In3_GP.18_23.rep



AeAeg_Whole_ZIKVdr_In3_GP.24_35.rep



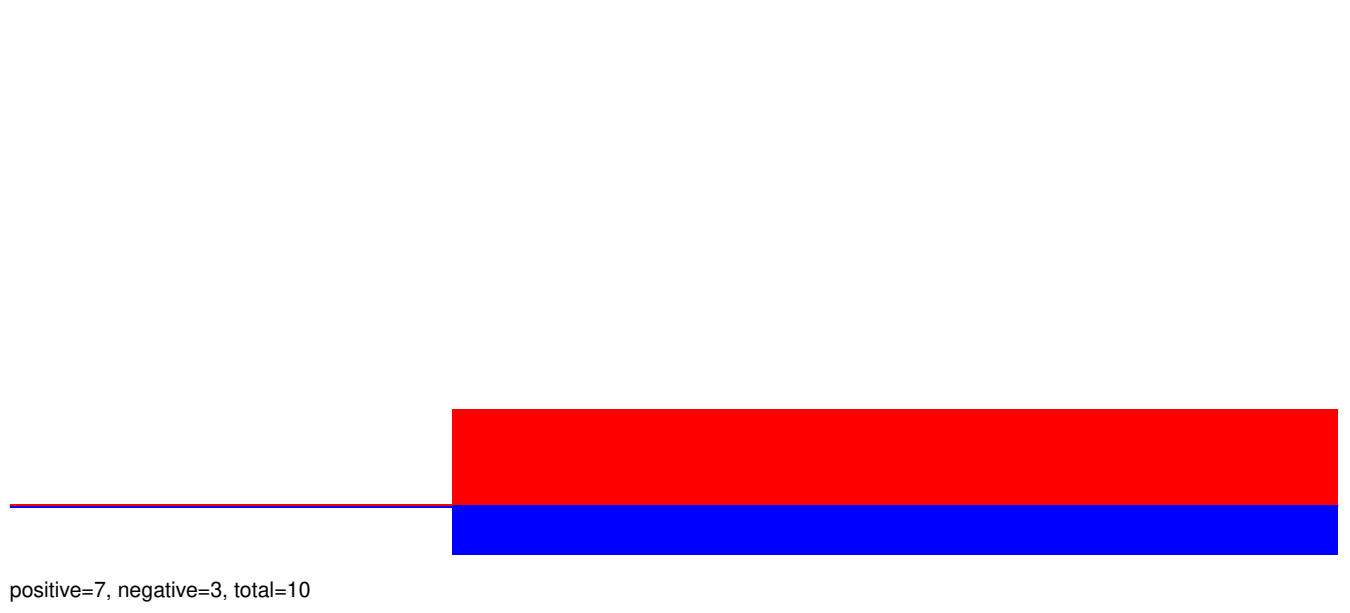
AeAeg_Whole_ZIKVdr_In3_GP.rep



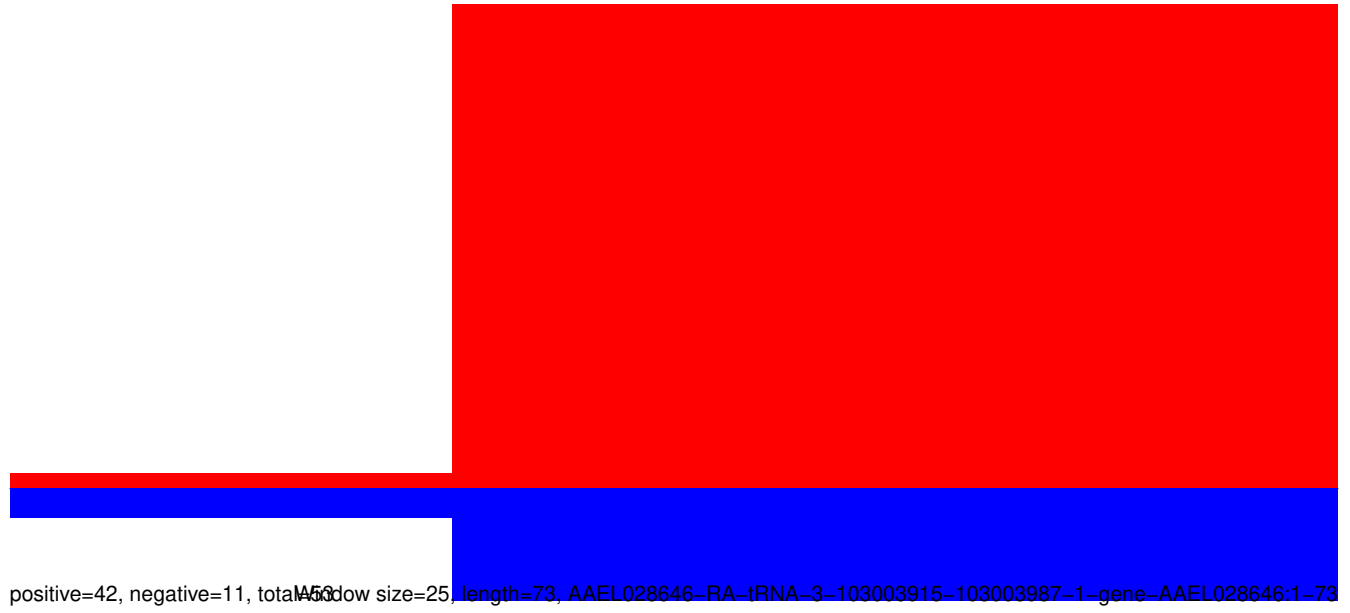
AeAeg_Whole_ZIKVdr_In3_GP.18_23.rep



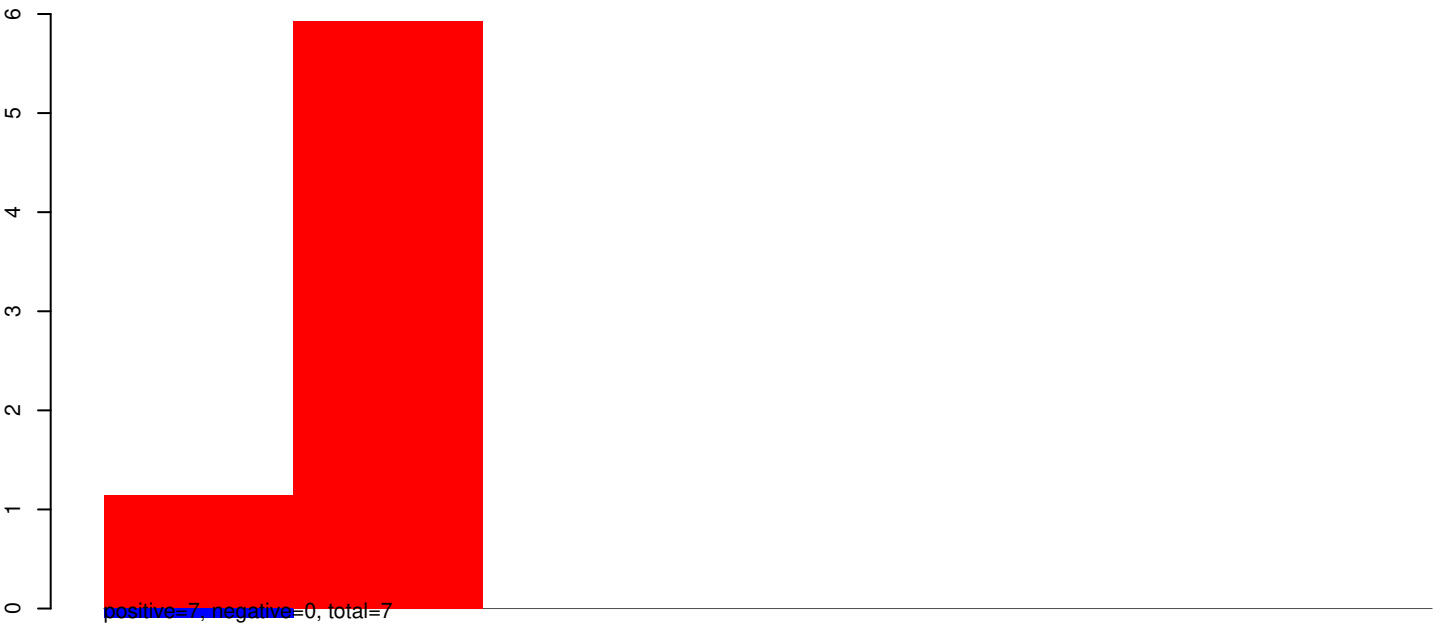
AeAeg_Whole_ZIKVdr_In3_GP.24_35.rep



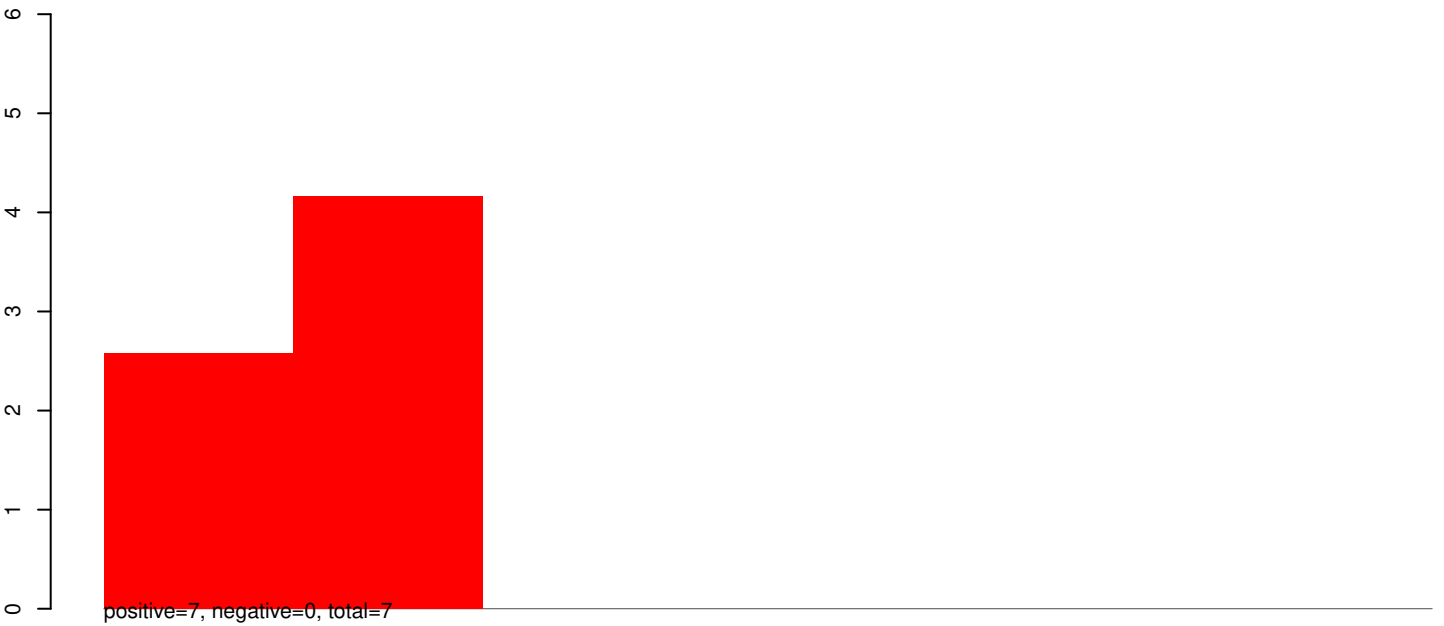
AeAeg_Whole_ZIKVdr_In3_GP.rep



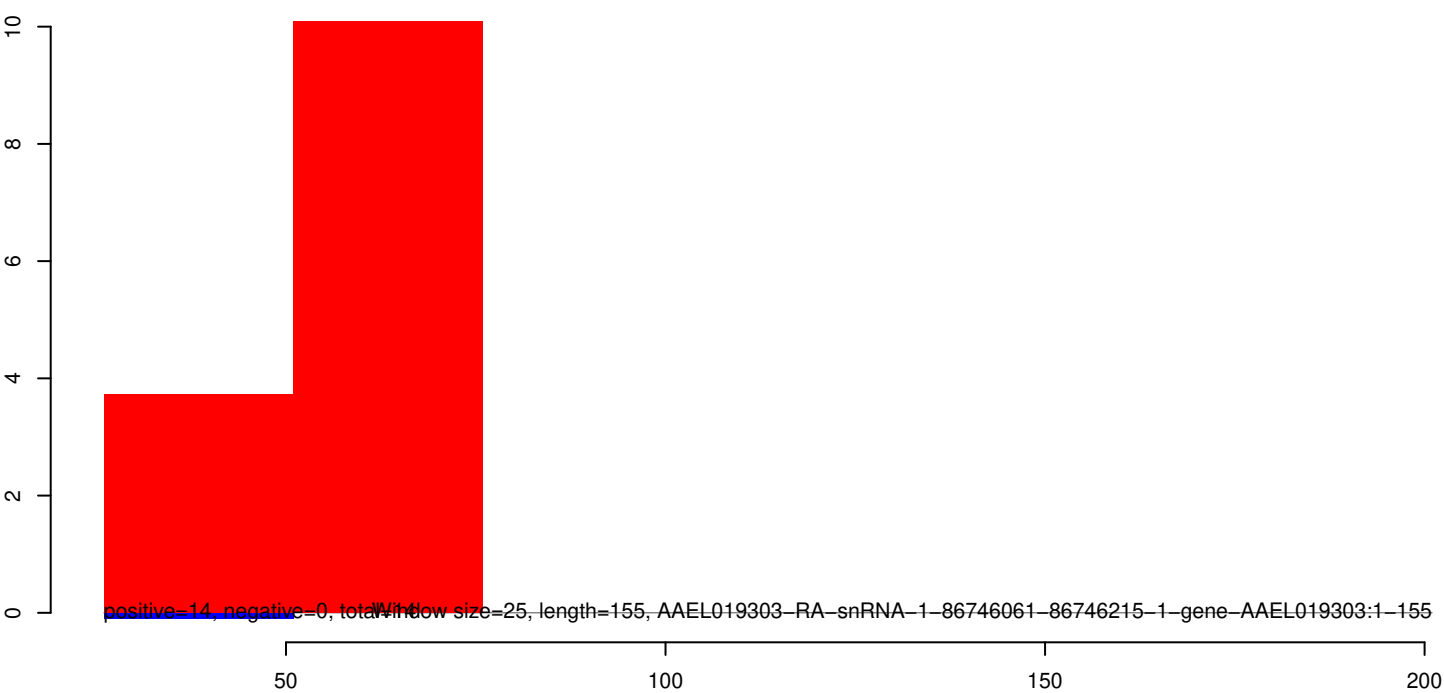
AeAeg_Whole_ZIKVdr_In3_GP.18_23.rep



AeAeg_Whole_ZIKVdr_In3_GP.24_35.rep



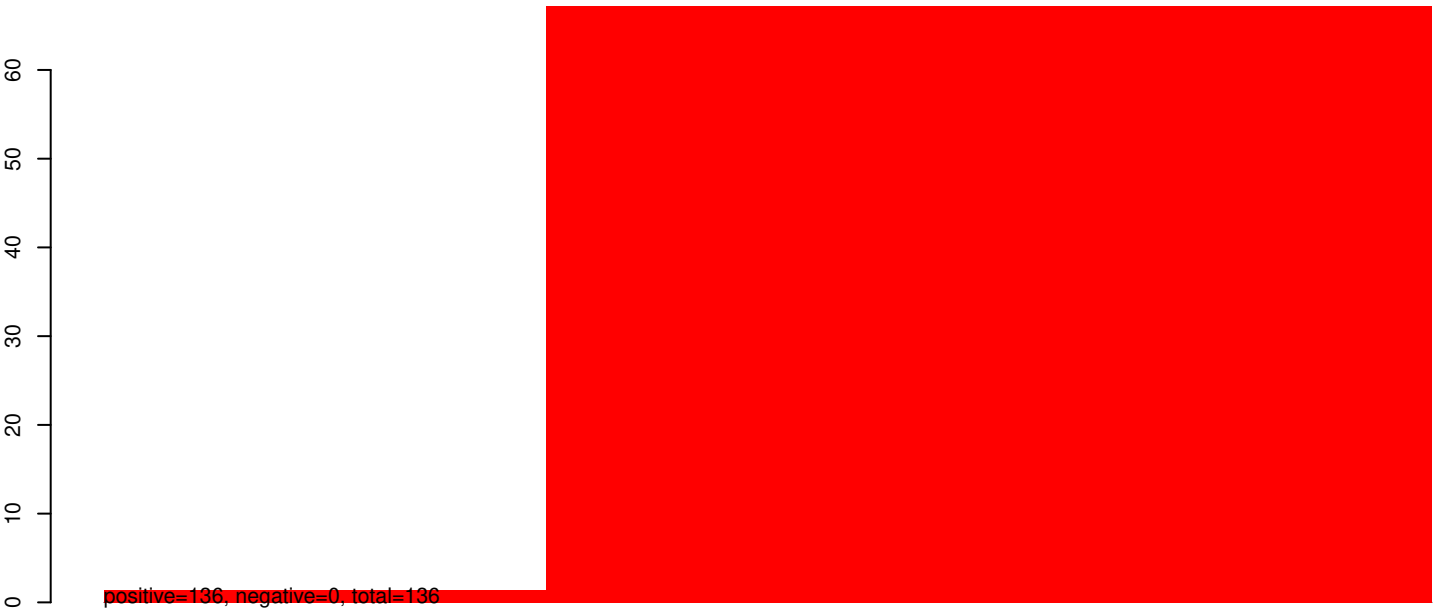
AeAeg_Whole_ZIKVdr_In3_GP.rep



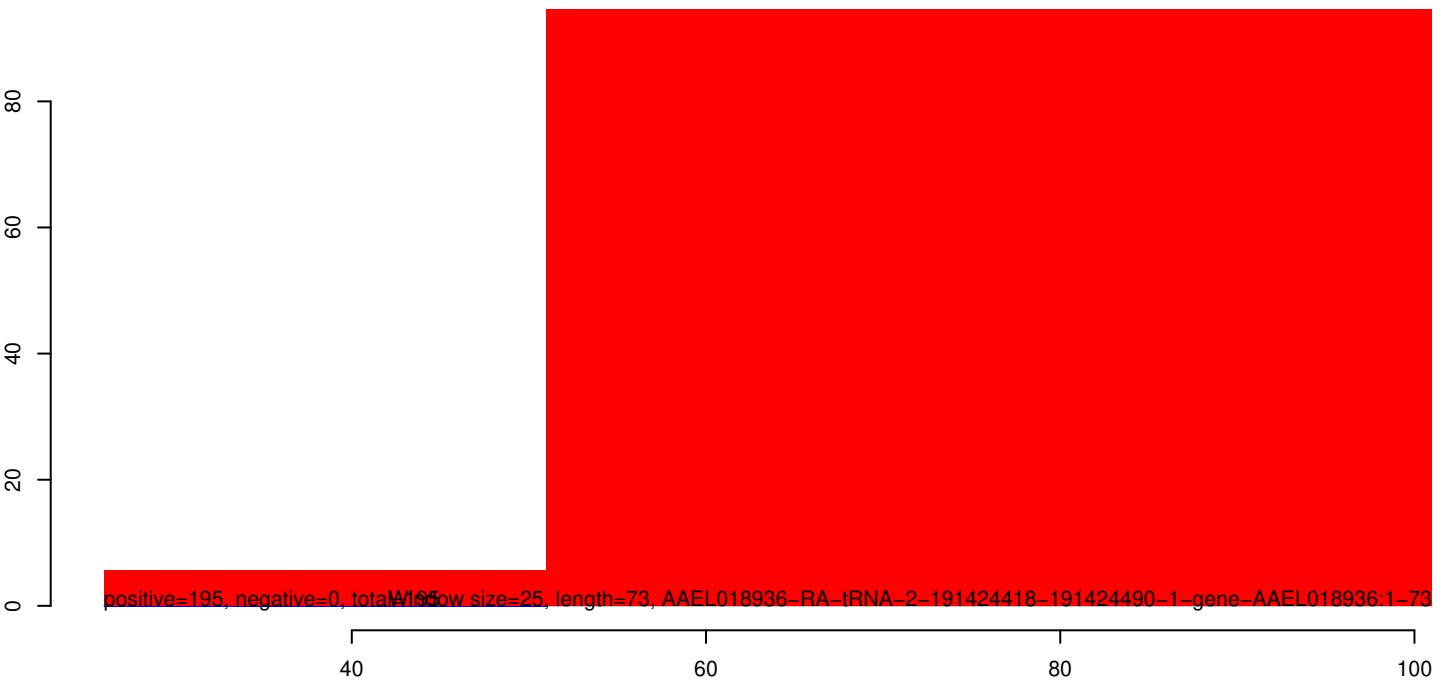
AeAeg_Whole_ZIKVdr_In3_GP.18_23.rep



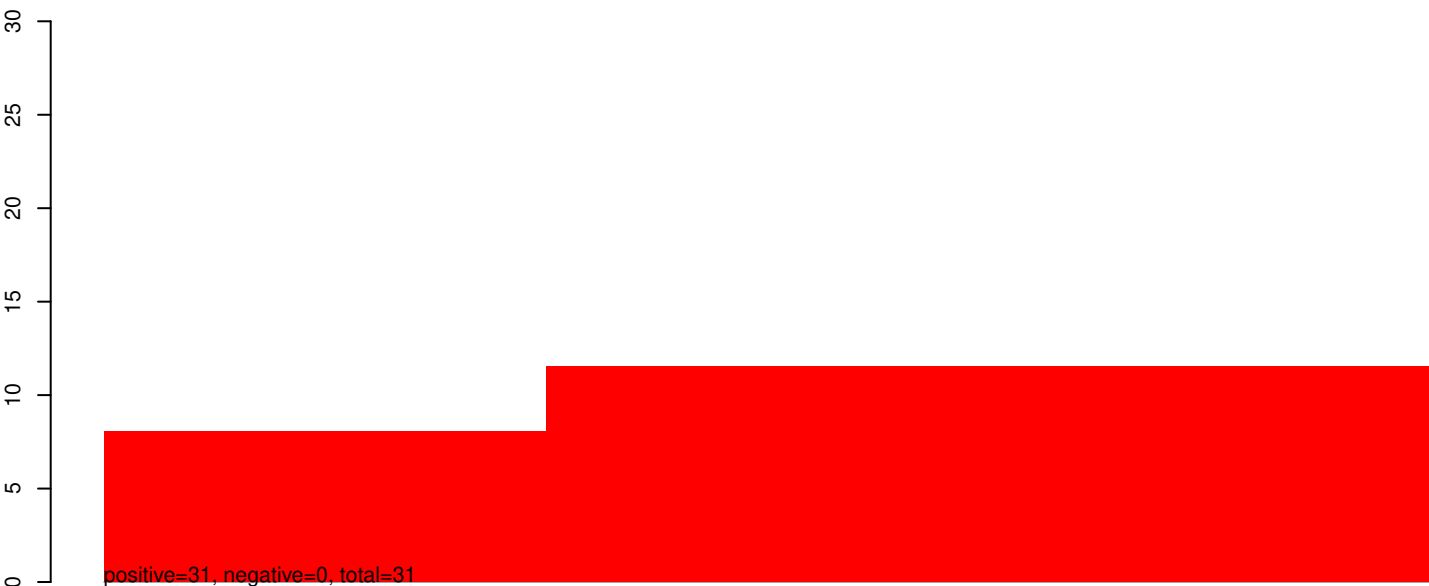
AeAeg_Whole_ZIKVdr_In3_GP.24_35.rep



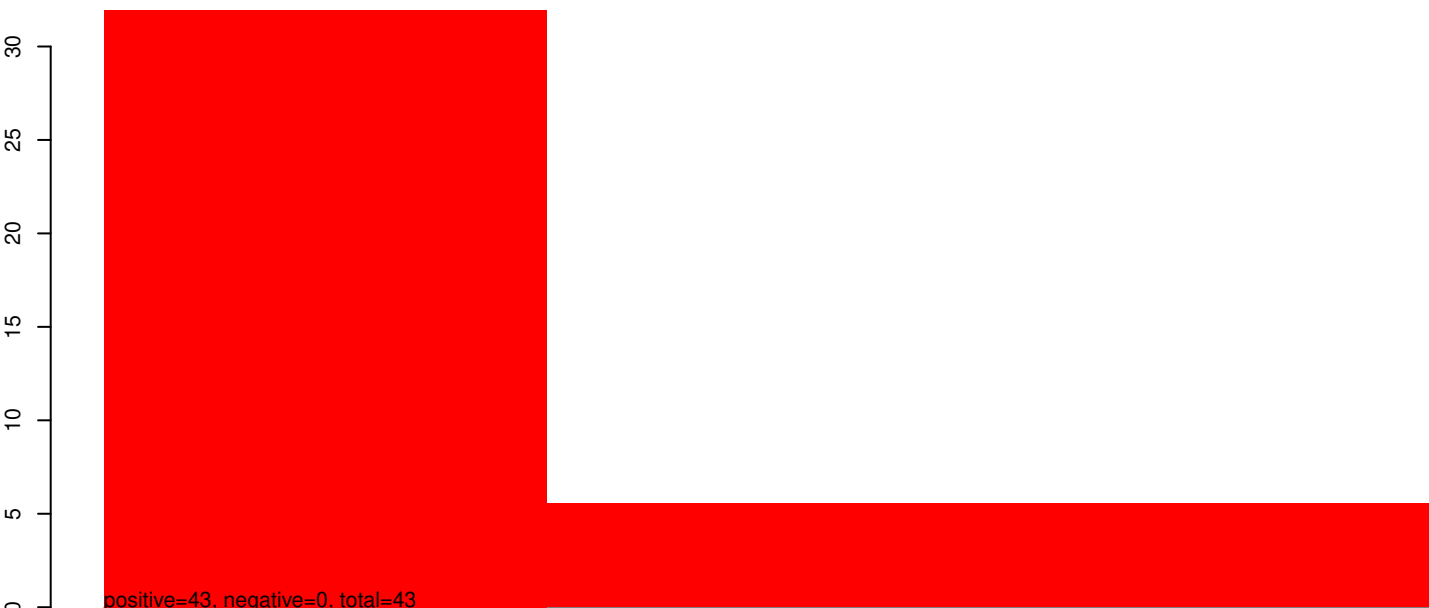
AeAeg_Whole_ZIKVdr_In3_GP.rep



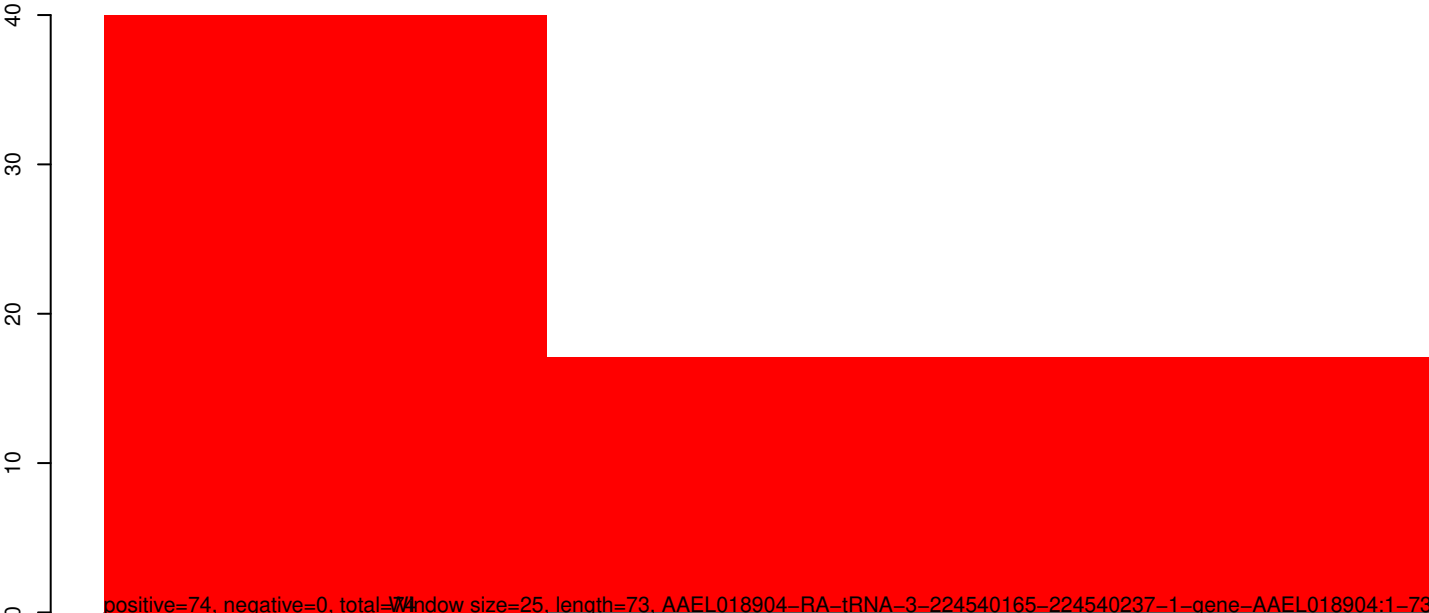
AeAeg_Whole_ZIKVdr_In3_GP.18_23.rep



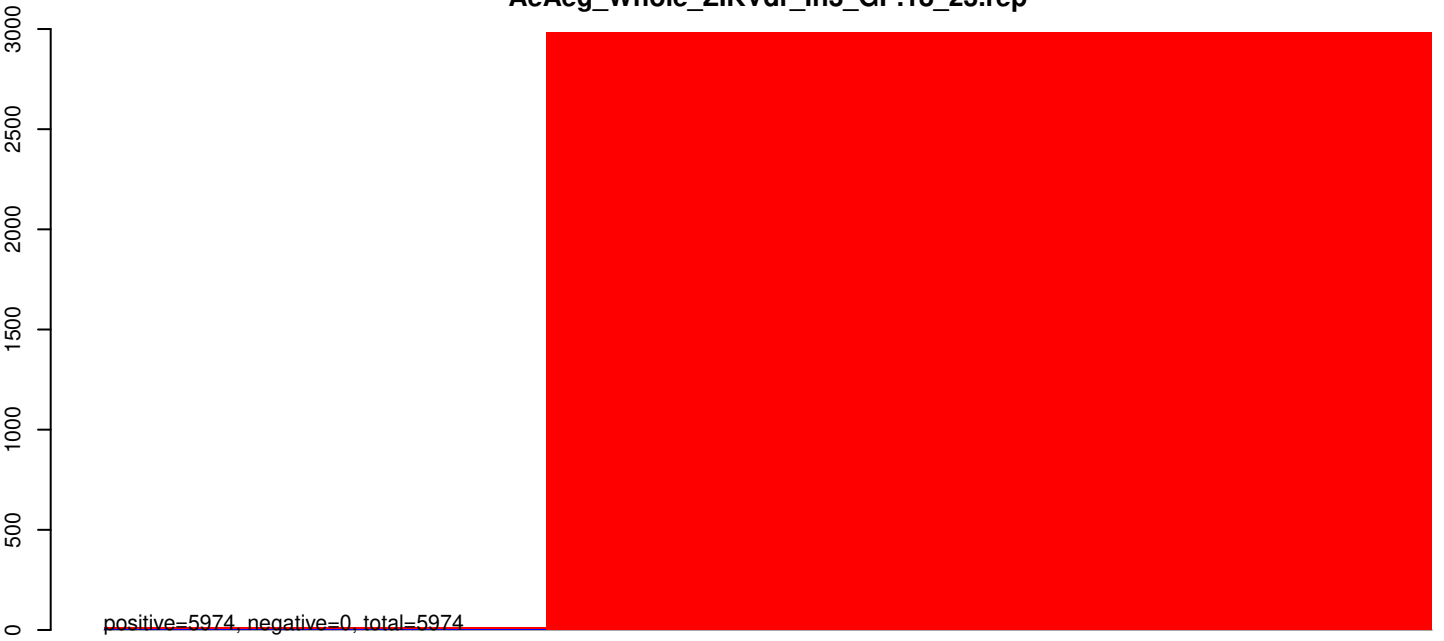
AeAeg_Whole_ZIKVdr_In3_GP.24_35.rep



AeAeg_Whole_ZIKVdr_In3_GP.rep

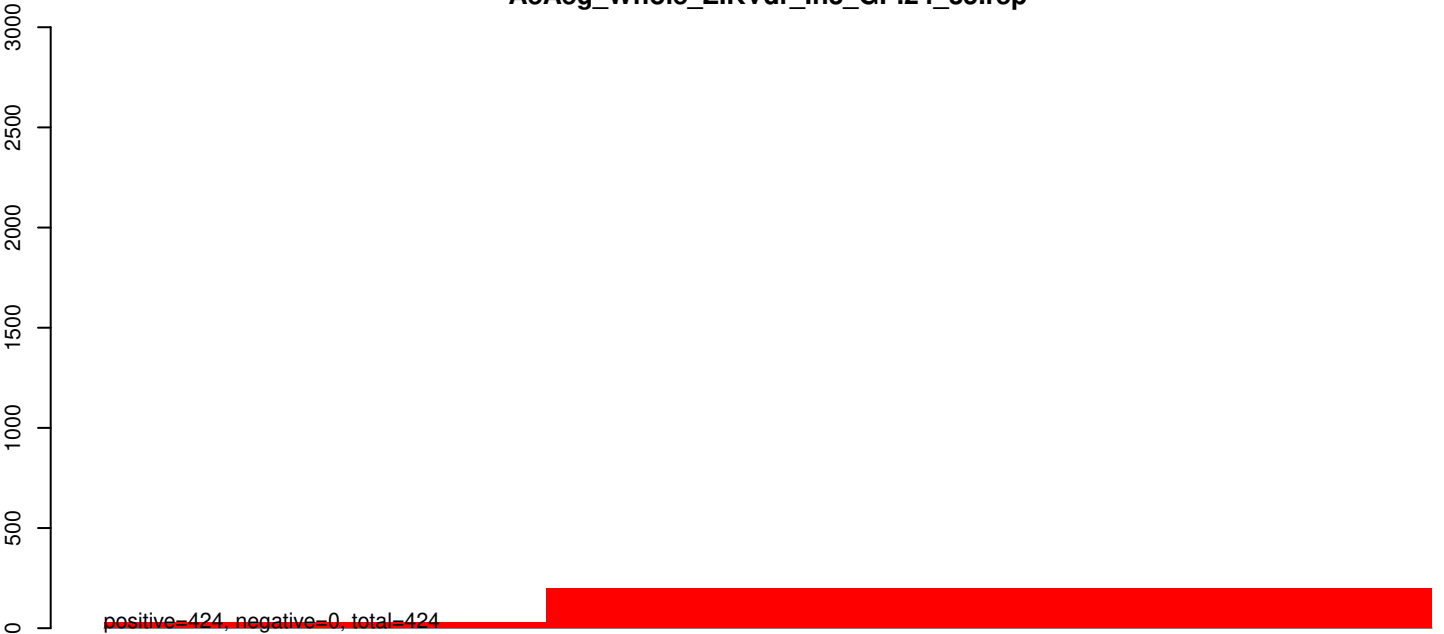


AeAeg_Whole_ZIKVdr_In3_GP.18_23.rep



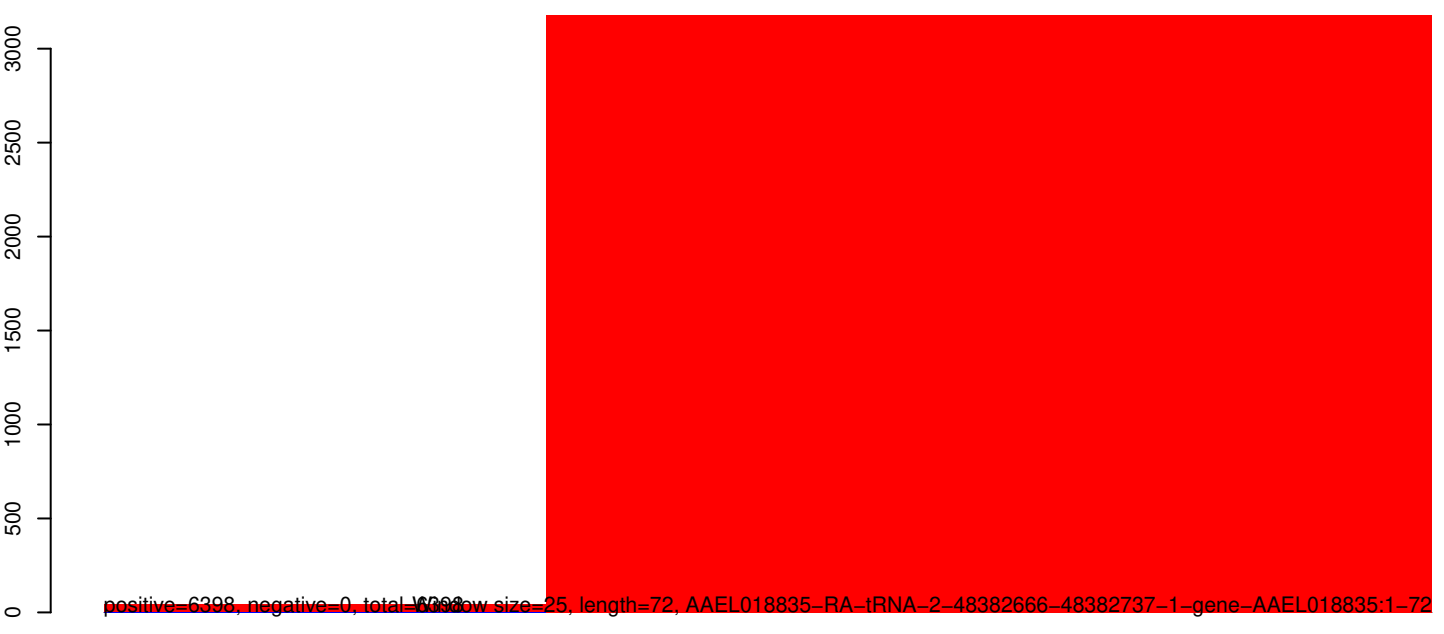
positive=5974, negative=0, total=5974

AeAeg_Whole_ZIKVdr_In3_GP.24_35.rep



positive=424, negative=0, total=424

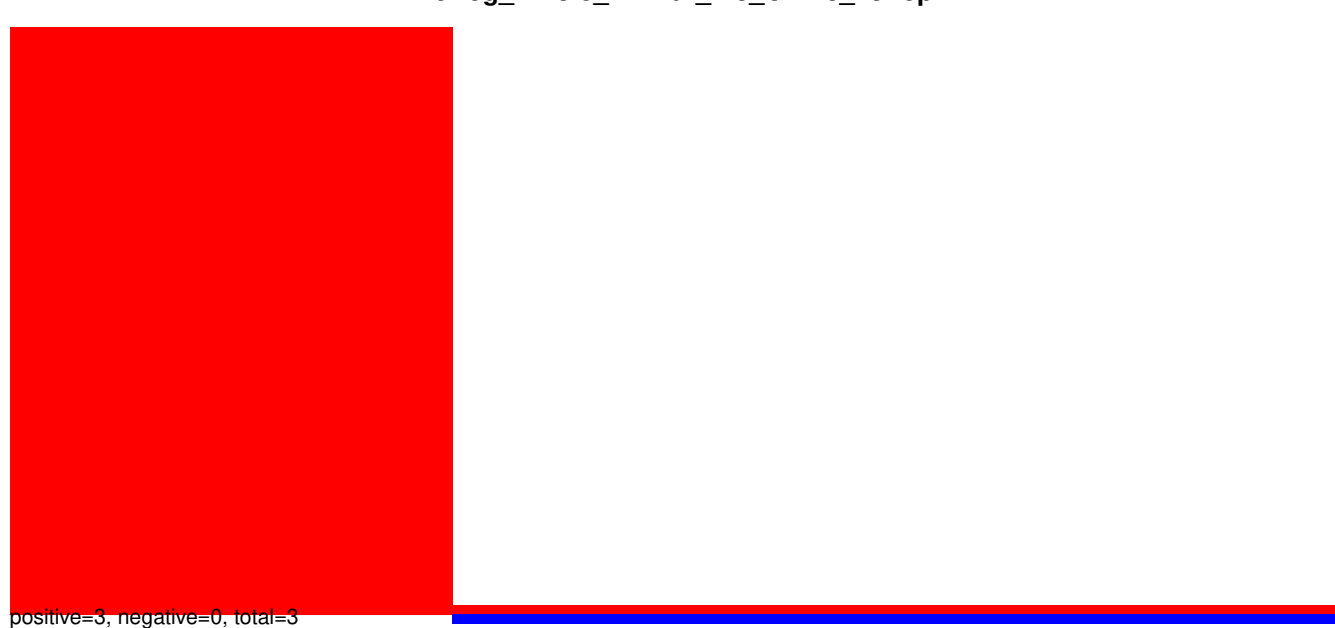
AeAeg_Whole_ZIKVdr_In3_GP.rep



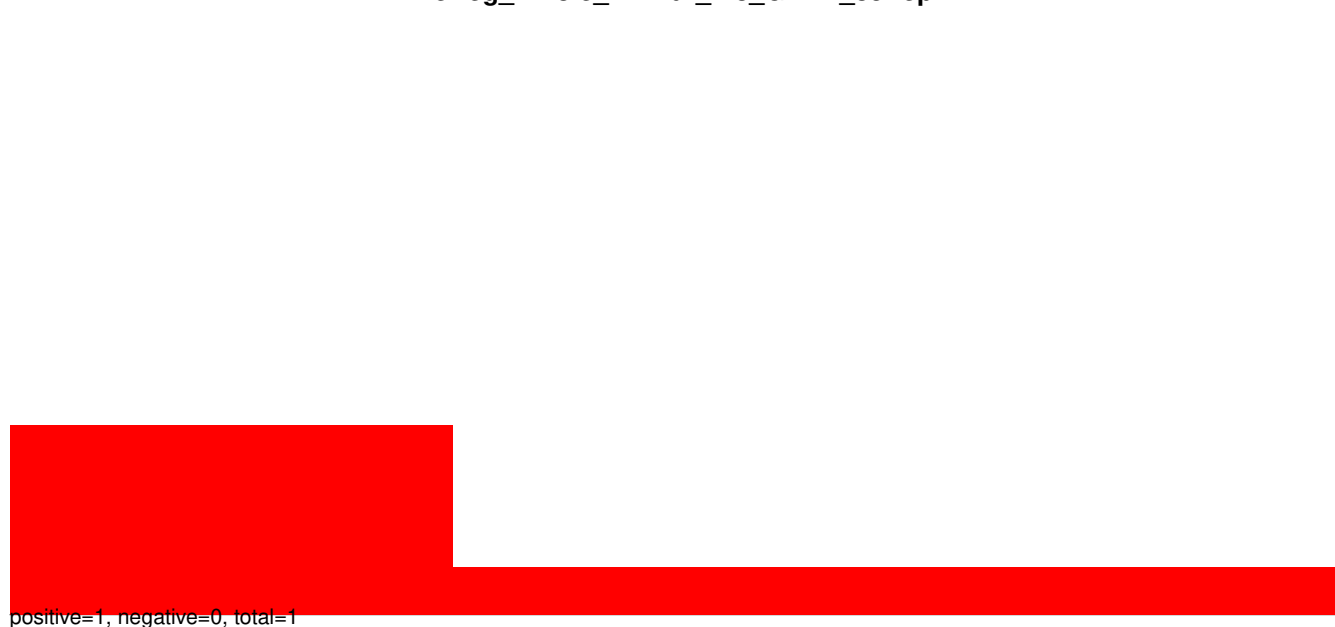
positive=6398, negative=0, total=6398, flow size=25, length=72, AAEL018835-RA-tRNA-2-48382666-48382737-1-gene-AAEL018835:1-72

40 60 80 100

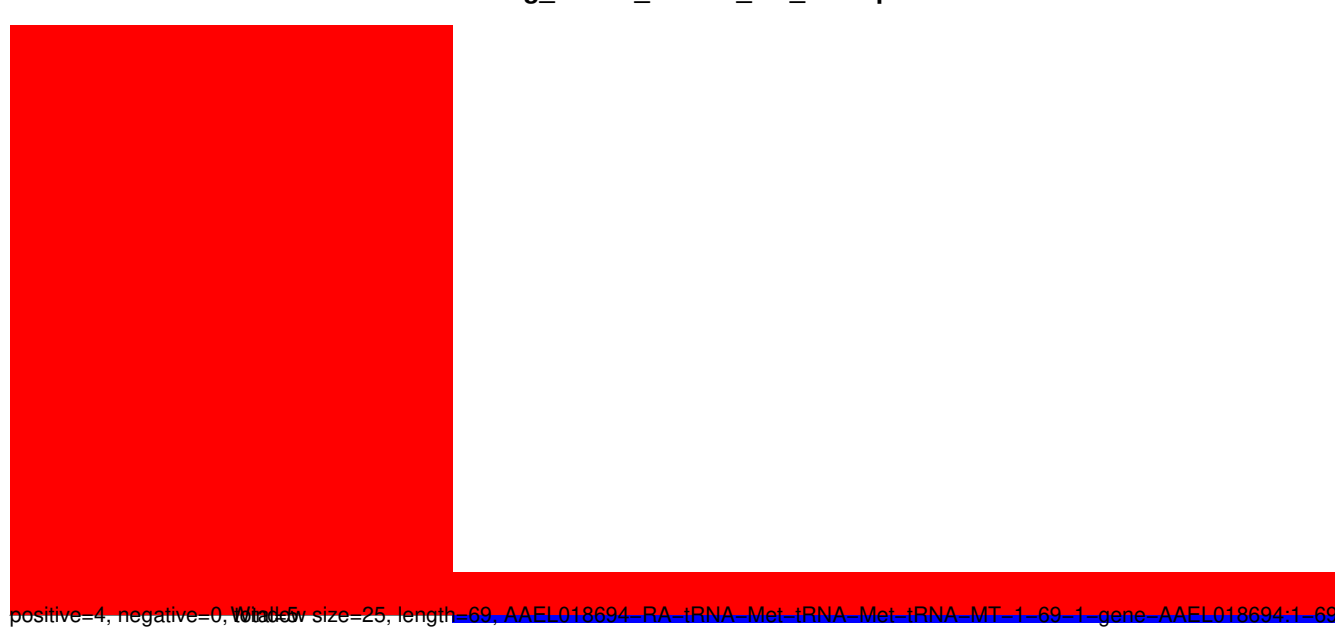
AeAeg_Whole_ZIKVdr_In3_GP.18_23.rep



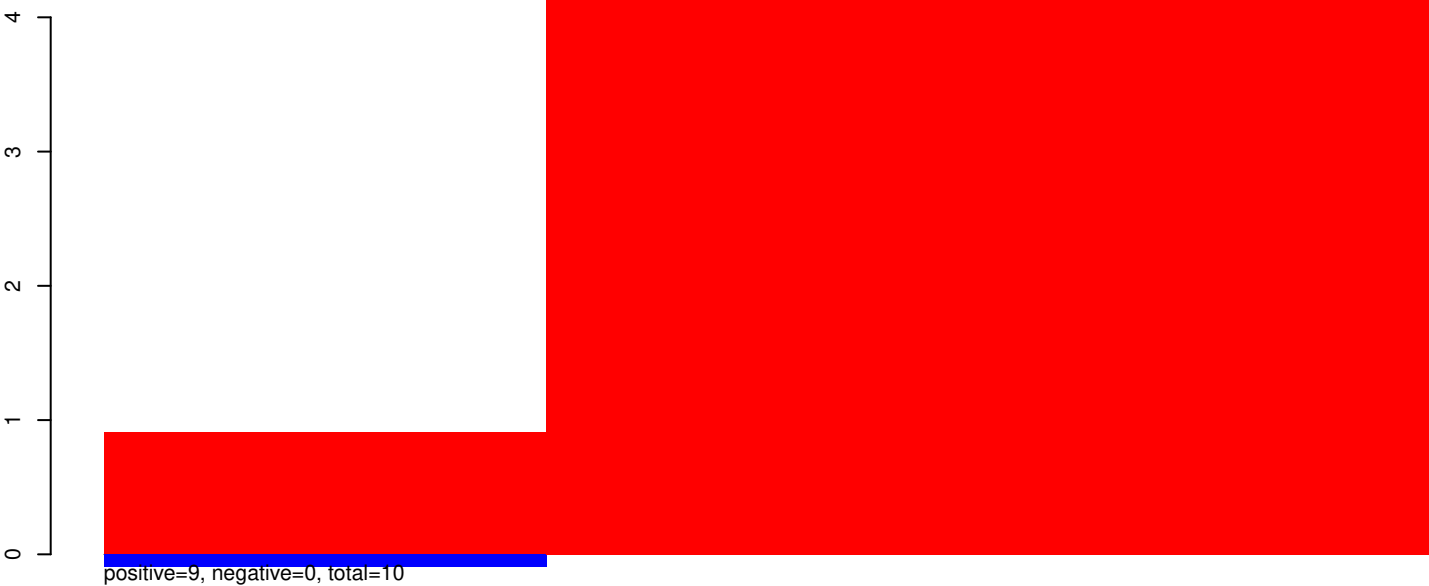
AeAeg_Whole_ZIKVdr_In3_GP.24_35.rep



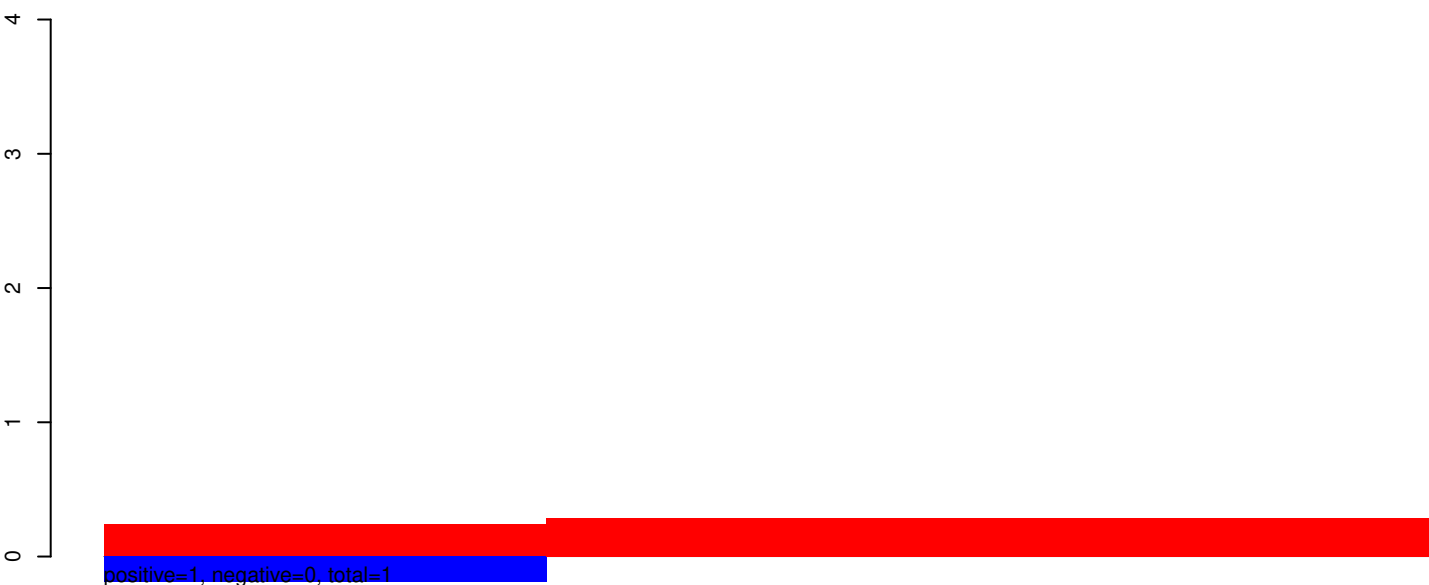
AeAeg_Whole_ZIKVdr_In3_GP.rep



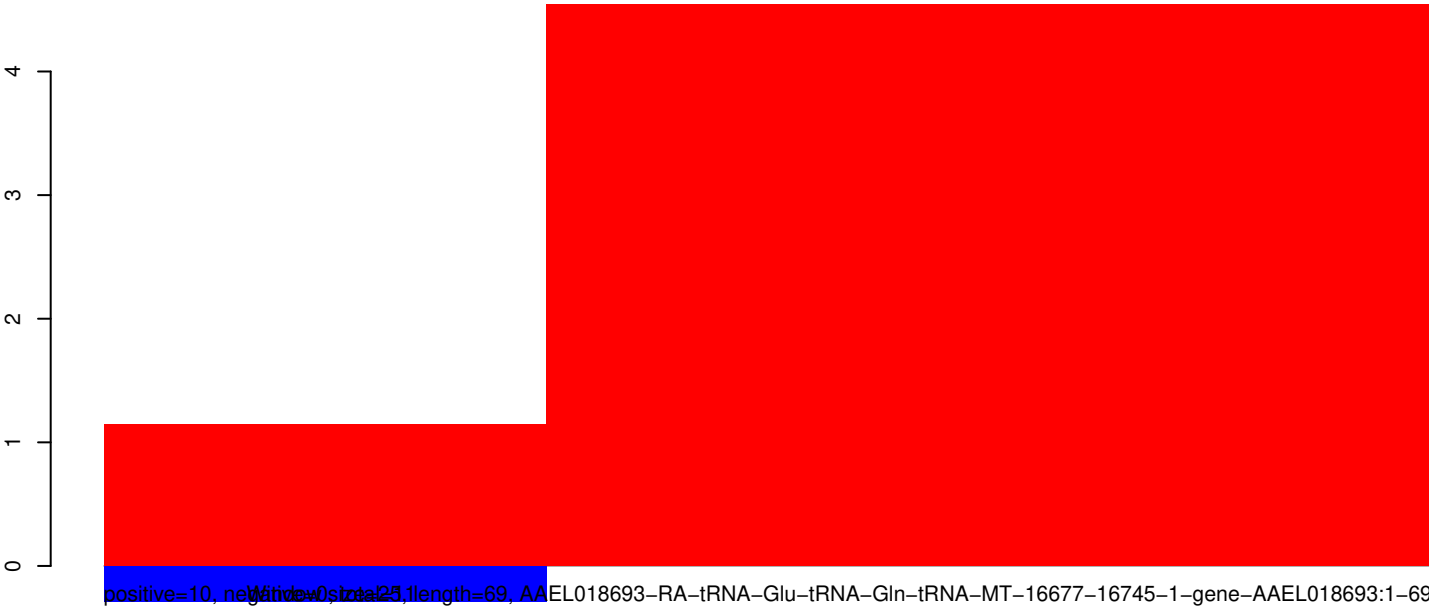
AeAeg_Whole_ZIKVdr_In3_GP.18_23.rep



AeAeg_Whole_ZIKVdr_In3_GP.24_35.rep



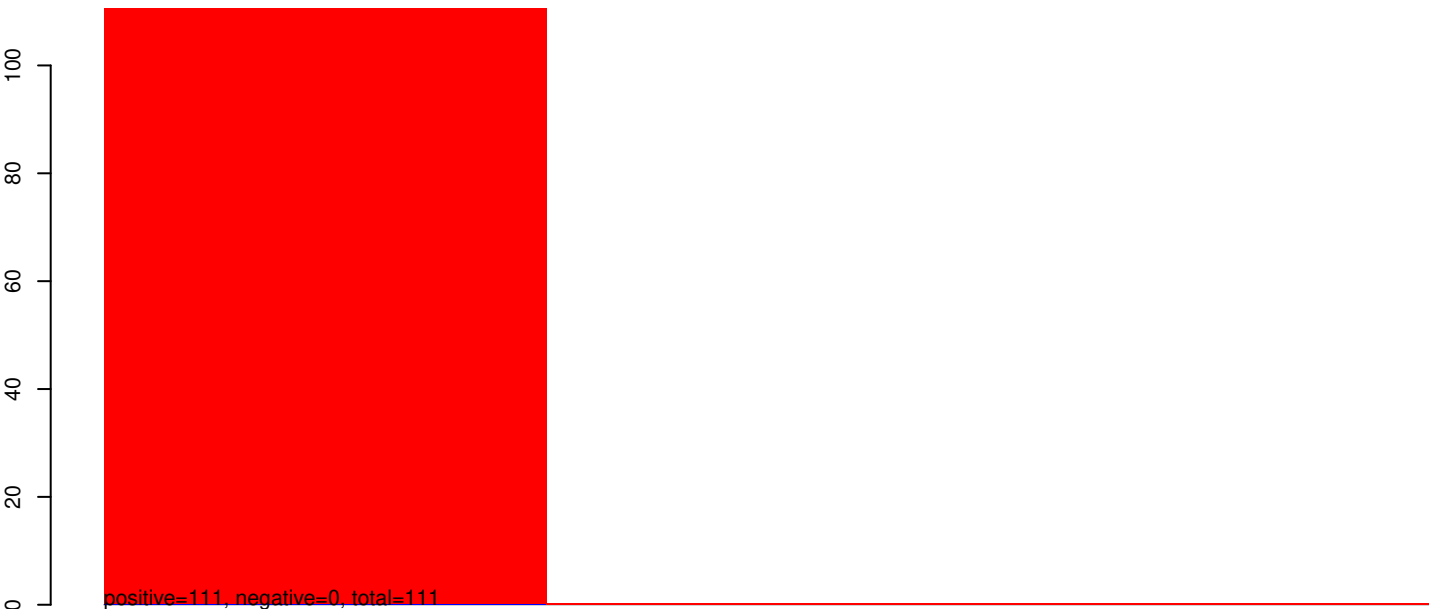
AeAeg_Whole_ZIKVdr_In3_GP.rep



AAEL018693-RA-tRNA-Glu-tRNA-Gln-tRNA-MT-16677-16745-1-gene-AAEL018693:1-69

40 60 80 100

AeAeg_Whole_ZIKVdr_In3_GP.18_23.rep



AeAeg_Whole_ZIKVdr_In3_GP.24_35.rep



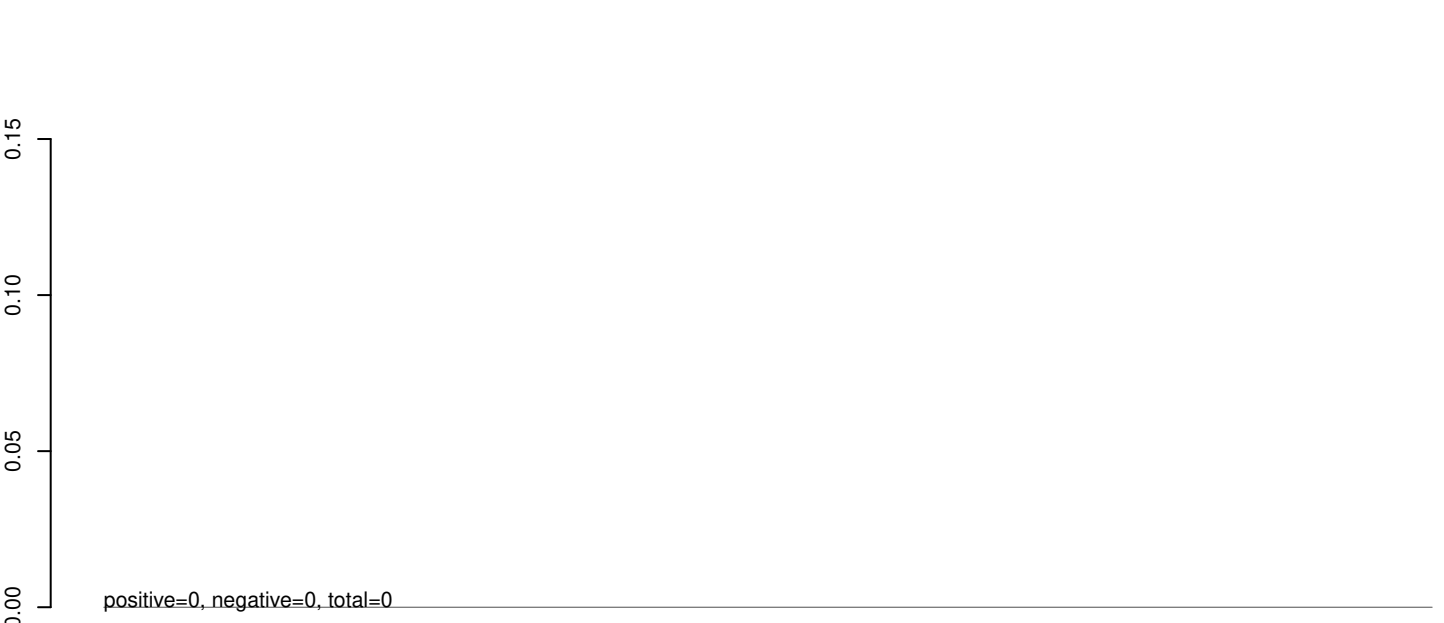
AeAeg_Whole_ZIKVdr_In3_GP.rep



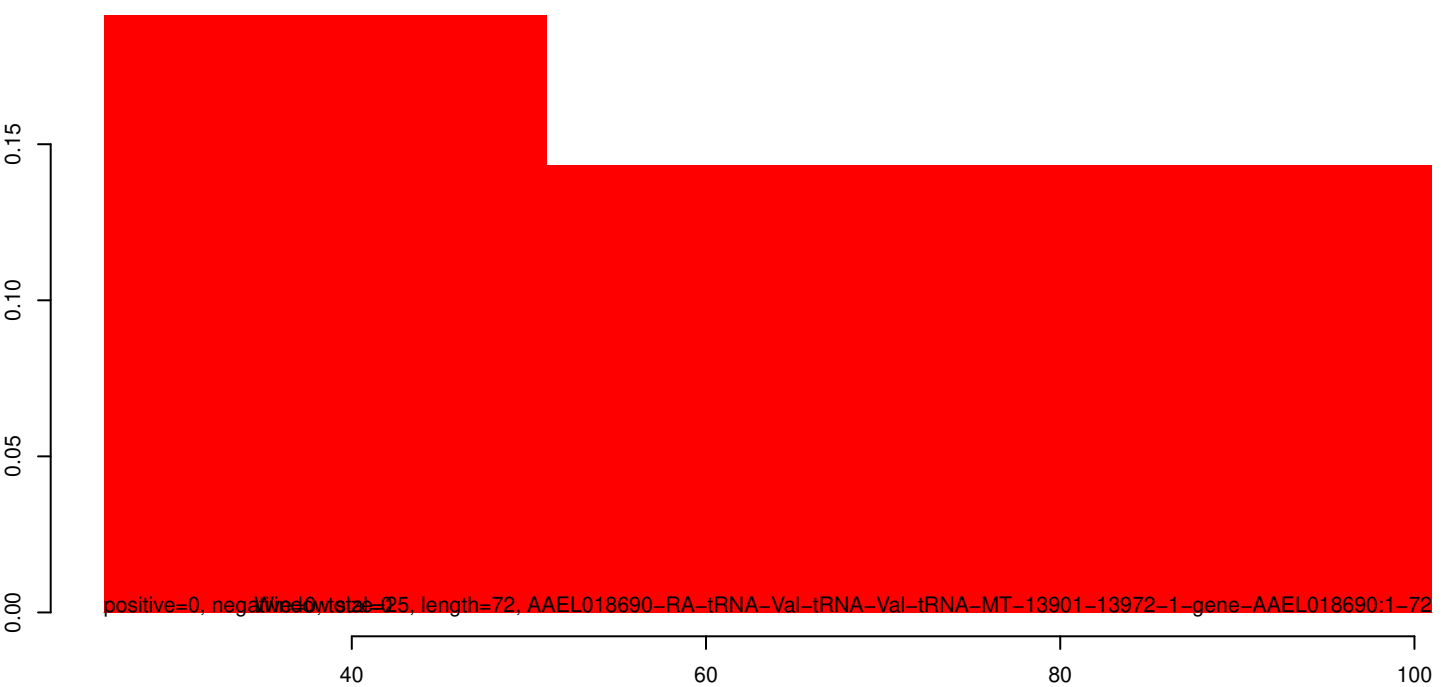
AeAeg_Whole_ZIKVdr_In3_GP.18_23.rep



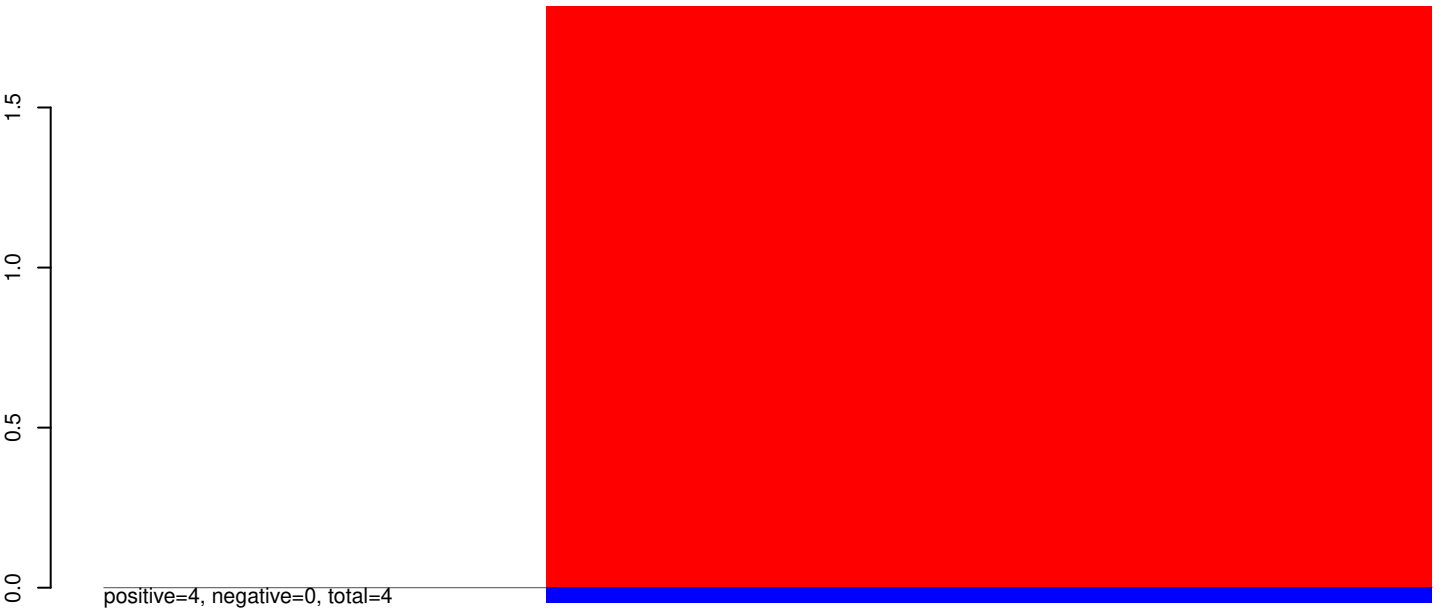
AeAeg_Whole_ZIKVdr_In3_GP.24_35.rep



AeAeg_Whole_ZIKVdr_In3_GP.rep



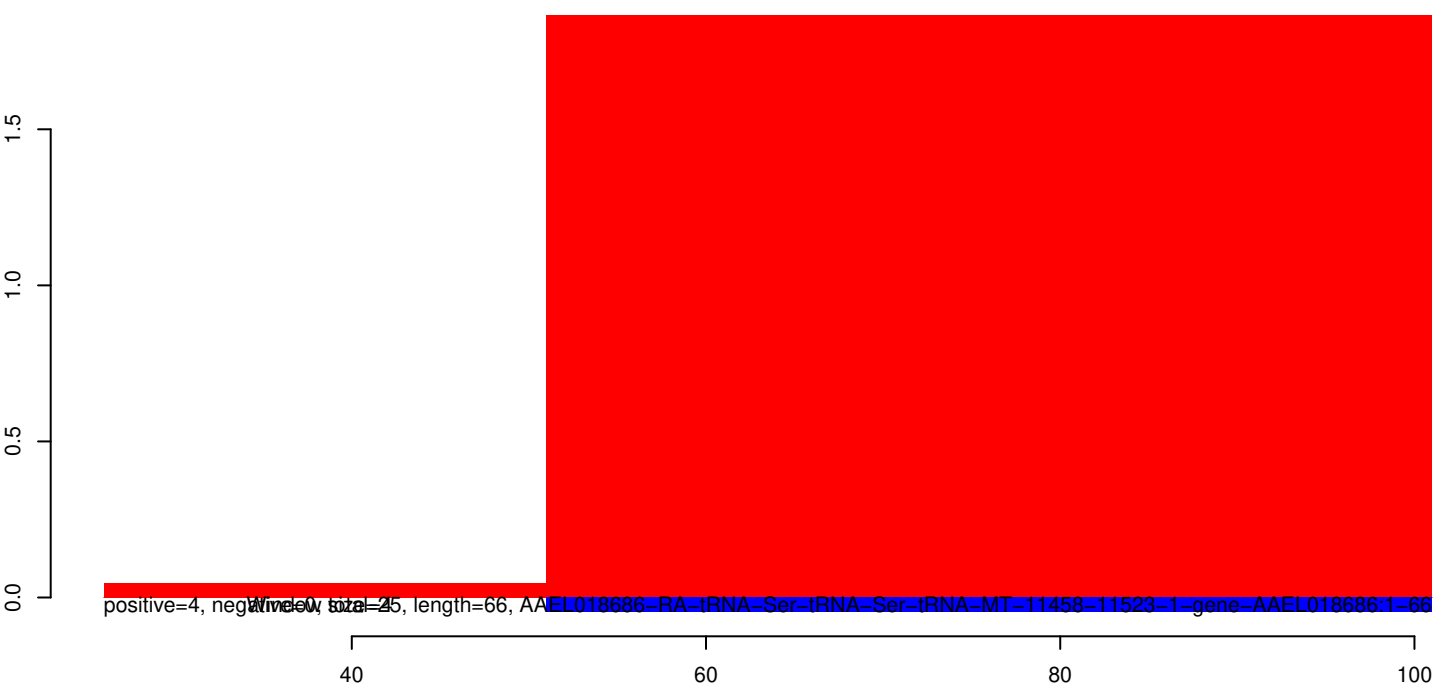
AeAeg_Whole_ZIKVdr_In3_GP.18_23.rep



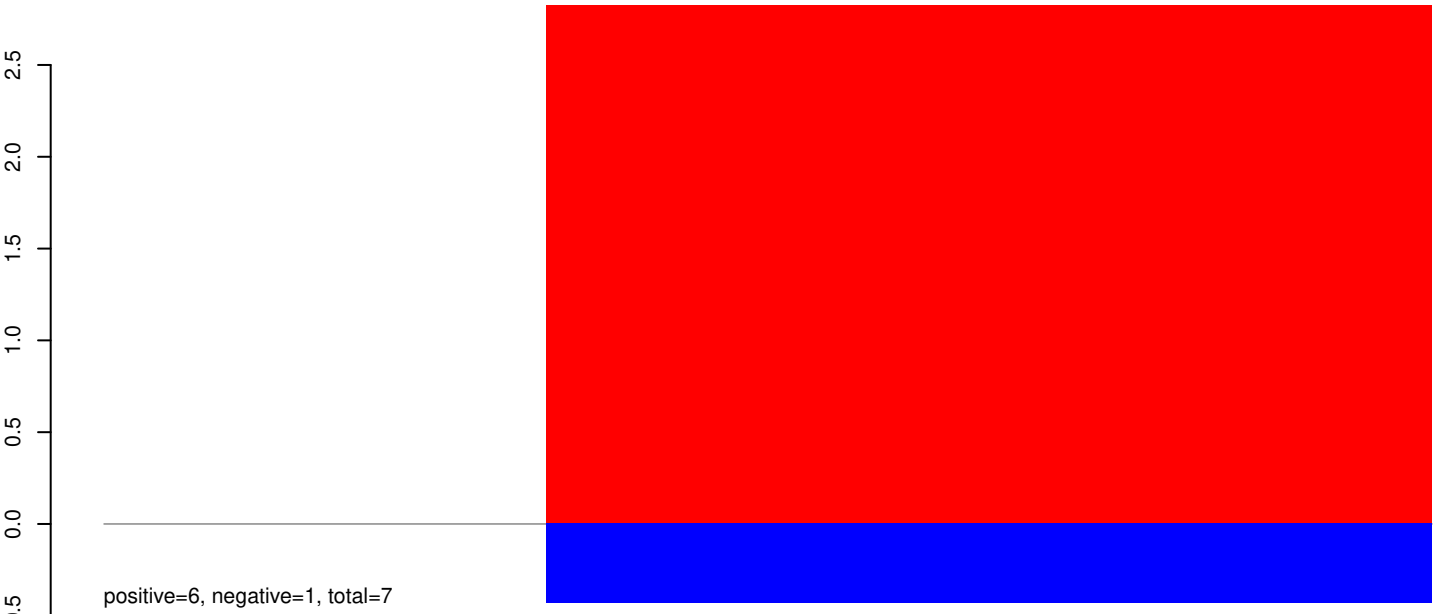
AeAeg_Whole_ZIKVdr_In3_GP.24_35.rep



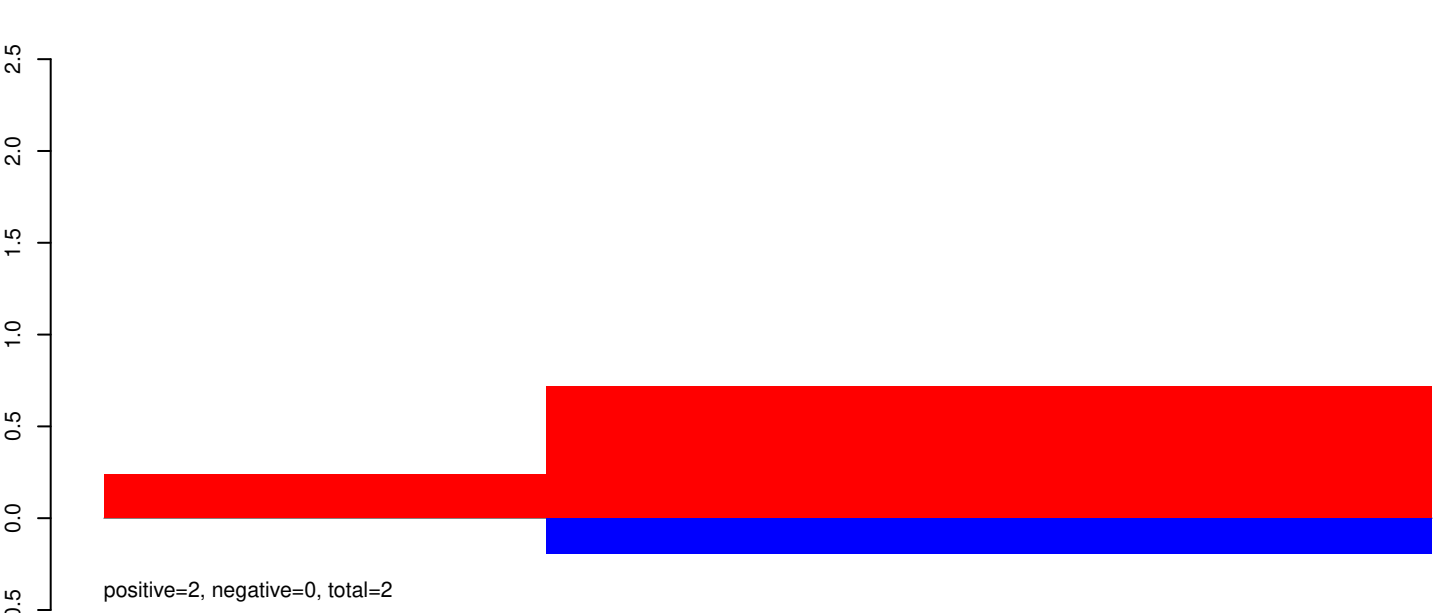
AeAeg_Whole_ZIKVdr_In3_GP.rep



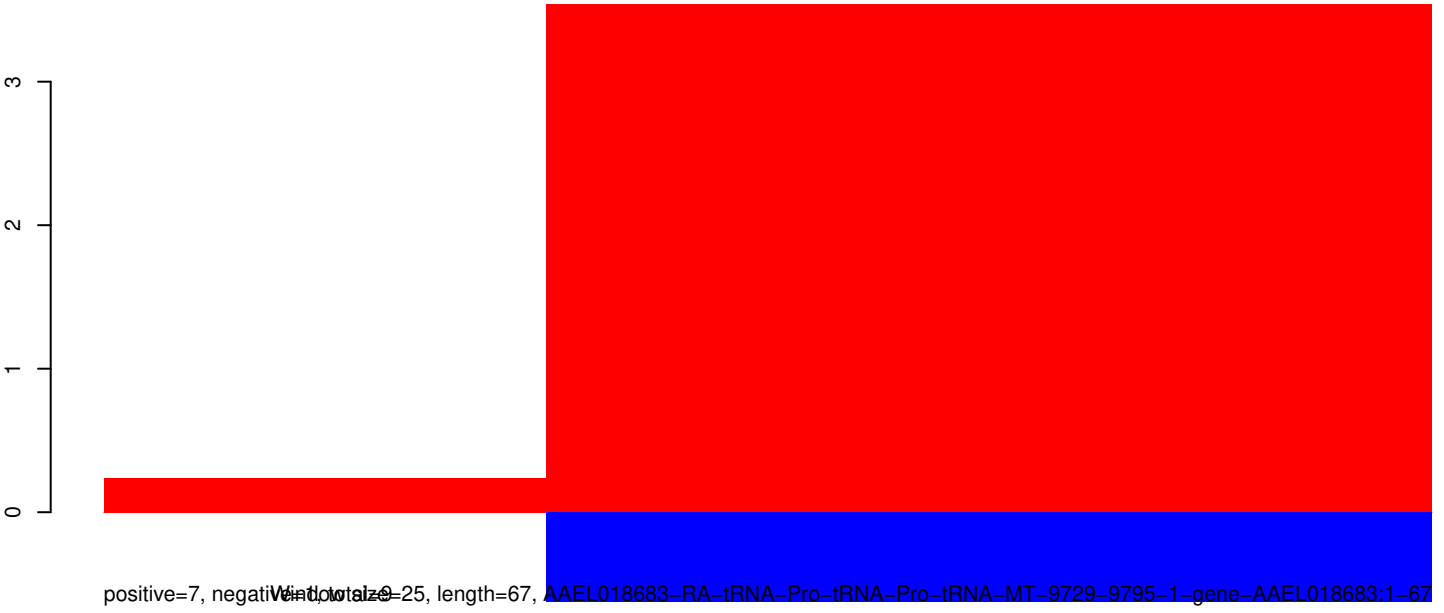
AeAeg_Whole_ZIKVdr_In3_GP.18_23.rep



AeAeg_Whole_ZIKVdr_In3_GP.24_35.rep



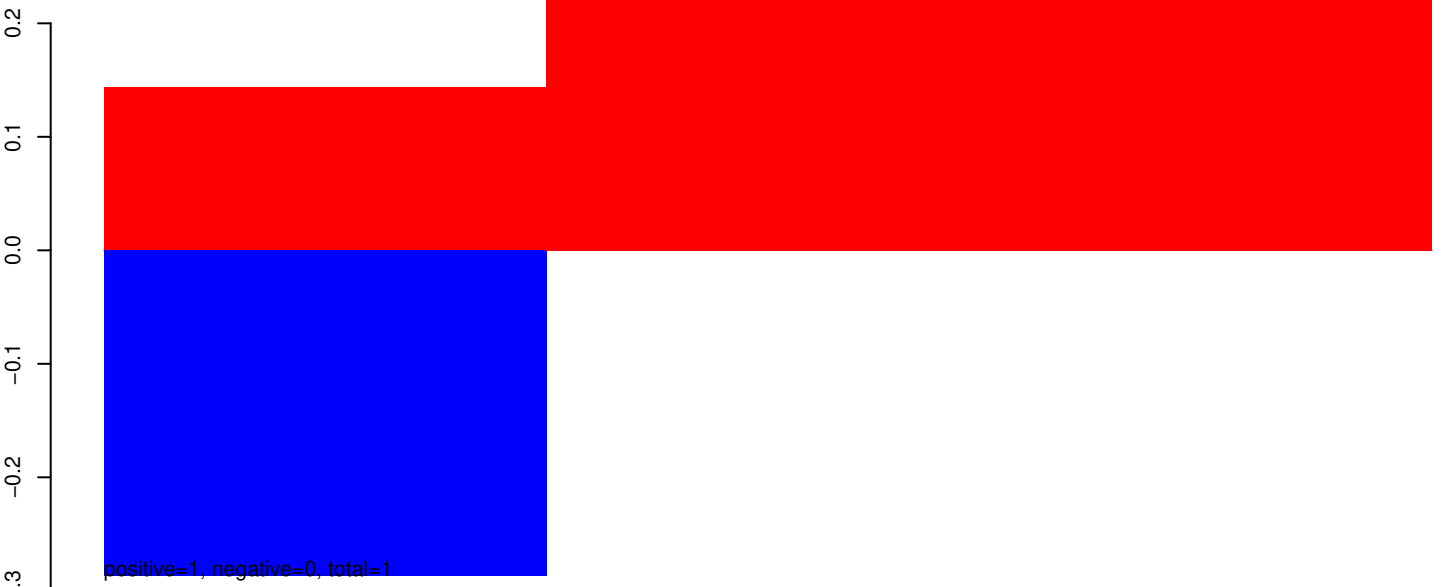
AeAeg_Whole_ZIKVdr_In3_GP.rep



Window size=25, length=67, AAEL018683-RA-tRNA-Pro-tRNA-Pro-tRNA-MT-9729-9795-1-gene-AAEL018683:1-67

40 60 80 100

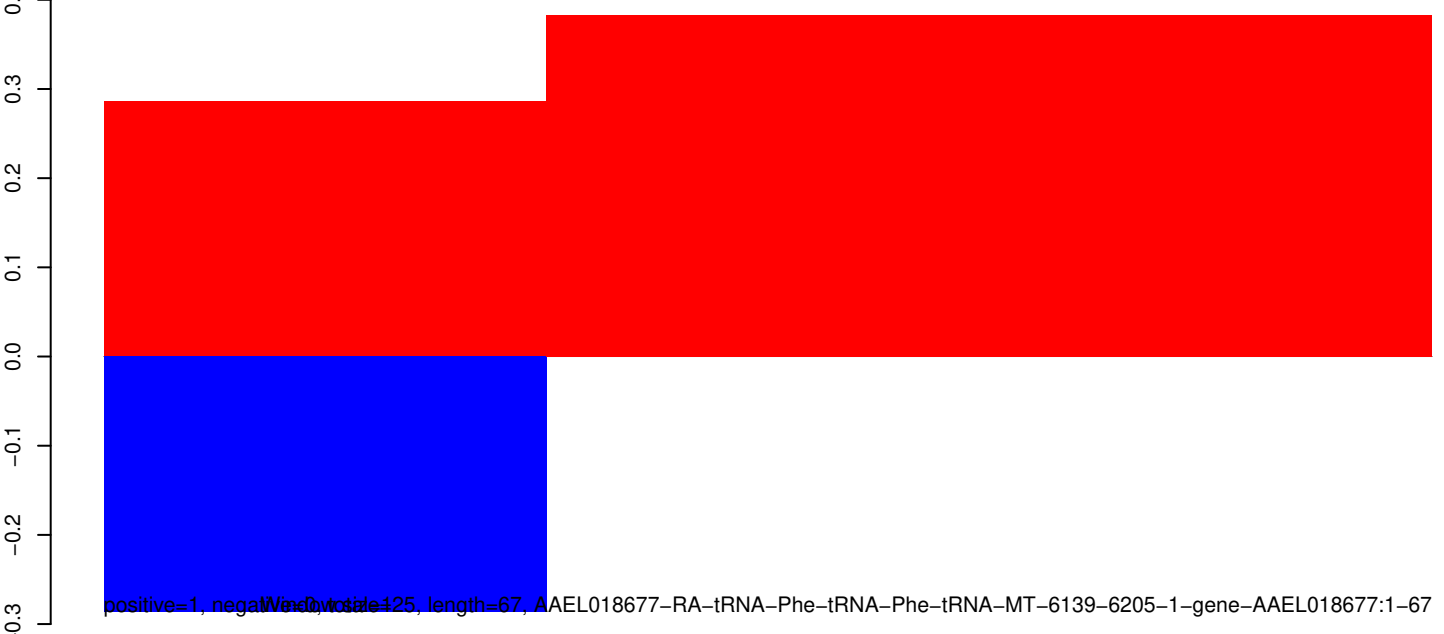
AeAeg_Whole_ZIKVdr_In3_GP.18_23.rep



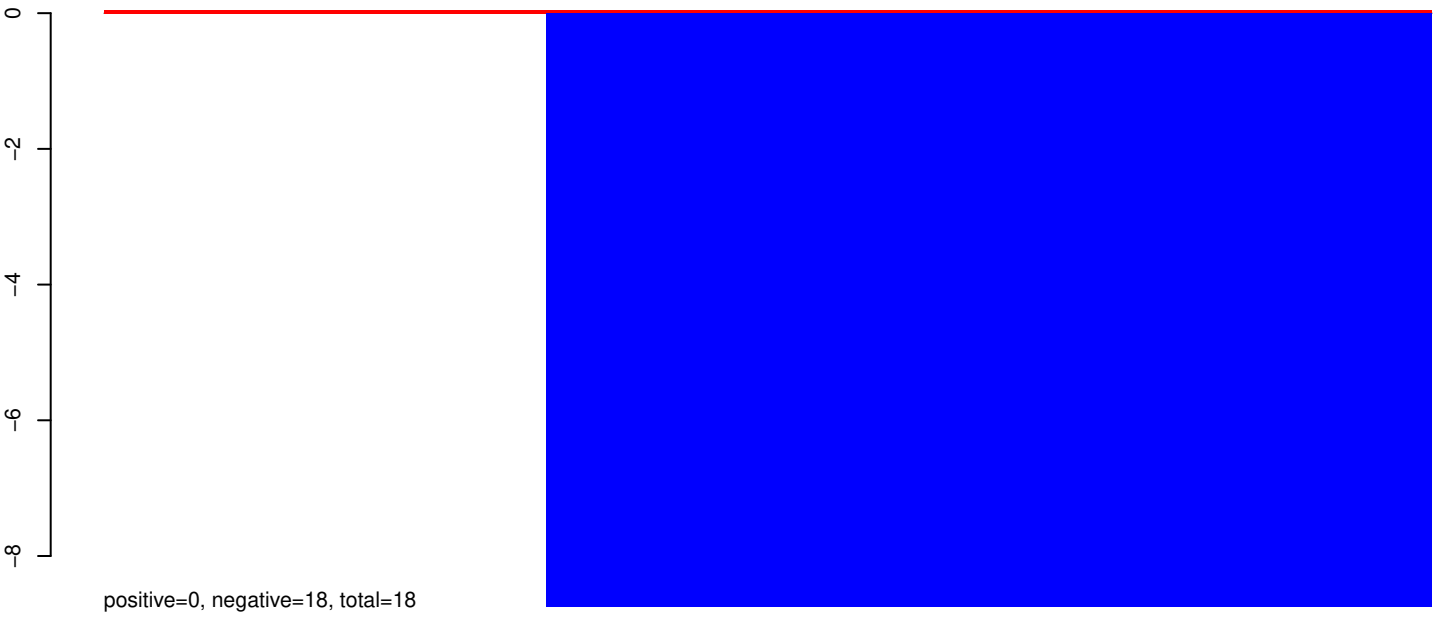
AeAeg_Whole_ZIKVdr_In3_GP.24_35.rep



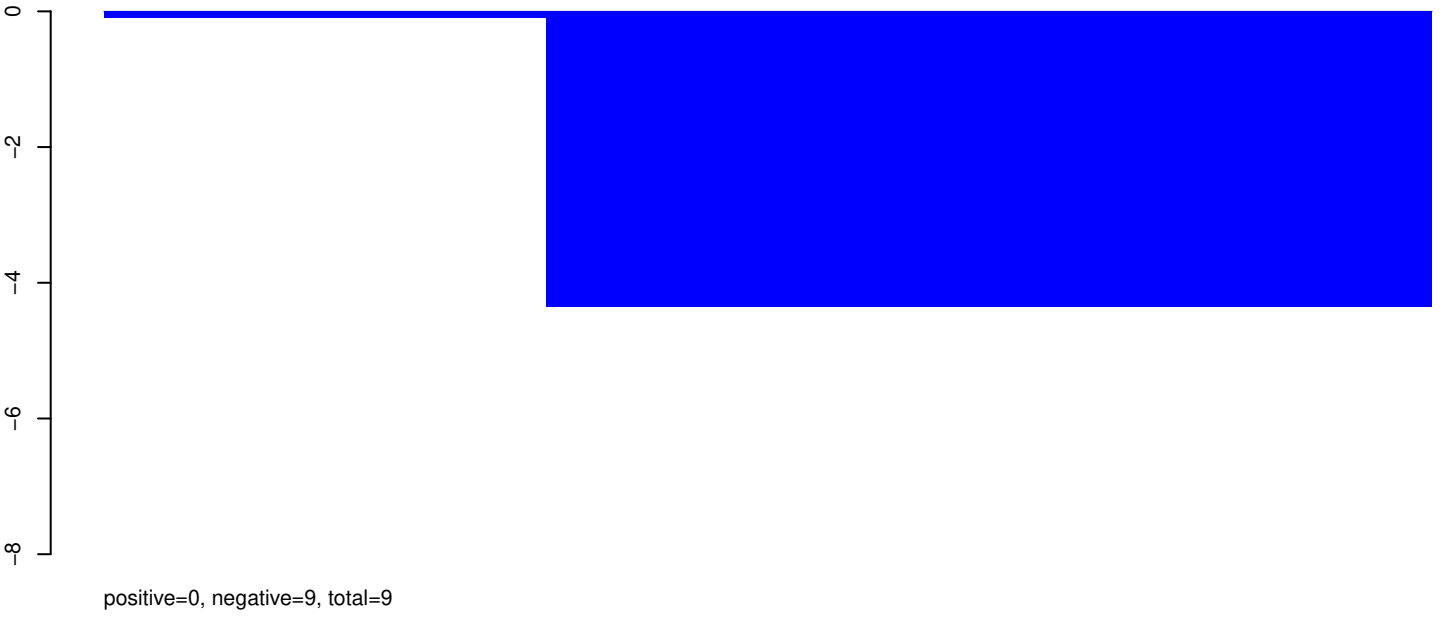
AeAeg_Whole_ZIKVdr_In3_GP.rep



AeAeg_Whole_ZIKVdr_In3_GP.18_23.rep



AeAeg_Whole_ZIKVdr_In3_GP.24_35.rep



AeAeg_Whole_ZIKVdr_In3_GP.rep

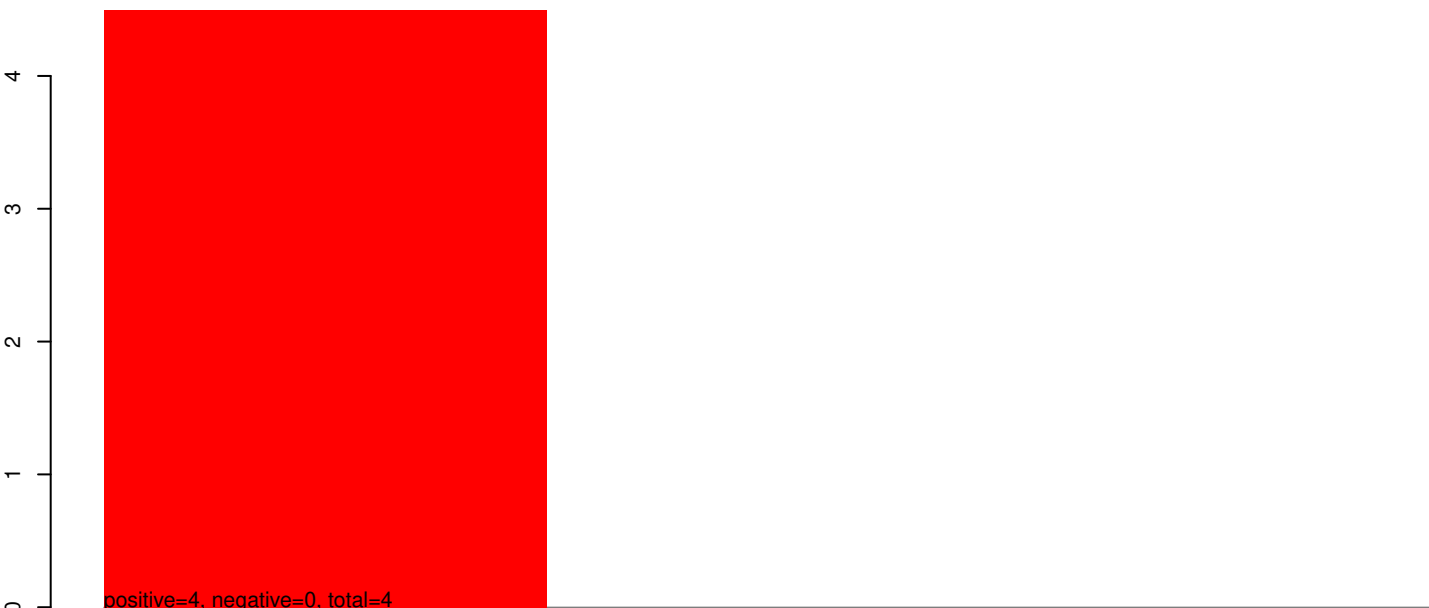


40 60 80 100

AeAeg_Whole_ZIKVdr_In3_GP.18_23.rep



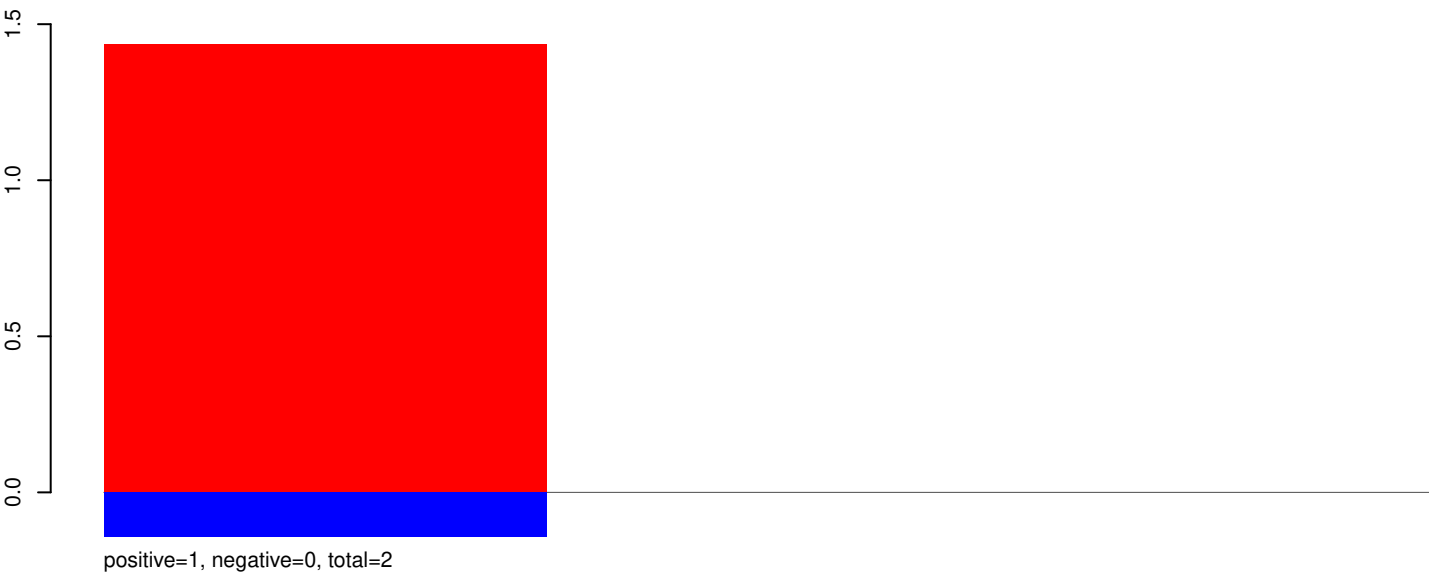
AeAeg_Whole_ZIKVdr_In3_GP.24_35.rep



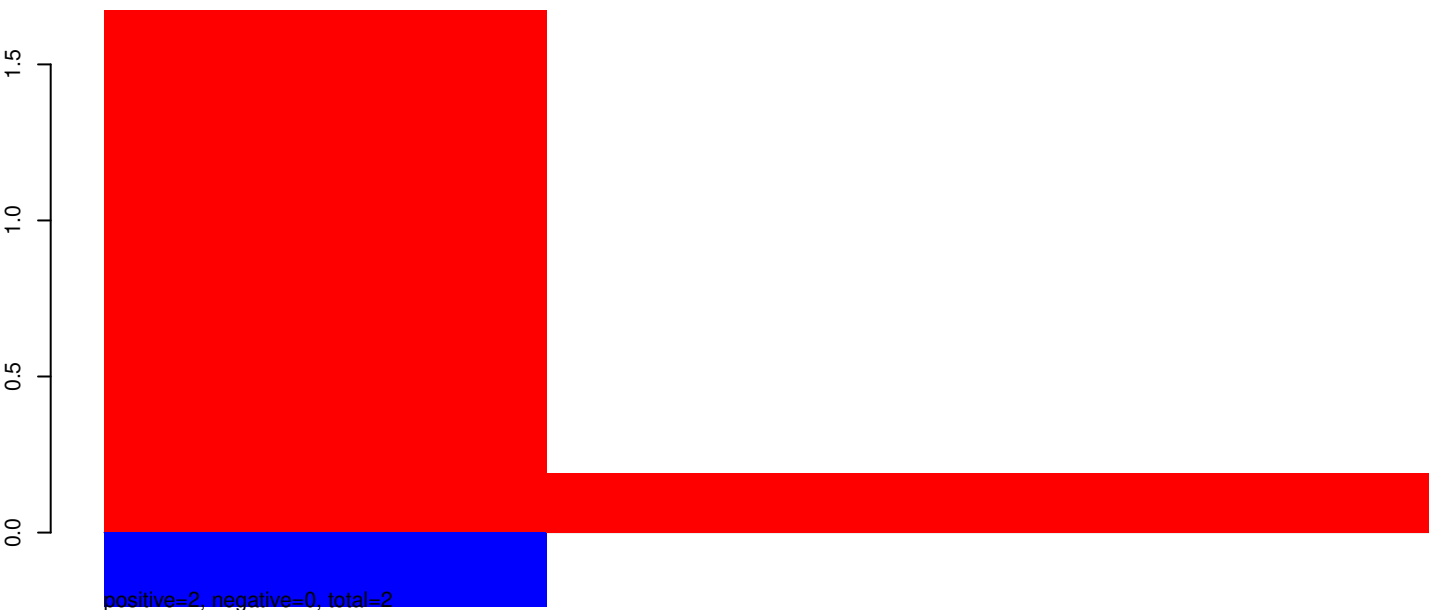
AeAeg_Whole_ZIKVdr_In3_GP.rep



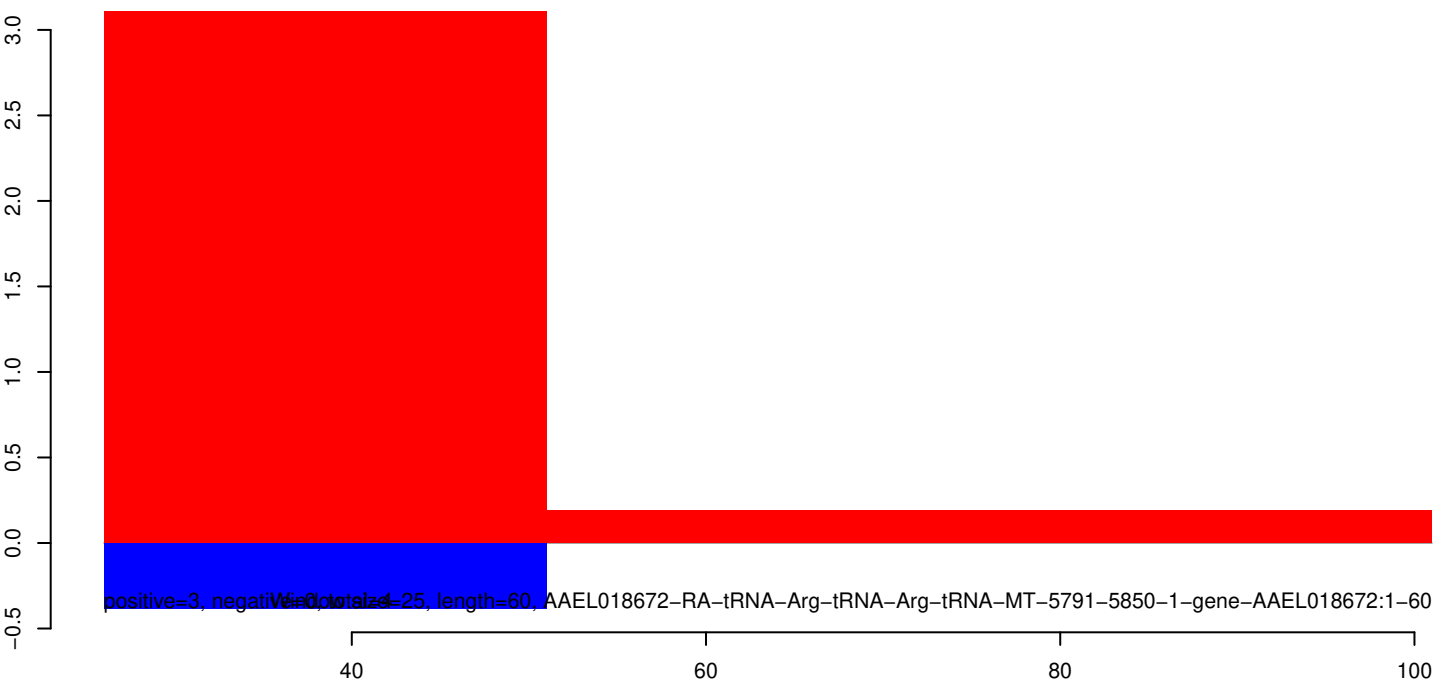
AeAeg_Whole_ZIKVdr_In3_GP.18_23.rep



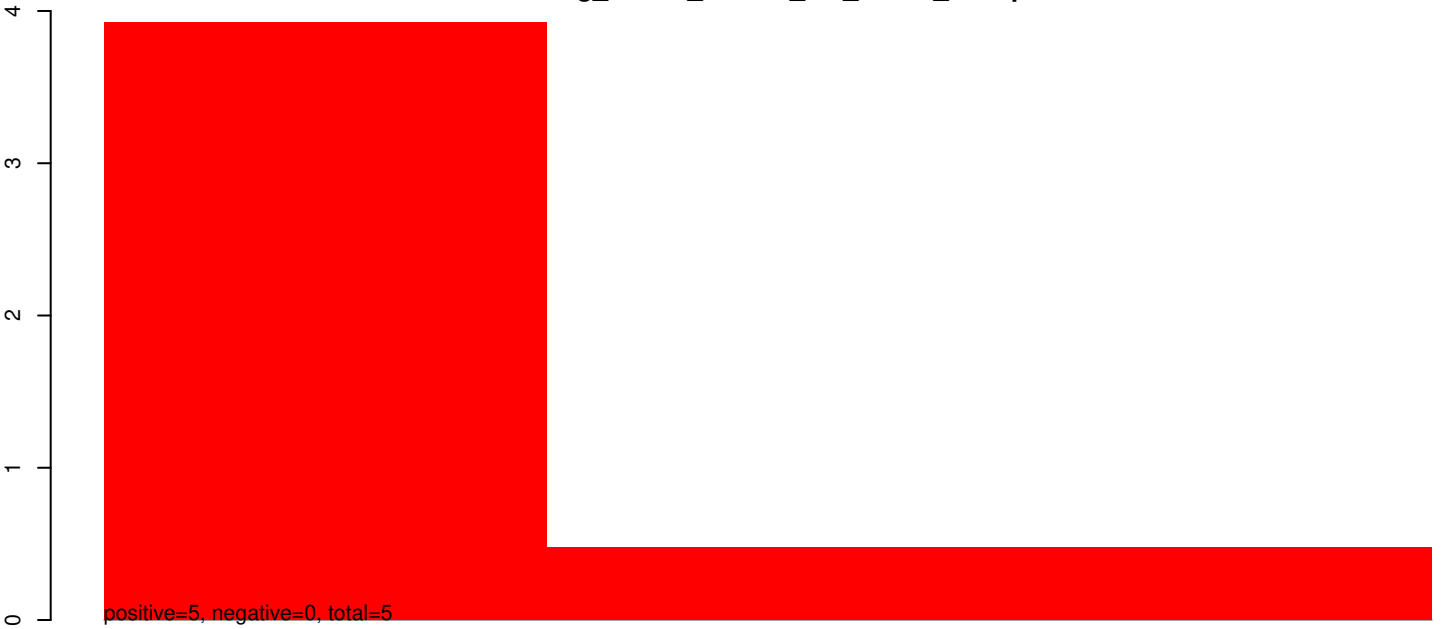
AeAeg_Whole_ZIKVdr_In3_GP.24_35.rep



AeAeg_Whole_ZIKVdr_In3_GP.rep



AeAeg_Whole_ZIKVdr_In3_GP.18_23.rep



AeAeg_Whole_ZIKVdr_In3_GP.24_35.rep



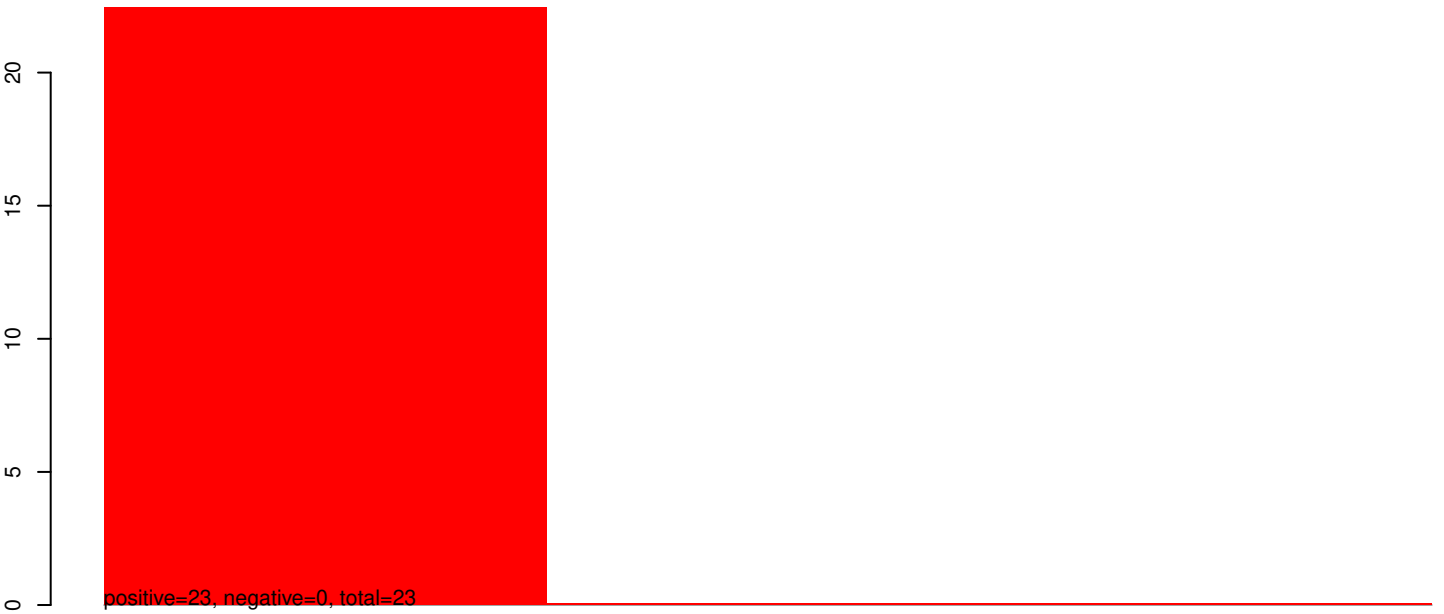
AeAeg_Whole_ZIKVdr_In3_GP.rep



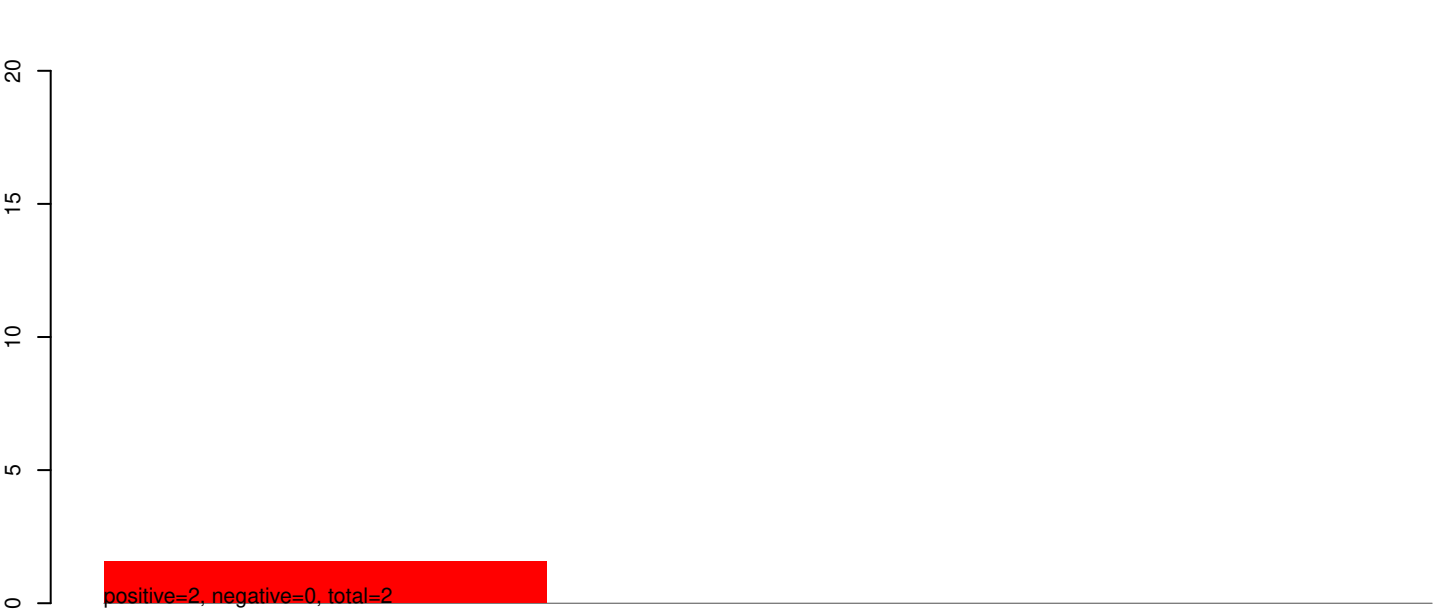
Window size=25, length=67, AAEL018670-RA-tRNA-Gly-tRNA-Gly-tRNA-MT-5371-5437-1-gene-AAEL018670:1-67

40 60 80 100

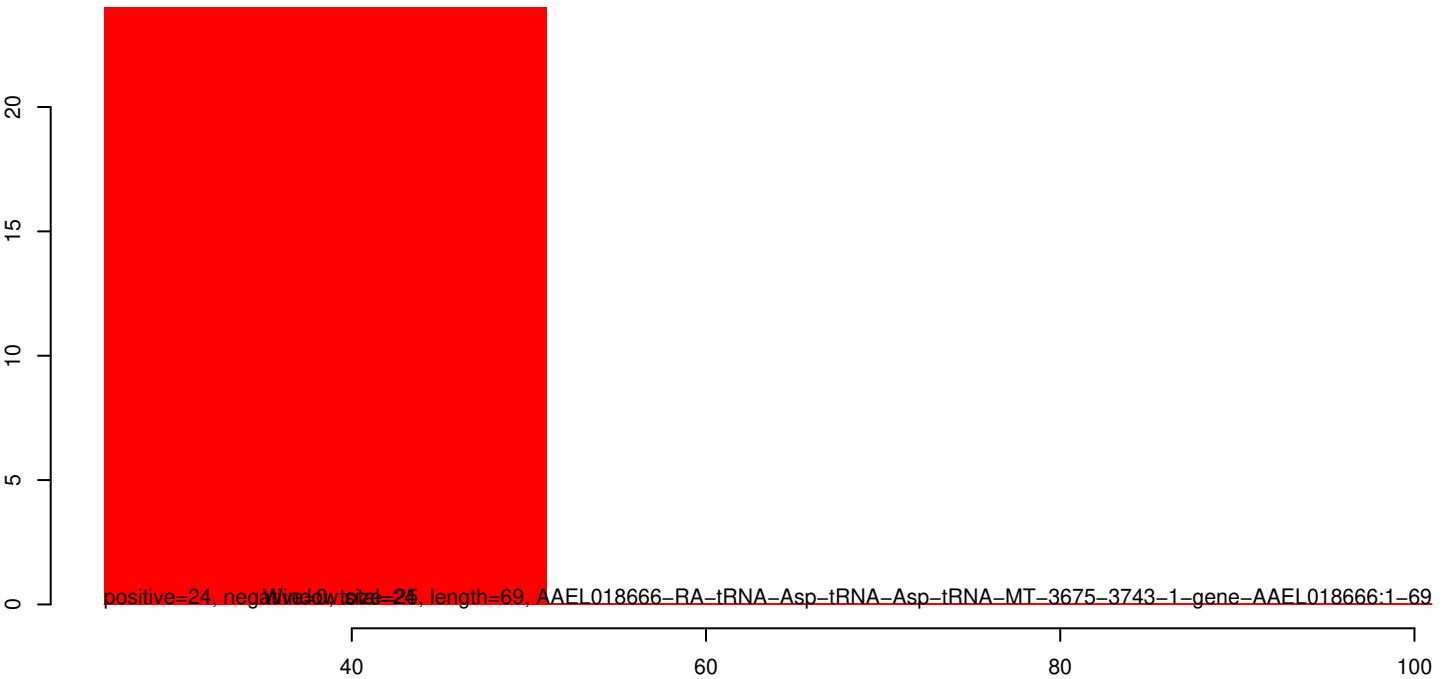
AeAeg_Whole_ZIKVdr_In3_GP.18_23.rep



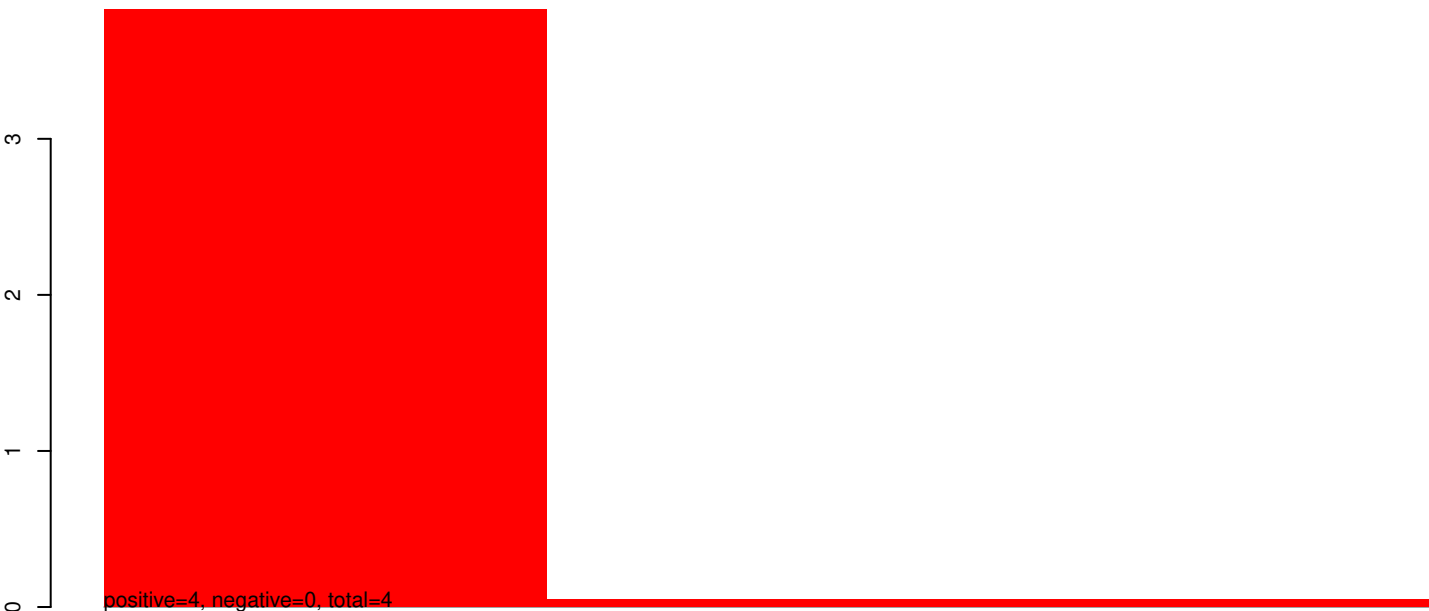
AeAeg_Whole_ZIKVdr_In3_GP.24_35.rep



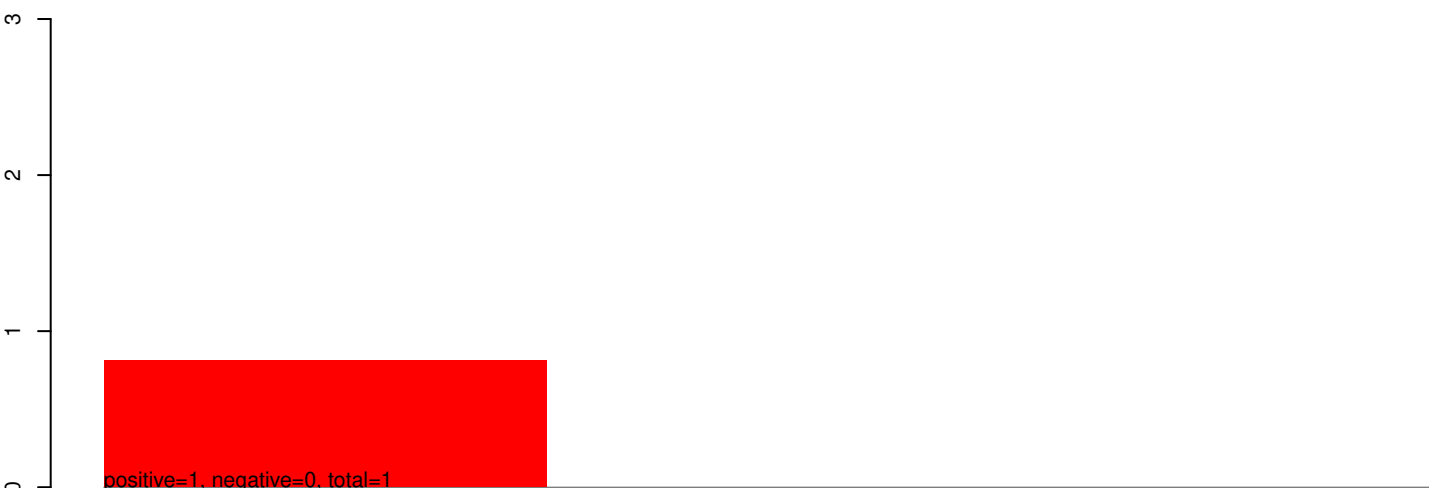
AeAeg_Whole_ZIKVdr_In3_GP.rep



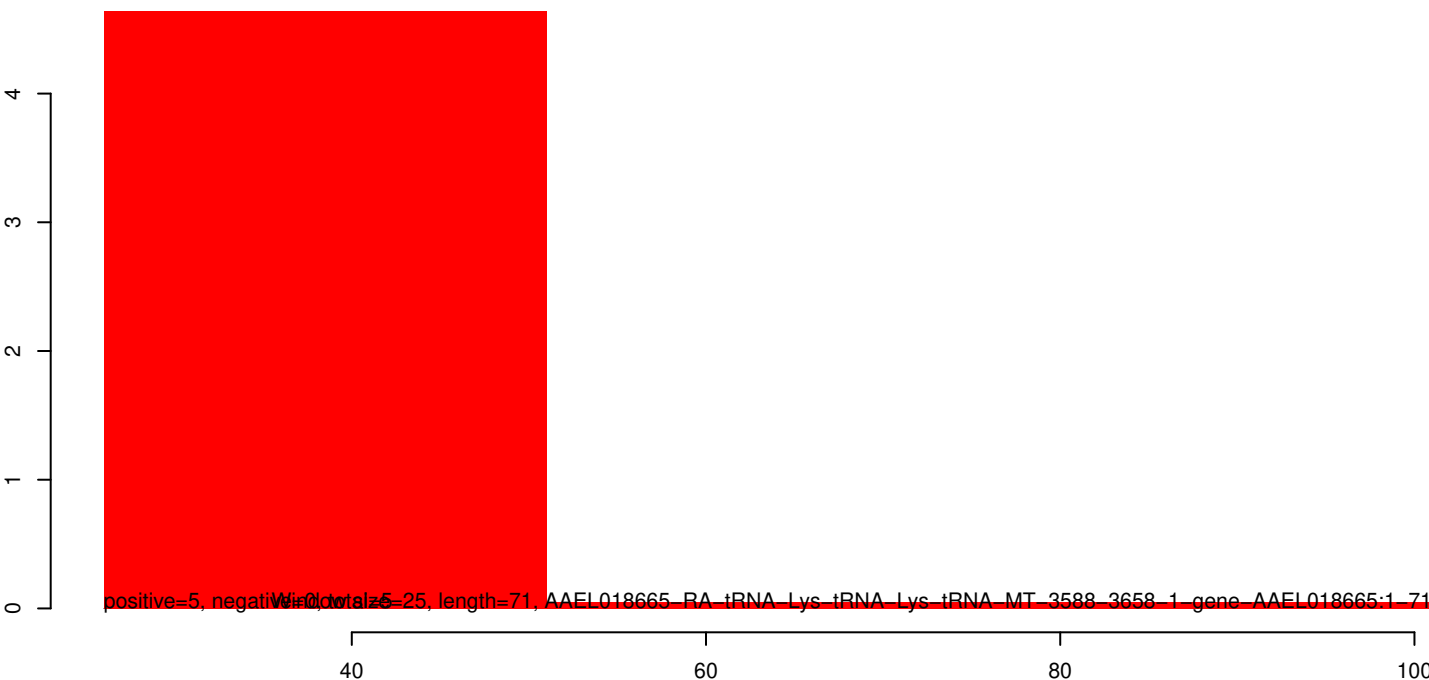
AeAeg_Whole_ZIKVdr_In3_GP.18_23.rep

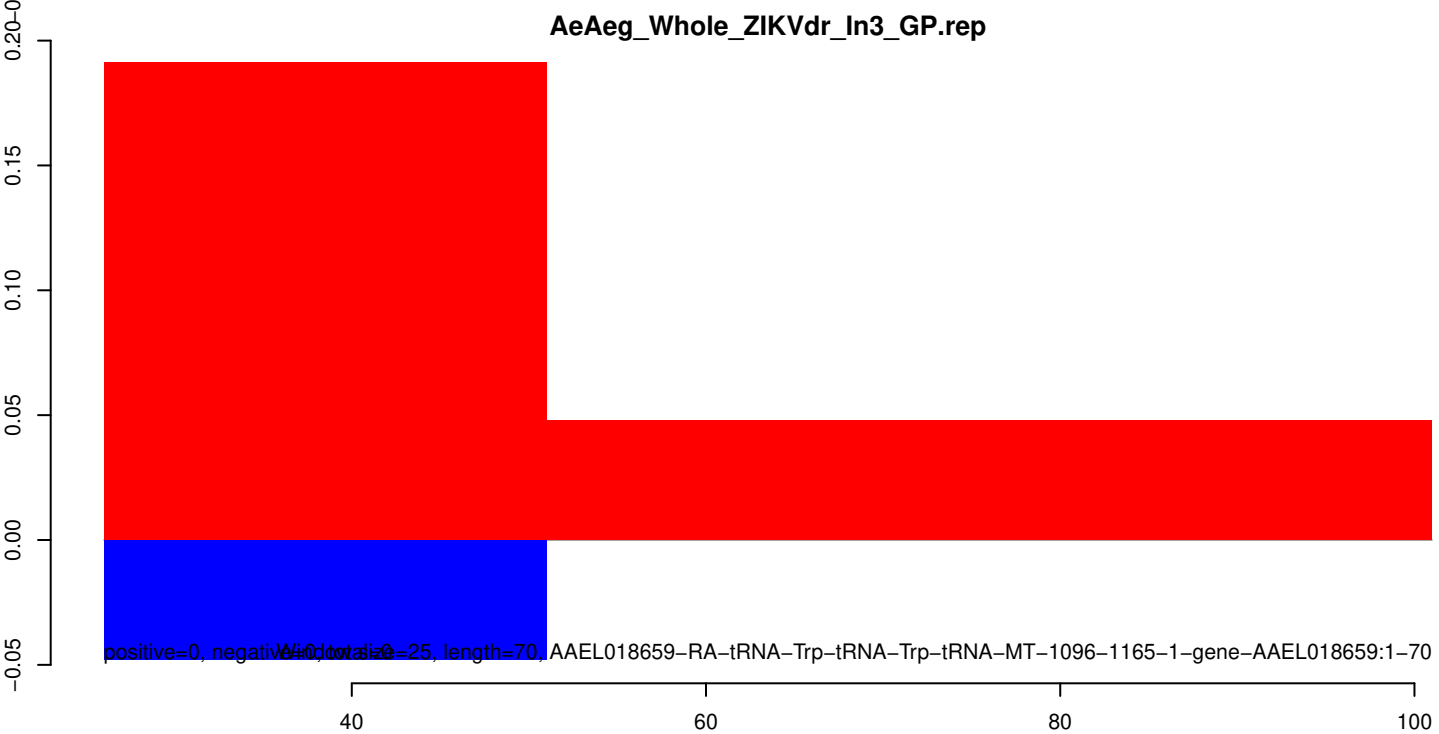
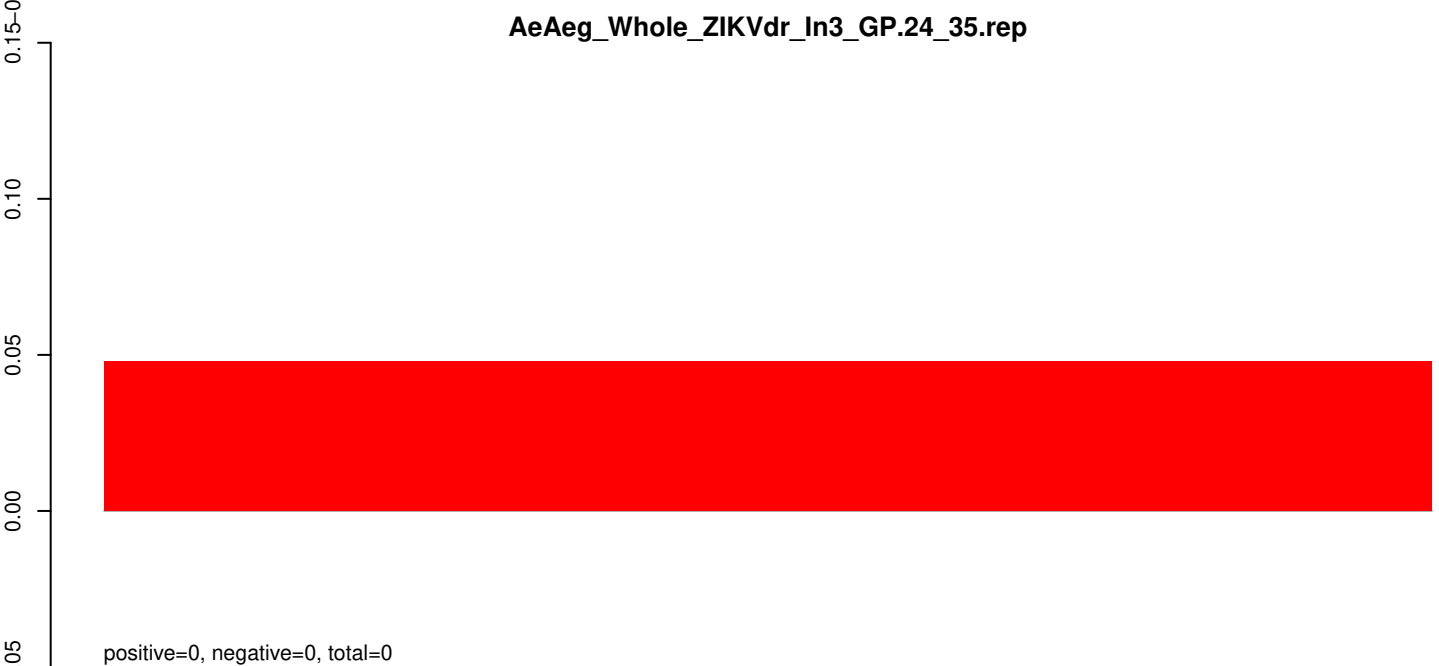
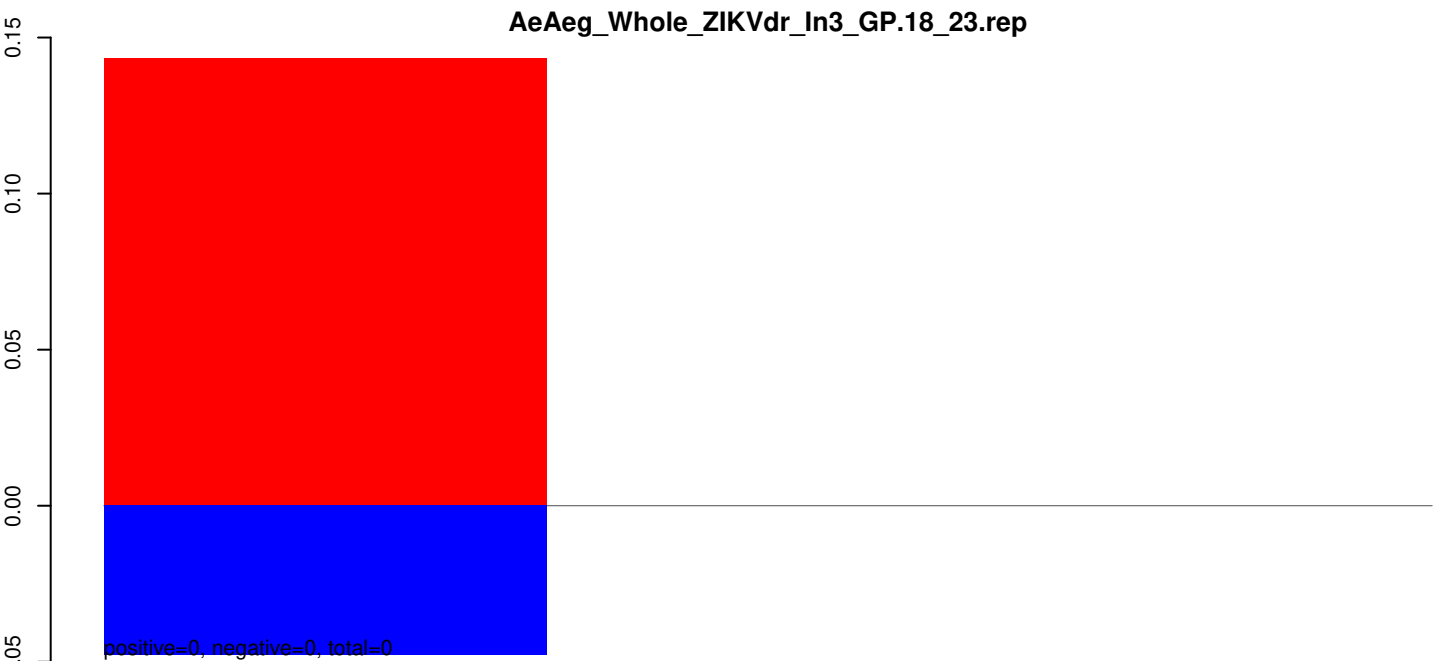


AeAeg_Whole_ZIKVdr_In3_GP.24_35.rep

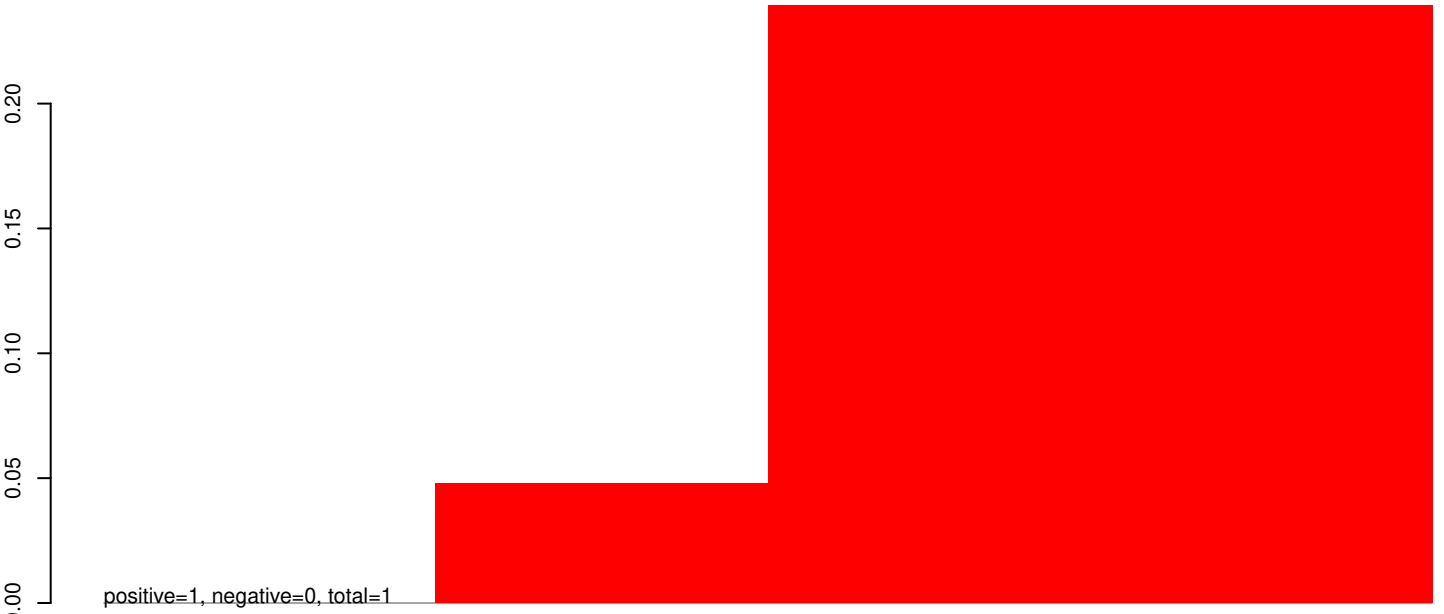


AeAeg_Whole_ZIKVdr_In3_GP.rep

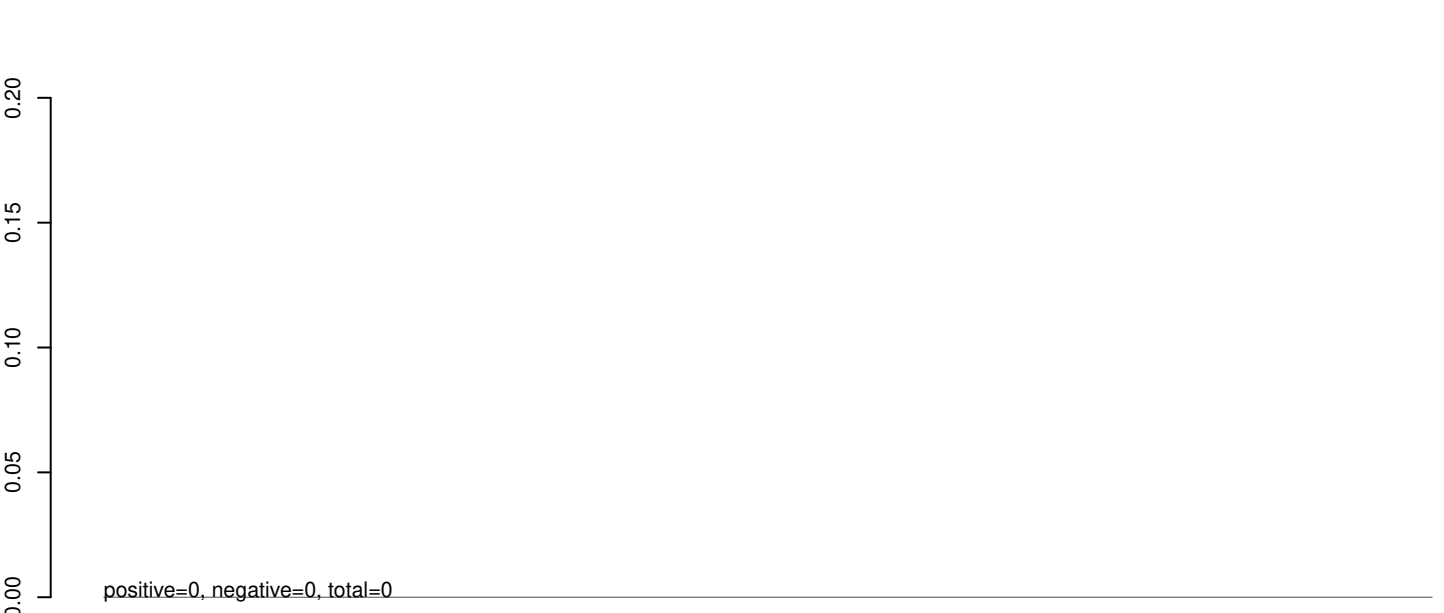




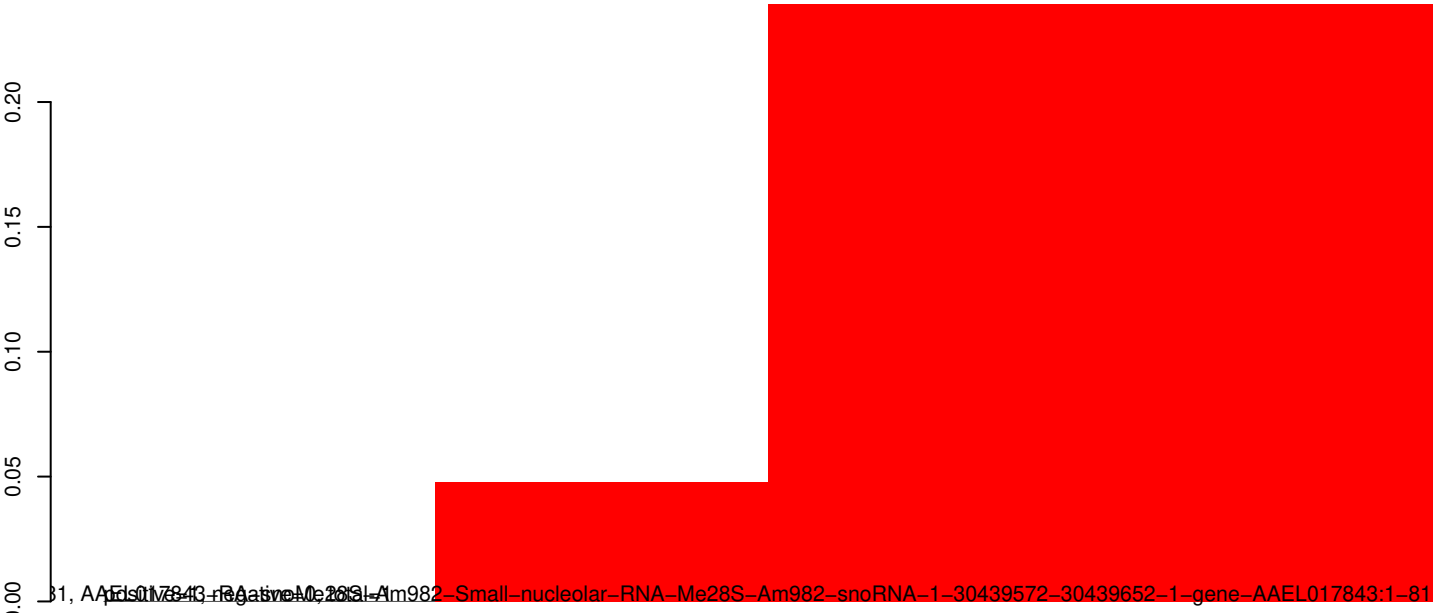
AeAeg_Whole_ZIKVdr_In3_GP.18_23.rep



AeAeg_Whole_ZIKVdr_In3_GP.24_35.rep

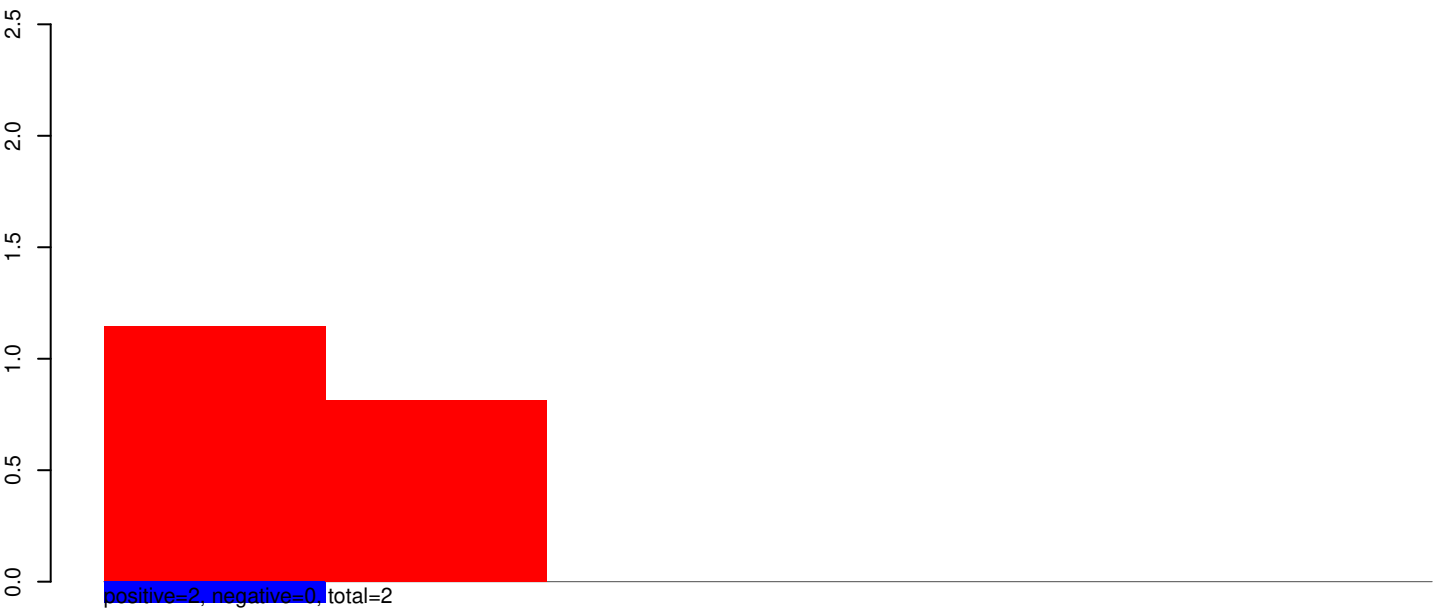


AeAeg_Whole_ZIKVdr_In3_GP.rep



1, AAF017843.1 - gene - AAEL017843:1-81

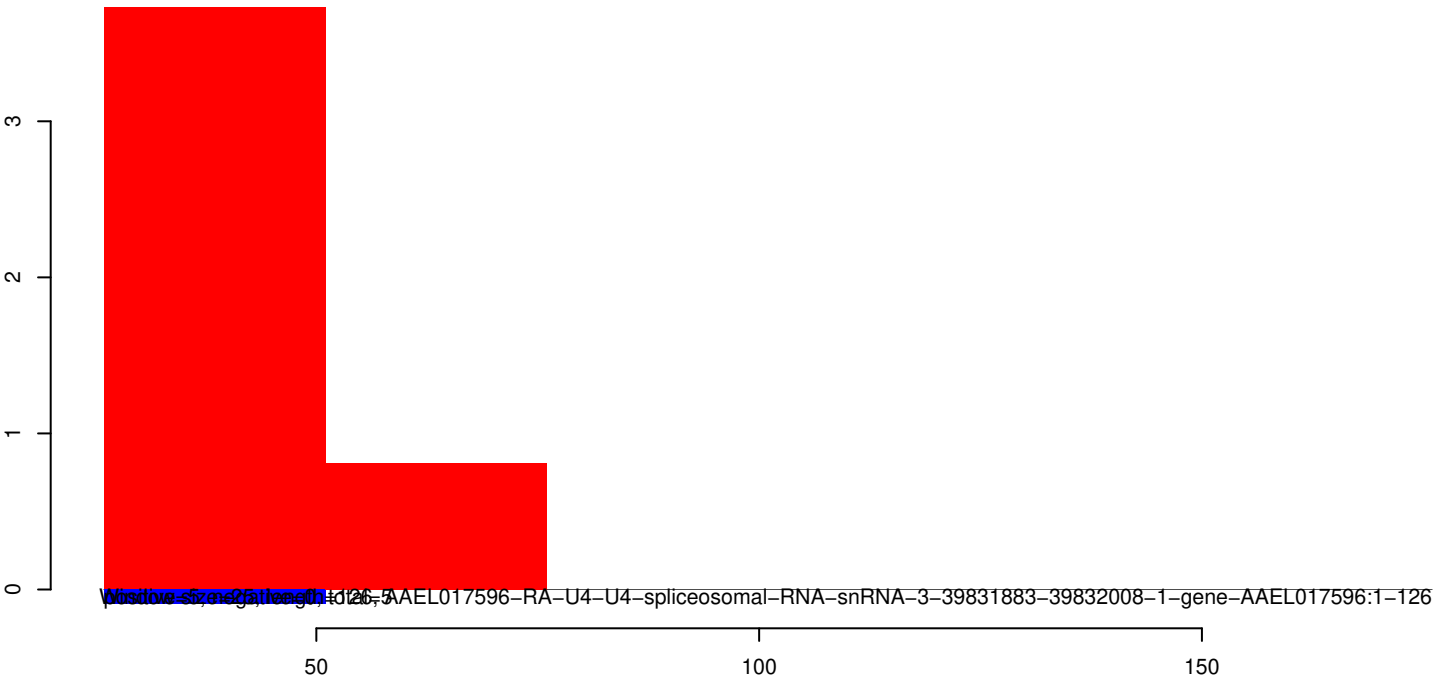
AeAeg_Whole_ZIKVdr_In3_GP.18_23.rep



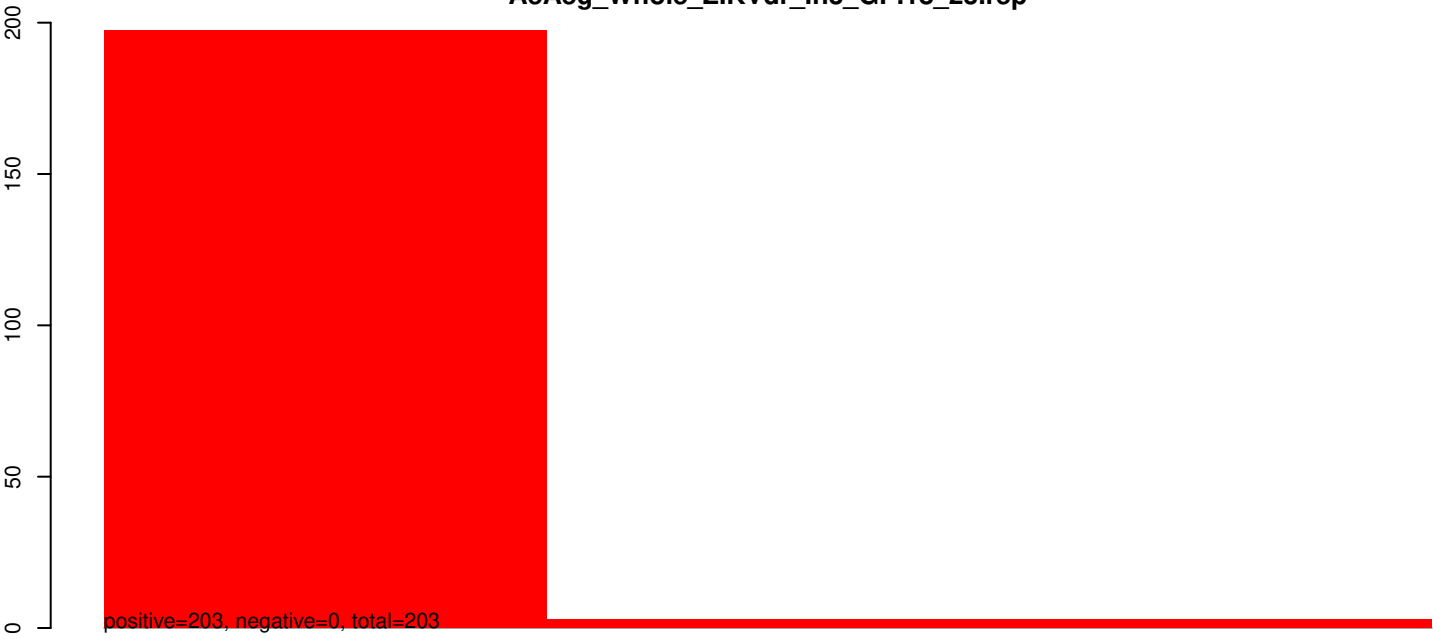
AeAeg_Whole_ZIKVdr_In3_GP.24_35.rep



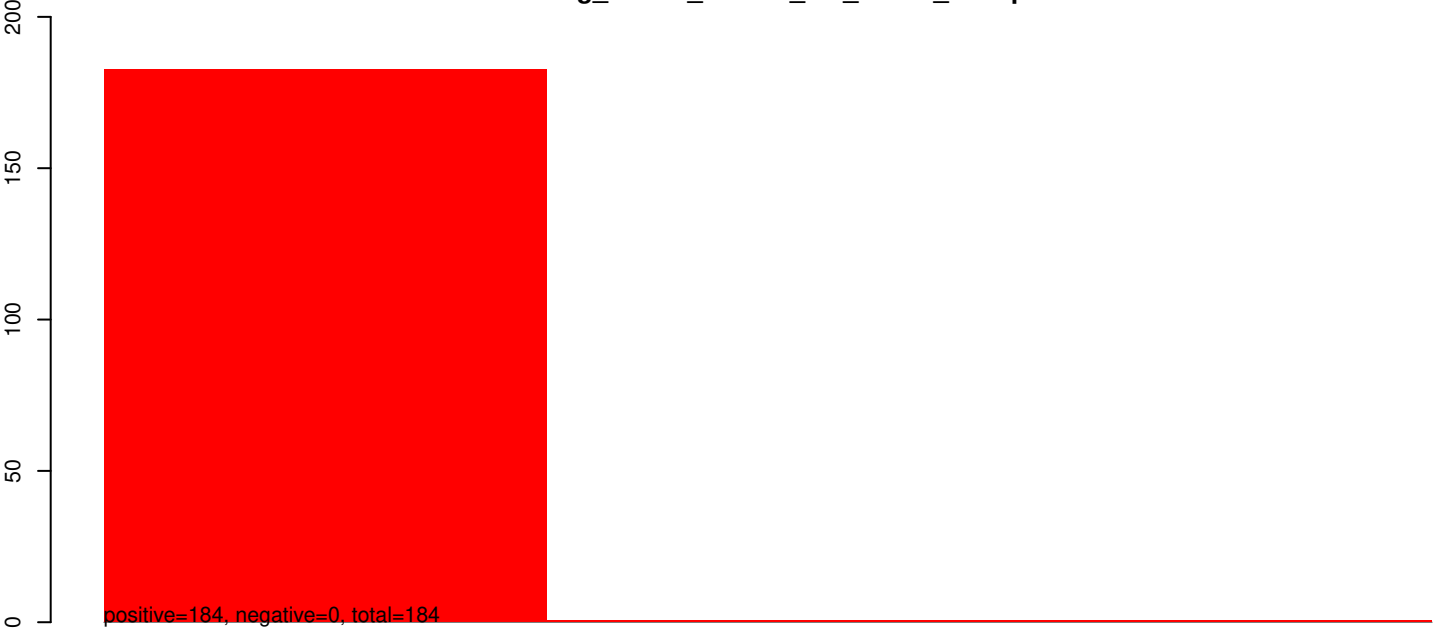
AeAeg_Whole_ZIKVdr_In3_GP.rep



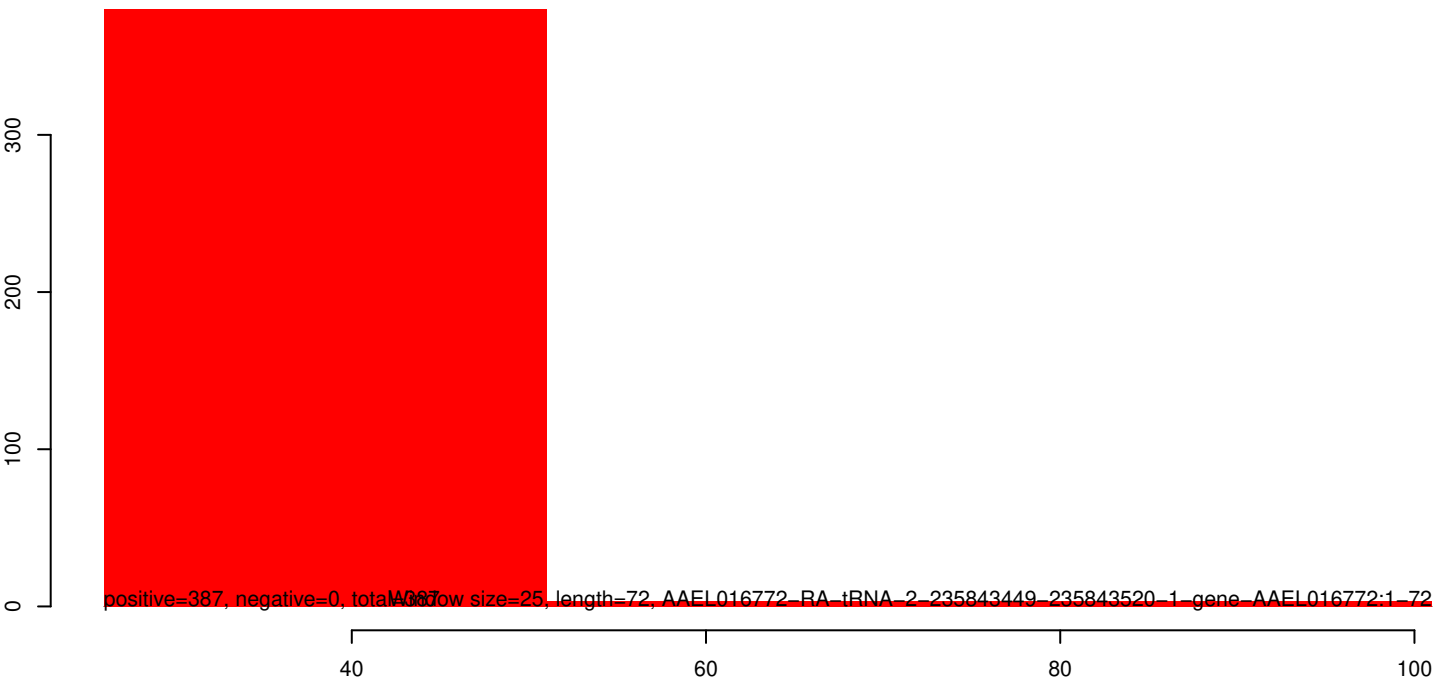
AeAeg_Whole_ZIKVdr_In3_GP.18_23.rep



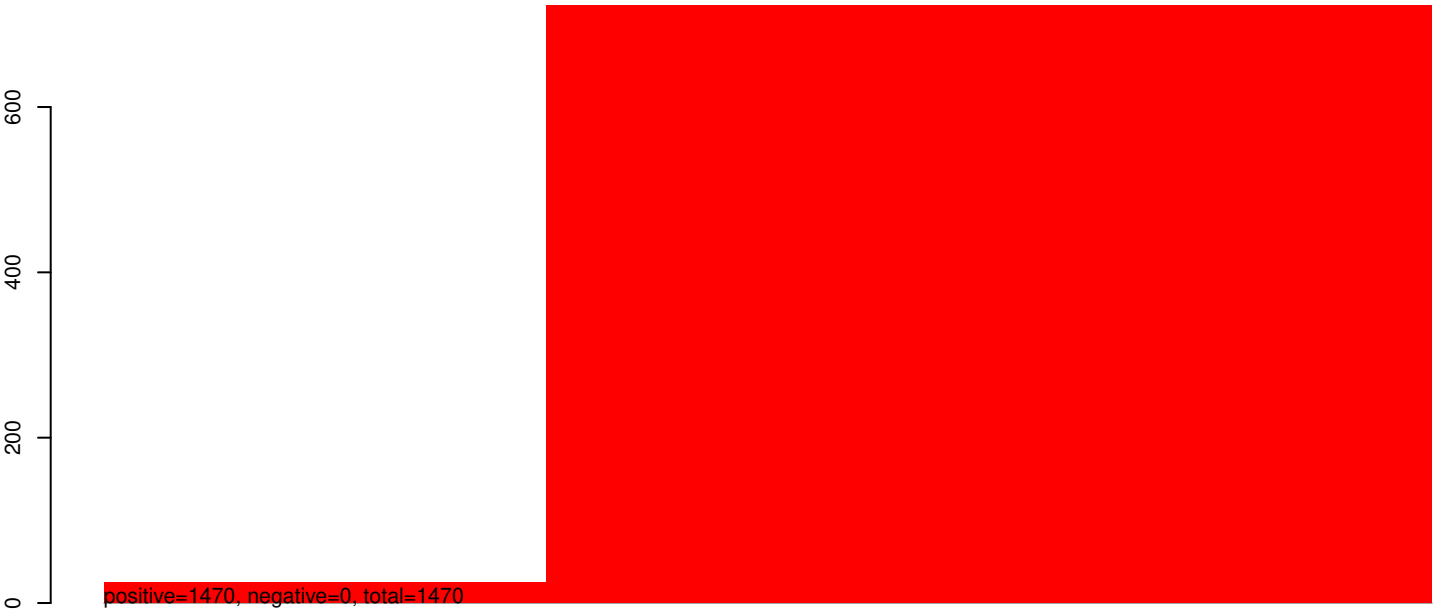
AeAeg_Whole_ZIKVdr_In3_GP.24_35.rep



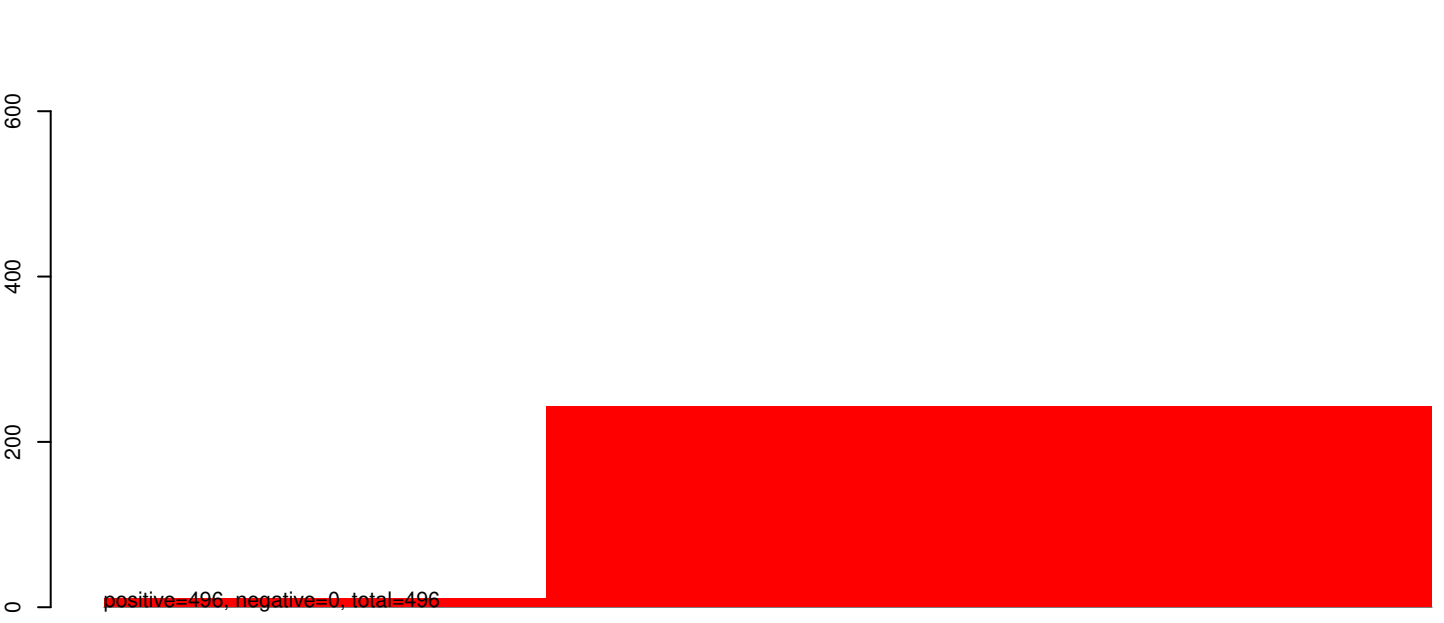
AeAeg_Whole_ZIKVdr_In3_GP.rep



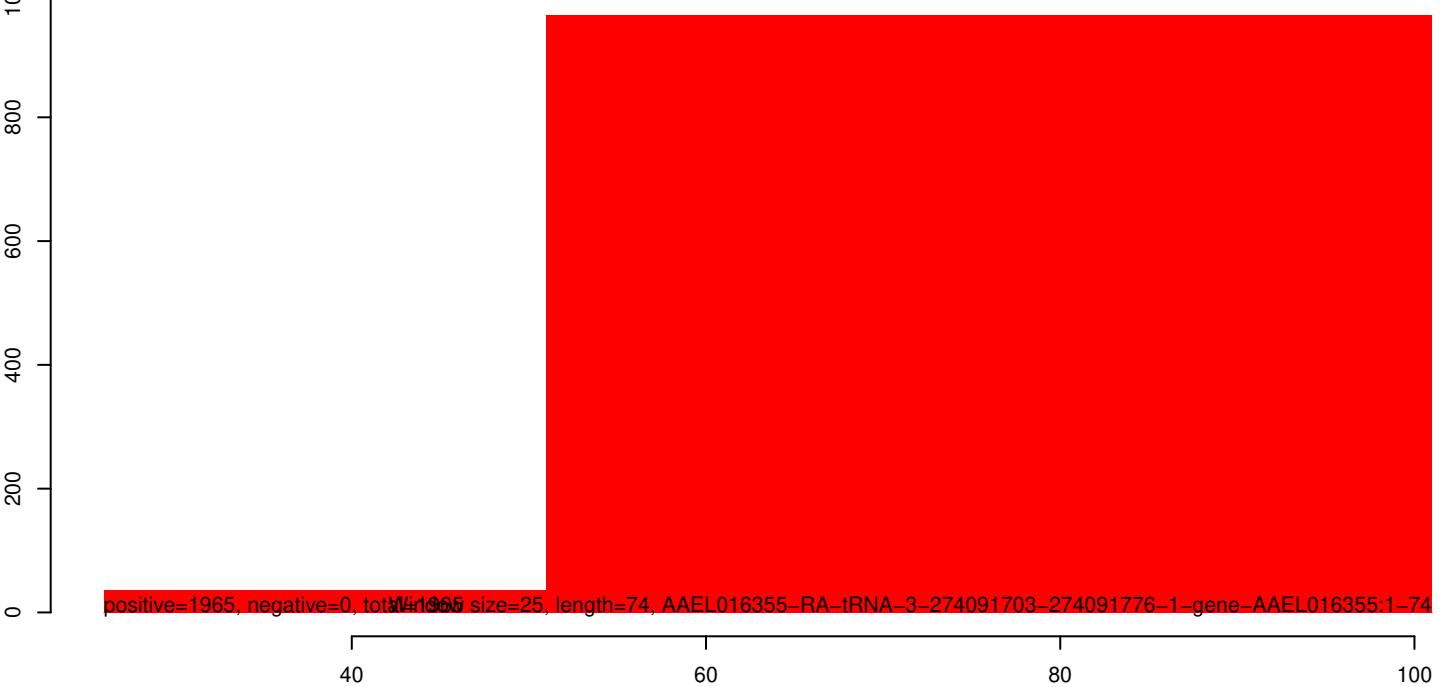
AeAeg_Whole_ZIKVdr_In3_GP.18_23.rep



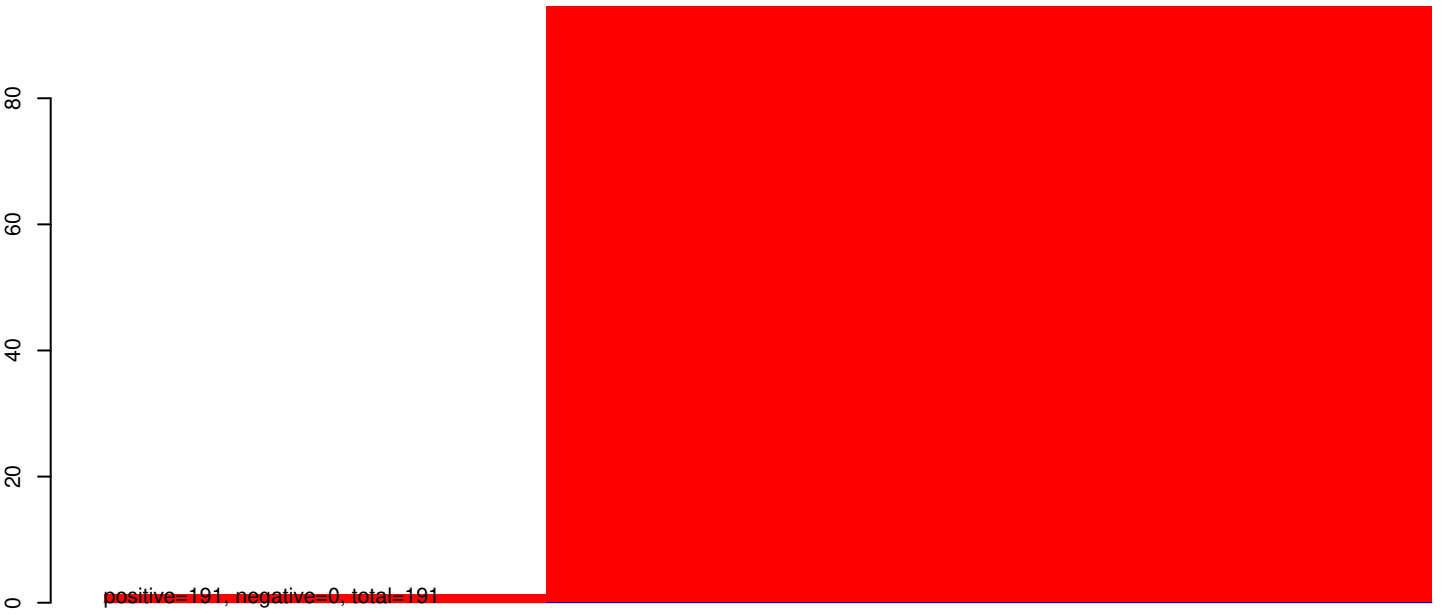
AeAeg_Whole_ZIKVdr_In3_GP.24_35.rep



AeAeg_Whole_ZIKVdr_In3_GP.rep



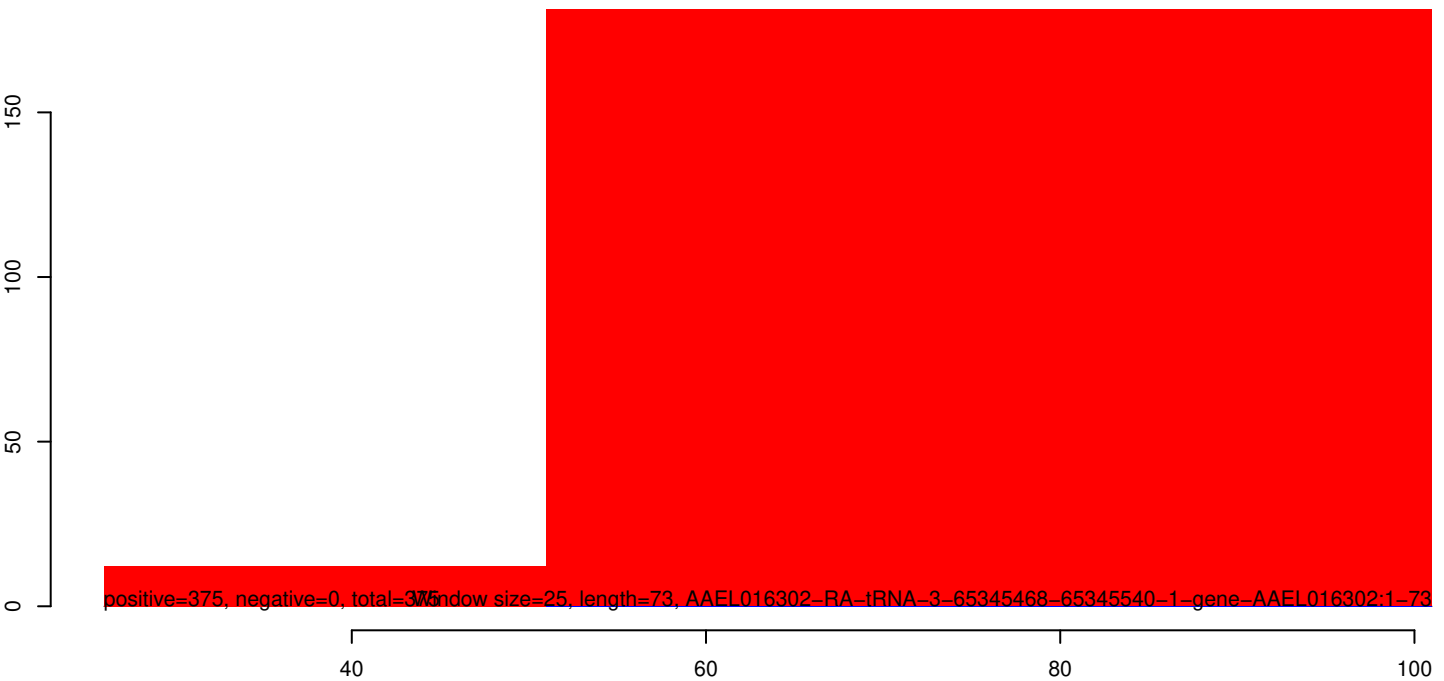
AeAeg_Whole_ZIKVdr_In3_GP.18_23.rep



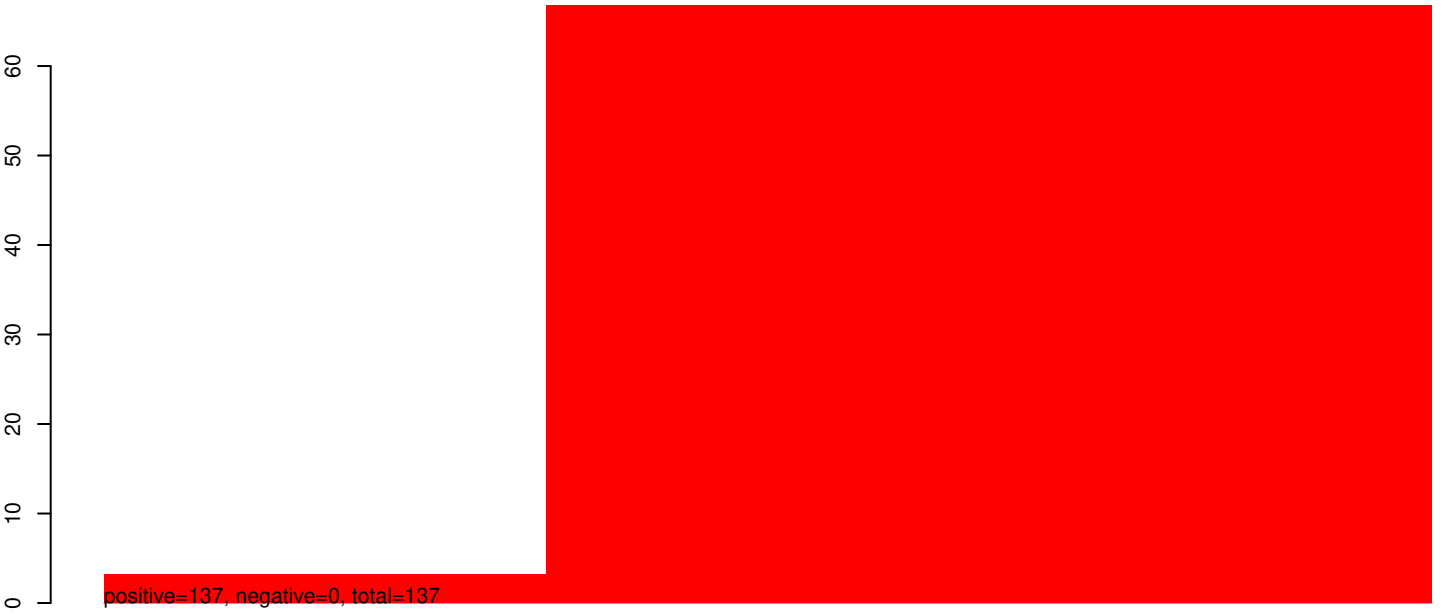
AeAeg_Whole_ZIKVdr_In3_GP.24_35.rep



AeAeg_Whole_ZIKVdr_In3_GP.rep



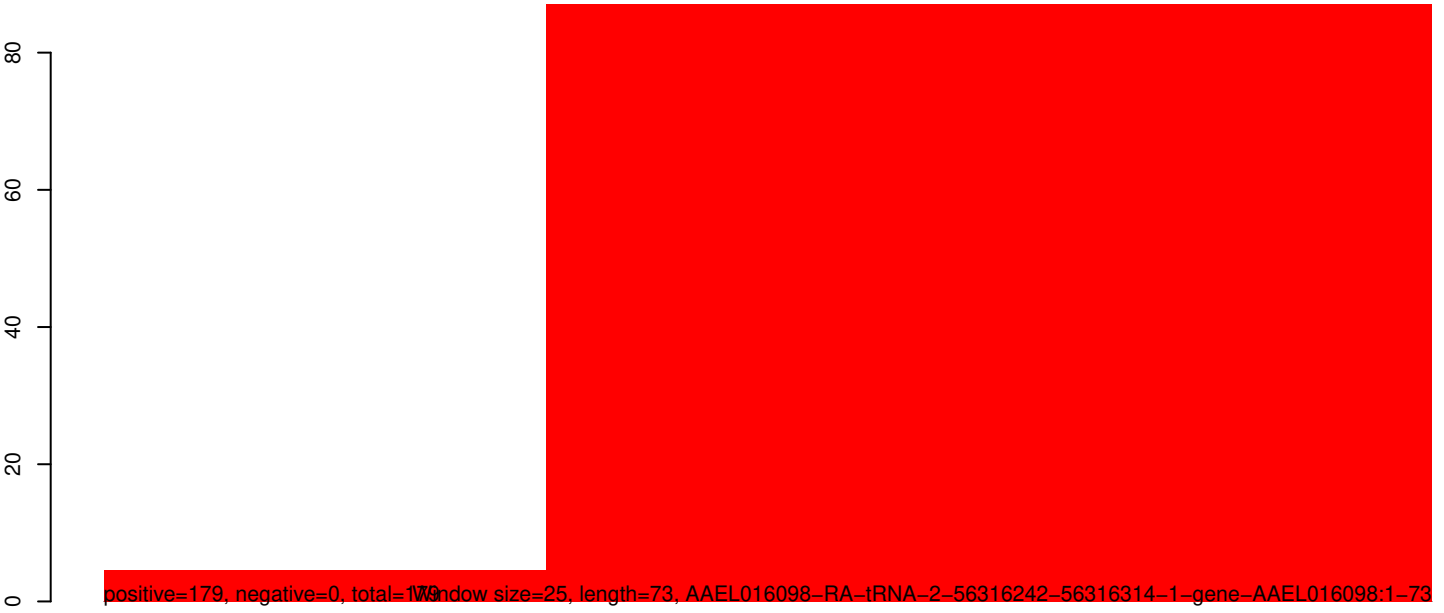
AeAeg_Whole_ZIKVdr_In3_GP.18_23.rep



AeAeg_Whole_ZIKVdr_In3_GP.24_35.rep

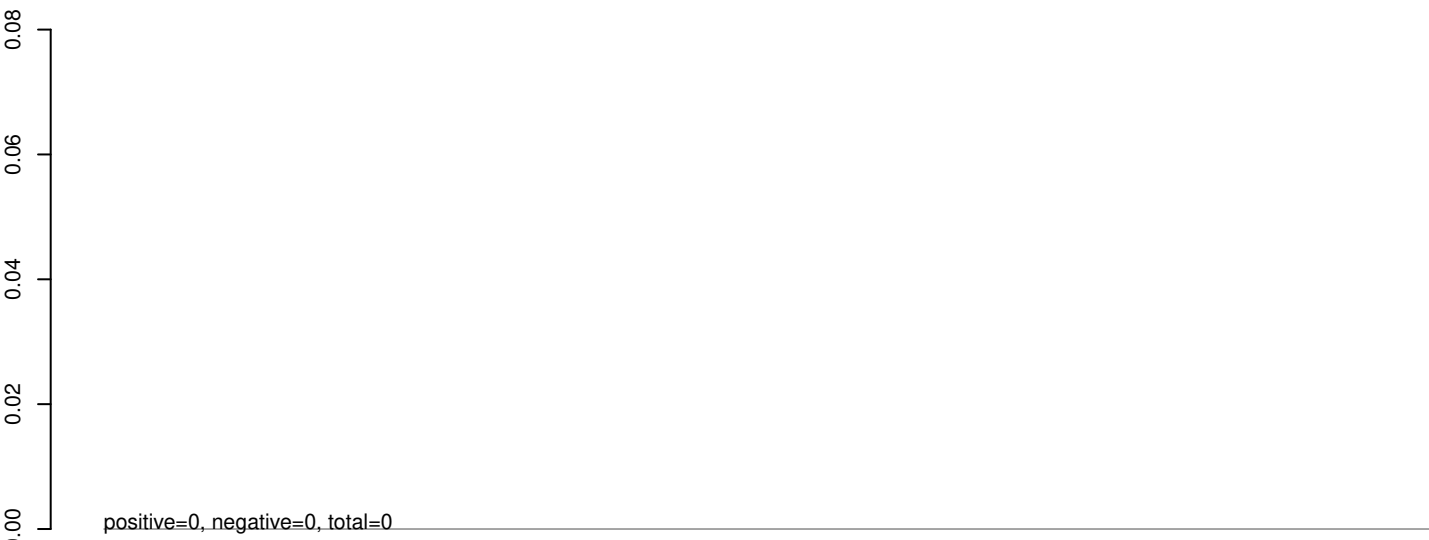


AeAeg_Whole_ZIKVdr_In3_GP.rep

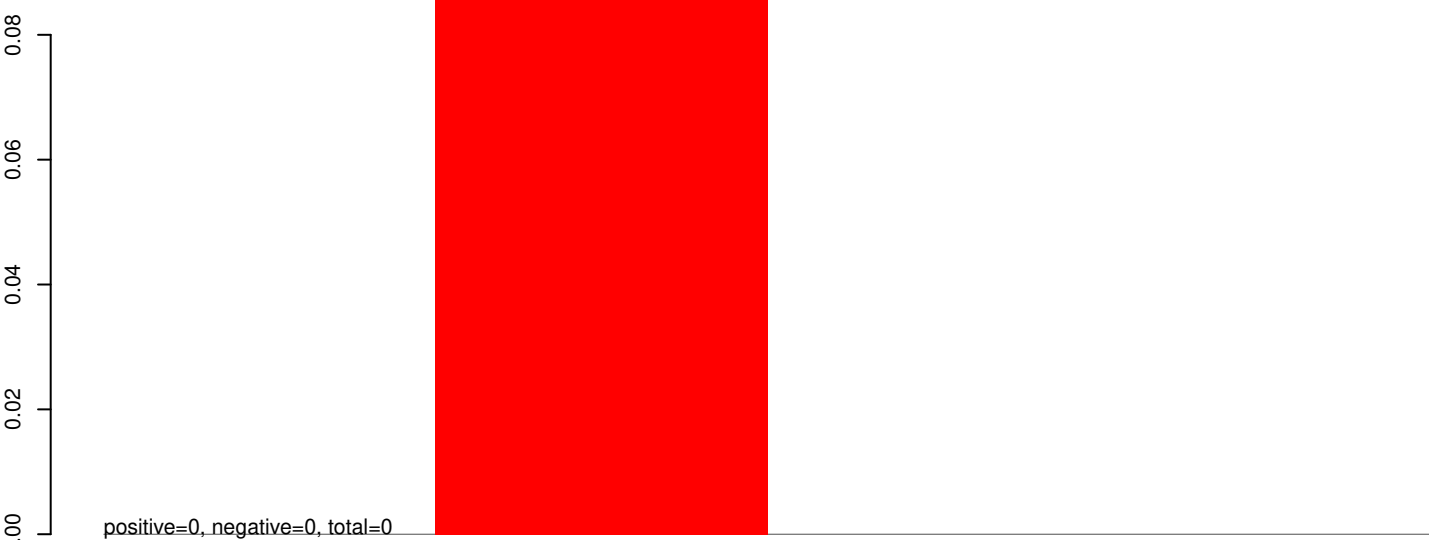


Window size=25, length=73, AAEL016098-RA-tRNA-2-56316242-56316314-1-gene-AAEL016098:1-73

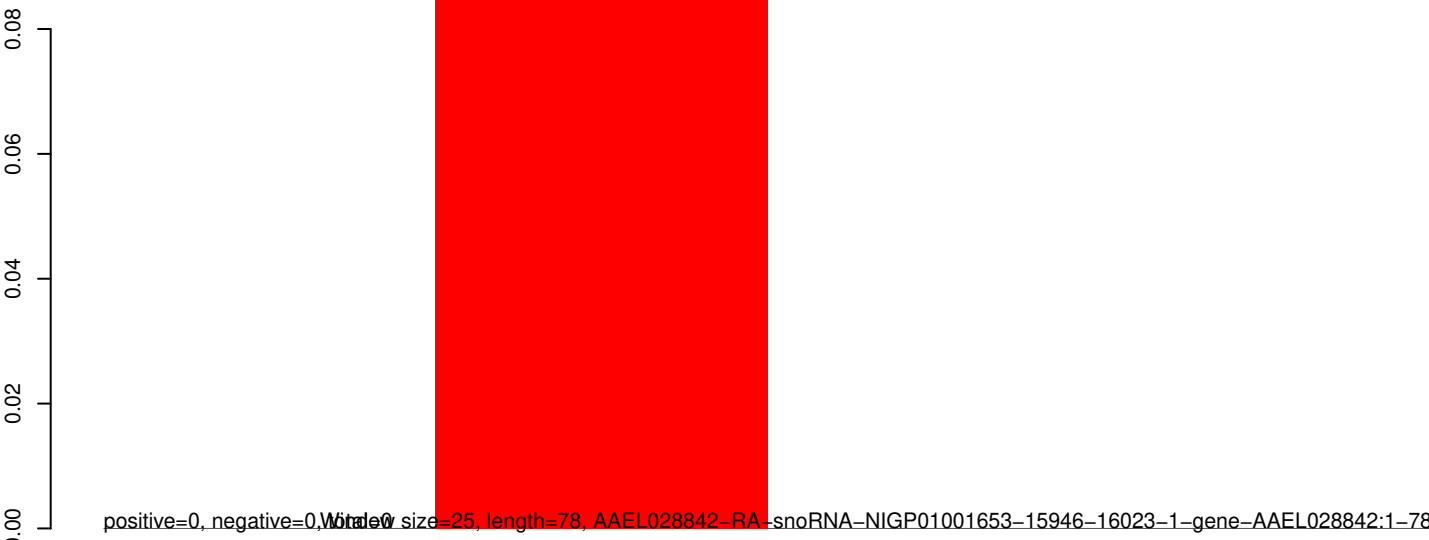
AeAeg_Whole_ZIKVdr_In3_GP.18_23.rep



AeAeg_Whole_ZIKVdr_In3_GP.24_35.rep



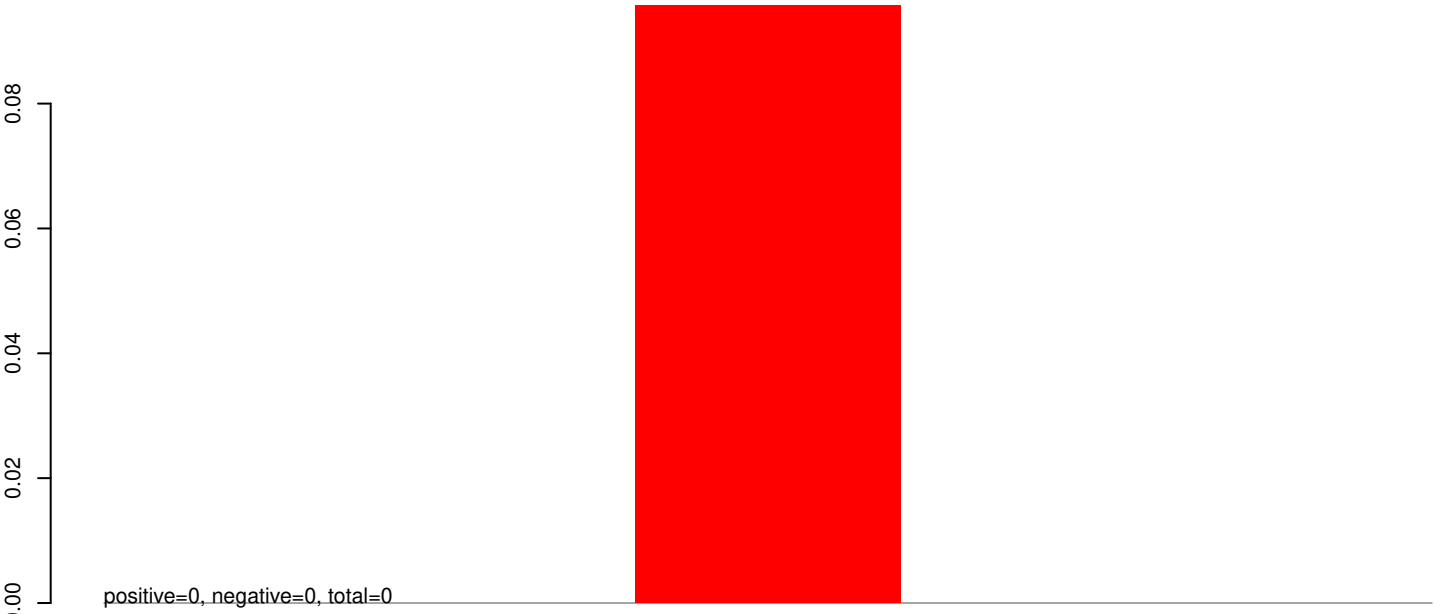
AeAeg_Whole_ZIKVdr_In3_GP.rep



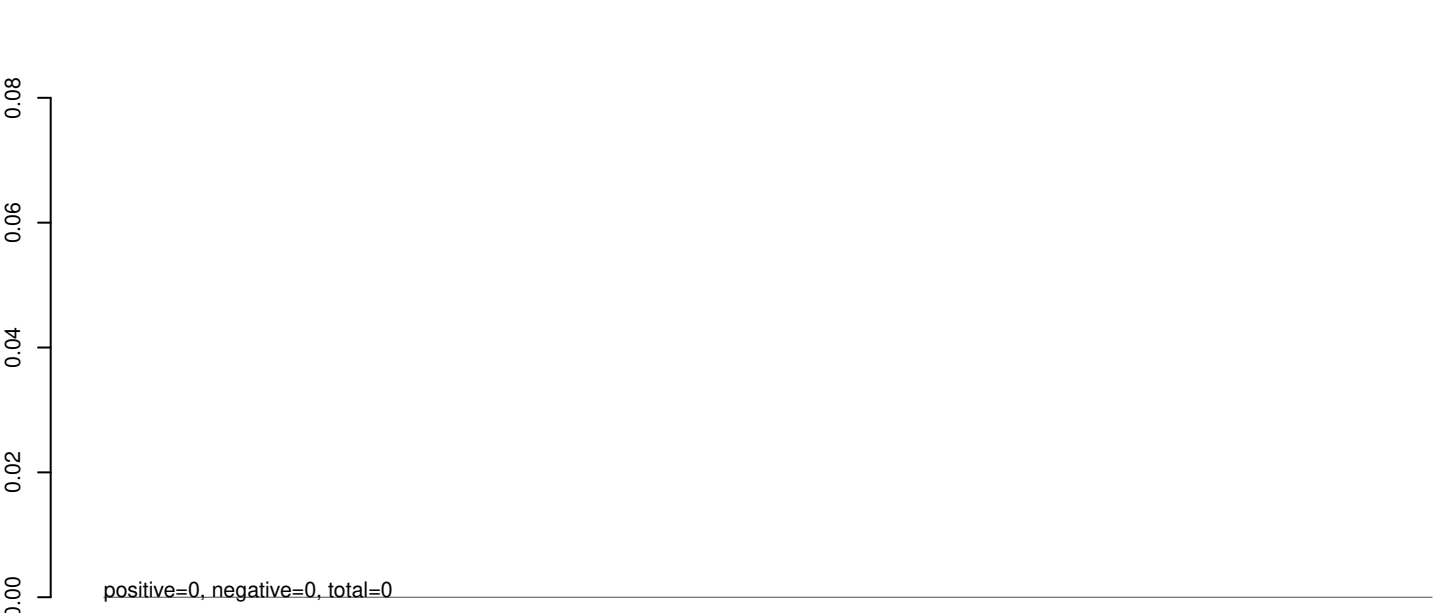
positive=0, negative=0, total=0, Window size=25, length=78, AAEL028842-RA-snoRNA-NIGP01001653-15946-16023-1-gene-AAEL028842:1-78

40 60 80 100 120

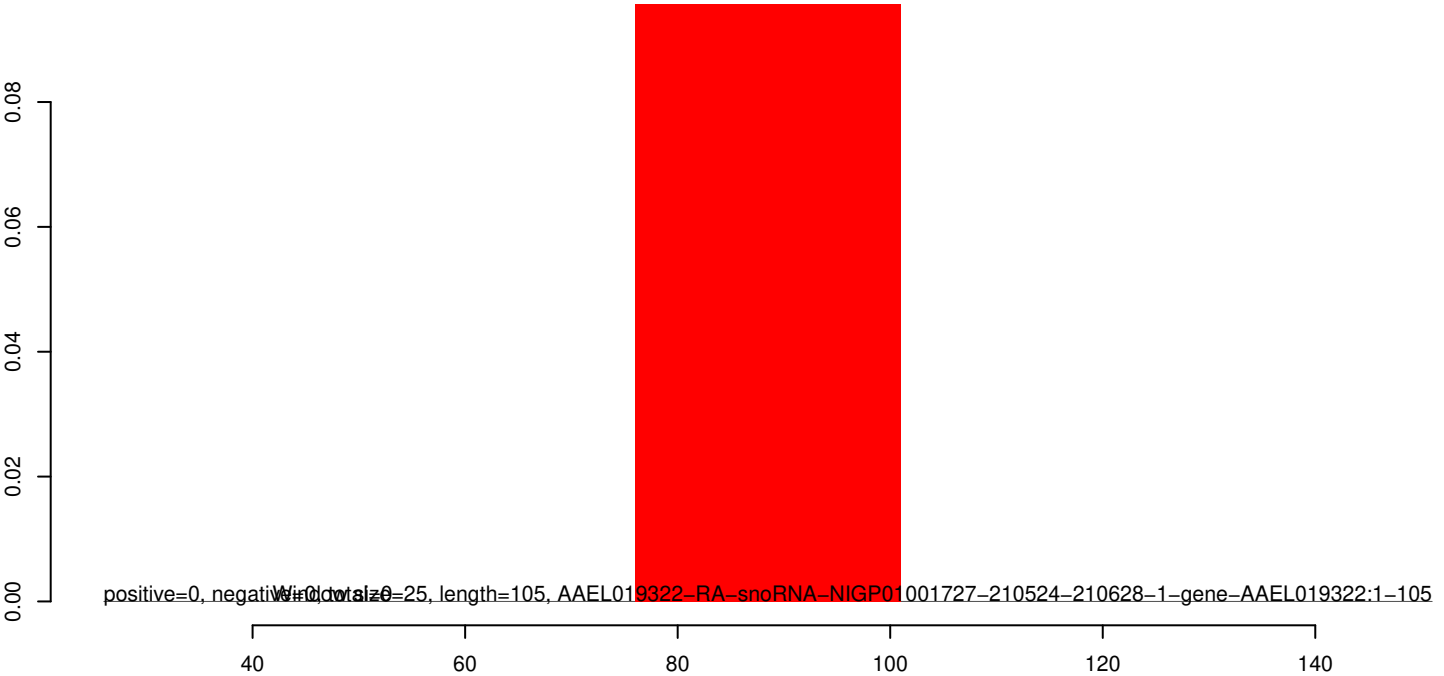
AeAeg_Whole_ZIKVdr_In3_GP.18_23.rep



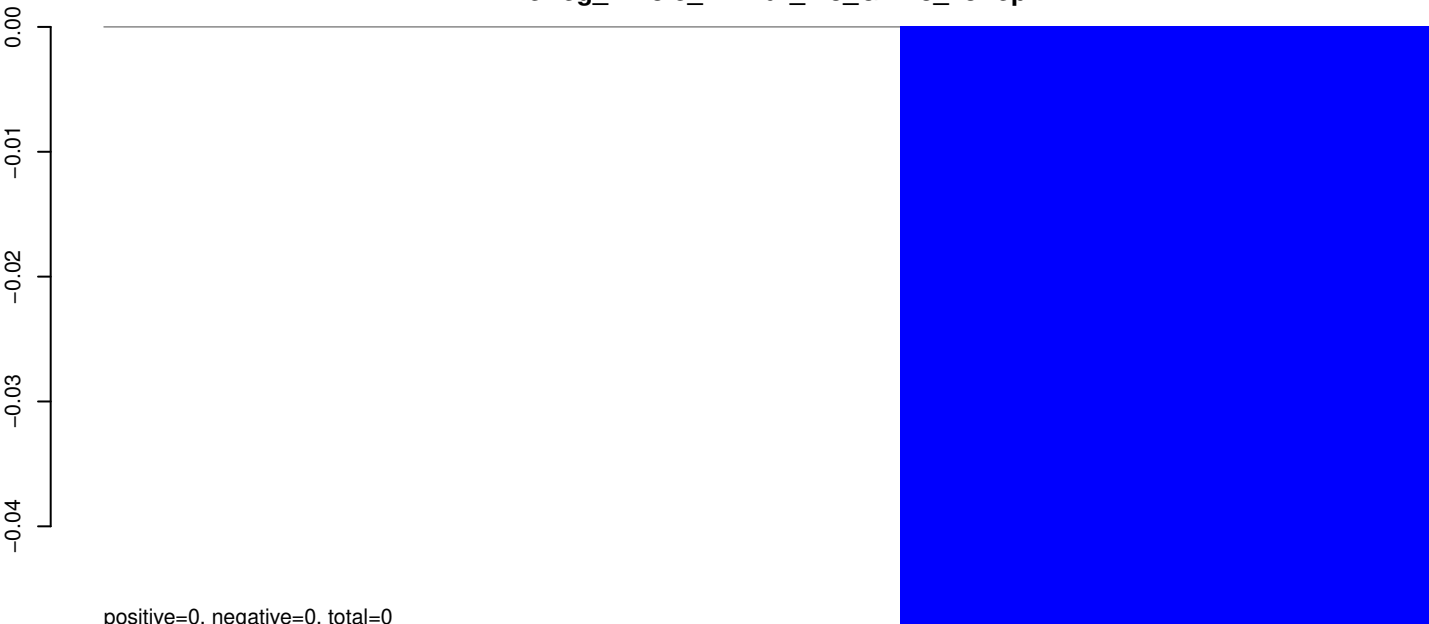
AeAeg_Whole_ZIKVdr_In3_GP.24_35.rep



AeAeg_Whole_ZIKVdr_In3_GP.rep



AeAeg_Whole_ZIKVdr_In3_GP.18_23.rep



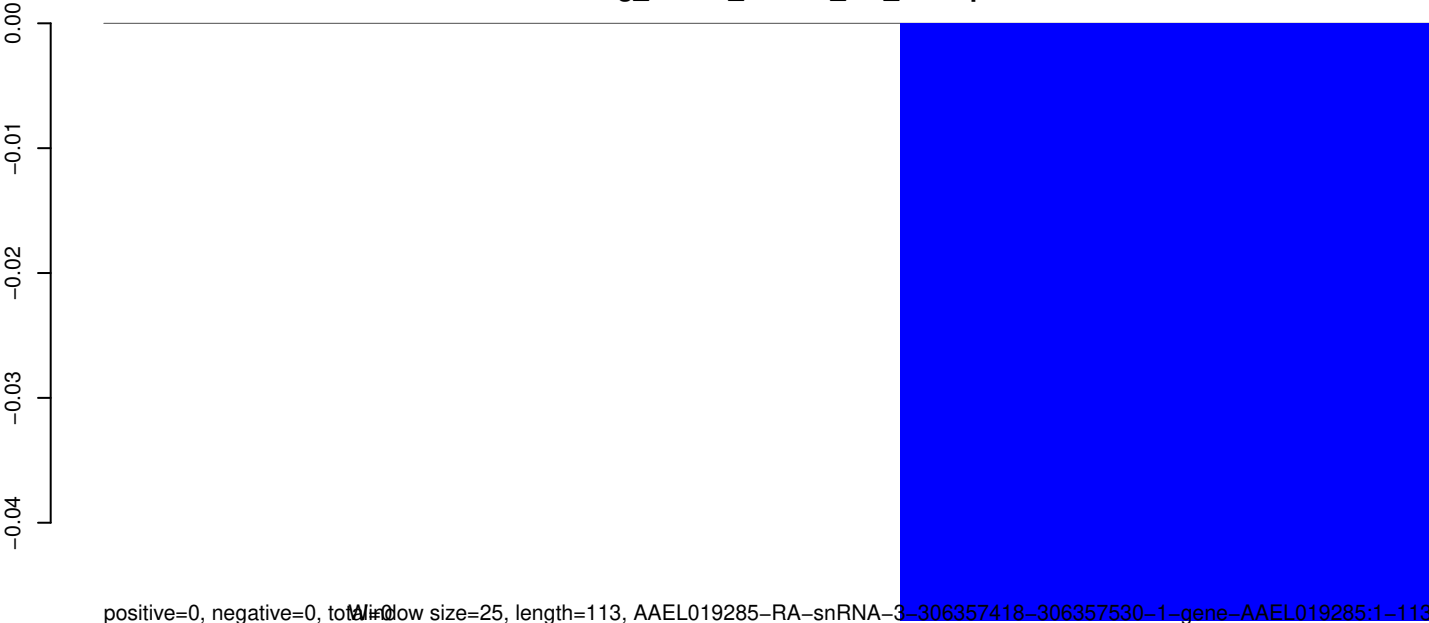
positive=0, negative=0, total=0

AeAeg_Whole_ZIKVdr_In3_GP.24_35.rep



positive=0, negative=0, total=0

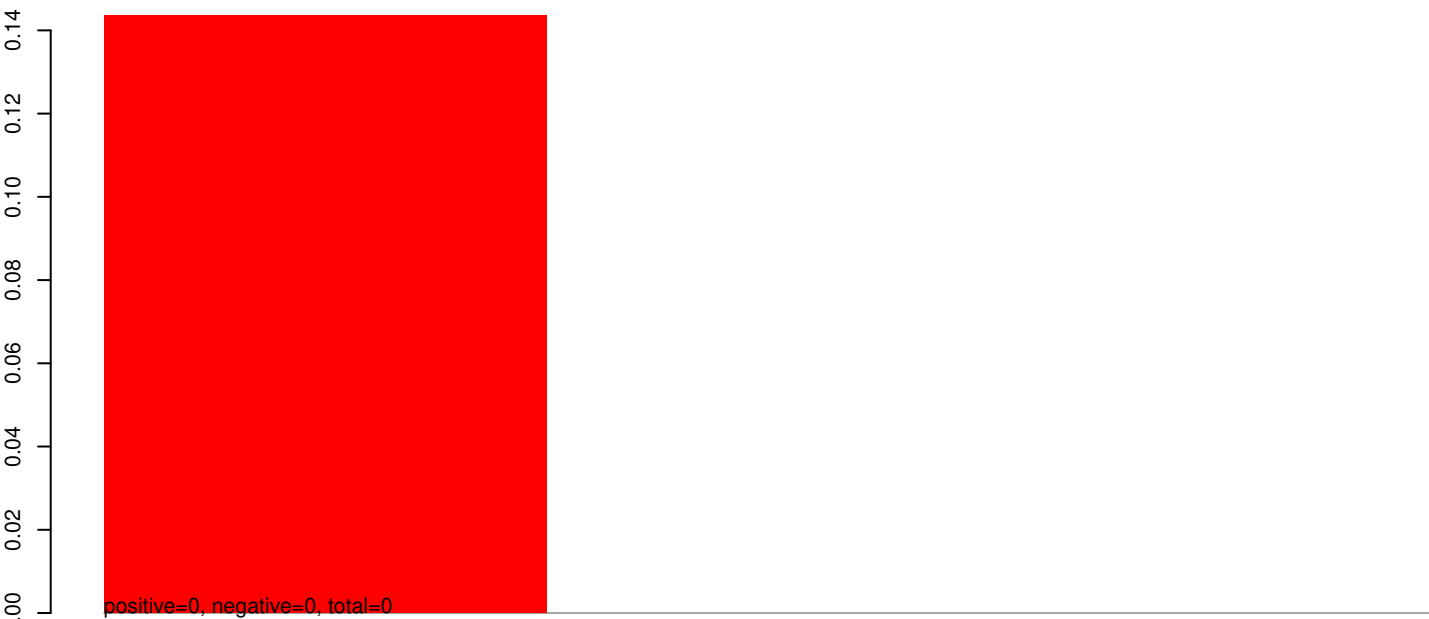
AeAeg_Whole_ZIKVdr_In3_GP.rep



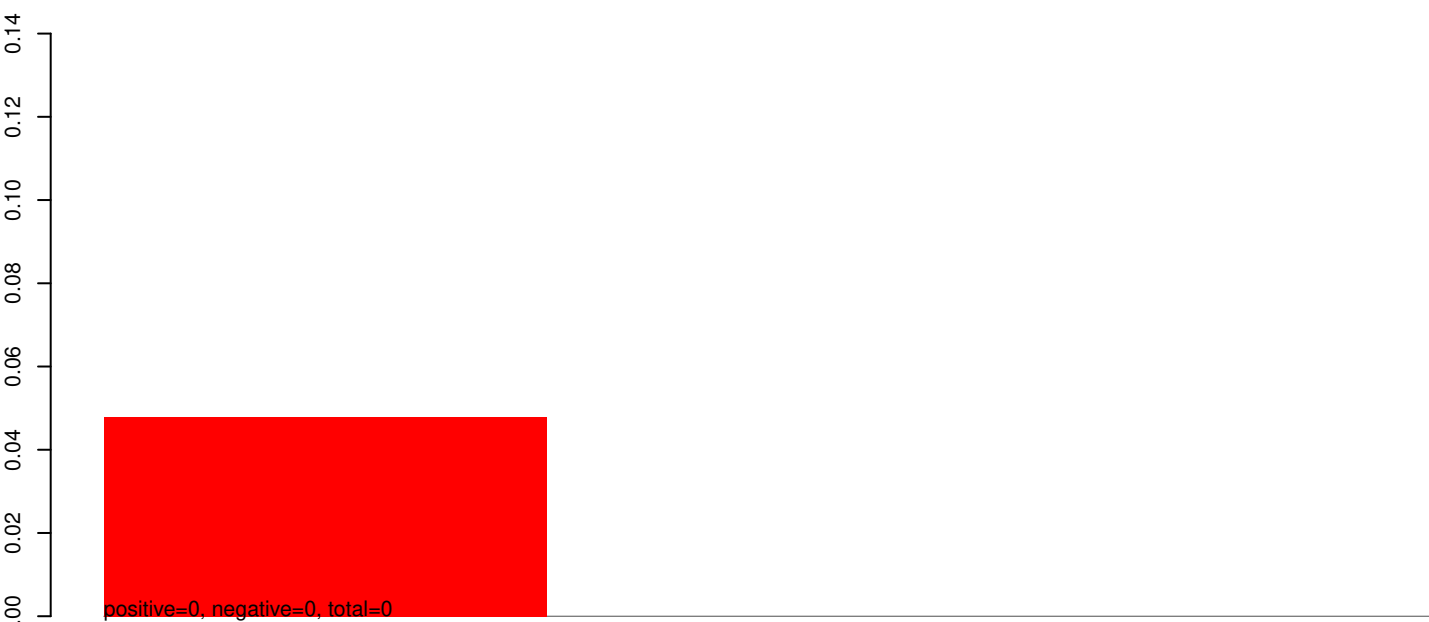
positive=0, negative=0, total=0 window size=25, length=113, AAEL019285-RA-snrRNA-3-306357418-306357530-1-gene-AAEL019285:1-113

40 60 80 100 120 140

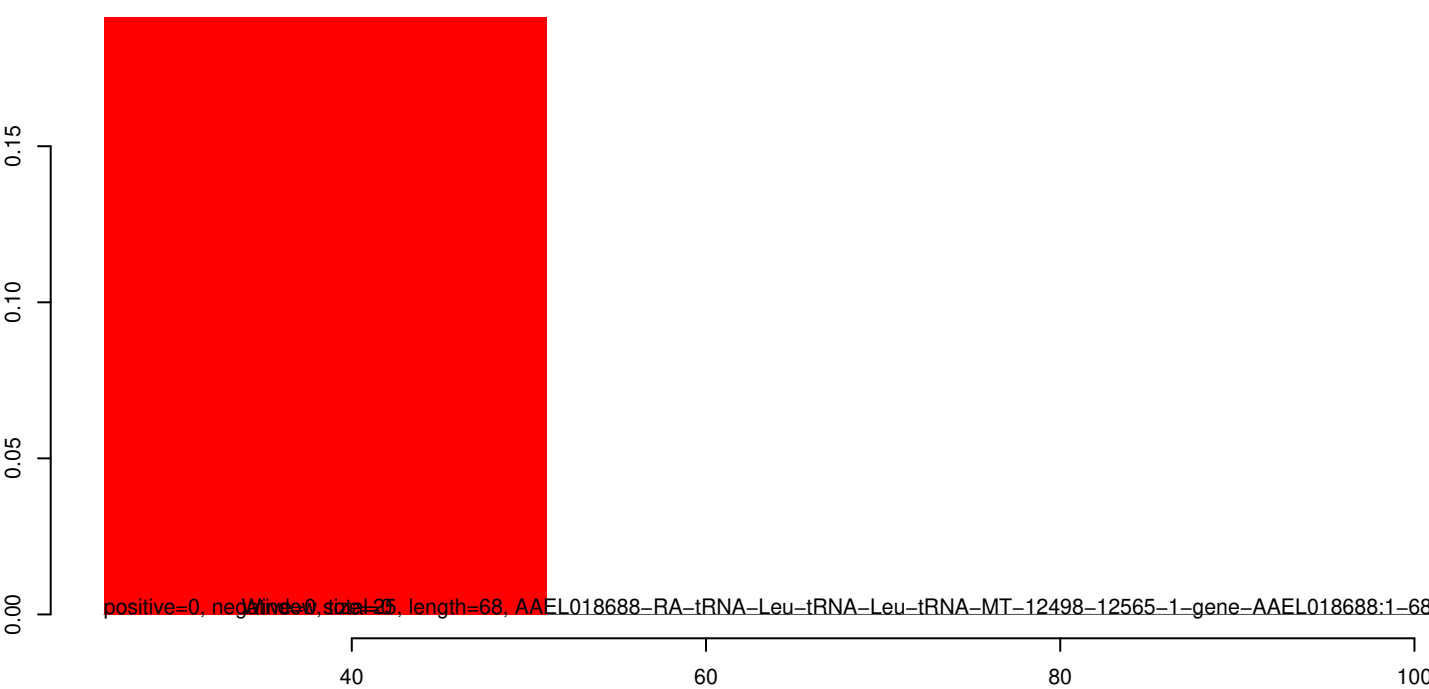
AeAeg_Whole_ZIKVdr_In3_GP.18_23.rep



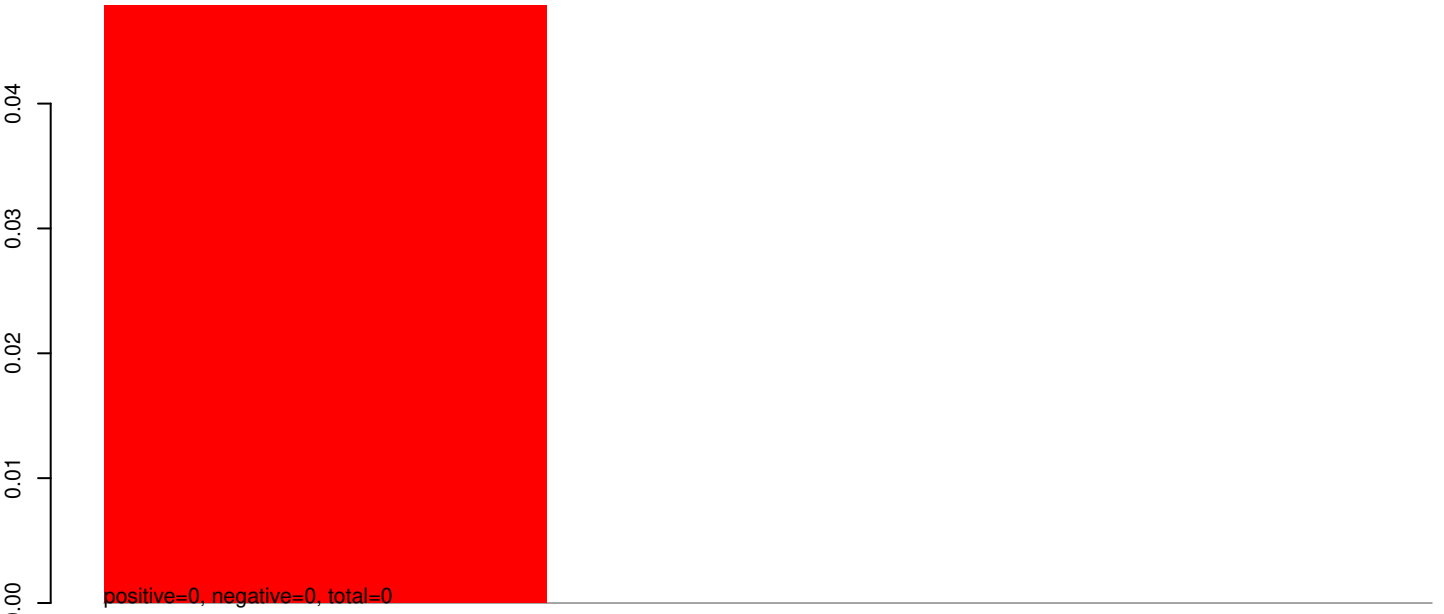
AeAeg_Whole_ZIKVdr_In3_GP.24_35.rep



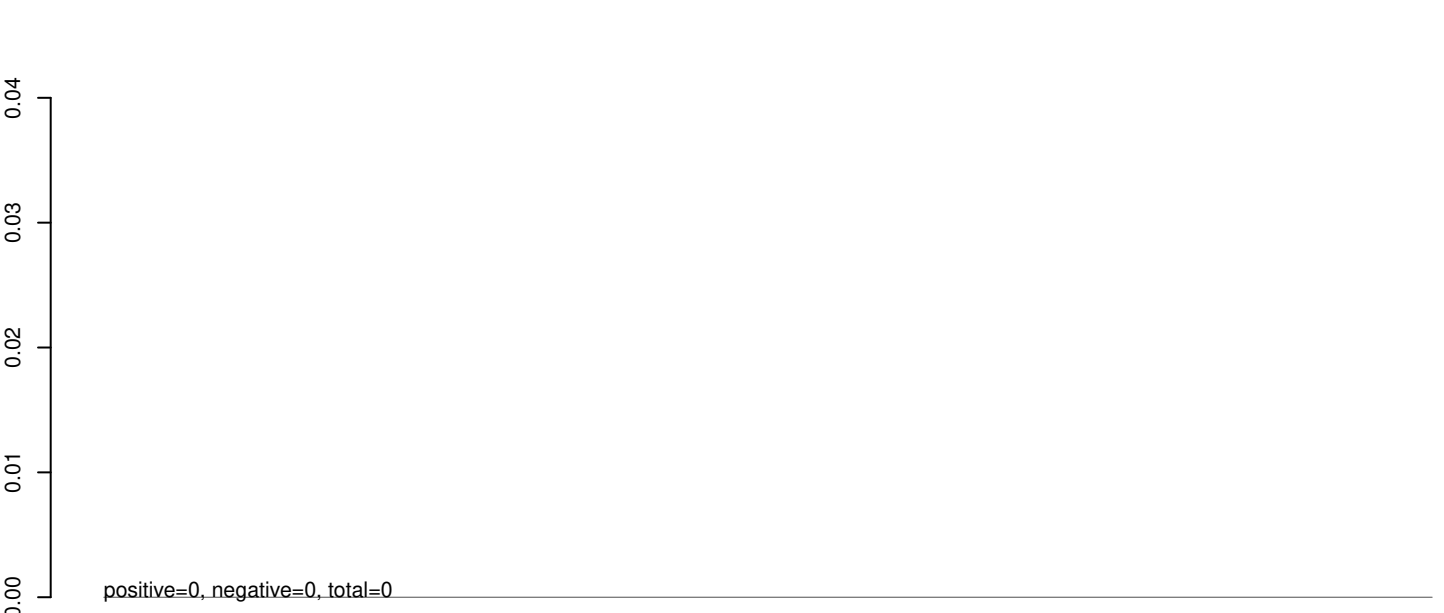
AeAeg_Whole_ZIKVdr_In3_GP.rep



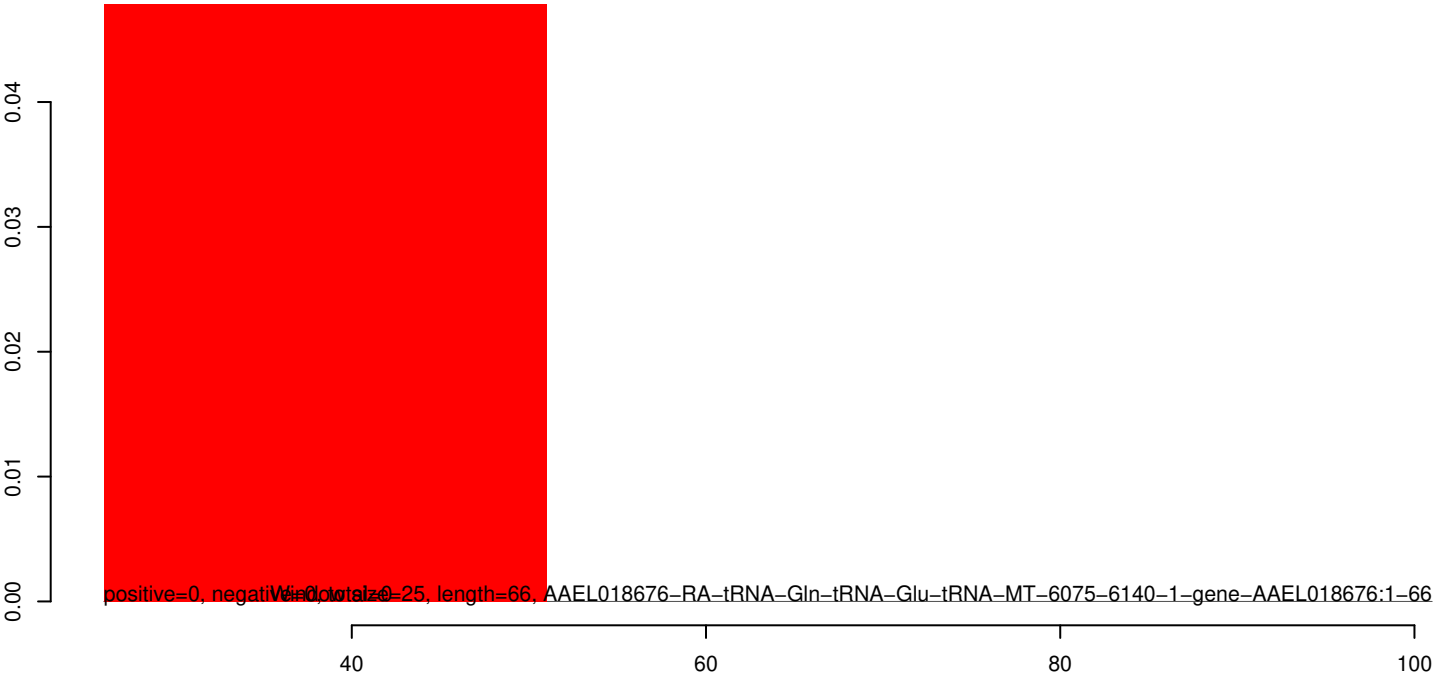
AeAeg_Whole_ZIKVdr_In3_GP.18_23.rep



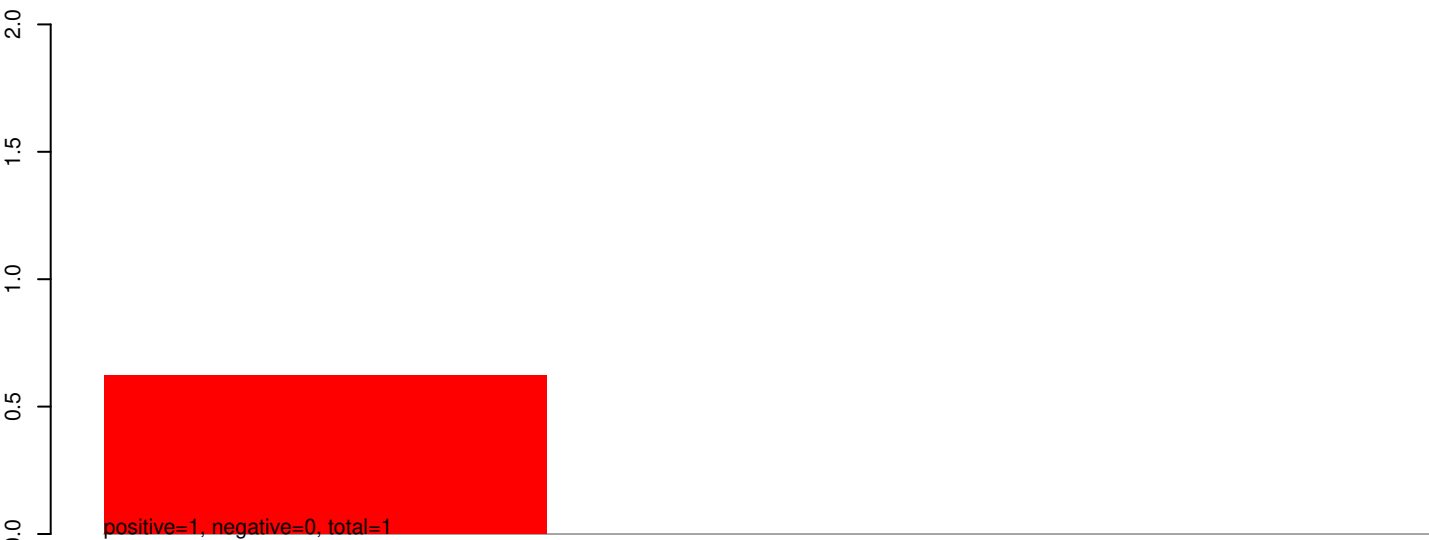
AeAeg_Whole_ZIKVdr_In3_GP.24_35.rep



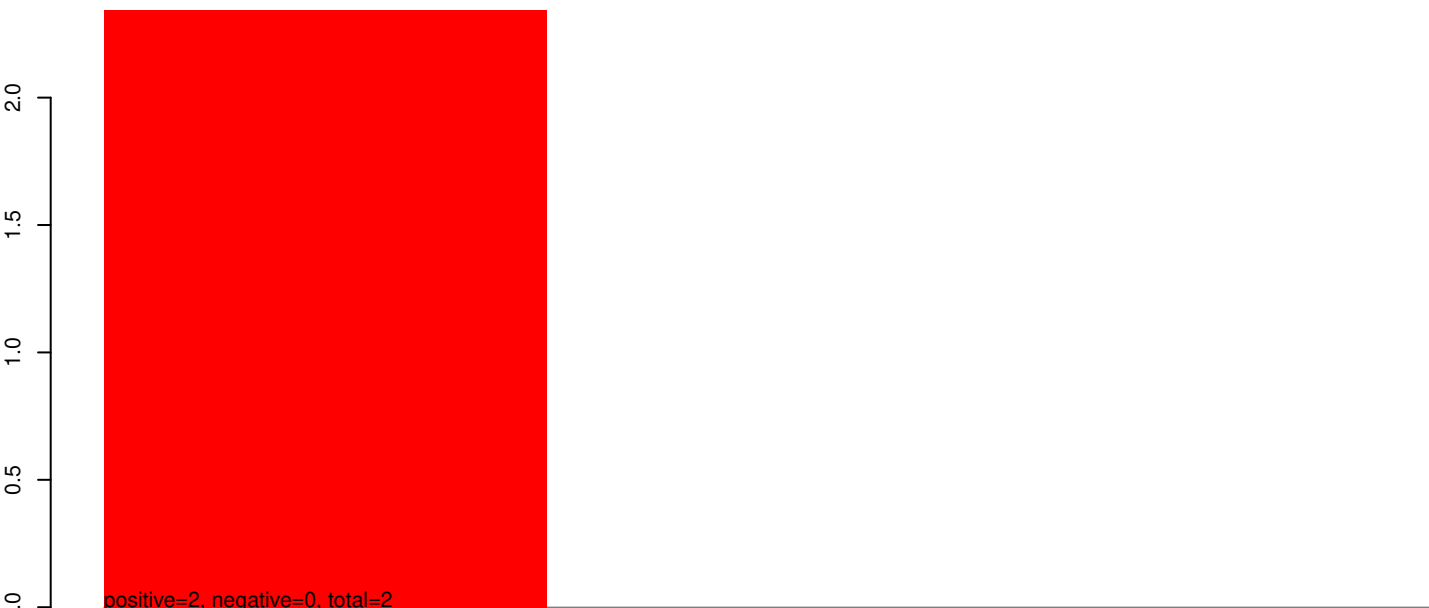
AeAeg_Whole_ZIKVdr_In3_GP.rep



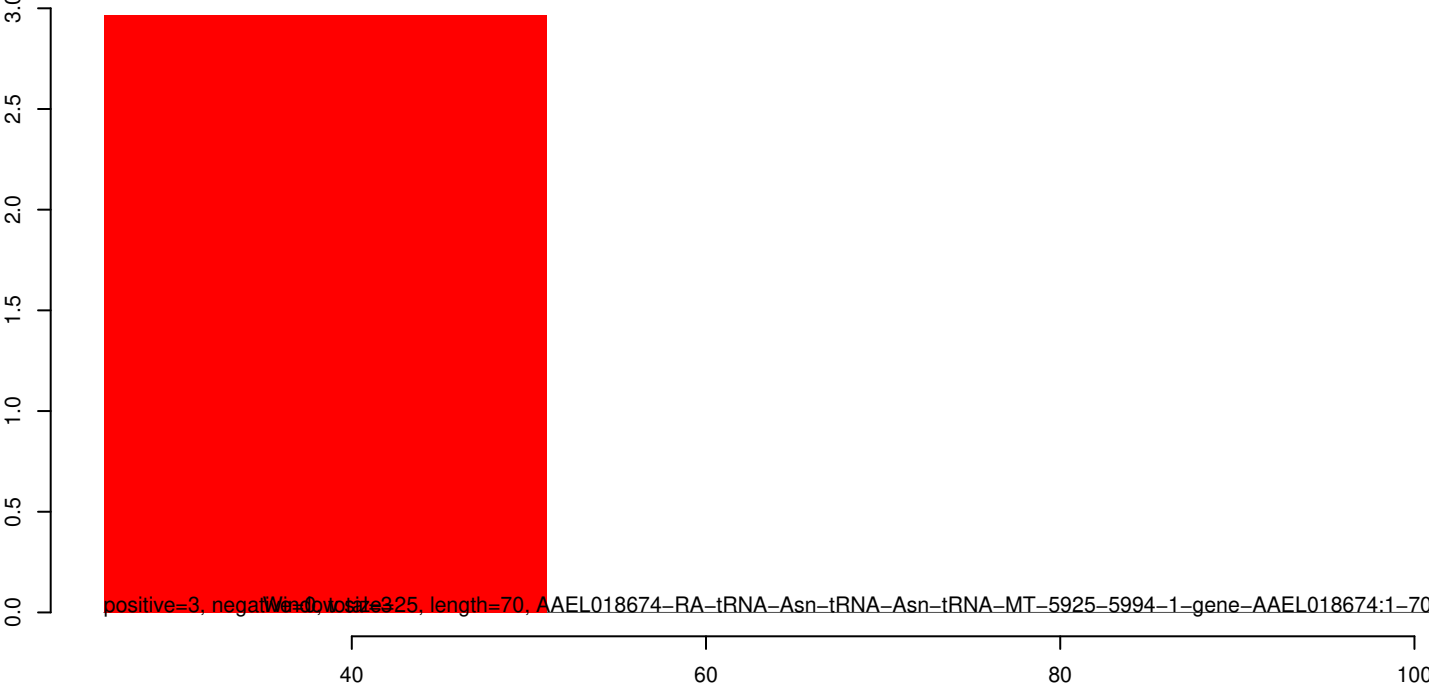
AeAeg_Whole_ZIKVdr_In3_GP.18_23.rep



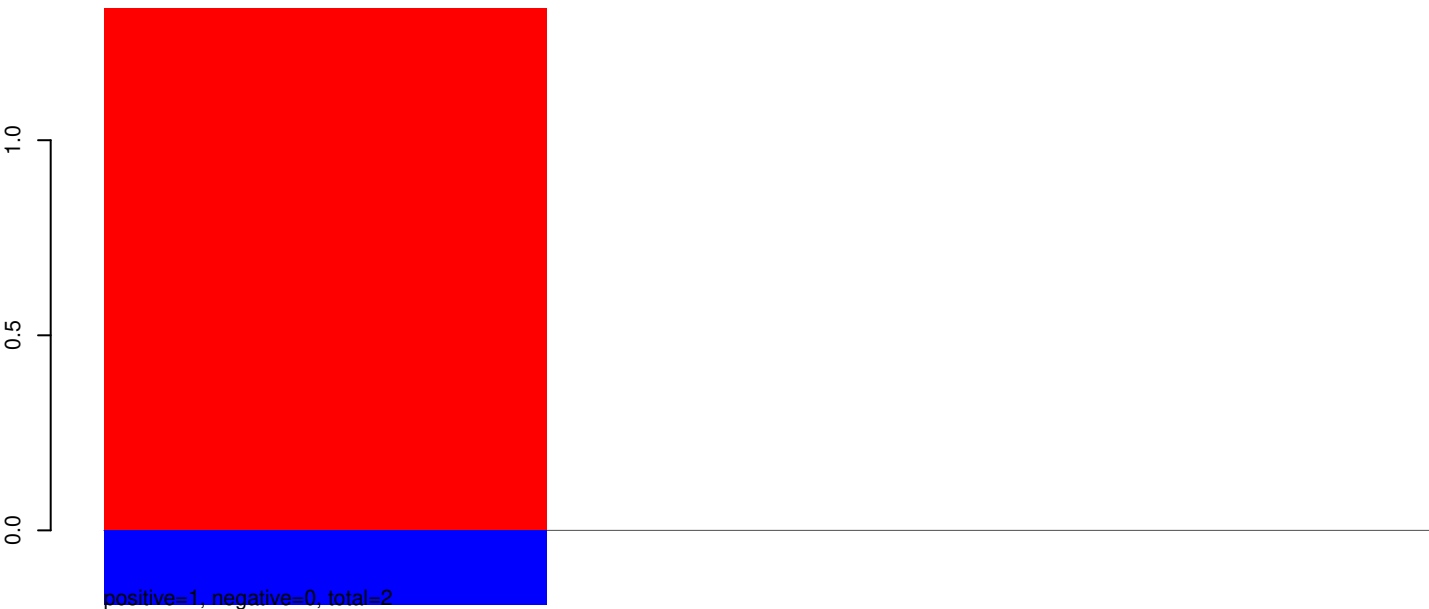
AeAeg_Whole_ZIKVdr_In3_GP.24_35.rep



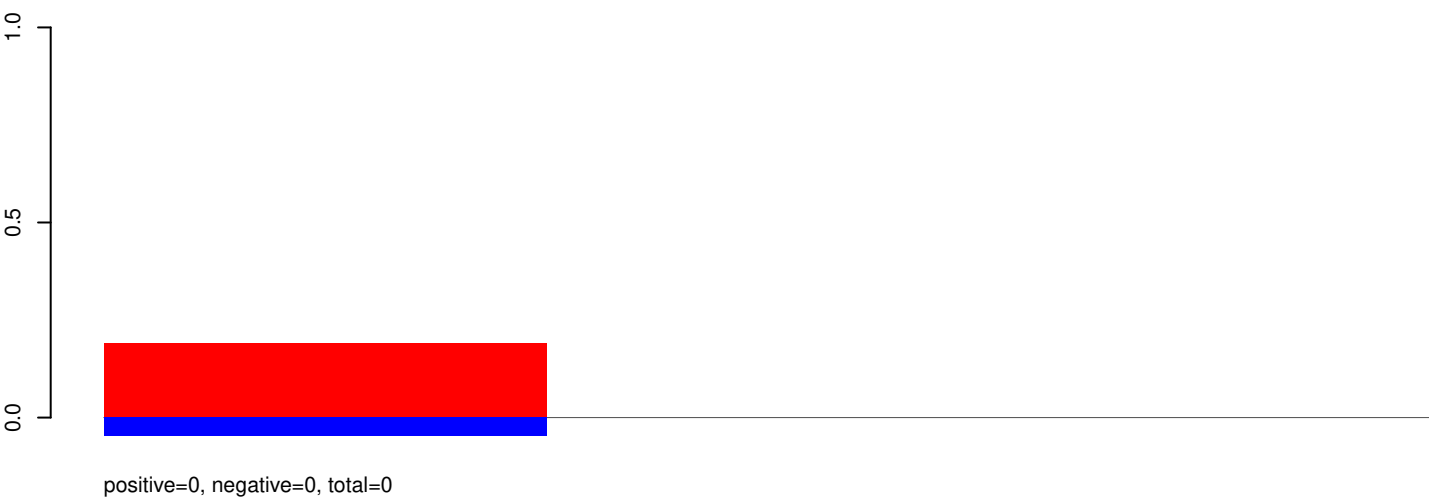
AeAeg_Whole_ZIKVdr_In3_GP.rep



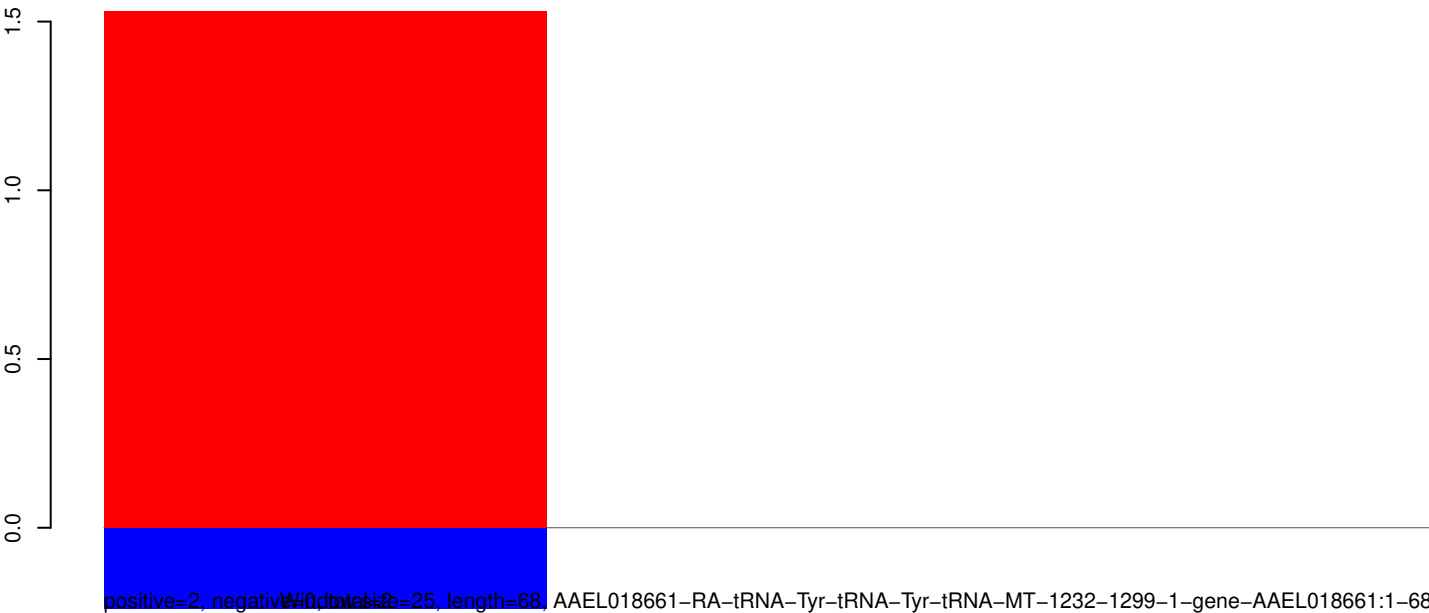
AeAeg_Whole_ZIKVdr_In3_GP.18_23.rep



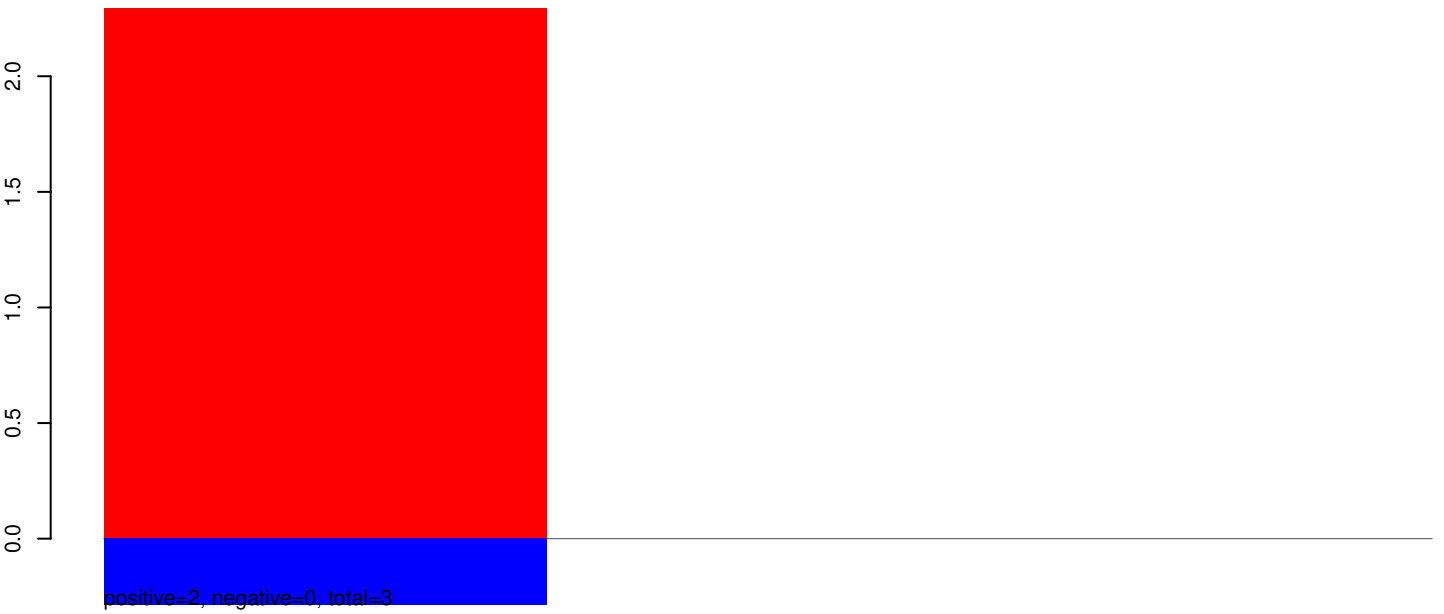
AeAeg_Whole_ZIKVdr_In3_GP.24_35.rep



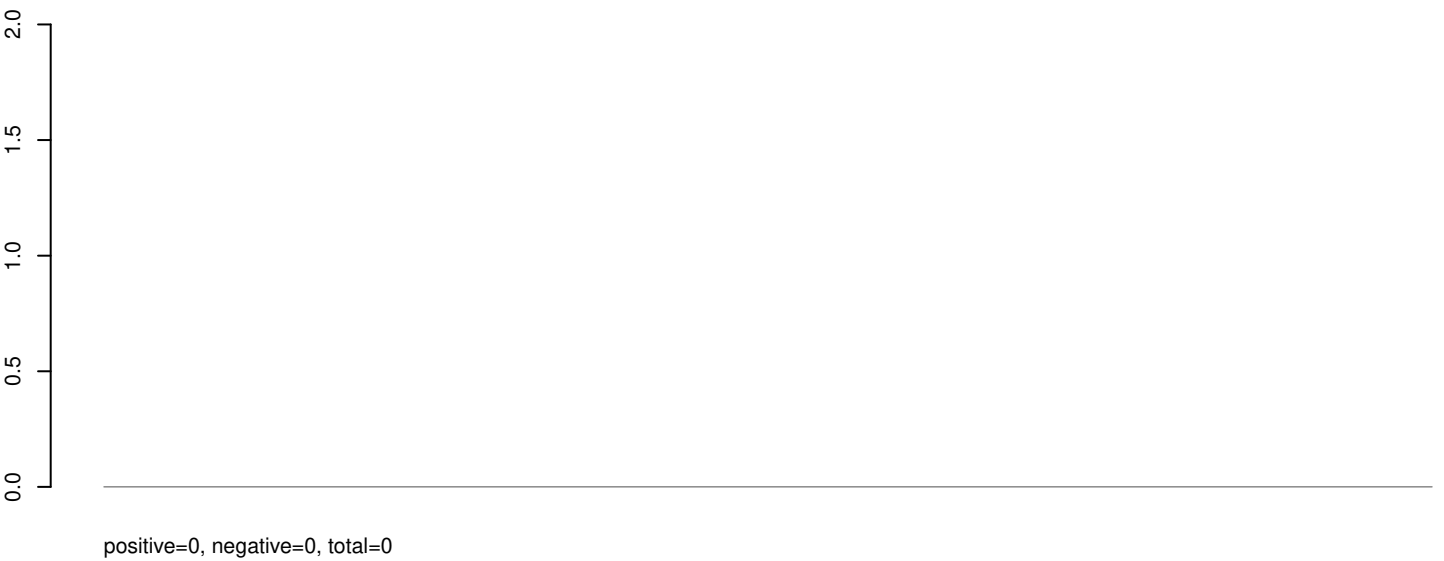
AeAeg_Whole_ZIKVdr_In3_GP.rep



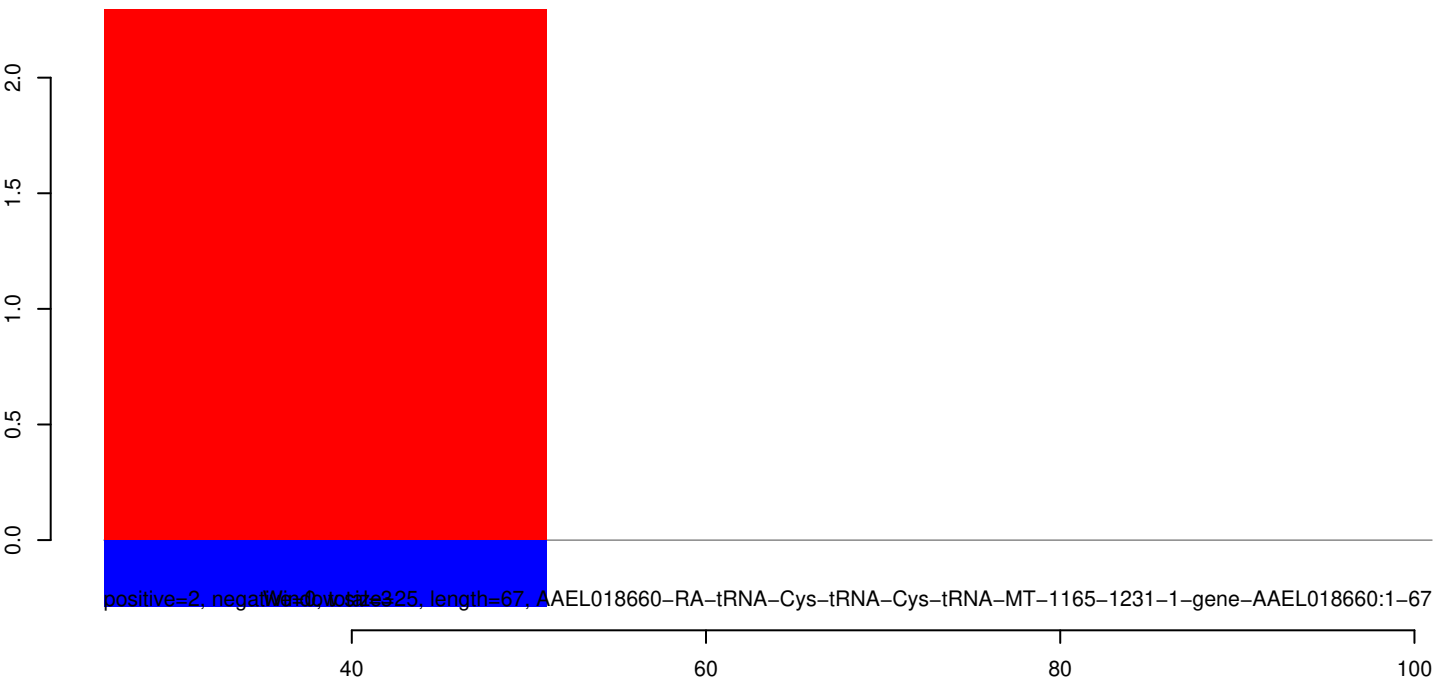
AeAeg_Whole_ZIKVdr_In3_GP.18_23.rep



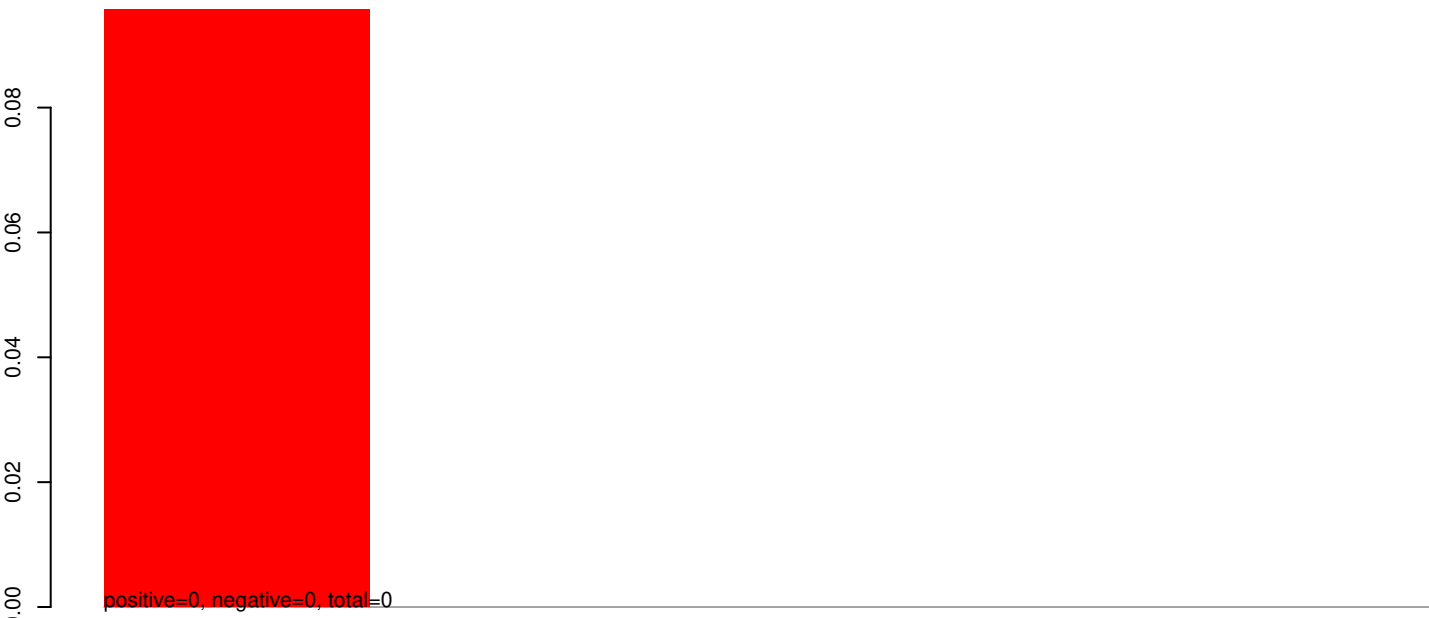
AeAeg_Whole_ZIKVdr_In3_GP.24_35.rep



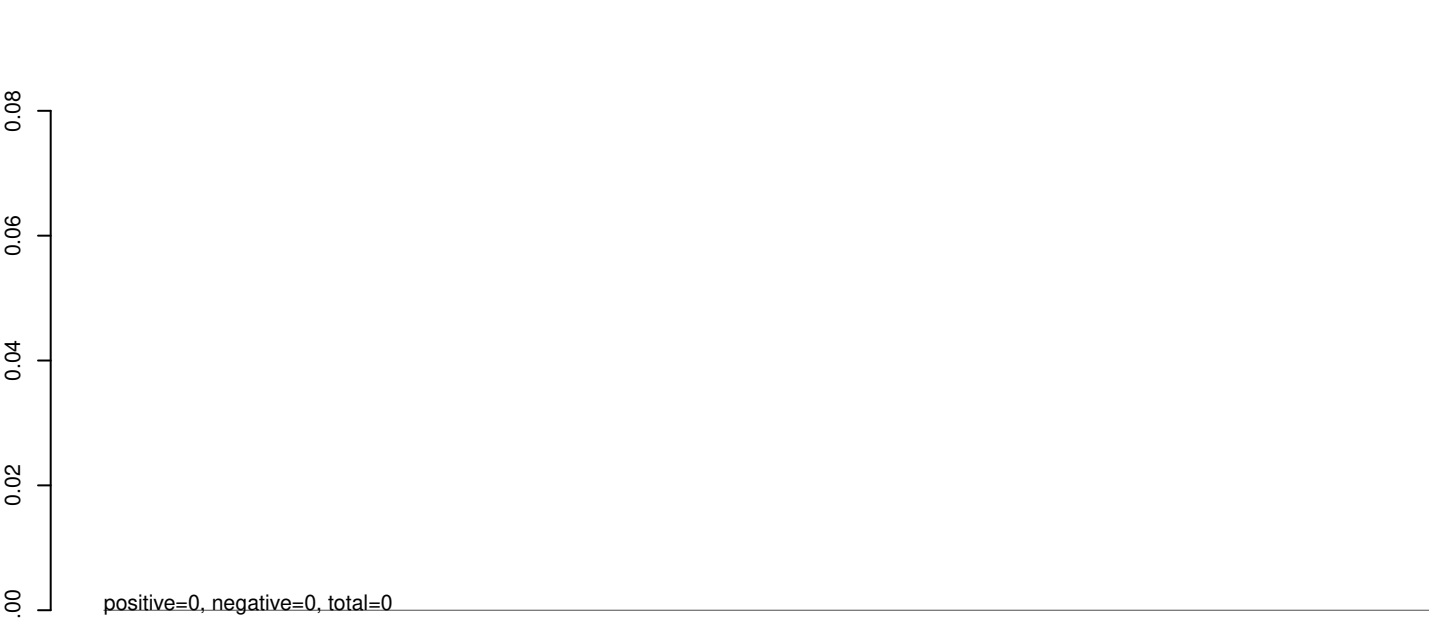
AeAeg_Whole_ZIKVdr_In3_GP.rep



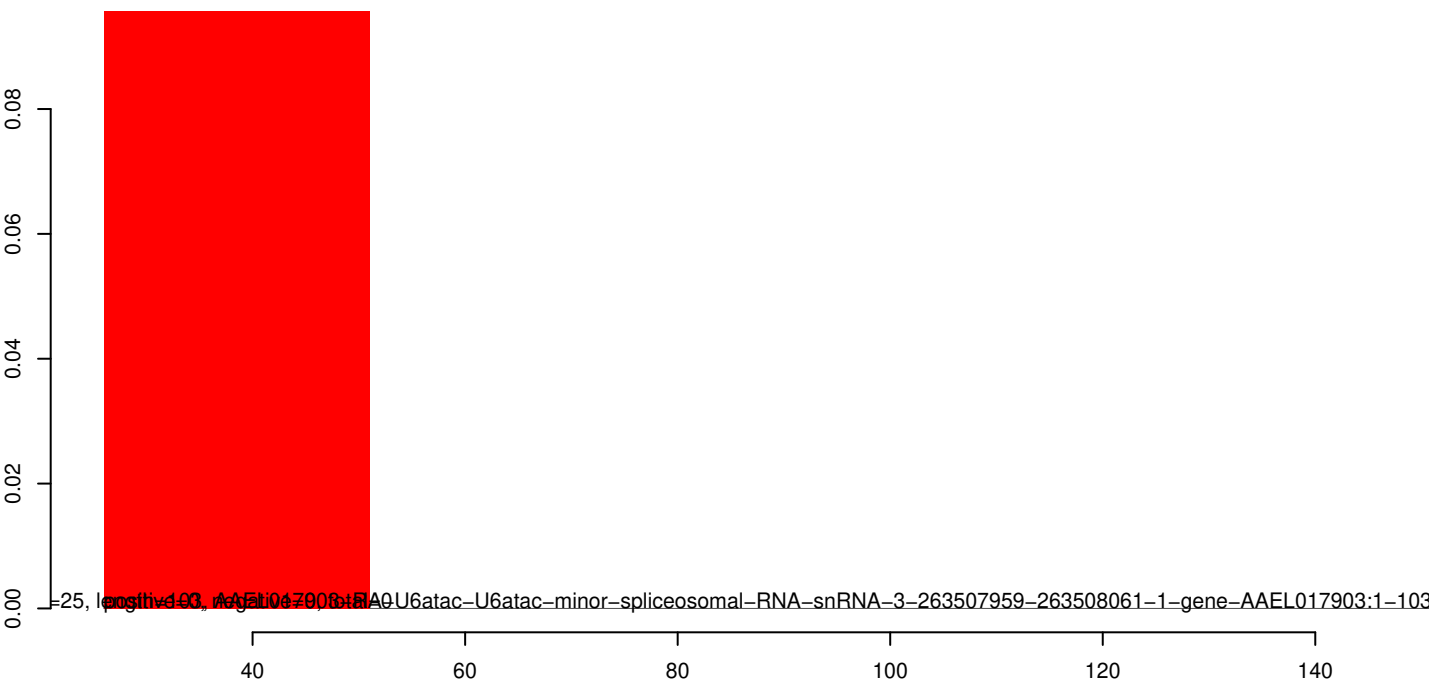
AeAeg_Whole_ZIKVdr_In3_GP.18_23.rep



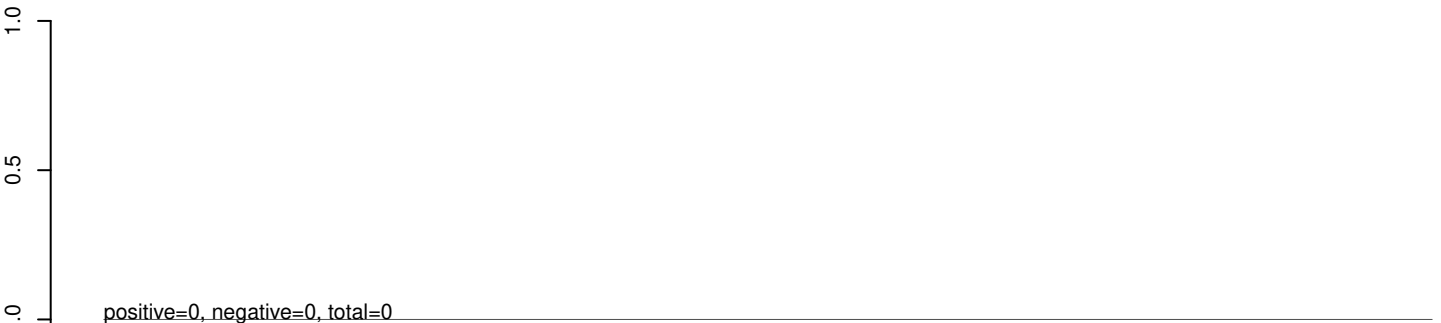
AeAeg_Whole_ZIKVdr_In3_GP.24_35.rep



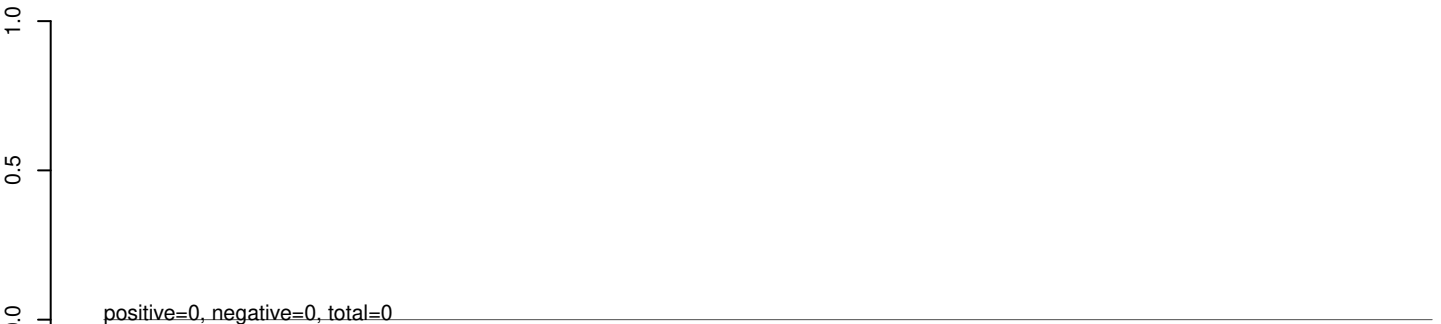
AeAeg_Whole_ZIKVdr_In3_GP.rep



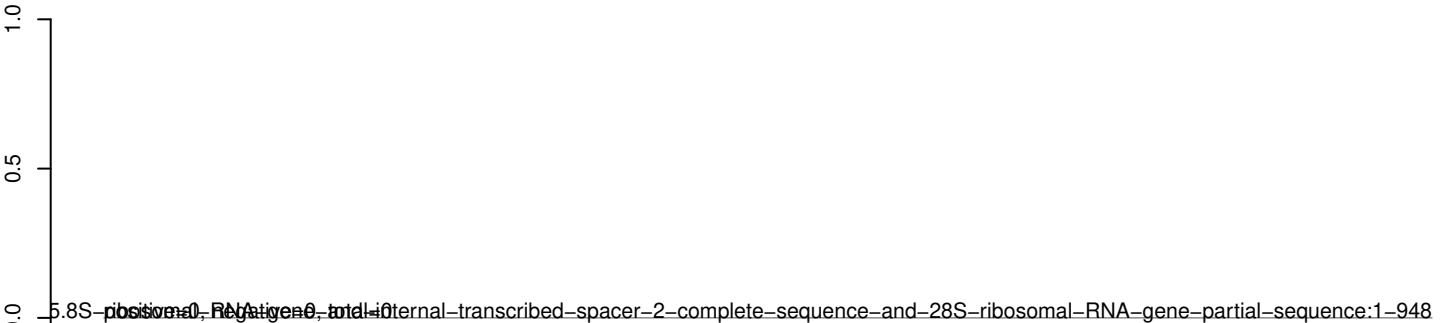
AeAeg_Whole_ZIKVdr_In3_GP.18_23.rep



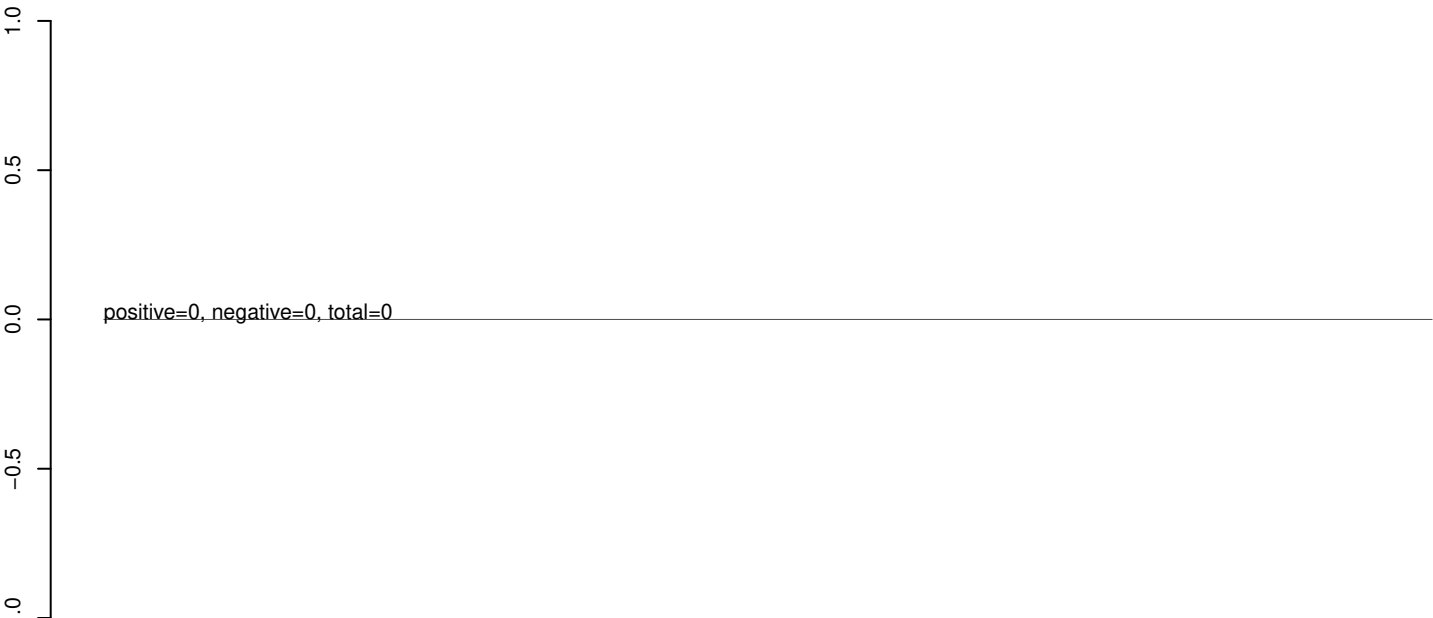
AeAeg_Whole_ZIKVdr_In3_GP.24_35.rep



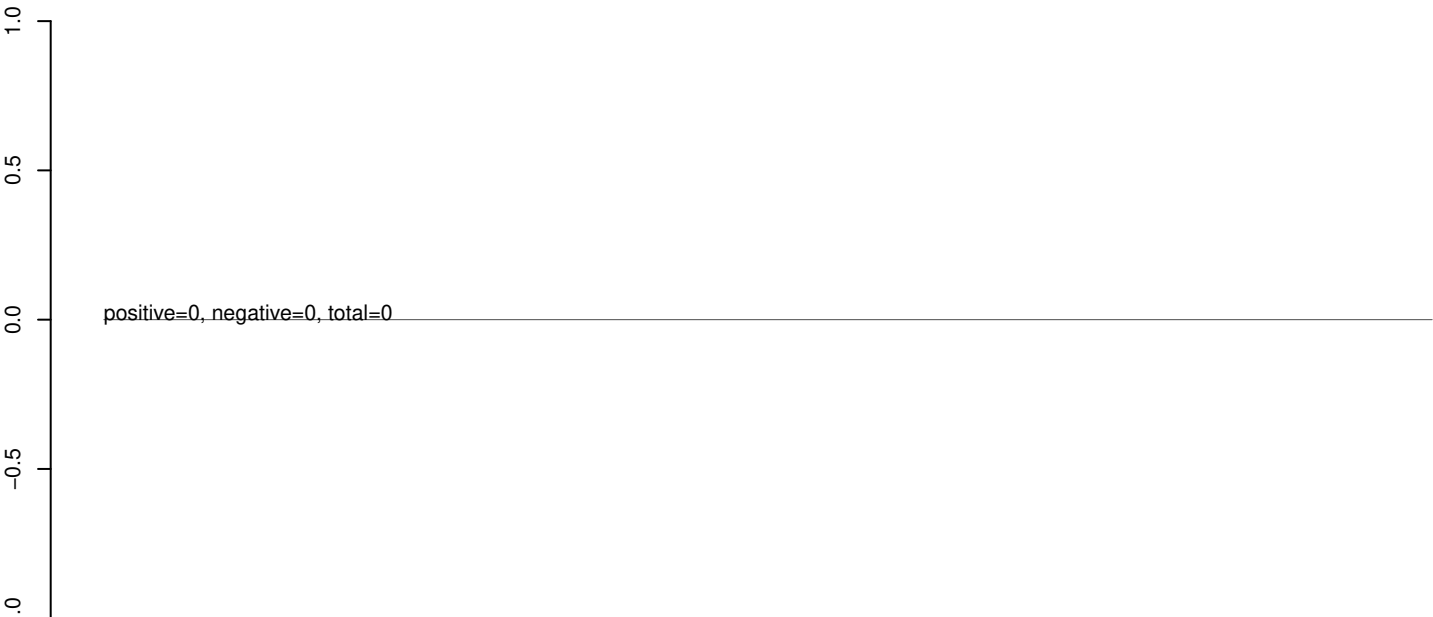
AeAeg_Whole_ZIKVdr_In3_GP.rep



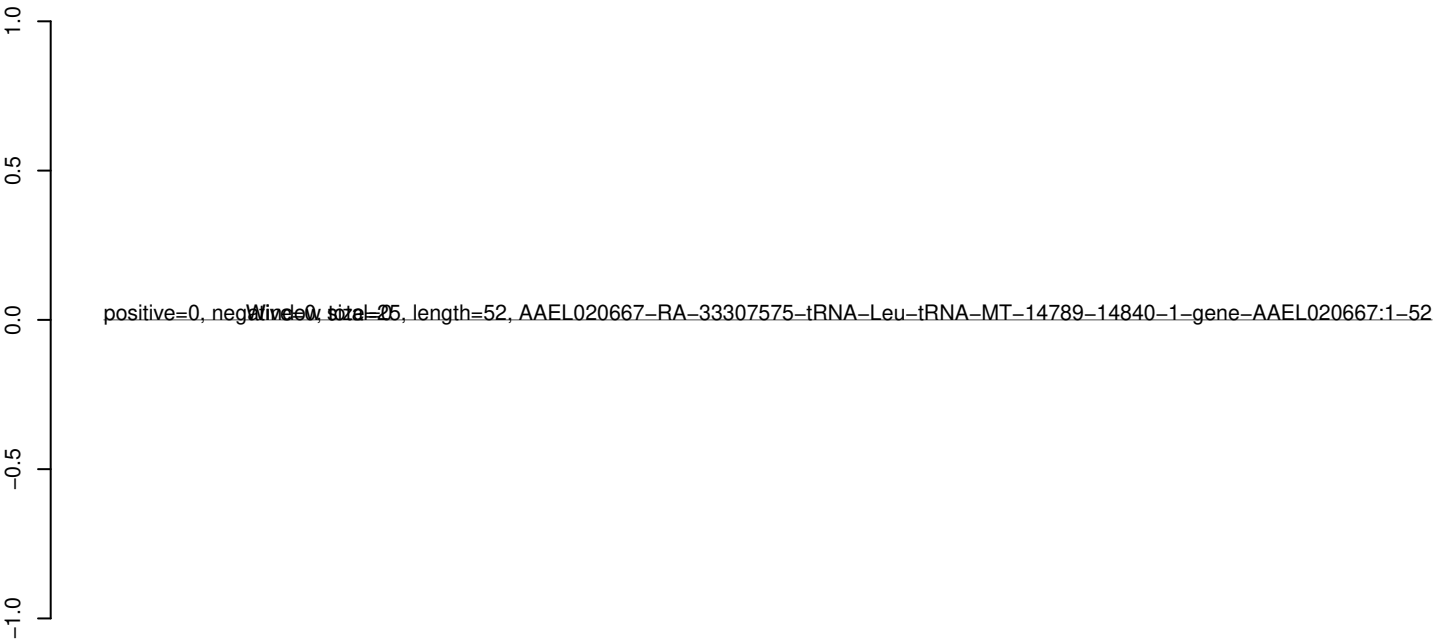
AeAeg_Whole_ZIKVdr_In3_GP.18_23.rep



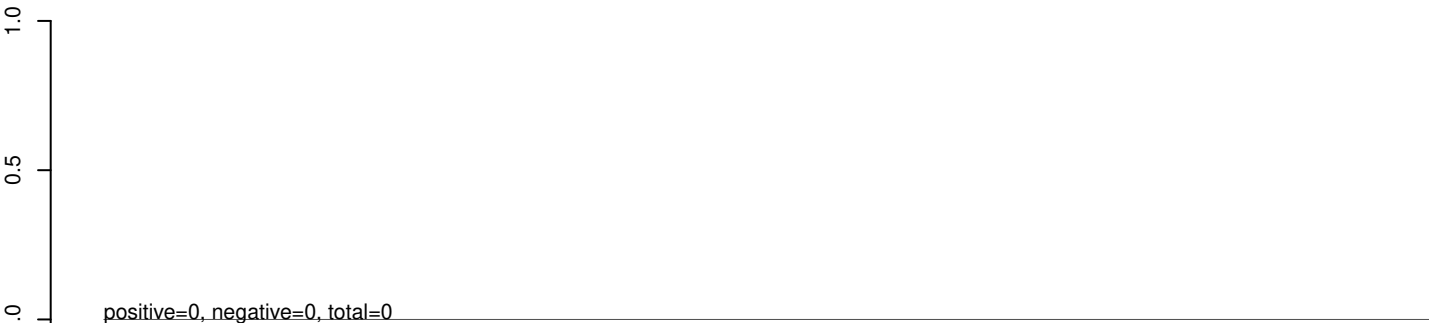
AeAeg_Whole_ZIKVdr_In3_GP.24_35.rep



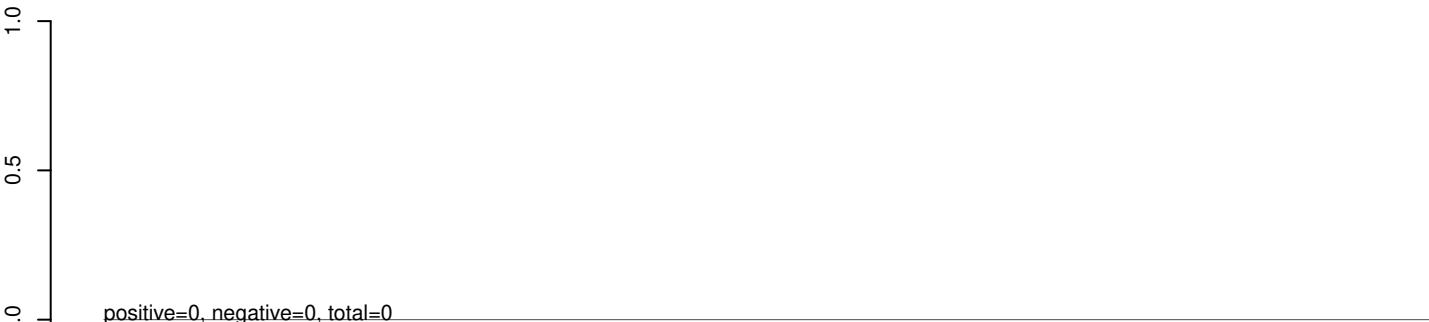
AeAeg_Whole_ZIKVdr_In3_GP.rep



AeAeg_Whole_ZIKVdr_In3_GP.18_23.rep



AeAeg_Whole_ZIKVdr_In3_GP.24_35.rep



AeAeg_Whole_ZIKVdr_In3_GP.rep

